

動的変形試験

MSC

| | |
|----------|-----------------|
| JGS 0520 | 土の三軸試験の供試体作製・設置 |
|----------|-----------------|

調査件名 試験年月日 令和3年1月22日

試料番号(深さ) MSC 試験者 清水 裕之

| 供試体を用いる試験の基準番号と名称 | | JGS 0542 地盤材料の変形特性を求めるための繰返し三軸試験 | | | |
|--------------------------|-------------------------|----------------------------------|-------------------|-------|---|
| 試料の状態 ¹⁾ | 乱さない | 土粒子の密度 $\rho_g^{(3)}$ | g/cm ³ | 2.644 | |
| 供試体の作製 ²⁾ | トリミング | 最小乾燥密度 $\rho_{min}^{(4)}$ | g/cm ³ | | |
| 土質名称 | | 最大乾燥密度 $\rho_{max}^{(4)}$ | g/cm ³ | | |
| 供試体 No. | | 1 | 2 | 3 | 4 |
| 初期状態 | 直径 | cm | 5.092, 5.061 | | |
| | | cm | 5.049, 5.041 | | |
| | | cm | 5.042, 5.011 | | |
| | 平均直径 D_i | cm | 5.049 | | |
| | 高さ | cm | 10.112 | | |
| | | cm | 10.051 | | |
| | 平均高さ H_i | cm | 10.082 | | |
| | 体積 | cm ³ | 201.9 | | |
| | 含水比 w_i | % | 17.8 | | |
| | 質量 m_i | g | 414.6 | | |
| | 湿潤密度 $\rho_{wi}^{(3)}$ | g/cm ³ | 2.054 | | |
| | 乾燥密度 $\rho_{di}^{(3)}$ | g/cm ³ | 1.744 | | |
| | 間隙比 $e^{(3)}$ | | 0.516 | | |
| | 飽和度 $S_{ri}^{(3)}$ | % | 91.1 | | |
| 相対密度 $D_{ri}^{(3)}$ | % | | | | |
| 設置・飽和過程 | 軸変位量の測定方法 | | 外部変位計によって測定 | | |
| | 設置時の軸変位量 | cm | | | |
| | 飽和過程の軸変位量 | cm | | | |
| | 軸変位量 $\Delta H_i^{(5)}$ | cm | 0.001 | | |
| | 体積変化量の測定方法 | | 軸変位量から計算によって算出 | | |
| | 設置時の体積変化量 | cm ³ | | | |
| | 飽和過程の体積変化量 | cm ³ | | | |
| 体積変化量 $\Delta V_i^{(5)}$ | cm ³ | 0.0 | | | |
| 圧密前(試験前) | 高さ H_0 | cm | 10.081 | | |
| | 直径 D_0 | cm | 5.049 | | |
| | 体積 V_0 | cm ³ | 201.85 | | |
| | 乾燥密度 $\rho_{d0}^{(3)}$ | g/cm ³ | 1.744 | | |
| | 間隙比 $e_0^{(3)}$ | | 0.516 | | |
| | 相対密度 $D_{r0}^{(3)}$ | % | | | |
| 炉乾燥後 | 容器 No. | | | | |
| | (炉乾燥供試体+容器)質量 | g | | | |
| | 容器質量 | g | | | |
| 炉乾燥質量 m_s | g | 352.0 | | | |

特記事項

- 1) 試料の採取方法、試料の状態(塊状、凍結、ときほぐされた)等を記載する。
- 2) トリミング法、負圧法の種別、凍結試料の場合は解凍方法を記載する。
- 3) 必要に応じて記載する。
- 4) 必要に応じて粘性土の場合は液性限界、塑性限界、砂質土の場合は、最小乾燥密度、最大乾燥密度等を記載する。
- 5) 設置時の変化と飽和過程およびB値測定過程での変化を合わせる。

[1kN/m² ≒ 0.102kgf/cm²]

| | | |
|-----|-------------------------|--|
| JGS | 0542 0543 | 地盤材料の変形特性を求めるための繰返し三軸試験 (試験条件) 三軸試験による地盤材料の変形特性を求めるための繰返し三軸試験 (圧密状態) |
|-----|-------------------------|--|

調査件名

試験年月日 令和3年1月22日

試料番号(深さ) MSC

試験者 清水 裕之

| | | | | | | | | | |
|------------------------|--|------------------------------------|-----|---|--------------------------------|--------------------|---------------------|-----------------|--|
| 試料の状態 ¹⁾ | | 乱さない | | 土粒子の密度 ρ_s ³⁾ g/cm ³ | | 2.644 | | | |
| 供試体の作製方法 ²⁾ | | トリミング | | 最小乾燥密度 ρ_{min} ⁴⁾ g/cm ³ | | | | | |
| 土質名称 | | | | 最大乾燥密度 ρ_{max} ⁴⁾ g/cm ³ | | | | | |
| 供試体 No. | | 1 | | 飽和方法 | | 二重負圧法 | | | |
| 試験条件 | 軸方向応力 σ_{ac} kN/m ² | | 300 | | 載荷波形 | | 正弦波, 三角波 | | |
| | 側方向応力(=外圧,内圧) σ_{rc} kN/m ² | | 300 | | 載荷周波数 f Hz | | 0.1 | | |
| | 背圧 u_p kN/m ² | | 200 | | 排水条件 | | 排水 , 非排水 | | |
| | 軸方向圧密応力 σ'_{ac} kN/m ² | | 100 | | 1サイクルデータポイント数 | | 100 | | |
| | 側方向圧密応力 σ'_{rc} kN/m ² | | 100 | | 載荷段階数 | | 10 | | |
| | 異方圧密応力比 $\sigma'_{rc}/\sigma'_{ac}$ (=K) ⁵⁾ | | 1 | | | | | | |
| 試験装置 | 荷重計の容量 | | kN | | 1 | | | | |
| | トルク計の容量 | | N・m | | 1 | | | | |
| | 軸変位計 | 大変位 | 位置 | ① | | 変位計 回転角計 の位置 | 軸変位計の読み | | |
| | | | 種類 | 高感度変位計 | | | 圧密前 | cm | |
| | | | 数 | 1 | | | 圧密後 | cm | |
| | 中変位 | 位置 | ② | | 排水量の読み | | 圧密前 | cm ³ | |
| | | 種類 | LDT | | 圧密後 | | cm ³ | | |
| | 小変位 | 位置 | | | 軸変位量 ΔH_v | | cm | | |
| | 回転角計 | 小変位 | 位置 | | | 体積変化量 ΔV_c | cm ³ | | |
| | | | 種類 | | | 高さ H_0 | cm | | |
| | 金属製リップ | 数量 | | | 外径 (D_0, ϕ) | cm | | | |
| | | 高さ | cm | | 内径 D_{i0} | cm | | | |
| 間隙水圧経路体積変化 | 厚さ | cm | | 体積 V_c | cm ³ | | | | |
| | 厚さ | cm | | 断面積 A_c | cm ² | | | | |
| 間隙水圧経路体積変化 | | cm ³ /kN/m ² | | 乾燥質量 m_s | g | | | | |
| 材質 | | ラテックス | | 乾燥密度 $\rho_{ds} = m_s/V_c$ | g/cm ³ | | | | |
| 厚さ | | mm | | 間隙比 e ³⁾ | 0.495 | | | | |
| 高さ | | H_0 cm | | 相対密度 D_{rc} ³⁾ | % | | | | |
| 外径 (D_0, ϕ) | | cm | | 圧密前 | 等方応力増加量 $\Delta\sigma$ | N/mm ² | | | |
| 内径 D_{i0} | | cm | | 間隙水圧増加量 Δu | N/mm ² | | | | |
| | | | | 測定に要した時間 | min | | | | |
| | | | | B 値 | 0.95 | | | | |
| | | | | 圧密後 | 等方応力増加量 $\Delta\sigma$ | N/mm ² | | | |
| | | | | 間隙水圧増加量 | Δu_v N/mm ² | | | | |
| | | | | 測定に要した時間 | Δu_1 N/mm ² | | | | |
| | | | | B 値 | min | | | | |

特記事項

供試体の状況



- 1) 試料の採取方法、試料の状態(塊状、凍結、ときほぐされた)等を記載する。
- 2) トリミング法、負圧法の種別、凍結試料の場合は解凍方法等を記載する。
- 3) 必要に応じて記載する。
- 4) 必要に応じて粘性土の場合は液性限界、塑性限界、砂質土の場合は、最小乾燥密度、最大乾燥密度等を記載する。
- 5) 異方応力状態で試験するときのみ記入する。
- 6) 中空円筒供試体による場合に記入する。

[1kN/m² ≒ 0.102kgf/cm²]

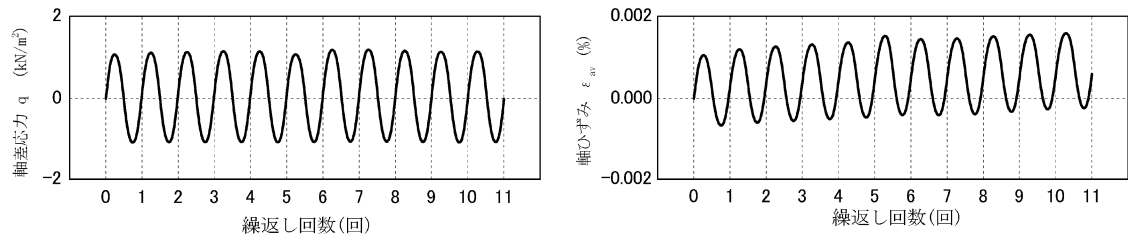
| | | | |
|-----|-------------------------|--|------------------|
| JGS | 0542 0543 | 地盤材料の変形特性を求めるための繰返し三軸試験 主の変形特性を求めるための中空円筒供試体による繰返し三軸せん断試験 | (載荷過程 波形記録) |
|-----|-------------------------|--|------------------|

調査件名 _____ 試験年月日 令和 3 年 1 月 22 日

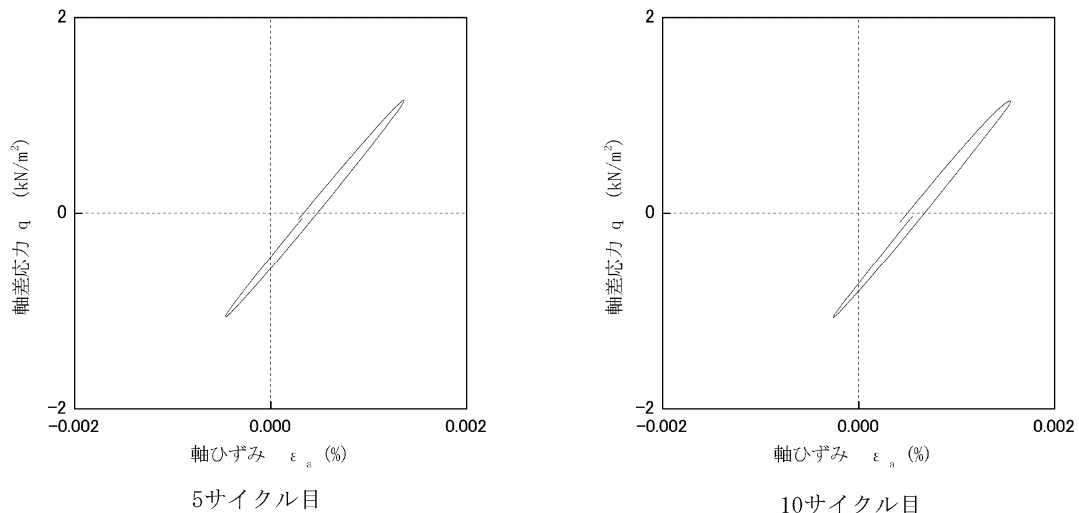
試料番号(深さ) MSC _____ 試験者 清水 裕之

| 土質名称 | | | | 供試体 No. | 1 | 載荷段階 | 1 | | | | | |
|------------------|------------------------------------|------------------------------------|-------|-------------------------------------|----------------------------------|-----------------------------------|-------------|-----|----------|----------|-------|-----|
| 繰返し 載荷試験 前 | 軸変位量 ΔH_3 cm | 0.000 | サイクル | 片振幅軸応力 σ_d kN/m ² | 片振幅軸ひずみ $(\varepsilon_a)_{SA}$ % | 等価ヤング率 E_{eq} MN/m ² | 履歴減衰率 h % | | | | | |
| | 体積変化量 ΔV_0 cm ³ | 0.000 | | | | | | | | | | |
| | 高さ H_3 cm | 10.076 | 2 | | | | | 1.1 | 8.91E-04 | 121.8 | 3.7 | |
| | 外径 (D_{10}, D_{30}) cm | 5.015 | 3 | | | | | 1.1 | 9.02E-04 | 121.2 | 3.2 | |
| | 内径 D_{10} cm | | 4 | | | | | 1.1 | 9.05E-04 | 121.9 | 3.5 | |
| | 体積 V_a cm ³ | 199.026 | 5 | | | | | 1.1 | 9.11E-04 | 121.0 | 3.5 | |
| | 断面積 A_0 cm ² | 19.752 | 6 | | | | | 1.1 | 9.62E-04 | 110.5 | 6.3 | |
| | 間隙比 e_0 | 0.495 | 7 | | | | | 1.1 | 9.24E-04 | 120.7 | 3.1 | |
| | 載荷後 | 軸変位量 ΔH_3 cm | 0.001 | | | | | 8 | 1.1 | 9.20E-04 | 121.4 | 2.8 |
| | | 体積変化量 ΔV_0 cm ³ | 0.054 | | | | | 9 | 1.1 | 9.15E-04 | 120.9 | 3.7 |
| | | | 10 | 1.1 | 9.05E-04 | 121.7 | 3.8 | | | | | |

波形の連続記録¹⁾



履歴曲線²⁾



特記事項

- 繰返し載荷中の軸荷重と軸変位,あるいはねじり力と回転角の連続記録を図示するか,または別途添付してもよい。
- 軸荷重と軸変位,あるいはねじり力と回転角の履歴曲線を図示するか,または別途添付してもよい。必要に応じて5, 10回目以外の繰返し載荷における履歴曲線も添える。
- 中空円筒供試体による試験のときのみ記入する。

[1kN/m² ≒ 0.0102kgf/cm²]
[1MN/m² ≒ 10.2kgf/cm²]

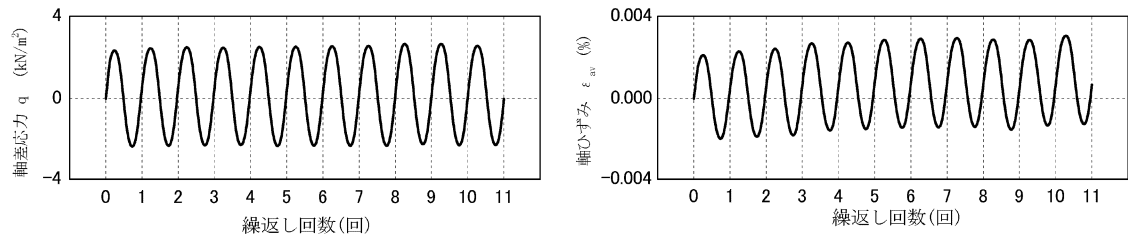
| | | | |
|-----|-------------------------|---|------------------|
| JGS | 0542 0543 | 地盤材料の変形特性を求めるための繰返し三軸試験 主の変形特性を求めるための中空円筒供試体による繰返し三軸試験 | (載荷過程 波形記録) |
|-----|-------------------------|---|------------------|

調査件名 _____ 試験年月日 令和 3 年 1 月 22 日

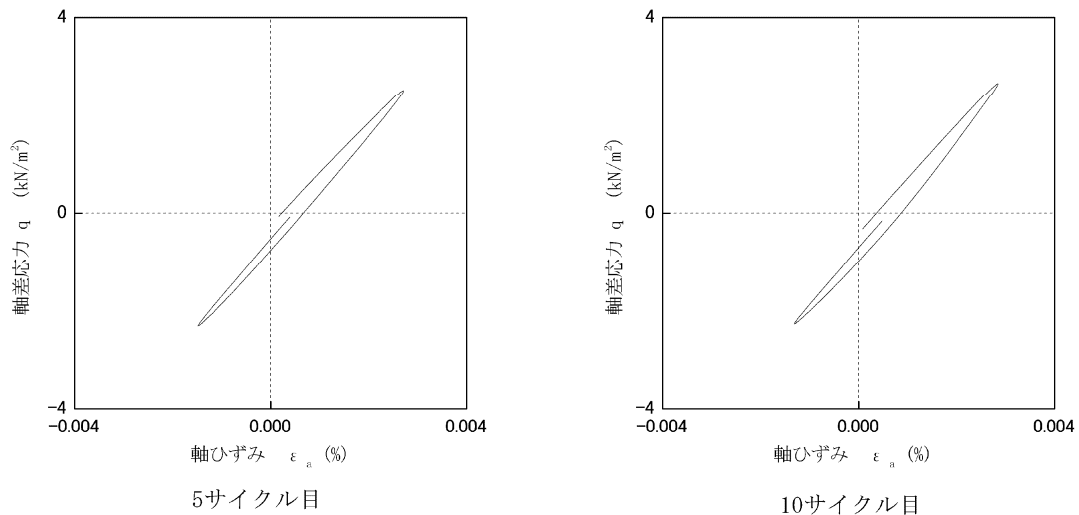
試料番号(深さ) MSC _____ 試験者 清水 裕之

| 土質名称 | | | | 供試体 No. | 1 | 載荷段階 | 2 | | | | | |
|------------------|------------------------------------|------------------------------------|-------|-------------------------------------|-------------------------------|-----------------------------------|-------------|-----|----------|----------|-------|-----|
| 繰返し 載荷試験 前 | 軸変位量 ΔH_3 cm | 0.001 | サイクル | 片振幅軸応力 σ_d kN/m ² | 片振幅軸ひずみ $(\epsilon_a)_{SA}$ % | 等価ヤング率 E_{eq} MN/m ² | 履歴減衰率 h % | | | | | |
| | 体積変化量 ΔV_0 cm ³ | 0.054 | | | | | | | | | | |
| | 高さ H_3 cm | 10.076 | 2 | | | | | 2.4 | 2.07E-03 | 114.4 | 2.9 | |
| | 外径 (D_{10}, D_{30}) cm | 5.014 | 3 | | | | | 2.4 | 2.10E-03 | 113.3 | 2.4 | |
| | 内径 D_{10} cm | | 4 | | | | | 2.4 | 2.12E-03 | 111.5 | 5.2 | |
| | 体積 V_a cm ³ | 198.972 | 5 | | | | | 2.4 | 2.10E-03 | 114.9 | 3.6 | |
| | 断面積 A_0 cm ² | 19.748 | 6 | | | | | 2.4 | 2.13E-03 | 112.6 | 2.9 | |
| | 間隙比 e_0 | 0.495 | 7 | | | | | 2.4 | 2.16E-03 | 112.0 | 2.6 | |
| | 載荷後 | 軸変位量 ΔH_3 cm | 0.001 | | | | | 8 | 2.4 | 2.16E-03 | 112.4 | 3.0 |
| | | 体積変化量 ΔV_0 cm ³ | 0.135 | | | | | 9 | 2.4 | 2.19E-03 | 111.4 | 2.0 |
| | | | 10 | 2.5 | 2.08E-03 | 118.3 | 4.1 | | | | | |

波形の連続記録¹⁾



履歴曲線²⁾



特記事項

- 繰返し載荷中の軸荷重と軸変位,あるいはねじり力と回転角の連続記録を
図示するか,または別途添付してもよい。
- 軸荷重と軸変位,あるいはねじり力と回転角の履歴曲線を図示するか,ま
たは別途添付してもよい。必要に応じて5, 10回目以外の繰返し載荷にお
ける履歴曲線も添える。
- 中空円筒供試体による試験のときのみ記入する。

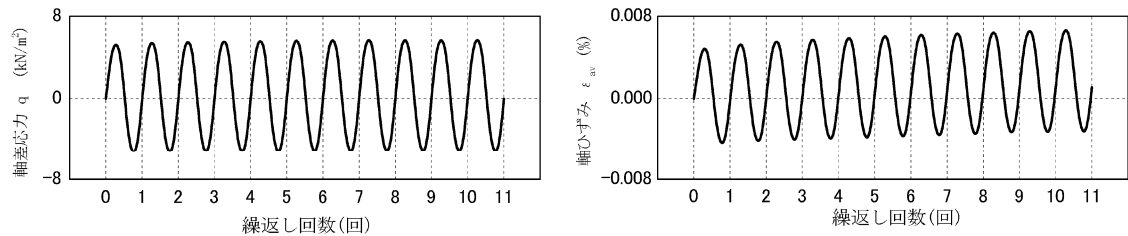
[1kN/m² ≒ 0.0102kgf/cm²]
[1MN/m² ≒ 10.2kgf/cm²]

調査件名 _____ 試験年月日 令和 3 年 1 月 22 日

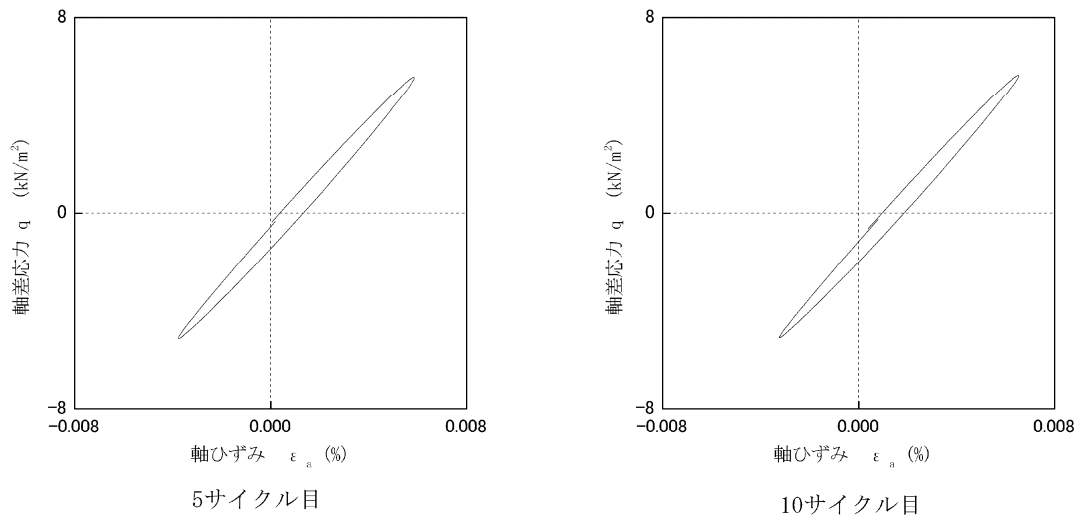
試料番号(深さ) MSC _____ 試験者 清水 裕之

| 土 質 名 称 | | | | 供 試 体 No. | 1 | 載 荷 段 階 | 3 | | | | | |
|----------------------|------------------------------------|------------------------------------|-------|-------------------------------------|-------------------------------|-----------------------------------|-------------|-----|----------|----------|-------|-----|
| 繰返し 載荷 試験 前 | 軸変位量 ΔH_3 cm | 0.001 | サイクル | 片振幅軸応力 σ_d kN/m ² | 片振幅軸ひずみ $(\epsilon_a)_{SA}$ % | 等価ヤング率 E_{eq} MN/m ² | 履歴減衰率 h % | | | | | |
| | 体積変化量 ΔV_0 cm ³ | 0.135 | | | | | | | | | | |
| | 高 　　さ H_3 cm | 10.075 | 2 | | | | | 5.3 | 4.67E-03 | 113.1 | 4.7 | |
| | 外径 (D_{10}, D_{30}) cm | 5.013 | 3 | | | | | 5.3 | 4.75E-03 | 111.7 | 4.6 | |
| | 内 　　径 D_{10} cm | | 4 | | | | | 5.3 | 4.80E-03 | 111.2 | 4.5 | |
| | 体 　　積 V_a cm ³ | 198.891 | 5 | | | | | 5.4 | 4.82E-03 | 111.1 | 4.5 | |
| | 断 面 積 A_0 cm ² | 19.741 | 6 | | | | | 5.4 | 4.85E-03 | 110.6 | 4.4 | |
| | 間 隙 比 e_0 | 0.494 | 7 | | | | | 5.4 | 4.87E-03 | 110.4 | 4.5 | |
| | 載 荷 後 | 軸変位量 ΔH_3 cm | 0.002 | | | | | 8 | 5.4 | 4.87E-03 | 110.5 | 4.5 |
| | | 体積変化量 ΔV_0 cm ³ | 0.188 | | | | | 9 | 5.4 | 4.84E-03 | 111.1 | 4.4 |
| | | | 10 | 5.4 | 4.89E-03 | 109.9 | 4.3 | | | | | |

波形の連続記録¹⁾



履歴曲線²⁾



特記事項

- 1) 繰返し載荷中の軸荷重と軸変位,あるいはねじり力と回転角の連続記録を
図示するか,または別途添付してもよい。
- 2) 軸荷重と軸変位,あるいはねじり力と回転角の履歴曲線を図示するか,
または別途添付してもよい。必要に応じて5, 10回目以外の繰返し載荷に
おける履歴曲線も添える。
- 3) 中空円筒供試体による試験のときのみ記入する。

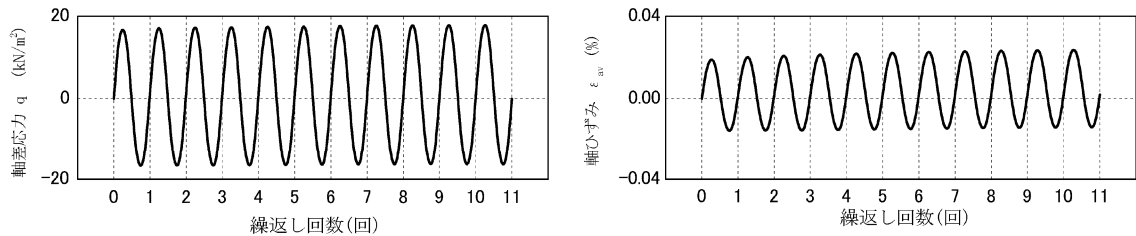
[1kN/m² ≒ 0.0102kgf/cm²]
[1MN/m² ≒ 10.2kgf/cm²]

調査件名 _____ 試験年月日 令和 3 年 1 月 22 日

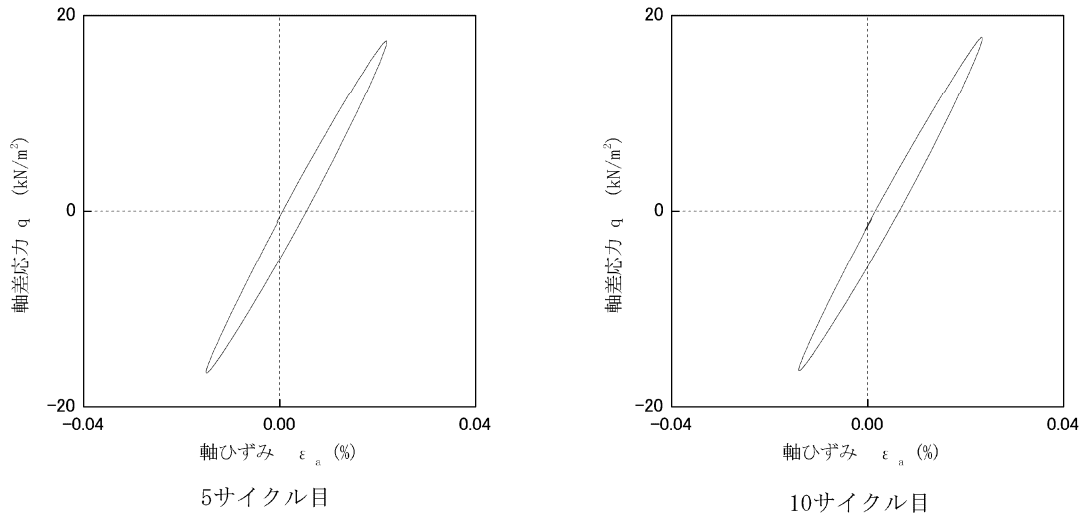
試料番号(深さ) MSC _____ 試験者 清水 裕之

| 土 質 名 称 | | | | 供 試 体 No. | 1 | 載 荷 段 階 | 5 | | | | | | |
|----------------------|------------------------------------|----------------------|------|-------------------------------------|-------------------------------|-----------------------------------|-------------|-------|------|----------|----------|------|-----|
| 繰返し 載荷 試験 前 | 軸変位量 ΔH_3 cm | 0.002 | サイクル | 片振幅軸応力 σ_d kN/m ² | 片振幅軸ひずみ $(\epsilon_a)_{SA}$ % | 等価ヤング率 E_{eq} MN/m ² | 履歴減衰率 h % | | | | | | |
| | 体積変化量 ΔV_0 cm ³ | 0.215 | | | | | | | | | | | |
| | 高 高 高 H_3 cm | 10.075 | | | | | | 2 | 16.9 | 1.78E-02 | 94.7 | 6.3 | |
| | 外 径 $(D_o, D_{in}^{(3)})$ cm | 5.013 | | | | | | 3 | 16.9 | 1.82E-02 | 93.4 | 6.3 | |
| | 内 径 $D_{in}^{(3)}$ cm | | | | | | | 4 | 17.0 | 1.83E-02 | 92.7 | 6.3 | |
| | 体 積 V_a cm ³ | 198.810 | | | | | | 5 | 17.0 | 1.85E-02 | 92.1 | 6.2 | |
| | 断 面 積 A_{in} cm ² | 19.734 | | | | | | 6 | 17.0 | 1.85E-02 | 91.9 | 6.2 | |
| | 間 隙 比 e_s | 0.493 | | | | | | 7 | 17.0 | 1.86E-02 | 91.5 | 6.2 | |
| | 繰返し 載荷 後 | 軸変位量 ΔH_3 cm | | | | | | 0.003 | 8 | 17.0 | 1.86E-02 | 91.4 | 6.2 |
| | 体積変化量 ΔV_0 cm ³ | 0.242 | | | | | | 9 | 17.0 | 1.87E-02 | 91.3 | 6.1 | |
| | | | 10 | 17.1 | 1.87E-02 | 91.1 | 6.1 | | | | | | |

波形の連続記録¹⁾



履歴曲線²⁾



特記事項

- 1) 繰返し載荷中の軸荷重と軸変位,あるいはねじり力と回転角の連続記録を
図示するか,または別途添付してもよい。
- 2) 軸荷重と軸変位,あるいはねじり力と回転角の履歴曲線を図示するか,ま
たは別途添付してもよい。必要に応じて5, 10回目以外の繰返し載荷にお
ける履歴曲線も添える。
- 3) 中空円筒供試体による試験のときのみ記入する。

[1kN/m² ≒ 0.0102kgf/cm²]
[1MN/m² ≒ 10.2kgf/cm²]

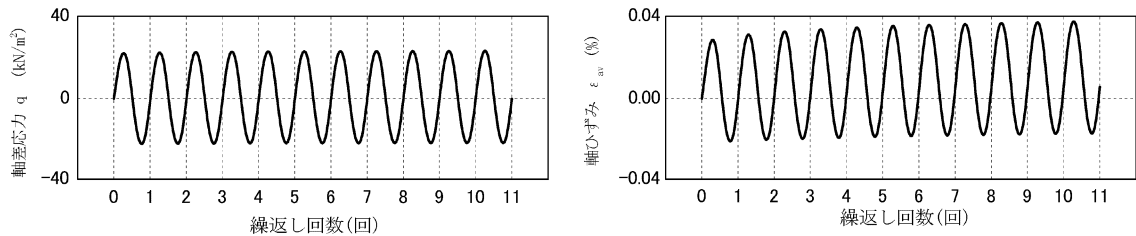
| | | | |
|-----|-------------------------|---|------------------|
| JGS | 0542 0543 | 地盤材料の変形特性を求めるための繰返し三軸試験 主の変形特性を求めるための中空円筒供試体による繰返し三軸試験 | (載荷過程) 波形記録 |
|-----|-------------------------|---|------------------|

調査件名 _____ 試験年月日 令和 3 年 1 月 22 日

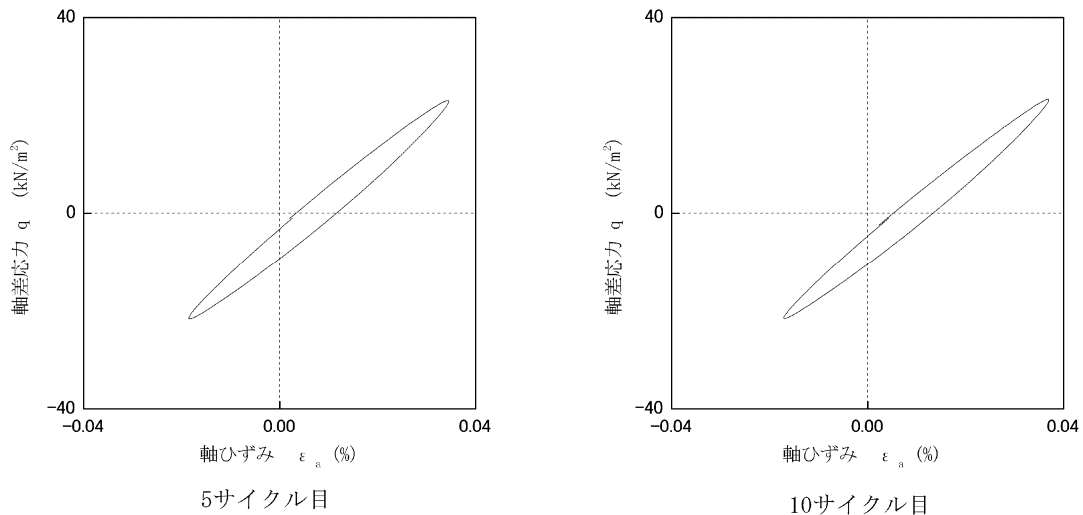
試料番号(深さ) MSC _____ 試験者 清水 裕之

| 土質名称 | | | | 供試体 No. | 1 | 載荷段階 | 6 | | | | | |
|----------------------|------------------------------------|------------------------------------|-------|-------------------------------------|--|-----------------------------------|-------------|------|----------|----------|------|-----|
| 繰返し 載荷 試験 前 | 軸変位量 ΔH_3 cm | 0.003 | サイクル | 片振幅軸応力 σ_d kN/m ² | 片振幅軸ひずみ (ϵ_a) _{SA} % | 等価ヤング率 E_{eq} MN/m ² | 履歴減衰率 h % | | | | | |
| | 体積変化量 ΔV_0 cm ³ | 0.242 | | | | | | | | | | |
| | 高さ H_3 cm | 10.074 | 2 | | | | | 22.1 | 2.56E-02 | 86.4 | 7.4 | |
| | 外径 (D_{10}, D_{30}) cm | 5.012 | 3 | | | | | 22.2 | 2.61E-02 | 85.2 | 7.4 | |
| | 内径 D_{10} cm | | 4 | | | | | 22.2 | 2.64E-02 | 84.3 | 7.2 | |
| | 体積 V_a cm ³ | 198.783 | 5 | | | | | 22.2 | 2.65E-02 | 83.8 | 7.3 | |
| | 断面積 A_0 cm ² | 19.733 | 6 | | | | | 22.3 | 2.68E-02 | 83.3 | 7.2 | |
| | 間隙比 e_0 | 0.493 | 7 | | | | | 22.3 | 2.68E-02 | 83.1 | 7.2 | |
| | 載荷 後 | 軸変位量 ΔH_3 cm | 0.004 | | | | | 8 | 22.3 | 2.69E-02 | 82.9 | 7.1 |
| | | 体積変化量 ΔV_0 cm ³ | 1.291 | | | | | 9 | 22.3 | 2.71E-02 | 82.6 | 7.0 |
| | | | 10 | 22.3 | 2.70E-02 | 82.6 | 7.0 | | | | | |

波形の連続記録¹⁾



履歴曲線²⁾



特記事項

- 繰返し載荷中の軸荷重と軸変位,あるいはねじり力と回転角の連続記録を図示するか,または別途添付してもよい。
- 軸荷重と軸変位,あるいはねじり力と回転角の履歴曲線を図示するか,または別途添付してもよい。必要に応じて5, 10回目以外の繰返し載荷における履歴曲線も添える。
- 中空円筒供試体による試験のときのみ記入する。

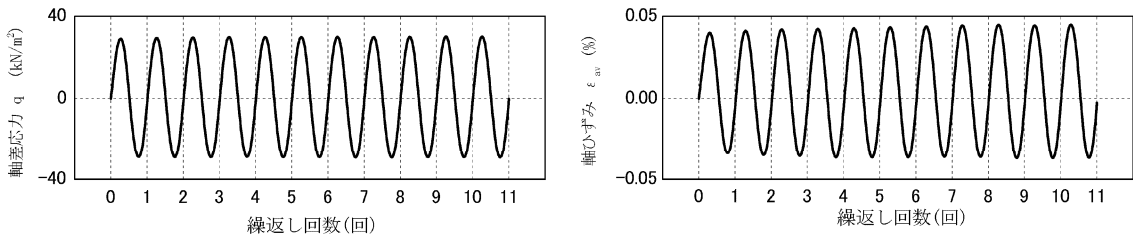
[1kN/m² ≒ 0.0102kgf/cm²]
[1MN/m² ≒ 10.2kgf/cm²]

調査件名 _____ 試験年月日 令和 3 年 1 月 22 日

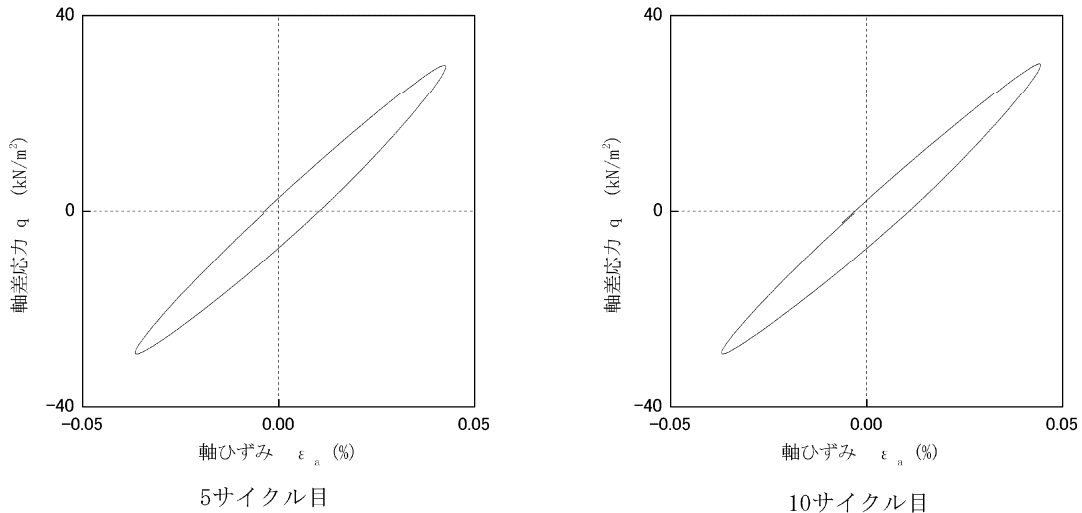
試料番号(深さ) MSC _____ 試験者 清水 裕之

| 土 質 名 称 | | | | 供 試 体 No. | 1 | 載 荷 段 階 | 7 | | | | | |
|----------------------|------------------------------------|------------------------------------|-------|-------------------------------------|-------------------------------|-----------------------------------|-------------|------|----------|----------|------|-----|
| 繰返し 載荷 試験 前 | 軸変位量 ΔH_3 cm | 0.004 | サイクル | 片振幅軸応力 σ_d kN/m ² | 片振幅軸ひずみ $(\epsilon_a)_{SA}$ % | 等価ヤング率 E_{eq} MN/m ² | 履歴減衰率 h % | | | | | |
| | 体積変化量 ΔV_0 cm ³ | 1.291 | | | | | | | | | | |
| | 高 　　さ H_3 cm | 10.073 | 2 | | | | | 29.3 | 3.81E-02 | 76.9 | 8.4 | |
| | 外径 (D_{10}, D_{30}) cm | 4.999 | 3 | | | | | 29.4 | 3.89E-02 | 75.7 | 8.3 | |
| | 内 　　径 D_{10} cm | | 4 | | | | | 29.5 | 3.94E-02 | 74.7 | 8.1 | |
| | 体 　　積 V_a cm ³ | 197.734 | 5 | | | | | 29.6 | 3.96E-02 | 74.6 | 8.4 | |
| | 断 面 積 A_a cm ² | 19.630 | 6 | | | | | 29.6 | 4.00E-02 | 74.0 | 8.2 | |
| | 間 隙 比 e_a | 0.485 | 7 | | | | | 29.6 | 4.00E-02 | 74.0 | 8.1 | |
| | 載 荷 後 | 軸変位量 ΔH_3 cm | 0.004 | | | | | 8 | 29.6 | 4.04E-02 | 73.4 | 8.1 |
| | | 体積変化量 ΔV_0 cm ³ | 1.291 | | | | | 9 | 29.6 | 4.09E-02 | 72.4 | 8.1 |
| | | | 10 | 29.7 | 4.07E-02 | 73.0 | 7.9 | | | | | |

波形の連続記録¹⁾



履歴曲線²⁾



特記事項

- 1) 繰返し載荷中の軸荷重と軸変位,あるいはねじり力と回転角の連続記録を図示するか,または別途添付してもよい。
- 2) 軸荷重と軸変位,あるいはねじり力と回転角の履歴曲線を図示するか,または別途添付してもよい。必要に応じて5, 10回目以外の繰返し載荷における履歴曲線も添える。
- 3) 中空円筒供試体による試験のときのみ記入する。

[1kN/m² ≒ 0.0102kgf/cm²]
[1MN/m² ≒ 10.2kgf/cm²]

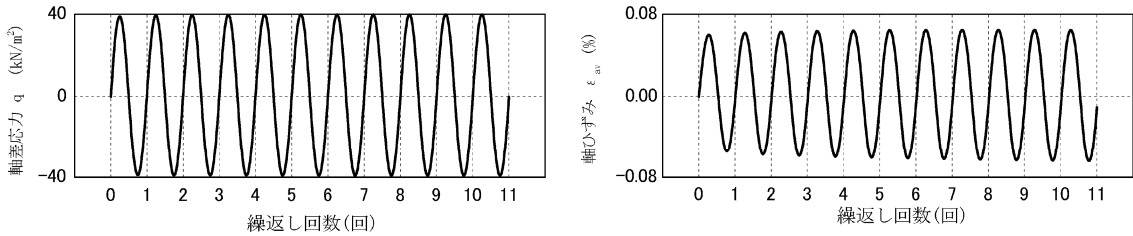
| | | | |
|-----|-------------------------|---|------------------|
| JGS | 0542 0543 | 地盤材料の変形特性を求めるための繰返し三軸試験 主の変形特性を求めるための中空円筒供試体による繰返し三軸圧縮試験 | (載荷過程 波形記録) |
|-----|-------------------------|---|------------------|

調査件名 _____ 試験年月日 令和 3 年 1 月 22 日

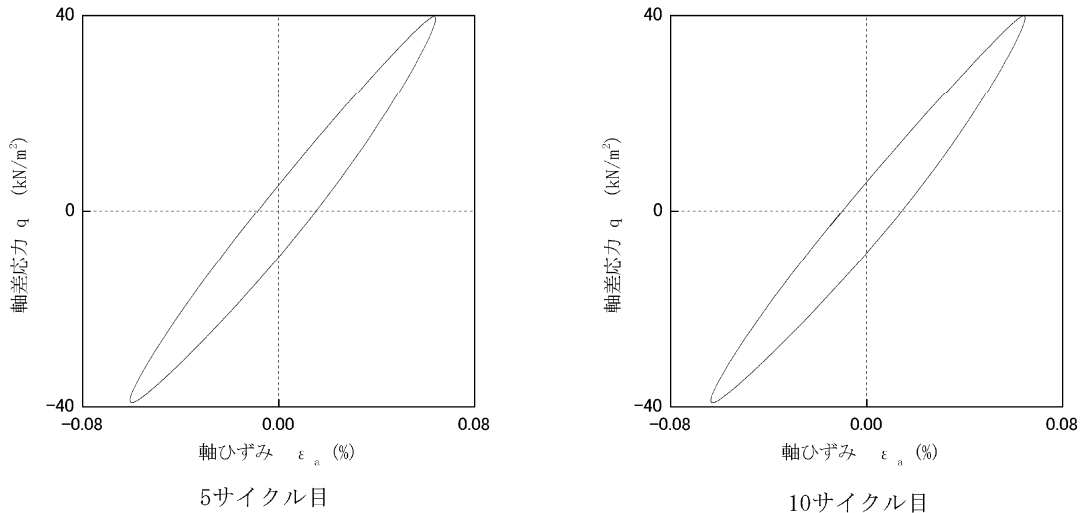
試料番号(深さ) MSC _____ 試験者 清水 裕之

| 土質名称 | | | | 供試体 No. | 1 | 載荷段階 | 8 | | | | | |
|----------------------|------------------------------------|------------------------------------|-------|-------------------------------------|-------------------------------|-----------------------------------|-------------|------|----------|----------|------|-----|
| 繰返し 載荷 試験 前 | 軸変位量 ΔH_3 cm | 0.004 | サイクル | 片振幅軸応力 σ_d kN/m ² | 片振幅軸ひずみ $(\epsilon_a)_{SA}$ % | 等価ヤング率 E_{eq} MN/m ² | 履歴減衰率 h % | | | | | |
| | 体積変化量 ΔV_0 cm ³ | 1.291 | | | | | | | | | | |
| | 高さ H_3 cm | 10.072 | 2 | | | | | 39.3 | 5.97E-02 | 65.8 | 9.3 | |
| | 外径 ($D_o, D_{o,3}$) cm | 5.000 | 3 | | | | | 39.4 | 6.09E-02 | 64.6 | 9.3 | |
| | 内径 $D_{i,3}$ cm | | 4 | | | | | 39.4 | 6.18E-02 | 63.8 | 9.2 | |
| | 体積 V_a cm ³ | 197.734 | 5 | | | | | 39.4 | 6.24E-02 | 63.2 | 9.2 | |
| | 断面積 A_a cm ² | 19.632 | 6 | | | | | 39.5 | 6.29E-02 | 62.8 | 9.1 | |
| | 間隙比 e_a | 0.485 | 7 | | | | | 39.5 | 6.34E-02 | 62.4 | 9.1 | |
| | 載荷 後 | 軸変位量 ΔH_3 cm | 0.005 | | | | | 8 | 39.6 | 6.37E-02 | 62.1 | 9.0 |
| | | 体積変化量 ΔV_0 cm ³ | 1.291 | | | | | 9 | 39.5 | 6.39E-02 | 61.8 | 9.0 |
| | | | 10 | 39.5 | 6.42E-02 | 61.6 | 8.9 | | | | | |

波形の連続記録¹⁾



履歴曲線²⁾



特記事項

- 繰返し載荷中の軸荷重と軸変位,あるいはねじり力と回転角の連続記録を図示するか,または別途添付してもよい。
- 軸荷重と軸変位,あるいはねじり力と回転角の履歴曲線を図示するか,または別途添付してもよい。必要に応じて5, 10回目以外の繰返し載荷における履歴曲線も添える。
- 中空円筒供試体による試験のときのみ記入する。

[1kN/m² ≒ 0.0102kgf/cm²]
[1MN/m² ≒ 10.2kgf/cm²]

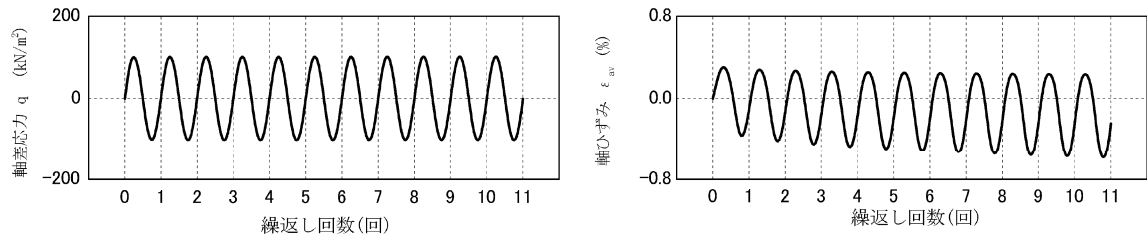
| | | | |
|-----|-------------------------|---|------------------|
| JGS | 0542 0543 | 地盤材料の変形特性を求めるための繰返し三軸試験 主の変形特性を求めるための中空円筒供試体による繰返し三軸試験 | (載荷過程) 波形記録 |
|-----|-------------------------|---|------------------|

調査件名 _____ 試験年月日 令和 3 年 1 月 22 日

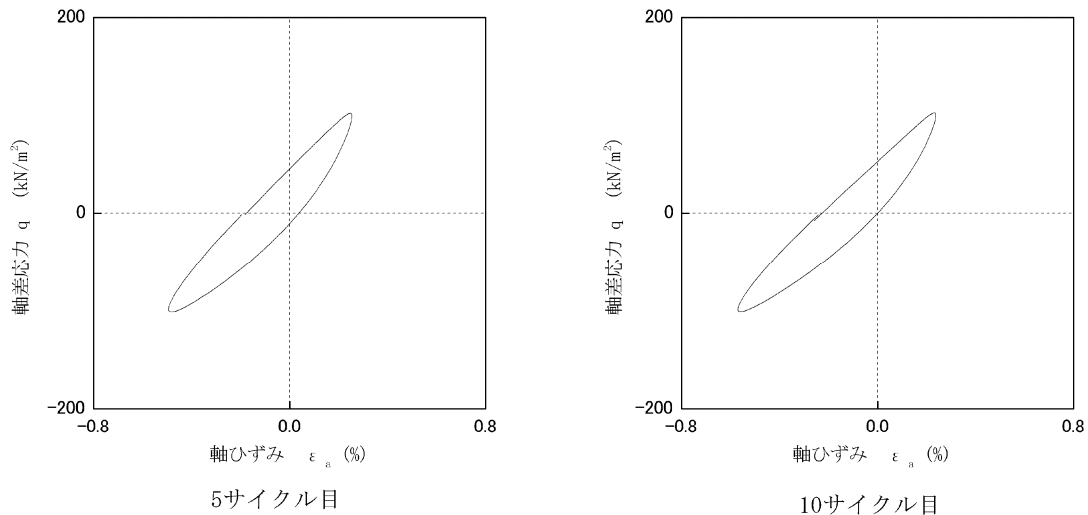
試料番号(深さ) MSC _____ 試験者 清水 裕之

| 土質名称 | | | | 供試体 No. | 1 | 載荷段階 | 10 | | | | | |
|----------------------|------------------------------------|------------------------------------|-------|-------------------------------------|-------------------------------|-----------------------------------|-------------|-------|----------|----------|------|------|
| 繰返し 載荷 試験 前 | 軸変位量 ΔH_3 cm | 0.006 | サイクル | 片振幅軸応力 σ_d kN/m ² | 片振幅軸ひずみ $(\epsilon_a)_{SA}$ % | 等価ヤング率 E_{eq} MN/m ² | 履歴減衰率 h % | | | | | |
| | 体積変化量 ΔV_0 cm ³ | 1.291 | | | | | | | | | | |
| | 高さ H_3 cm | 10.071 | 2 | | | | | 101.1 | 3.47E-01 | 29.1 | 15.4 | |
| | 外径 (D_{10}, D_{30}) cm | 5.000 | 3 | | | | | 101.2 | 3.58E-01 | 28.3 | 14.8 | |
| | 内径 D_{10} cm | | 4 | | | | | 101.2 | 3.67E-01 | 27.6 | 14.4 | |
| | 体積 V_a cm ³ | 197.734 | 5 | | | | | 101.3 | 3.75E-01 | 27.0 | 14.1 | |
| | 断面積 A_a cm ² | 19.635 | 6 | | | | | 101.2 | 3.81E-01 | 26.5 | 13.9 | |
| | 間隙比 e_a | 0.485 | 7 | | | | | 101.2 | 3.88E-01 | 26.1 | 13.8 | |
| | 載荷 後 | 軸変位量 ΔH_3 cm | 0.005 | | | | | 8 | 101.3 | 3.94E-01 | 25.7 | 13.7 |
| | | 体積変化量 ΔV_0 cm ³ | 0.215 | | | | | 9 | 101.3 | 3.99E-01 | 25.4 | 13.6 |
| | | | 10 | 101.3 | 4.04E-01 | 25.1 | 13.5 | | | | | |

波形の連続記録¹⁾



履歴曲線²⁾



特記事項

- 繰返し載荷中の軸荷重と軸変位,あるいはねじり力と回転角の連続記録を図示するか,または別途添付してもよい。
- 軸荷重と軸変位,あるいはねじり力と回転角の履歴曲線を図示するか,または別途添付してもよい。必要に応じて5, 10回目以外の繰返し載荷における履歴曲線も添える。
- 中空円筒供試体による試験のときのみ記入する。

[1kN/m² ≒ 0.0102kgf/cm²]
[1MN/m² ≒ 10.2kgf/cm²]

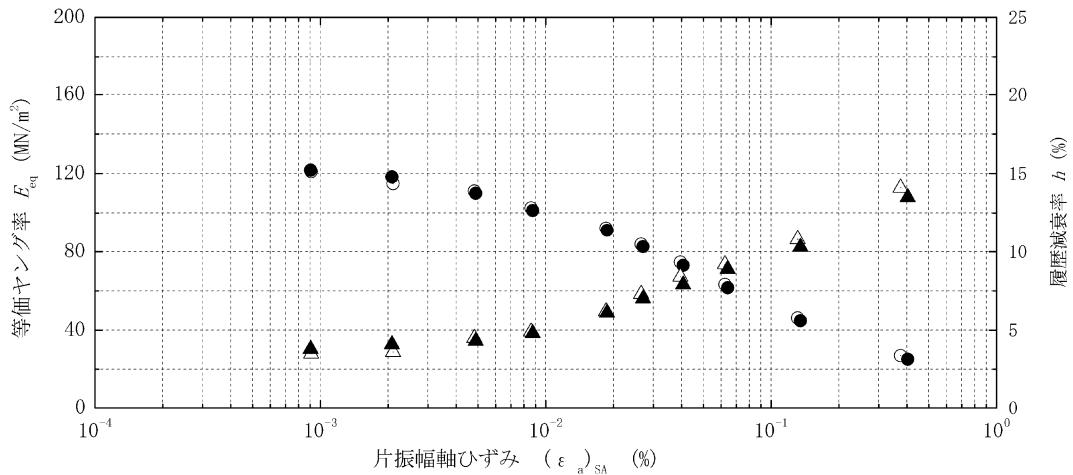
| | | |
|-----|-------------------------|--|
| JGS | 0542 0543 | 地盤材料の変形特性を求めるための繰返し三軸試験($E_{eq}, h \sim (\epsilon)_{SA}$ 関係) 主の変形特性を有する中空円筒供試体による繰返し三軸試験($E_{eq}, h \sim (\epsilon)_{SA}$ 関係) |
|-----|-------------------------|--|

調査件名 試験年月日 令和3年1月22日

試料番号(深さ) MSC 試験者 清水 裕之

| | | | |
|------------------------|--|---|---------------------|
| 試料の状態 ¹⁾ | 乱さない | 土粒子の密度 ρ_s ³⁾ g/cm ³ | 2.644 |
| 供試体の作製方法 ²⁾ | トリミング | 最小乾燥密度 ρ_{min} ⁴⁾ g/cm ³ | |
| 土質名称 | | 最大乾燥密度 ρ_{max} ⁴⁾ g/cm ³ | |
| 供試体 No. | 1 | 飽和方法 | 二重負圧法 |
| 試験条件 | 軸方向応力 σ_{ac} kN/m ² | 300 | 載荷条件 |
| | 側方向応力(=外圧,内圧) σ_{rc} kN/m ² | 300 | |
| | 背圧 u_b kN/m ² | 200 | |
| | 軸方向圧密応力 σ'_{ac} kN/m ² | 100 | |
| | 側方向圧密応力 σ'_{rc} kN/m ² | 100 | |
| | 異方圧密応力比 $\sigma'_{rc}/\sigma'_{ac}$ (=K) ⁵⁾ | 1 | |
| | | 圧密条件 | 等方, 異方 |
| | | 載荷波形 | 正弦波, 三角波 |
| | | 載荷周波数 f Hz | 0.1 |
| | | 排水条件 | 排水 , 非排水 |
| | | 1サイクルデータポイント数 | 100 |
| | | 載荷段階数 | 10 |

| 載荷段階 | 5サイクル目 ○ △ | | | 10サイクル目 ● ▲ | | |
|------|-------------------------------|-----------------------------------|-------------|-------------------------------|-----------------------------------|-------------|
| | 片振幅軸ひずみ $(\epsilon_a)_{SA}$ % | 等価ヤング率 E_{eq} MN/m ² | 履歴減衰率 h % | 片振幅軸ひずみ $(\epsilon_a)_{SA}$ % | 等価ヤング率 E_{eq} MN/m ² | 履歴減衰率 h % |
| 1 | 9.11E-04 | 121.0 | 3.5 | 9.05E-04 | 121.7 | 3.8 |
| 2 | 2.10E-03 | 114.9 | 3.6 | 2.08E-03 | 118.3 | 4.1 |
| 3 | 4.82E-03 | 111.1 | 4.5 | 4.89E-03 | 109.9 | 4.3 |
| 4 | 8.61E-03 | 102.4 | 4.9 | 8.75E-03 | 101.2 | 4.8 |
| 5 | 1.85E-02 | 92.1 | 6.2 | 1.87E-02 | 91.1 | 6.1 |
| 6 | 2.65E-02 | 83.8 | 7.3 | 2.70E-02 | 82.6 | 7.0 |
| 7 | 3.96E-02 | 74.6 | 8.4 | 4.07E-02 | 73.0 | 7.9 |
| 8 | 6.24E-02 | 63.2 | 9.2 | 6.42E-02 | 61.6 | 8.9 |
| 9 | 1.31E-01 | 46.1 | 10.8 | 1.35E-01 | 44.7 | 10.3 |
| 10 | 3.75E-01 | 27.0 | 14.1 | 4.04E-01 | 25.1 | 13.5 |
| 11 | | | | | | |
| 12 | | | | | | |
| 13 | | | | | | |
| 14 | | | | | | |



特記事項

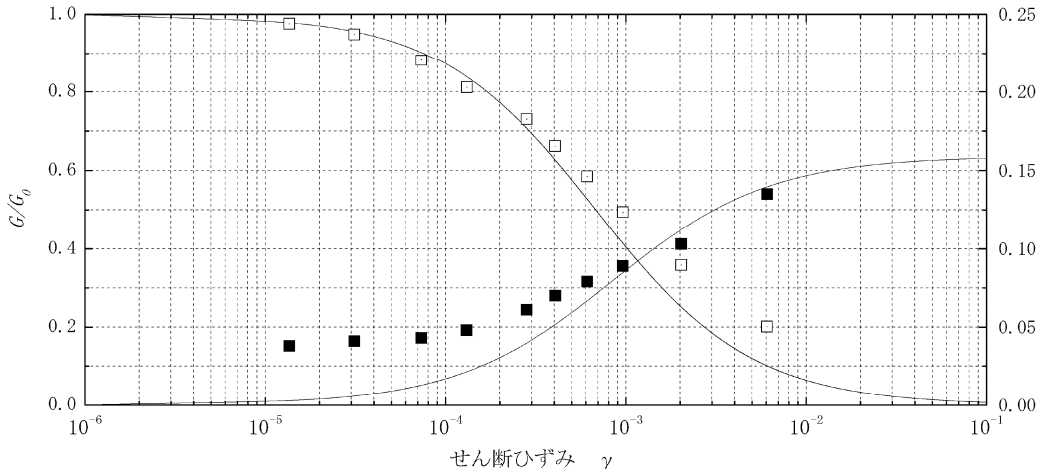
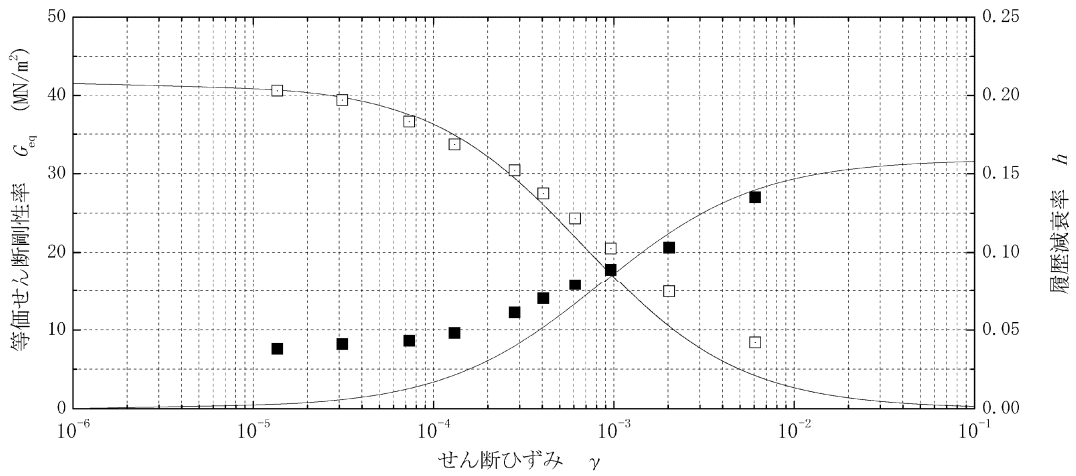
- 1) 試料の採取方法, 試料の状態(塊状, 凍結, とさほぐされた)等を記載する。
- 2) トリミング法, 負圧法の種別, 凍結試料の場合は解冻方法を記載する。
- 3) 必要に応じて記載する。
- 4) 必要に応じて粘性土の場合は液性限界, 塑性限界, 砂質土の場合は, 最小乾燥密度, 最大乾燥密度等を記載する。
- 5) 異方応力状態で試験するときのみ記入する。

[1kN/m² ≒ 0.0102kgf/cm²]
[1MN/m² ≒ 10.2kgf/cm²]

調査件名 _____ 試験年月日 令和 3 年 1 月 22 日

試料番号(深さ) MSC _____ 試験者 清水 裕之

| | |
|--|---|
| $1/G_0 = 0.0241 \text{ (MN/m}^2\text{)}^{-1}$ $G_0 = 41.6 \text{ (MN/m}^2\text{)}$ $1/\tau_f = 35.36$ $\tau_f = 0.0283$ $\gamma_{rg} = 6.8E-4$ $1/h_0 = 6.281$ $\gamma_{rh} = 8.43E-4$ | ポアソン比 $\nu=0.5$ として計算 $G = E/(2(1+\nu))$ $\gamma = (1+\nu) \epsilon_a$ G_0 : 初期せん断剛性率 τ_f : 動的せん断強度 ($=G_0 \cdot \gamma_{rg}$) γ_{rg} : G から求めた基準ひずみ γ_{rh} : h から求めた基準ひずみ |
|--|---|



特記事項

[1kN/m² ≒ 0.0102kgf/cm²]
 [1MN/m² ≒ 10.2kgf/cm²]

動的変形試験

MSL

| | |
|----------|-----------------|
| JGS 0520 | 土の三軸試験の供試体作製・設置 |
|----------|-----------------|

調査件名 試験年月日 令和3年1月21日

試料番号(深さ) MSL 試験者 清水 裕之

| 供試体を用いる試験の基準番号と名称 | | JGS 0542 地盤材料の変形特性を求めるための繰返し三軸試験 | | | |
|----------------------|------------------------------------|-------------------------------------|--------------------------------------|-------|---|
| 試料の状態 ¹⁾ | 乱さない | 土粒子の密度 | $\rho_g^{(3)}$ g/cm ³ | 2.658 | |
| 供試体の作製 ²⁾ | トリミング | 最小乾燥密度 | $\rho_{min}^{(4)}$ g/cm ³ | | |
| 土質名称 | | 最大乾燥密度 | $\rho_{max}^{(4)}$ g/cm ³ | | |
| 供試体 No. | | 1 | 2 | 3 | 4 |
| 初期状態 | 直径 | cm | 5.139, 5.018 | | |
| | | cm | 4.957, 5.044 | | |
| | | cm | 5.012, 4.995 | | |
| | 平均直径 D_i | cm | 5.028 | | |
| | 高さ | cm | 10.206 | | |
| | | cm | 10.278 | | |
| | 平均高さ H_i | cm | 10.242 | | |
| | 体積 | V cm ³ | 203.3 | | |
| | 含水比 | w_i % | 14.8 | | |
| | 質量 | m_i g | 385.8 | | |
| | 湿润密度 | $\rho_{wi}^{(3)}$ g/cm ³ | 1.898 | | |
| | 乾燥密度 | $\rho_{di}^{(3)}$ g/cm ³ | 1.653 | | |
| | 間隙比 | $e^{(3)}$ | 0.608 | | |
| | 飽和度 | $S_{ri}^{(3)}$ % | 64.7 | | |
| 相対密度 | $D_{ri}^{(3)}$ % | | | | |
| 設置・飽和過程 | 軸変位量の測定方法 | | 外部変位計によって測定 | | |
| | 設置時の軸変位量 | cm | | | |
| | 飽和過程の軸変位量 | cm | | | |
| | 軸変位量 | $\Delta H_i^{(5)}$ cm | 0.001 | | |
| | 体積変化量の測定方法 | | 軸変位量から計算によって算出 | | |
| | 設置時の体積変化量 | cm ³ | | | |
| | 飽和過程の体積変化量 | cm ³ | | | |
| 体積変化量 | $\Delta V_i^{(5)}$ cm ³ | 0.0 | | | |
| 圧密前(試験前) | 高さ | H_0 cm | 10.241 | | |
| | 直径 | D_0 cm | 5.027 | | |
| | 体積 | V_0 cm ³ | 203.28 | | |
| | 乾燥密度 | $\rho_{d0}^{(3)}$ g/cm ³ | 1.653 | | |
| | 間隙比 | $e_0^{(3)}$ | 0.608 | | |
| 炉乾燥後 | 容器 No. | | | | |
| | (炉乾燥供試体+容器)質量 | g | | | |
| | 容器質量 | g | | | |
| 炉乾燥質量 | m_s g | 336.0 | | | |

特記事項

- 1) 試料の採取方法、試料の状態(塊状、凍結、ときほぐされた)等を記載する。
- 2) トリミング法、負圧法の種別、凍結試料の場合は解凍方法を記載する。
- 3) 必要に応じて記載する。
- 4) 必要に応じて粘性土の場合は液性限界、塑性限界、砂質土の場合は、最小乾燥密度、最大乾燥密度等を記載する。
- 5) 設置時の変化と飽和過程およびB値測定過程での変化を合わせる。

[1kN/m² ≒ 0.102kgf/cm²]

| | | |
|-----|-------------------------|--|
| JGS | 0542 0543 | 地盤材料の変形特性を求めるための繰返し三軸試験 (試験条件) 三軸試験による地盤材料の変形特性を求めるための繰返し三軸試験 (圧密状態) |
|-----|-------------------------|--|

調査件名

試験年月日 令和3年1月21日

試料番号(深さ) MSL

試験者 清水 裕之

| | | | | | | | | | | | | |
|------------------------|--|------------------------------------|-----|---|------------------------------------|----------------|--------------------------|---------------------|---------------------|--|-------|--|
| 試料の状態 ¹⁾ | | 乱さない | | 土粒子の密度 ρ_s ³⁾ g/cm ³ | | 2.658 | | | | | | |
| 供試体の作製方法 ²⁾ | | トリミング | | 最小乾燥密度 ρ_{min} ⁴⁾ g/cm ³ | | | | | | | | |
| 土質名称 | | | | 最大乾燥密度 ρ_{max} ⁴⁾ g/cm ³ | | | | | | | | |
| 供試体 No. | | 1 | | 飽和方法 | | 二重負圧法 | | | | | | |
| 試験条件 | 軸方向応力 σ_{ac} kN/m ² | | 300 | | 載荷条件 | 載荷波形 | | 正弦波, 三角波 | | | | |
| | 側方向応力(=外圧,内圧) σ_{rc} kN/m ² | | 300 | | | 載荷周波数 f Hz | | 0.1 | | | | |
| | 背圧 u_p kN/m ² | | 200 | | | 排水条件 | | 排水 , 非排水 | | | | |
| | 軸方向圧密応力 σ'_{ac} kN/m ² | | 100 | | | 1サイクルデータポイント数 | | 100 | | | | |
| | 側方向圧密応力 σ'_{rc} kN/m ² | | 100 | | | 載荷段階数 | | 10 | | | | |
| | 異方圧密応力比 $\sigma'_{rc}/\sigma'_{ac}$ (=K) ⁵⁾ | | 1 | | | | | | | | | |
| 試験装置 | 荷重計の容量 | | kN | | 1 | | | | | | | |
| | トルク計の容量 | | N・m | | 1 | | | | | | | |
| | 軸変位計 | 大変位 | 位置 | ① | | 変位計の位置 回転角計 | 軸変位計の読み | | 圧密前 cm | | 0.000 | |
| | | | 種類 | 高感度変位計 | | | 圧密後 cm | | 0.038 | | | |
| | | | 数 | 1 | | | 排水量の読み | | 圧密前 cm ³ | | 0.000 | |
| | 中変位 | 位置 | ② | | 圧密後 cm ³ | | 0.619 | | | | | |
| | | 種類 | LDT | | 軸変位量 ΔH_v cm | | 0.038 | | | | | |
| | | 数 | 2 | | 体積変化量 ΔV_c cm ³ | | 0.619 | | | | | |
| | 小変位 | 位置 | | | 高さ H_0 cm | | 10.203 | | | | | |
| | | 種類 | | | 外径 ($D_0, \phi_{0.075}$) cm | | 5.029 | | | | | |
| | | 数 | | | 内径 D_{10} ⁶⁾ cm | | | | | | | |
| | 回転角計 | 小変位 | 位置 | | | | 体積 V_c cm ³ | | 202.66 | | | |
| 種類 | | | | | 断面積 A_c cm ² | | 19.86 | | | | | |
| 数 | | | | | 乾燥質量 m_s g | | 336.0 | | | | | |
| 金属製リップ | 数量 | | | 乾燥密度 $\rho_{df} = m_s/V_c$ g/cm ³ | | 1.658 | | | | | | |
| | 高さ | cm | | 間隙比 e_c ³⁾ | | 0.603 | | | | | | |
| | 厚さ | cm | | 相対密度 D_{rc} ³⁾ % | | | | | | | | |
| 間隙水圧経路体積変化 | | cm ³ /kN/m ² | | 1.0E-06 | | | | | | | | |
| 材料 | | 質 | | ラテックス | | | | | | | | |
| 厚さ | | mm | | 1.0 | | | | | | | | |
| 圧密前 | 高さ | H_0 cm | | 10.241 | | | | | | | | |
| | 外径 ($D_0, \phi_{0.075}$) | cm | | 5.027 | | | | | | | | |
| | 内径 D_{10} ⁶⁾ | cm | | | | | | | | | | |

特記事項

供試体の状況



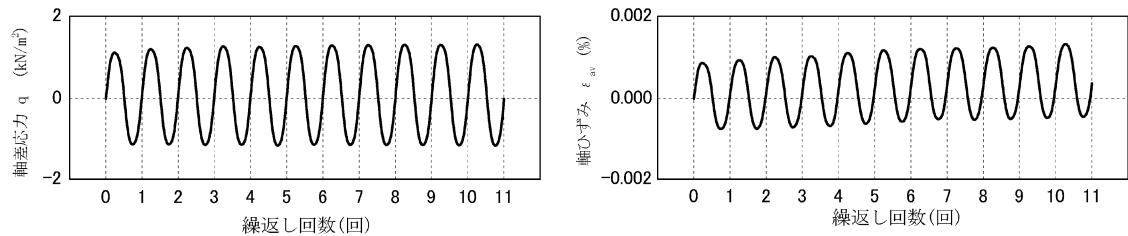
- 1) 試料の採取方法, 試料の状態(塊状, 凍結, ときほぐされた)等を記載する。
- 2) トリミング法, 負圧法の種別, 凍結試料の場合は解凍方法を記載する。
- 3) 必要に応じて記載する。
- 4) 必要に応じて粘性土の場合は液性限界, 塑性限界, 砂質土の場合は, 最小乾燥密度, 最大乾燥密度等を記載する。
- 5) 異方応力状態で試験するときのみ記入する。
- 6) 中空円筒供試体による場合に記入する。

調査件名 _____ 試験年月日 令和 3 年 1 月 21 日

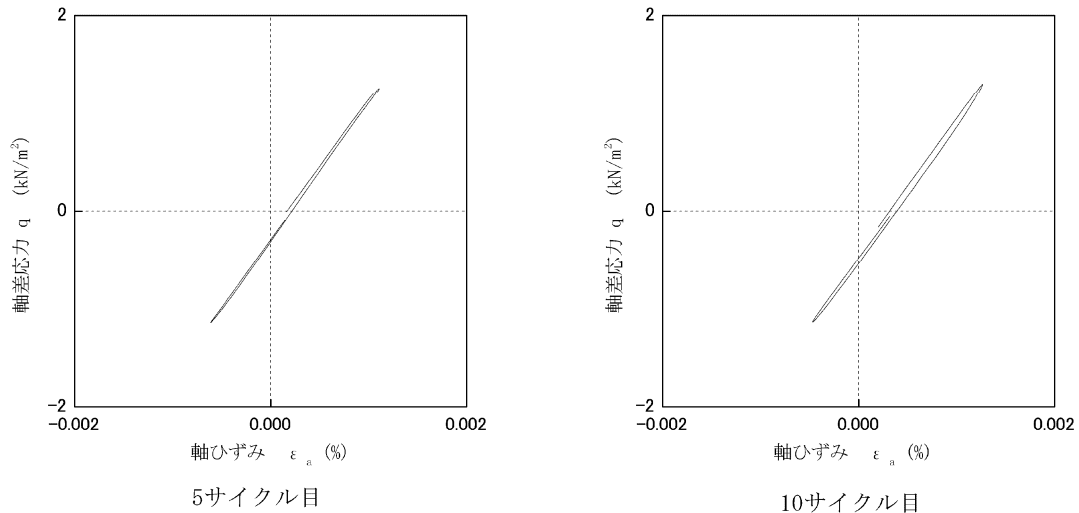
試料番号(深さ) MSL _____ 試験者 清水 裕之

| 土 質 名 称 | | | | 供 試 体 No. | 1 | 載 荷 段 階 | 1 | | | | | |
|------------------|------------------------------------|------------------------------------|-------|-------------------------------------|-------------------------------|-----------------------------------|-------------|-----|----------|----------|-------|-----|
| 繰返し 載荷試験 前 | 軸変位量 ΔH_3 cm | 0.001 | サイクル | 片振幅軸応力 σ_d kN/m ² | 片振幅軸ひずみ $(\epsilon_a)_{SA}$ % | 等価ヤング率 E_{eq} MN/m ² | 履歴減衰率 h % | | | | | |
| | 体積変化量 ΔV_0 cm ³ | 0.000 | | | | | | | | | | |
| | 高 　　さ H_3 cm | 10.203 | 2 | | | | | 1.2 | 8.33E-04 | 139.0 | 0.8 | |
| | 外径 (D_{10}, D_{30}) cm | 5.029 | 3 | | | | | 1.2 | 8.53E-04 | 138.2 | 0.7 | |
| | 内 　　径 D_{10} cm | | 4 | | | | | 1.2 | 8.47E-04 | 140.9 | 1.2 | |
| | 体 　　積 V_a cm ³ | 202.661 | 5 | | | | | 1.2 | 8.60E-04 | 139.3 | 0.9 | |
| | 断 面 積 A_0 cm ² | 19.864 | 6 | | | | | 1.2 | 8.68E-04 | 138.1 | 0.9 | |
| | 間 隙 比 e_0 | 0.603 | 7 | | | | | 1.2 | 8.49E-04 | 142.3 | 1.1 | |
| | 載荷後 | 軸変位量 ΔH_3 cm | 0.001 | | | | | 8 | 1.2 | 8.69E-04 | 139.9 | 0.1 |
| | | 体積変化量 ΔV_0 cm ³ | 0.027 | | | | | 9 | 1.2 | 8.65E-04 | 140.8 | 1.3 |
| | | | 10 | 1.2 | 8.68E-04 | 140.5 | 1.9 | | | | | |

波形の連続記録¹⁾



履歴曲線²⁾



特記事項

- 1) 繰返し載荷中の軸荷重と軸変位,あるいはねじり力と回転角の連続記録を
図示するか,または別途添付してもよい。
- 2) 軸荷重と軸変位,あるいはねじり力と回転角の履歴曲線を図示するか,ま
たは別途添付してもよい。必要に応じて5, 10回目以外の繰返し載荷にお
ける履歴曲線も添える。
- 3) 中空円筒供試体による試験のときのみ記入する。

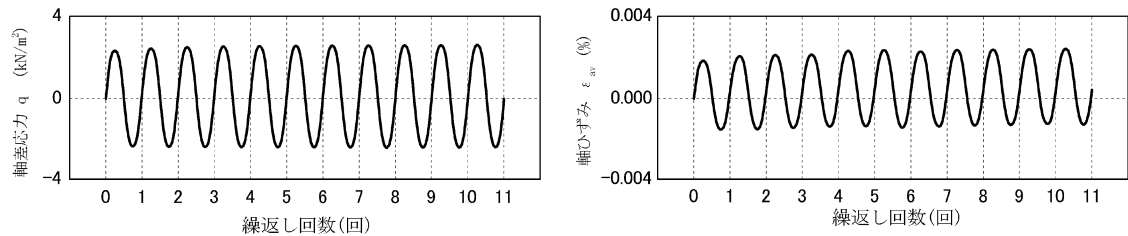
[1kN/m² ≒ 0.0102kgf/cm²]
[1MN/m² ≒ 10.2kgf/cm²]

調査件名 _____ 試験年月日 令和 3 年 1 月 21 日

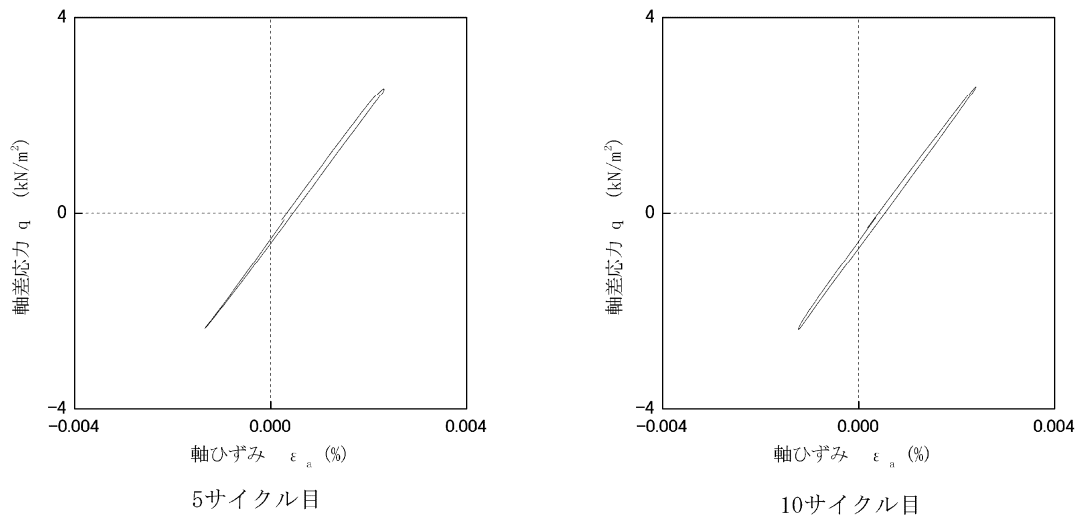
試料番号(深さ) MSL _____ 試験者 清水 裕之

| 土 質 名 称 | | | | 供 試 体 No. | 1 | 載 荷 段 階 | 2 | | | | | |
|------------------|------------------------------------|------------------------------------|-------|-------------------------------------|-------------------------------|-----------------------------------|-------------|-----|----------|----------|-------|-----|
| 繰返し 載荷試験 前 | 軸変位量 ΔH_3 cm | 0.001 | サイクル | 片振幅軸応力 σ_d kN/m ² | 片振幅軸ひずみ $(\epsilon_a)_{SA}$ % | 等価ヤング率 E_{eq} MN/m ² | 履歴減衰率 h % | | | | | |
| | 体積変化量 ΔV_0 cm ³ | 0.027 | | | | | | | | | | |
| | 高 々 H_3 cm | 10.202 | 2 | | | | | 2.4 | 1.77E-03 | 134.6 | 2.6 | |
| | 外径 (D_{10}, D_{30}) cm | 5.029 | 3 | | | | | 2.4 | 1.77E-03 | 137.1 | 2.6 | |
| | 内 径 D_{10} cm | | 4 | | | | | 2.4 | 1.74E-03 | 140.1 | 1.9 | |
| | 体 積 V_a cm ³ | 202.634 | 5 | | | | | 2.5 | 1.83E-03 | 134.1 | 1.5 | |
| | 断 面 積 A cm ² | 19.861 | 6 | | | | | 2.5 | 1.88E-03 | 130.8 | 1.9 | |
| | 間 隙 比 e_s | 0.603 | 7 | | | | | 2.5 | 1.82E-03 | 135.9 | 2.5 | |
| | 載荷後 | 軸変位量 ΔH_3 cm | 0.001 | | | | | 8 | 2.5 | 1.83E-03 | 135.6 | 2.1 |
| | | 体積変化量 ΔV_0 cm ³ | 0.000 | | | | | 9 | 2.5 | 1.82E-03 | 136.0 | 1.8 |
| | | | 10 | 2.5 | 1.81E-03 | 137.2 | 1.7 | | | | | |

波形の連続記録¹⁾



履歴曲線²⁾



特記事項

- 1) 繰返し載荷中の軸荷重と軸変位,あるいはねじり力と回転角の連続記録を
図示するか,または別途添付してもよい。
- 2) 軸荷重と軸変位,あるいはねじり力と回転角の履歴曲線を図示するか,ま
たは別途添付してもよい。必要に応じて5, 10回目以外の繰返し載荷にお
ける履歴曲線も添える。
- 3) 中空円筒供試体による試験のときのみ記入する。

[1kN/m² ≒ 0.0102kgf/cm²]
[1MN/m² ≒ 10.2kgf/cm²]

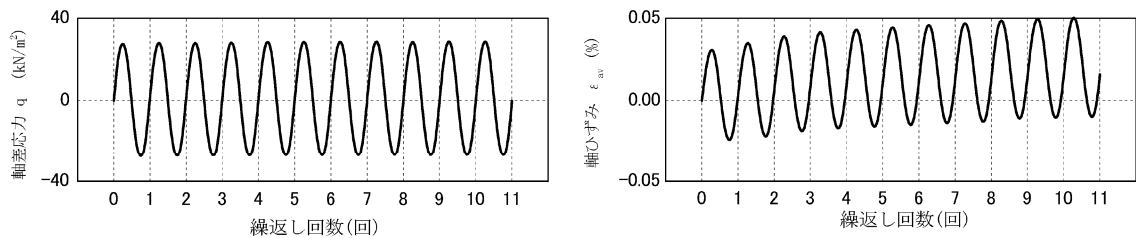
| | | | |
|-----|-------------------------|---|------------------|
| JGS | 0542 0543 | 地盤材料の変形特性を求めための繰返し三軸試験 主の変形特性を求めた中空円筒供試体による繰返し三軸試験 | (載荷過程) 波形記録 |
|-----|-------------------------|---|------------------|

調査件名 試験年月日 令和 3 年 1 月 21 日

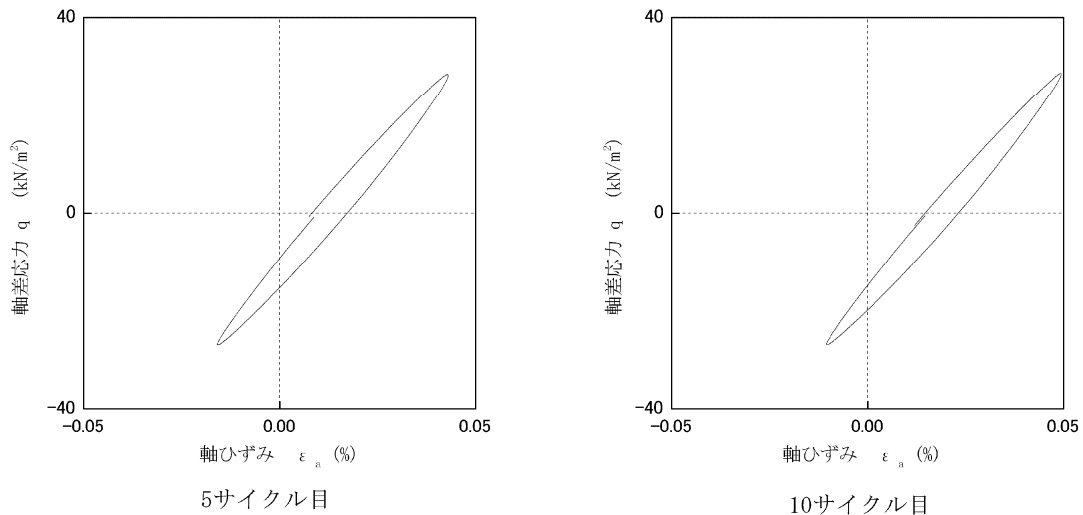
試料番号(深さ) MSL 試験者 清水 裕之

| 土 質 名 称 | | | | 供 試 体 No. | 1 | 載 荷 段 階 | 6 | | | | | |
|--------------------------------------|------------------------------------|------------------------------------|-------|-------------------------------------|-------------------------------|-----------------------------------|-------------|------|----------|----------|------|-----|
| 繰 返 し 載 荷 試 験 前 | 軸変位量 ΔH_3 cm | 0.003 | サイクル | 片振幅軸応力 σ_d kN/m ² | 片振幅軸ひずみ $(\epsilon_a)_{SA}$ % | 等価ヤング率 E_{eq} MN/m ² | 履歴減衰率 h % | | | | | |
| | 体積変化量 ΔV_0 cm ³ | 0.000 | | | | | | | | | | |
| | 高 高 高 H_3 cm | 10.201 | 2 | | | | | 27.6 | 2.84E-02 | 97.3 | 6.9 | |
| | 外 径 $(D_o, D_{in}^{(3)})$ cm | 5.029 | 3 | | | | | 27.6 | 2.88E-02 | 95.7 | 7.2 | |
| | 内 径 $D_{in}^{(3)}$ cm | | 4 | | | | | 27.7 | 2.92E-02 | 94.8 | 7.1 | |
| | 体 積 V_a cm ³ | 202.661 | 5 | | | | | 27.7 | 2.95E-02 | 94.0 | 6.7 | |
| | 断 面 積 A_{in} cm ² | 19.867 | 6 | | | | | 27.7 | 2.95E-02 | 93.8 | 6.6 | |
| | 間 隙 比 e_a | 0.603 | 7 | | | | | 27.7 | 2.98E-02 | 93.2 | 6.6 | |
| | 載 荷 後 | 軸変位量 ΔH_3 cm | 0.003 | | | | | 8 | 27.8 | 2.98E-02 | 93.0 | 6.5 |
| | | 体積変化量 ΔV_0 cm ³ | 0.000 | | | | | 9 | 27.7 | 2.96E-02 | 93.5 | 6.9 |
| | | | 10 | 27.8 | 2.99E-02 | 92.7 | 6.4 | | | | | |

波形の連続記録¹⁾



履歴曲線²⁾



特記事項

- 繰返し載荷中の軸荷重と軸変位,あるいはねじり力と回転角の連続記録を
図示するか,または別途添付してもよい。
- 軸荷重と軸変位,あるいはねじり力と回転角の履歴曲線を図示するか,ま
たは別途添付してもよい。必要に応じて5, 10回目以外の繰返し載荷にお
ける履歴曲線も添える。
- 中空円筒供試体による試験のときのみ記入する。

[1kN/m² ≒ 0.0102kgf/cm²]
[1MN/m² ≒ 10.2kgf/cm²]

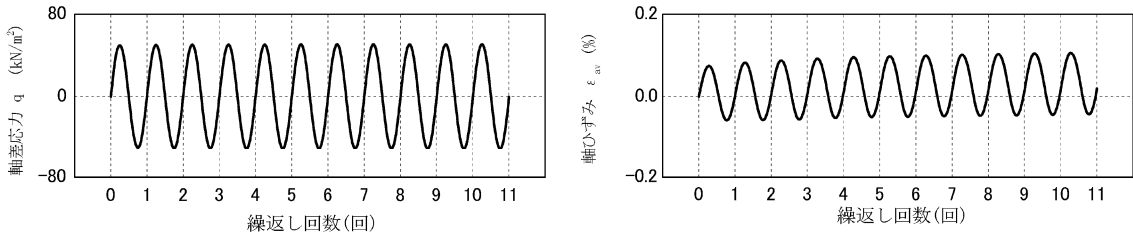
| | | | |
|-----|-------------------------|---|------------------|
| JGS | 0542 0543 | 地盤材料の変形特性を求めための繰返し三軸試験 主の変形特性を求めた中空円筒供試体による繰返し三軸圧縮試験 | (載荷過程) 波形記録 |
|-----|-------------------------|---|------------------|

調査件名 _____ 試験年月日 令和 3 年 1 月 21 日

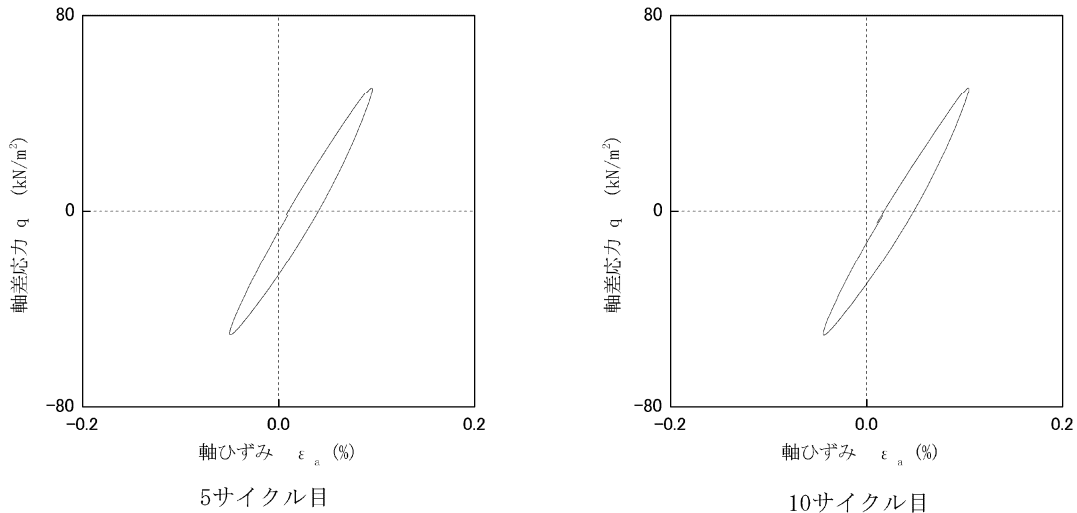
試料番号(深さ) MSL _____ 試験者 清水 裕之

| 土 質 名 称 | | | | 供 試 体 No. | 1 | 載 荷 段 階 | 8 | | | | | |
|--------------------------------------|------------------------------------|------------------------------------|-------|-------------------------------------|-------------------------------|-----------------------------------|-------------|------|----------|----------|------|-----|
| 繰 返 し 載 荷 試 験 前 | 軸変位量 ΔH_3 cm | 0.005 | サイクル | 片振幅軸応力 σ_d kN/m ² | 片振幅軸ひずみ $(\epsilon_a)_{SA}$ % | 等価ヤング率 E_{eq} MN/m ² | 履歴減衰率 h % | | | | | |
| | 体積変化量 ΔV_0 cm ³ | 0.000 | | | | | | | | | | |
| | 高 高 高 H_3 cm | 10.199 | 2 | | | | | 50.2 | 6.98E-02 | 71.9 | 9.5 | |
| | 外 径 (D_{10}, D_{30}) cm | 5.030 | 3 | | | | | 50.3 | 7.17E-02 | 70.2 | 9.6 | |
| | 内 径 D_{10} cm | | 4 | | | | | 50.4 | 7.20E-02 | 70.0 | 9.7 | |
| | 体 積 V_a cm ³ | 202.661 | 5 | | | | | 50.5 | 7.29E-02 | 69.3 | 9.6 | |
| | 断 面 積 A cm ² | 19.871 | 6 | | | | | 50.6 | 7.36E-02 | 68.7 | 9.4 | |
| | 間 隙 比 e_s | 0.603 | 7 | | | | | 50.6 | 7.37E-02 | 68.6 | 9.4 | |
| | 載 荷 後 | 軸変位量 ΔH_3 cm | 0.001 | | | | | 8 | 50.6 | 7.41E-02 | 68.3 | 9.3 |
| | | 体積変化量 ΔV_0 cm ³ | 0.834 | | | | | 9 | 50.6 | 7.44E-02 | 68.1 | 9.3 |
| | | | 10 | 50.6 | 7.45E-02 | 68.0 | 9.2 | | | | | |

波形の連続記録¹⁾



履歴曲線²⁾



特記事項

- 繰返し載荷中の軸荷重と軸変位,あるいはねじり力と回転角の連続記録を
図示するか,または別途添付してもよい。
- 軸荷重と軸変位,あるいはねじり力と回転角の履歴曲線を図示するか,ま
たは別途添付してもよい。必要に応じて5, 10回目以外の繰返し載荷にお
ける履歴曲線も添える。
- 中空円筒供試体による試験のときのみ記入する。

[1kN/m² ≒ 0.0102kgf/cm²]
[1MN/m² ≒ 10.2kgf/cm²]

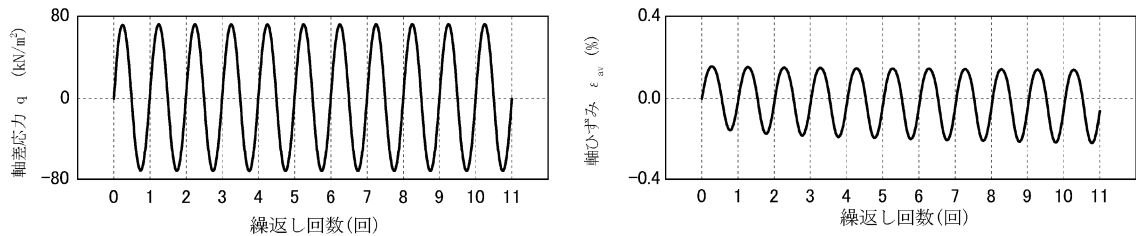
| | | | |
|-----|-------------------------|---|------------------|
| JGS | 0542 0543 | 地盤材料の変形特性を求めるための繰返し三軸試験 主の変形特性を求めるための中空円筒供試体による繰返し三軸試験 | (載荷過程 波形記録) |
|-----|-------------------------|---|------------------|

調査件名 _____ 試験年月日 令和 3 年 1 月 21 日

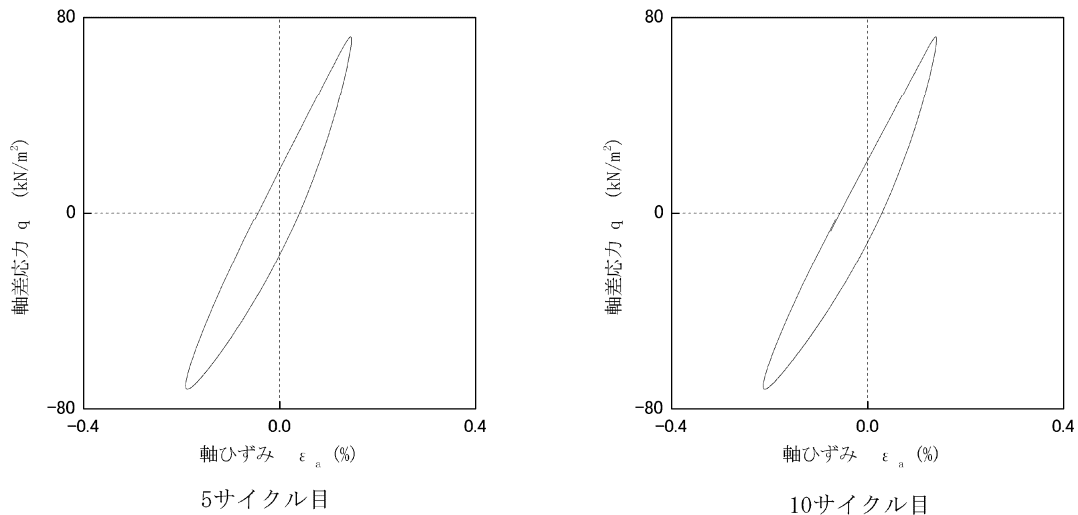
試料番号(深さ) MSL _____ 試験者 清水 裕之

| 土質名称 | | | | 供試体 No. | 1 | 載荷段階 | 9 | | | | | |
|----------------------|------------------------------------|------------------------------------|-------|-------------------------------------|-------------------------------|-----------------------------------|-------------|------|----------|----------|------|------|
| 繰返し 載荷 試験 前 | 軸変位量 ΔH_3 cm | 0.002 | サイクル | 片振幅軸応力 σ_d kN/m ² | 片振幅軸ひずみ $(\epsilon_a)_{SA}$ % | 等価ヤング率 E_{eq} MN/m ² | 履歴減衰率 h % | | | | | |
| | 体積変化量 ΔV_0 cm ³ | 0.861 | | | | | | | | | | |
| | 高さ H_3 cm | 10.201 | 2 | | | | | 72.0 | 1.62E-01 | 44.5 | 12.3 | |
| | 外径 (D_{10}, D_{30}) cm | 5.019 | 3 | | | | | 72.0 | 1.65E-01 | 43.6 | 12.2 | |
| | 内径 D_{10} cm | | 4 | | | | | 72.1 | 1.68E-01 | 42.9 | 12.1 | |
| | 体積 V_a cm ³ | 201.801 | 5 | | | | | 72.1 | 1.69E-01 | 42.5 | 11.9 | |
| | 断面積 A_0 cm ² | 19.782 | 6 | | | | | 72.1 | 1.72E-01 | 41.9 | 11.7 | |
| | 間隙比 e_0 | 0.596 | 7 | | | | | 72.1 | 1.74E-01 | 41.5 | 11.7 | |
| | 載荷 後 | 軸変位量 ΔH_3 cm | 0.003 | | | | | 8 | 72.1 | 1.74E-01 | 41.3 | 11.6 |
| | | 体積変化量 ΔV_0 cm ³ | 0.565 | | | | | 9 | 72.1 | 1.76E-01 | 41.0 | 11.5 |
| | | | 10 | 72.1 | 1.77E-01 | 40.7 | 11.4 | | | | | |

波形の連続記録¹⁾



履歴曲線²⁾



特記事項

- 繰返し載荷中の軸荷重と軸変位,あるいはねじり力と回転角の連続記録を図示するか,または別途添付してもよい。
- 軸荷重と軸変位,あるいはねじり力と回転角の履歴曲線を図示するか,または別途添付してもよい。必要に応じて5, 10回目以外の繰返し載荷における履歴曲線も添える。
- 中空円筒供試体による試験のときのみ記入する。

[1kN/m² ≒ 0.0102kgf/cm²]
[1MN/m² ≒ 10.2kgf/cm²]

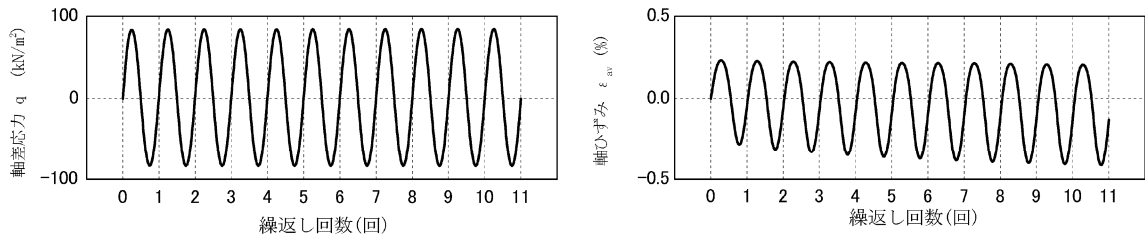
| | | | |
|-----|-------------------------|---|------------------|
| JGS | 0542 0543 | 地盤材料の変形特性を求めための繰返し三軸試験 主の変形特性を求めた中空円筒供試体による繰返し三軸圧縮試験 | (載荷過程 波形記録) |
|-----|-------------------------|---|------------------|

調査件名 試験年月日 令和 3 年 1 月 21 日

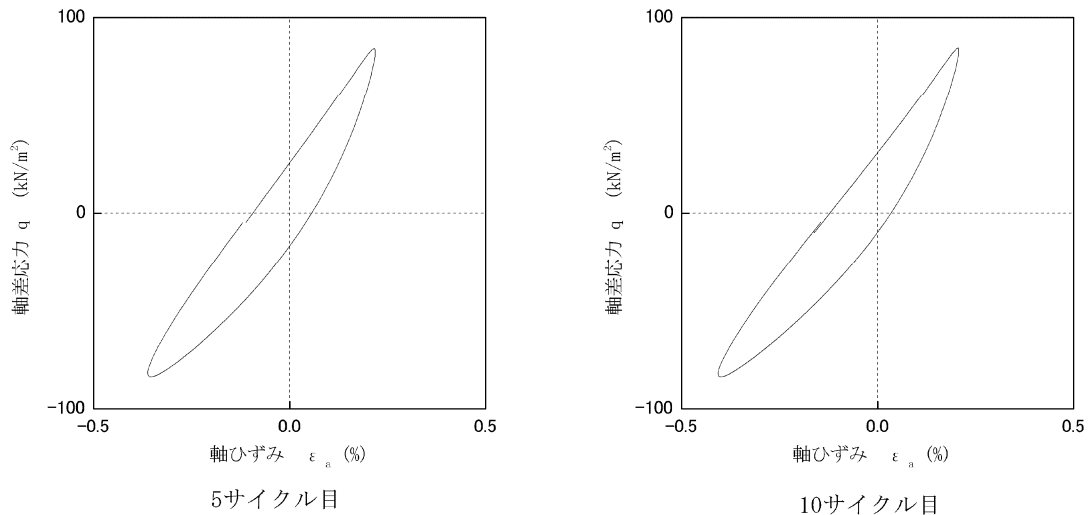
試料番号(深さ) MSL 試験者 清水 裕之

| 土質名称 | | | | 供試体 No. | 1 | 載荷段階 | 10 | | | | | |
|----------------------|------------------------------------|------------------------------------|-------|-------------------------------------|---|-----------------------------------|-------------|------|----------|----------|------|------|
| 繰返し 載荷 試験 前 | 軸変位量 ΔH_3 cm | 0.003 | サイクル | 片振幅軸応力 σ_d kN/m ² | 片振幅軸ひずみ(ϵ_a) _{SA} % | 等価ヤング率 E_{eq} MN/m ² | 履歴減衰率 h % | | | | | |
| | 体積変化量 ΔV_0 cm ³ | 0.565 | | | | | | | | | | |
| | 高さ H_3 cm | 10.200 | 2 | | | | | 83.8 | 2.69E-01 | 31.1 | 13.0 | |
| | 外径 ($D_o, D_{o,3}$) cm | 5.023 | 3 | | | | | 83.9 | 2.78E-01 | 30.2 | 12.8 | |
| | 内径 D_i cm | | 4 | | | | | 83.9 | 2.85E-01 | 29.4 | 12.7 | |
| | 体積 V_a cm ³ | 202.096 | 5 | | | | | 84.0 | 2.90E-01 | 28.9 | 12.6 | |
| | 断面積 A_a cm ² | 19.813 | 6 | | | | | 84.0 | 2.94E-01 | 28.5 | 12.4 | |
| | 間隙比 e_a | 0.599 | 7 | | | | | 84.0 | 2.99E-01 | 28.1 | 12.2 | |
| | 載荷 後 | 軸変位量 ΔH_3 cm | 0.000 | | | | | 8 | 84.0 | 3.04E-01 | 27.7 | 12.4 |
| | | 体積変化量 ΔV_0 cm ³ | 0.296 | | | | | 9 | 84.1 | 3.06E-01 | 27.5 | 12.1 |
| | | | 10 | 84.1 | 3.07E-01 | 27.4 | 12.0 | | | | | |

波形の連続記録¹⁾



履歴曲線²⁾



特記事項

- 繰返し載荷中の軸荷重と軸変位,あるいはねじり力と回転角の連続記録を図示するか,または別途添付してもよい。
- 軸荷重と軸変位,あるいはねじり力と回転角の履歴曲線を図示するか,または別途添付してもよい。必要に応じて5, 10回目以外の繰返し載荷における履歴曲線も添える。
- 中空円筒供試体による試験のときのみ記入する。

[1kN/m² ≒ 0.0102kgf/cm²]
[1MN/m² ≒ 10.2kgf/cm²]

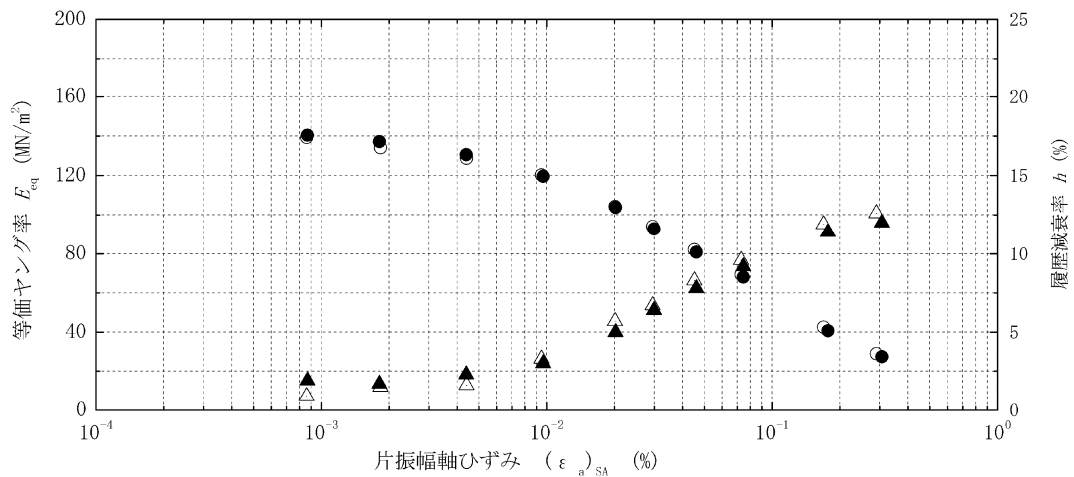
| | | |
|-----|-------------------------|--|
| JGS | 0542 0543 | 地盤材料の変形特性を求めるための繰返し三軸試験($E_{eq}, h \sim (\epsilon)_{SA}$ 関係) 主の変形特性を有する中空円筒供試体による繰返し三軸試験($E_{eq}, h \sim (\epsilon)_{SA}$ 関係) |
|-----|-------------------------|--|

調査件名 試験年月日 令和3年1月21日

試料番号(深さ) MSL 試験者 清水 裕之

| | | | |
|------------------------|--|---|---------------------|
| 試料の状態 ¹⁾ | 乱さない | 土粒子の密度 ρ_s ³⁾ g/cm ³ | 2.658 |
| 供試体の作製方法 ²⁾ | トリミング | 最小乾燥密度 ρ_{min} ⁴⁾ g/cm ³ | |
| 土質名称 | | 最大乾燥密度 ρ_{max} ⁴⁾ g/cm ³ | |
| 供試体 No. | 1 | 飽和方法 | 二重負圧法 |
| 試験条件 | 軸方向応力 σ_{ac} kN/m ² | 300 | 載荷条件 |
| | 側方向応力(=外圧,内圧) σ_{rc} kN/m ² | 300 | |
| | 背圧 u_b kN/m ² | 200 | |
| | 軸方向圧密応力 σ'_{ac} kN/m ² | 100 | |
| | 側方向圧密応力 σ'_{rc} kN/m ² | 100 | |
| | 異方圧密応力比 $\sigma'_{rc}/\sigma'_{ac}$ (=K) ⁵⁾ | 1 | |
| | | 圧密条件 | 等方, 異方 |
| | | 載荷波形 | 正弦波, 三角波 |
| | | 載荷周波数 f Hz | 0.1 |
| | | 排水条件 | 排水 , 非排水 |
| | | 1サイクルデータポイント数 | 100 |
| | | 載荷段階数 | 10 |

| 載荷段階 | 5サイクル目 ○ △ | | | 10サイクル目 ● ▲ | | |
|------|-------------------------------|-----------------------------------|-------------|-------------------------------|-----------------------------------|-------------|
| | 片振幅軸ひずみ $(\epsilon_a)_{SA}$ % | 等価ヤング率 E_{eq} MN/m ² | 履歴減衰率 h % | 片振幅軸ひずみ $(\epsilon_a)_{SA}$ % | 等価ヤング率 E_{eq} MN/m ² | 履歴減衰率 h % |
| 1 | 8.60E-04 | 139.3 | 0.9 | 8.68E-04 | 140.5 | 1.9 |
| 2 | 1.83E-03 | 134.1 | 1.5 | 1.81E-03 | 137.2 | 1.7 |
| 3 | 4.41E-03 | 128.7 | 1.6 | 4.39E-03 | 130.5 | 2.3 |
| 4 | 9.47E-03 | 120.3 | 3.3 | 9.63E-03 | 119.5 | 3.0 |
| 5 | 2.01E-02 | 104.1 | 5.7 | 2.02E-02 | 103.8 | 5.0 |
| 6 | 2.95E-02 | 94.0 | 6.7 | 2.99E-02 | 92.7 | 6.4 |
| 7 | 4.52E-02 | 82.1 | 8.3 | 4.61E-02 | 80.9 | 7.8 |
| 8 | 7.29E-02 | 69.3 | 9.6 | 7.45E-02 | 68.0 | 9.2 |
| 9 | 1.69E-01 | 42.5 | 11.9 | 1.77E-01 | 40.7 | 11.4 |
| 10 | 2.90E-01 | 28.9 | 12.6 | 3.07E-01 | 27.4 | 12.0 |
| 11 | | | | | | |
| 12 | | | | | | |
| 13 | | | | | | |
| 14 | | | | | | |



特記事項

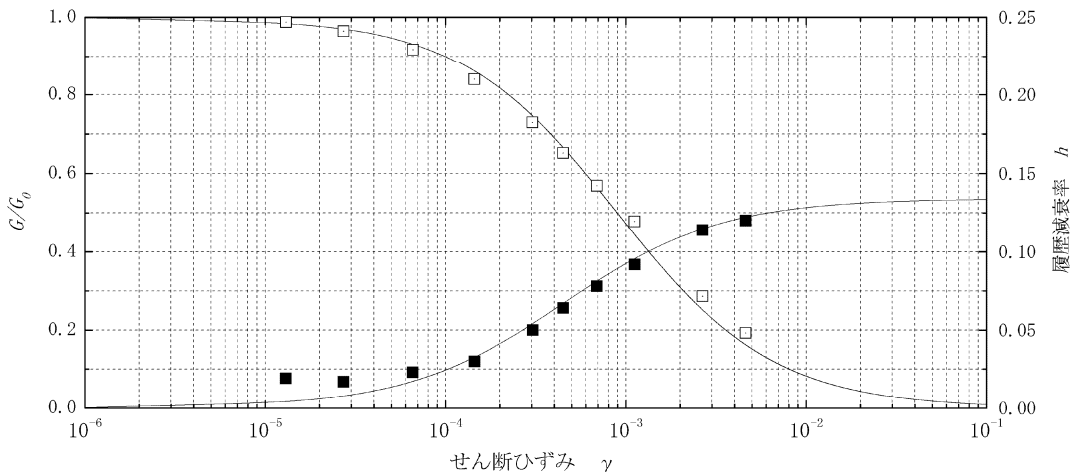
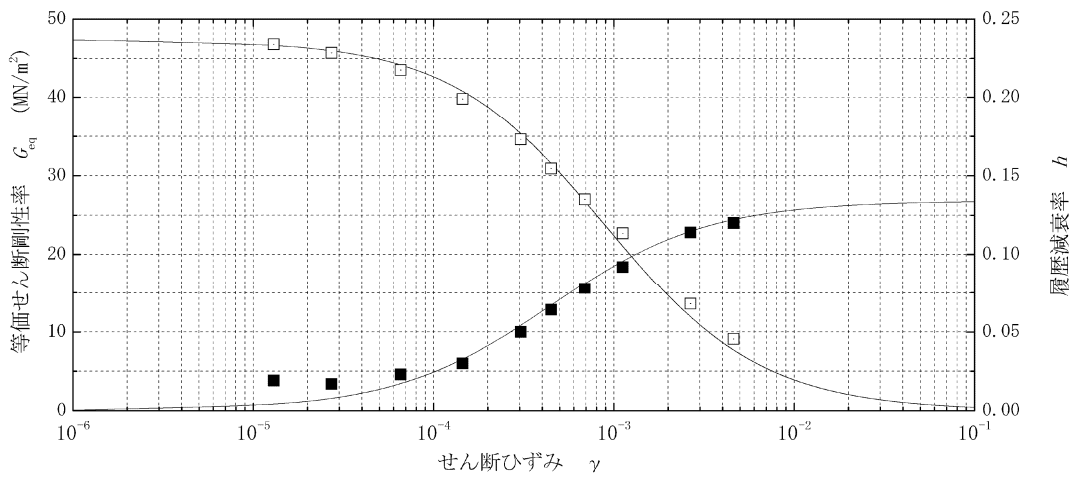
- 1) 試料の採取方法, 試料の状態(塊状, 凍結, とさほぐされた)等を記載する。
- 2) トリミング法, 負圧法の種別, 凍結試料の場合は解冻方法を記載する。
- 3) 必要に応じて記載する。
- 4) 必要に応じて粘性土の場合は液性限界, 塑性限界, 砂質土の場合は, 最小乾燥密度, 最大乾燥密度等を記載する。
- 5) 異方応力状態で試験するときのみ記入する。

[1kN/m² ≒ 0.1012kgf/cm²]
[1MN/m² ≒ 10.2kgf/cm²]

調査件名 _____ 試験年月日 令和 3 年 1 月 21 日

試料番号(深さ) MSL _____ 試験者 清水 裕之

| | |
|--|---|
| $1/G_0 = 0.0211 \text{ (MN/m}^2\text{)}^{-1}$ $G_0 = 47.4 \text{ (MN/m}^2\text{)}$ $1/\tau_f = 23.582$ $\tau_f = 0.0424$ $\gamma_{rg} = 8.94\text{E-}4$ $1/h_0 = 7.478$ $\gamma_{rh} = 4.49\text{E-}4$ | ポアソン比 $\nu=0.5$ として計算 $G = E/(2(1+\nu))$ $\gamma = (1+\nu) \epsilon_a$ G_0 : 初期せん断剛性率 τ_f : 動的せん断強度 ($=G_0 \cdot \gamma_{rg}$) γ_{rg} : Gから求めた基準ひずみ γ_{rh} : hから求めた基準ひずみ |
|--|---|



特記事項

[1kN/m² ≒ 0.0102kgf/cm²]
 [1MN/m² ≒ 10.2kgf/cm²]

動的変形試験

SMR

| | |
|----------|-----------------|
| JGS 0520 | 土の三軸試験の供試体作製・設置 |
|----------|-----------------|

調査件名 試験年月日 令和3年2月3日

試料番号(深さ) SMR 試験者 清水 裕之

| 供試体を用いる試験の基準番号と名称 | | JGS 0542 地盤材料の変形特性を求めるための繰返し三軸試験 | | | |
|--------------------------|-------------------------|-------------------------------------|--------------------------------------|-------|---|
| 試料の状態 ¹⁾ | 乱さない | 土粒子の密度 | $\rho_g^{(3)}$ g/cm ³ | 2.725 | |
| 供試体の作製 ²⁾ | トリミング | 最小乾燥密度 | $\rho_{min}^{(4)}$ g/cm ³ | | |
| 土質名称 | | 最大乾燥密度 | $\rho_{max}^{(4)}$ g/cm ³ | | |
| 供試体 No. | | 1 | 2 | 3 | 4 |
| 初期状態 | 直径 | cm | 5.084, 5.041 | | |
| | | cm | 5.018, 5.010 | | |
| | | cm | 4.973, 5.002 | | |
| | 平均直径 D_i | cm | 5.021 | | |
| | 高さ | cm | 10.273 | | |
| | | cm | 10.147 | | |
| | 平均高さ H_i | cm | 10.210 | | |
| | 体積 | V cm ³ | 202.2 | | |
| | 含水比 | w_i % | 103.4 | | |
| | 質量 | m_i g | 262.4 | | |
| | 湿潤密度 | $\rho_{wi}^{(3)}$ g/cm ³ | 1.298 | | |
| | 乾燥密度 | $\rho_{di}^{(3)}$ g/cm ³ | 0.638 | | |
| | 間隙比 | $e^{(3)}$ | 3.271 | | |
| | 飽和度 | $S_{ri}^{(3)}$ % | 86.1 | | |
| 相対密度 | $D_{ri}^{(3)}$ % | | | | |
| 設置・飽和過程 | 軸変位量の測定方法 | | 外部変位計によって測定 | | |
| | 設置時の軸変位量 | cm | | | |
| | 飽和過程の軸変位量 | cm | | | |
| | 軸変位量 $\Delta H_i^{(5)}$ | cm | 0.000 | | |
| | 体積変化量の測定方法 | | 軸変位量から計算によって算出 | | |
| | 設置時の体積変化量 | cm ³ | | | |
| | 飽和過程の体積変化量 | cm ³ | | | |
| 体積変化量 $\Delta V_i^{(5)}$ | cm ³ | 0.0 | | | |
| 圧密前(試験前) | 高さ | H_0 cm | 10.210 | | |
| | 直径 | D_0 cm | 5.021 | | |
| | 体積 | V_0 cm ³ | 202.17 | | |
| | 乾燥密度 | $\rho_{d0}^{(3)}$ g/cm ³ | 0.638 | | |
| | 間隙比 | $e_0^{(3)}$ | 3.271 | | |
| | 相対密度 | $D_{r0}^{(3)}$ % | | | |
| 炉乾燥後 | 容器 No. | | | | |
| | (炉乾燥供試体+容器)質量 | g | | | |
| | 容器質量 | g | | | |
| 炉乾燥質量 m_s | g | 129.0 | | | |

特記事項

- 1) 試料の採取方法、試料の状態(塊状、凍結、ときほぐされた)等を記載する。
- 2) トリミング法、負圧法の種別、凍結試料の場合は解凍方法を記載する。
- 3) 必要に応じて記載する。
- 4) 必要に応じて粘性土の場合は液性限界、塑性限界、砂質土の場合は、最小乾燥密度、最大乾燥密度等を記載する。
- 5) 設置時の変化と飽和過程およびB値測定過程での変化を合わせる。

[1kN/m² ≒ 0.102kgf/cm²]

| | | |
|-----|-------------------------|---|
| JGS | 0542 0543 | 地盤材料の変形特性を求めるための繰返し三軸試験 (試験条件) 地盤材料の変形特性を求めるための繰返し三軸試験 (圧密状態) |
|-----|-------------------------|---|

調査件名 _____ 試験年月日 令和3年2月3日

試料番号(深さ) SMR _____ 試験者 清水 裕之

| | | | | | | | | | |
|------------------------|--|-------|--|---|---------------|--------------------------------------|--|----------------------|-------|
| 試料の状態 ¹⁾ | | 乱さない | | 土粒子の密度 ρ_s ³⁾ g/cm ³ | 2.725 | | | | |
| 供試体の作製方法 ²⁾ | | トリミング | | 最小乾燥密度 ρ_{min} ⁴⁾ g/cm ³ | | | | | |
| 土質名称 | | | | 最大乾燥密度 ρ_{max} ⁴⁾ g/cm ³ | | | | | |
| 供試体 No. | | 1 | 飽和 方法 | 二重負圧法 | 圧密 条件 | | | | |
| 試験条件 | 軸方向応力 σ_{ac} kN/m ² | | 300 | 載荷条件 | 載荷波形 | 正弦波, 三角波 | | | |
| | 側方向応力(=外圧,内圧) σ_{rc} kN/m ² | | 300 | | 載荷周波数 f Hz | 0.1 | | | |
| | 背圧 u_v kN/m ² | | 200 | | 排水条件 | 排水 , 非排水 | | | |
| | 軸方向圧密応力 σ'_{vc} kN/m ² | | 100 | | 1サイクルデータポイント数 | 100 | | | |
| | 側方向圧密応力 σ'_{rv} kN/m ² | | 100 | | 載荷段階数 | 10 | | | |
| | 異方圧密応力比 $\sigma'_{rv}/\sigma'_{vc}$ (=K) ⁵⁾ | | 1 | | | | | | |
| 試験装置 | 荷重計の容量 | | kN | 1 | 圧密後 | 軸変位計の読み | 圧密前 cm | 0.000 | |
| | トルク計の容量 | | N・m | | | | 圧密後 cm | 0.007 | |
| | 軸変位計 | 大変位 | 位置 | ① | | 変位計の位置 回転角計 | 排水量 | 圧密前 cm ³ | 0.000 |
| | | 中変位 | 種類 | 高感度変位計 | | | | 圧密後 cm ³ | 3.739 |
| | | | 種類 | LDT | | | | 軸変位量 ΔH_v cm | 0.007 |
| | 小変位 | 位置 | ② | 体積変化量 ΔV_c cm ³ | | | | 3.739 | |
| | | 種類 | | 高さ H_o cm | | | | 10.203 | |
| | 回転角計 | 位置 | | 外径 (D_o, ϕ) cm | | | | 4.976 | |
| | | 種類 | | 内径 D_{in} ⁶⁾ cm | | | | | |
| | 金属製リップ | 数量 | | 体積 V_c cm ³ | | 198.43 | | | |
| | | 高さ | cm | 断面積 A_c cm ² | | 19.45 | | | |
| | 間隙水圧経路体積変化 | 厚さ | cm | 乾燥質量 m_s g | | 129.0 | | | |
| 厚さ | | cm | 乾燥密度 $\rho_{ds} = m_s/V_c$ g/cm ³ | 0.650 | | | | | |
| コアスリーブ | 材質 | | 間隙比 e_c ³⁾ | 3.192 | | | | | |
| | 厚さ | mm | 相対密度 D_{rc} ³⁾ % | | | | | | |
| 圧密前 | 間隙水圧経路体積変化 | | cm ³ /kN/m ² | 1.0E-06 | 間隙水圧係数 B | 圧密前 | 等方応力増加量 $\Delta\sigma$ N/mm ² | 20.0 | |
| | ラテックス | | | | | 間隙水圧増加量 Δu N/mm ² | 19.3 | | |
| | 測定に要した時間 | | min | 2 | | 測定に要した時間 | | | |
| | B 値 | | | 0.97 | | B 値 | | | |
| | 等方応力増加量 $\Delta\sigma$ N/mm ² | | | | | 間隙水圧増加量 | Δu_v N/mm ² | | |
| | 間隙水圧増加量 Δu_1 N/mm ² | | | | | | Δu_1 N/mm ² | | |
| 測定に要した時間 | | min | | B 値 | | | | | |

| | | |
|------|--------|--|
| 特記事項 | 供試体の状況 | |
|------|--------|--|

- 1) 試料の採取方法, 試料の状態(塊状, 凍結, ときほぐされた)等を記載する。
- 2) トリミング法, 負圧法の種別, 凍結試料の場合は解冻方法等を記載する。
- 3) 必要に応じて記載する。
- 4) 必要に応じて粘性土の場合は液性限界, 塑性限界, 砂質土の場合は, 最小乾燥密度, 最大乾燥密度等を記載する。
- 5) 異方応力状態で試験するときのみ記入する。
- 6) 中空円筒供試体による場合に記入する。

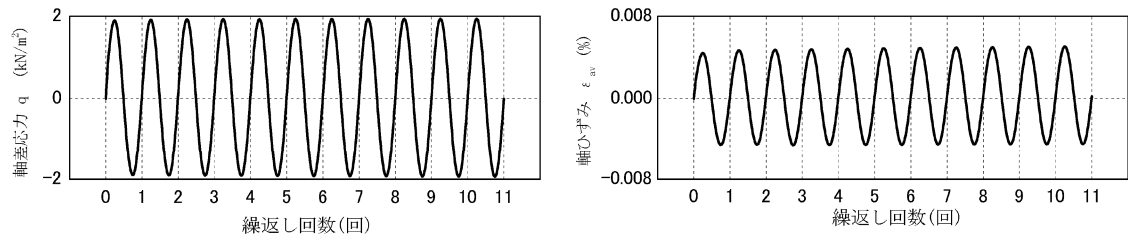
| | | | |
|-----|-------------------------|---|------------------|
| JGS | 0542 0543 | 地盤材料の変形特性を求めるための繰返し三軸試験 主の変形特性を求めるための中空円筒供試体による繰返し三軸試験 | (載荷過程) 波形記録 |
|-----|-------------------------|---|------------------|

調査件名 _____ 試験年月日 令和 3 年 2 月 3 日

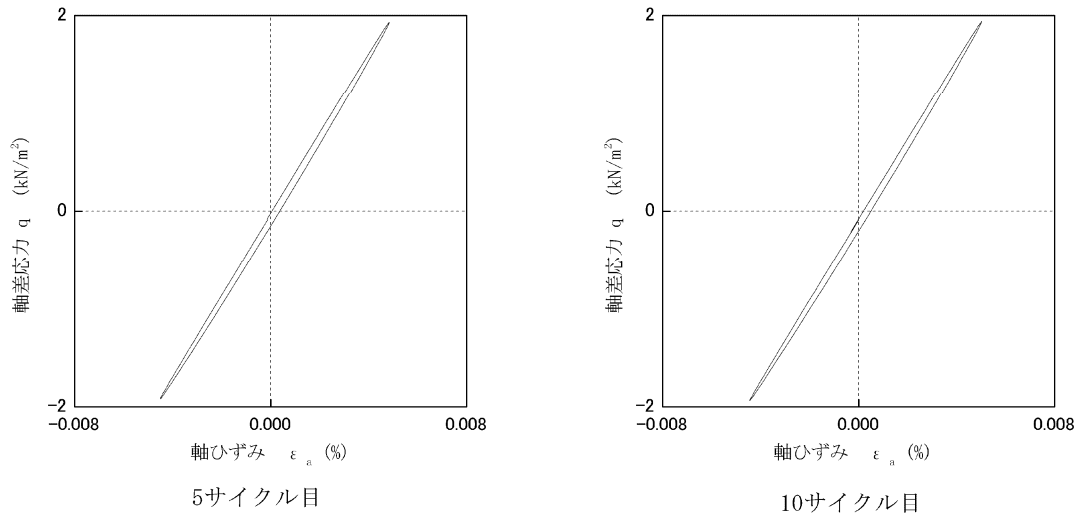
試料番号(深さ) SMR _____ 試験者 清水 裕之

| 土質名称 | | | | 供試体 No. | 1 | 載荷段階 | 4 | | | | | | |
|----------------------|------------------------------------|------------------------------------|------|-------------------------------------|-------------------------------|-----------------------------------|-------------|-------|-----|----------|----------|------|-----|
| 繰返し 載荷 試験 前 | 軸変位量 ΔH_3 cm | 0.001 | サイクル | 片振幅軸応力 σ_d kN/m ² | 片振幅軸ひずみ $(\epsilon_a)_{SA}$ % | 等価ヤング率 E_{eq} MN/m ² | 履歴減衰率 h % | | | | | | |
| | 体積変化量 ΔV_0 cm ³ | 0.054 | | | | | | | | | | | |
| | 高さ H_3 cm | 10.201 | | | | | | 2 | 1.9 | 4.59E-03 | 41.6 | 1.6 | |
| | 外径 (D_{10}, D_{30}) cm | 4.976 | | | | | | 3 | 1.9 | 4.64E-03 | 41.3 | 1.3 | |
| | 内径 D_{10} cm | | | | | | | 4 | 1.9 | 4.66E-03 | 41.3 | 1.5 | |
| | 体積 V_a cm ³ | 198.377 | | | | | | 5 | 1.9 | 4.67E-03 | 41.2 | 1.6 | |
| | 断面積 A_0 cm ² | 19.446 | | | | | | 6 | 1.9 | 4.69E-03 | 41.1 | 1.5 | |
| | 間隙比 e_0 | 3.075 | | | | | | 7 | 1.9 | 4.70E-03 | 41.1 | 1.5 | |
| | 載荷 後 | 軸変位量 ΔH_3 cm | | | | | | 0.001 | 8 | 1.9 | 4.71E-03 | 41.0 | 1.5 |
| | | 体積変化量 ΔV_0 cm ³ | | | | | | 0.027 | 9 | 1.9 | 4.72E-03 | 41.0 | 1.5 |
| | | | 10 | 1.9 | 4.73E-03 | 40.9 | 1.5 | | | | | | |

波形の連続記録¹⁾



履歴曲線²⁾



特記事項

- 繰返し載荷中の軸荷重と軸変位,あるいはねじり力と回転角の連続記録を
図示するか,または別途添付してもよい。
- 軸荷重と軸変位,あるいはねじり力と回転角の履歴曲線を図示するか,ま
たは別途添付してもよい。必要に応じて5, 10回目以外の繰返し載荷にお
ける履歴曲線も添える。
- 中空円筒供試体による試験のときのみ記入する。

[1kN/m² ≒ 0.0102kgf/cm²]
[1MN/m² ≒ 10.2kgf/cm²]

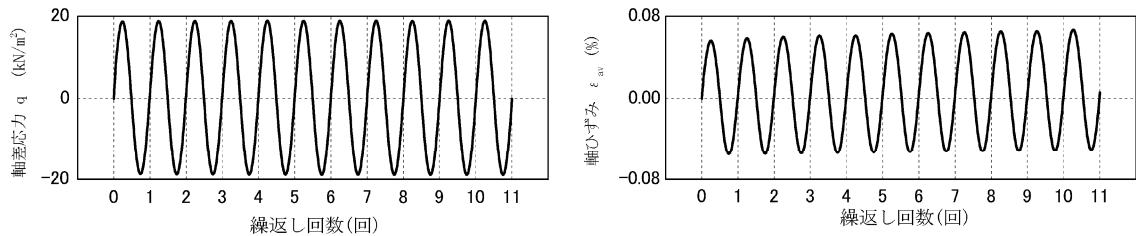
| | | | |
|-----|-------------------------|---|------------------|
| JGS | 0542 0543 | 地盤材料の変形特性を求めるときの繰返し三軸試験 主の変形特性を求めるときの中空円筒供試体による繰返し三軸試験 | (載荷過程) 波形記録 |
|-----|-------------------------|---|------------------|

調査件名 _____ 試験年月日 令和 3 年 2 月 3 日

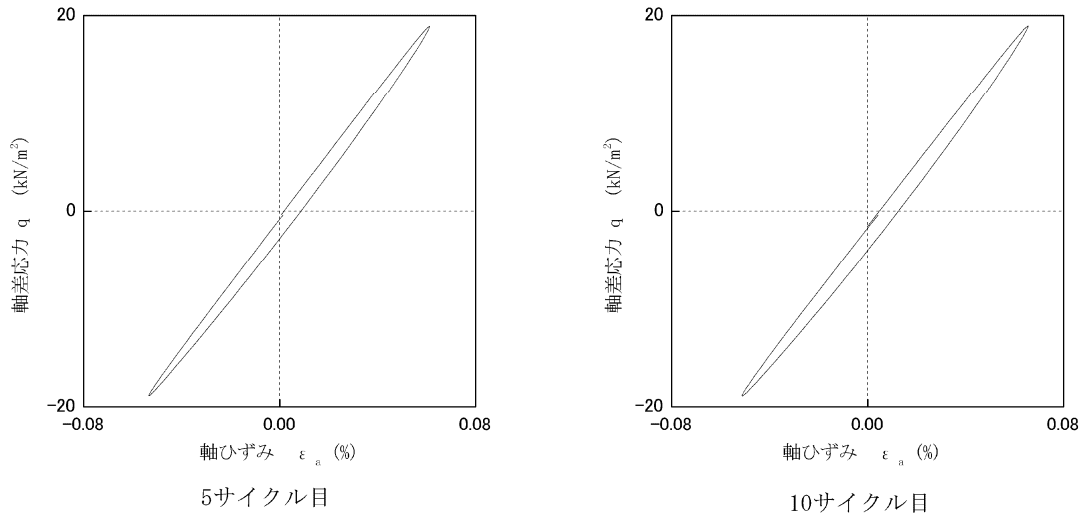
試料番号(深さ) SMR _____ 試験者 清水 裕之

| 土質名称 | | | | 供試体 No. | 1 | 載荷段階 | 7 | | | | | | |
|----------------------|------------------------------------|------------------------------------|------|-------------------------------------|-------------------------------|-----------------------------------|-------------|-------|------|----------|----------|------|-----|
| 繰返し 載荷 試験 前 | 軸変位量 ΔH_3 cm | 0.003 | サイクル | 片振幅軸応力 σ_d kN/m ² | 片振幅軸ひずみ $(\epsilon_a)_{SA}$ % | 等価ヤング率 E_{eq} MN/m ² | 履歴減衰率 h % | | | | | | |
| | 体積変化量 ΔV_0 cm ³ | 0.027 | | | | | | | | | | | |
| | 高さ H_3 cm | 10.200 | | | | | | 2 | 18.8 | 5.67E-02 | 33.2 | 3.2 | |
| | 外径 (D_{10}, D_{30}) cm | 4.977 | | | | | | 3 | 18.8 | 5.72E-02 | 32.9 | 3.2 | |
| | 内径 D_{10} cm | | | | | | | 4 | 18.8 | 5.75E-02 | 32.8 | 3.2 | |
| | 体積 V_a cm ³ | 198.404 | | | | | | 5 | 18.9 | 5.73E-02 | 32.9 | 2.8 | |
| | 断面積 A_0 cm ² | 19.452 | | | | | | 6 | 18.9 | 5.80E-02 | 32.6 | 3.2 | |
| | 間隙比 e_0 | 3.076 | | | | | | 7 | 18.9 | 5.80E-02 | 32.5 | 3.2 | |
| | 載荷 後 | 軸変位量 ΔH_3 cm | | | | | | 0.005 | 8 | 18.9 | 5.82E-02 | 32.5 | 3.2 |
| | | 体積変化量 ΔV_0 cm ³ | | | | | | 0.000 | 9 | 18.9 | 5.84E-02 | 32.3 | 3.7 |
| | | | 10 | 18.9 | 5.84E-02 | 32.4 | 3.2 | | | | | | |

波形の連続記録¹⁾



履歴曲線²⁾



特記事項

- 繰返し載荷中の軸荷重と軸変位,あるいはねじり力と回転角の連続記録を
図示するか,または別途添付してもよい。
- 軸荷重と軸変位,あるいはねじり力と回転角の履歴曲線を図示するか,ま
たは別途添付してもよい。必要に応じて5, 10回目以外の繰返し載荷にお
ける履歴曲線も添える。
- 中空円筒供試体による試験のときのみ記入する。

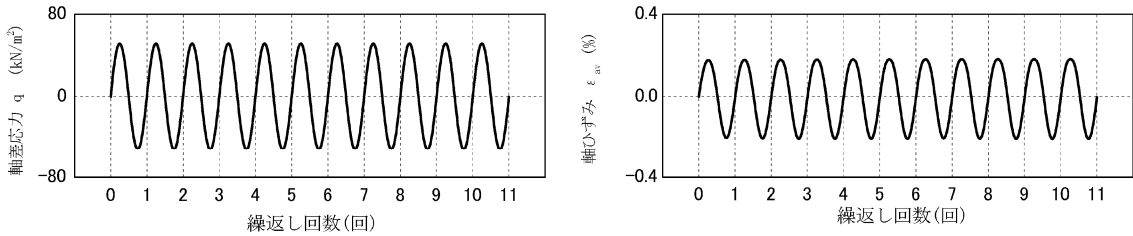
[1kN/m² ≒ 0.0102kgf/cm²]
[1MN/m² ≒ 10.2kgf/cm²]

調査件名 _____ 試験年月日 令和 3 年 2 月 3 日

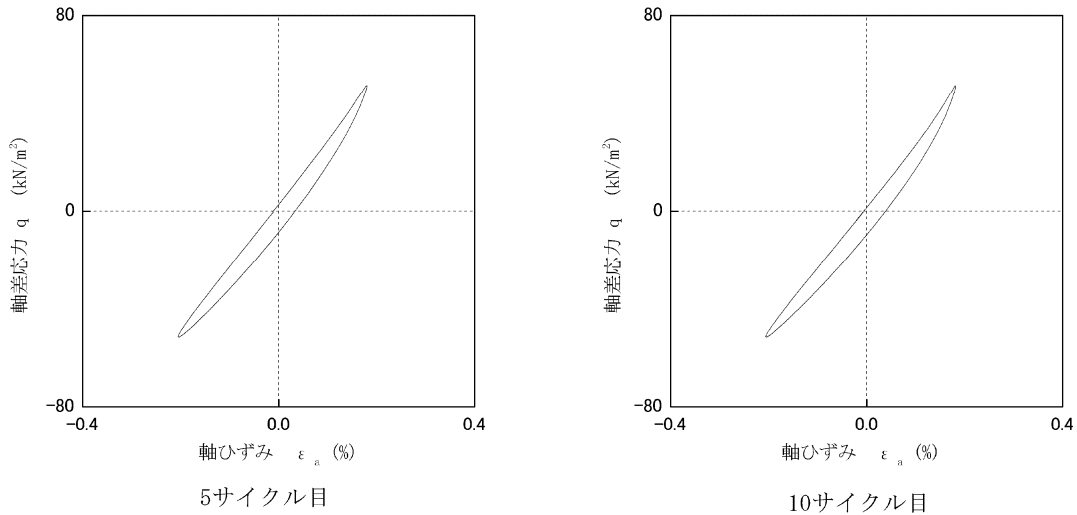
試料番号(深さ) SMR _____ 試験者 清水 裕之

| 土 質 名 称 | | | | 供 試 体 No. | 1 | 載 荷 段 階 | 9 | | | | | |
|----------------------|------------------------------------|------------------------------------|-------|-------------------------------------|-------------------------------|-----------------------------------|-------------|------|----------|----------|------|-----|
| 繰返し 載荷 試験 前 | 軸変位量 ΔH_3 cm | 0.011 | サイクル | 片振幅軸応力 σ_d kN/m ² | 片振幅軸ひずみ $(\epsilon_a)_{SA}$ % | 等価ヤング率 E_{eq} MN/m ² | 履歴減衰率 h % | | | | | |
| | 体積変化量 ΔV_0 cm ³ | 0.242 | | | | | | | | | | |
| | 高 　　さ H_3 cm | 10.192 | 2 | | | | | 51.5 | 1.91E-01 | 26.9 | 5.3 | |
| | 外径 (D_{10}, D_{30}) cm | 4.976 | 3 | | | | | 51.5 | 1.92E-01 | 26.8 | 5.3 | |
| | 内 　　径 D_{10}, D_{30} cm | | 4 | | | | | 51.5 | 1.93E-01 | 26.8 | 5.3 | |
| | 体 　　積 V_a cm ³ | 198.189 | 5 | | | | | 51.6 | 1.93E-01 | 26.7 | 5.3 | |
| | 断 面 積 A_a cm ² | 19.446 | 6 | | | | | 51.6 | 1.93E-01 | 26.7 | 5.3 | |
| | 間 隙 比 e_a | 3.071 | 7 | | | | | 51.6 | 1.92E-01 | 26.8 | 5.4 | |
| | 載 荷 後 | 軸変位量 ΔH_3 cm | 0.015 | | | | | 8 | 51.5 | 1.93E-01 | 26.7 | 5.2 |
| | | 体積変化量 ΔV_0 cm ³ | 0.404 | | | | | 9 | 51.5 | 1.94E-01 | 26.6 | 5.3 |
| | | | 10 | 51.5 | 1.94E-01 | 26.6 | 5.3 | | | | | |

波形の連続記録¹⁾



履歴曲線²⁾



特記事項

- 1) 繰返し載荷中の軸荷重と軸変位,あるいはねじり力と回転角の連続記録を
図示するか,または別途添付してもよい。
- 2) 軸荷重と軸変位,あるいはねじり力と回転角の履歴曲線を図示するか,ま
たは別途添付してもよい。必要に応じて5, 10回目以外の繰返し載荷にお
ける履歴曲線も添える。
- 3) 中空円筒供試体による試験のときのみ記入する。

[1kN/m² ≒ 0.0102kgf/cm²]
[1MN/m² ≒ 10.2kgf/cm²]

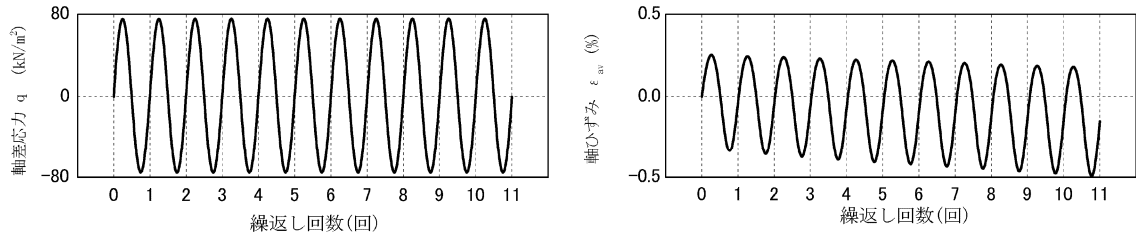
| | | | |
|-----|-------------------------|---|------------------|
| JGS | 0542 0543 | 地盤材料の変形特性を求めるための繰返し三軸試験 主の変形特性を求めるための中空円筒供試体による繰返し三軸圧縮試験 | (載荷過程) 波形記録 |
|-----|-------------------------|---|------------------|

調査件名 _____ 試験年月日 令和 3 年 2 月 3 日

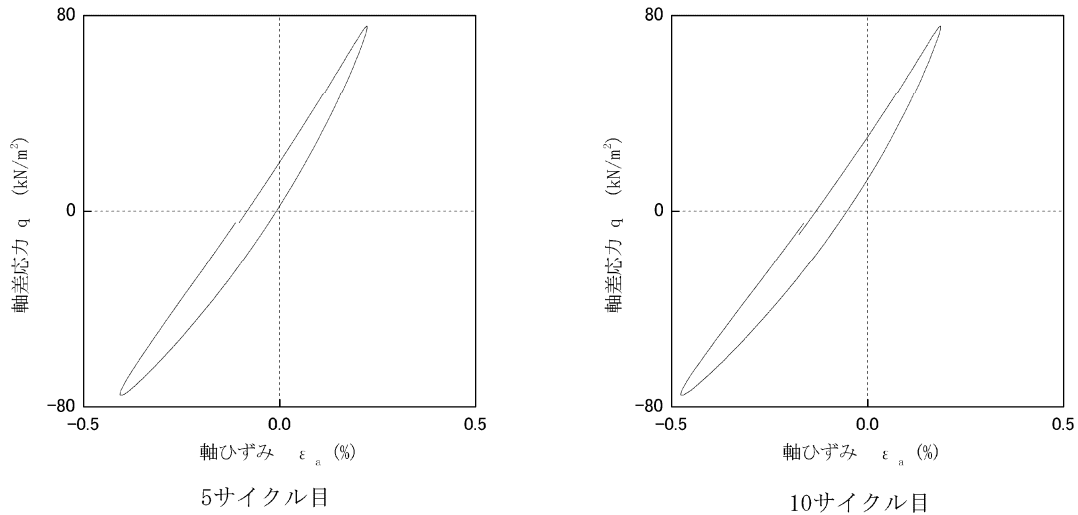
試料番号(深さ) SMR _____ 試験者 清水 裕之

| 土質名称 | | | | 供試体 No. | 1 | 載荷段階 | 10 | | | | | |
|----------------------|------------------------------------|------------------------------------|-------|-------------------------------------|-------------------------------|-----------------------------------|-------------|------|----------|----------|------|-----|
| 繰返し 載荷 試験 前 | 軸変位量 ΔH_3 cm | 0.021 | サイクル | 片振幅軸応力 σ_d kN/m ² | 片振幅軸ひずみ $(\epsilon_a)_{SA}$ % | 等価ヤング率 E_{eq} MN/m ² | 履歴減衰率 h % | | | | | |
| | 体積変化量 ΔV_0 cm ³ | 0.619 | | | | | | | | | | |
| | 高さ H_3 cm | 10.182 | 2 | | | | | 75.4 | 3.01E-01 | 25.1 | 6.4 | |
| | 外径 (D_{10}, D_{30}) cm | 4.974 | 3 | | | | | 75.5 | 3.07E-01 | 24.6 | 6.3 | |
| | 内径 D_{10} cm | | 4 | | | | | 75.5 | 3.11E-01 | 24.2 | 6.2 | |
| | 体積 V_a cm ³ | 197.812 | 5 | | | | | 75.5 | 3.16E-01 | 23.9 | 6.1 | |
| | 断面積 A_0 cm ² | 19.428 | 6 | | | | | 75.5 | 3.19E-01 | 23.6 | 6.2 | |
| | 間隙比 e_0 | 3.064 | 7 | | | | | 75.5 | 3.23E-01 | 23.4 | 6.1 | |
| | 載荷 後 | 軸変位量 ΔH_3 cm | 0.029 | | | | | 8 | 75.5 | 3.26E-01 | 23.2 | 5.9 |
| | | 体積変化量 ΔV_0 cm ³ | 1.264 | | | | | 9 | 75.5 | 3.28E-01 | 23.0 | 6.1 |
| | | | 10 | 75.5 | 3.32E-01 | 22.8 | 6.1 | | | | | |

波形の連続記録¹⁾



履歴曲線²⁾



特記事項

- 繰返し載荷中の軸荷重と軸変位,あるいはねじり力と回転角の連続記録を図示するか,または別途添付してもよい。
- 軸荷重と軸変位,あるいはねじり力と回転角の履歴曲線を図示するか,または別途添付してもよい。必要に応じて5, 10回目以外の繰返し載荷における履歴曲線も添える。
- 中空円筒供試体による試験のときのみ記入する。

[1kN/m² ≒ 0.0102kgf/cm²]
[1MN/m² ≒ 10.2kgf/cm²]

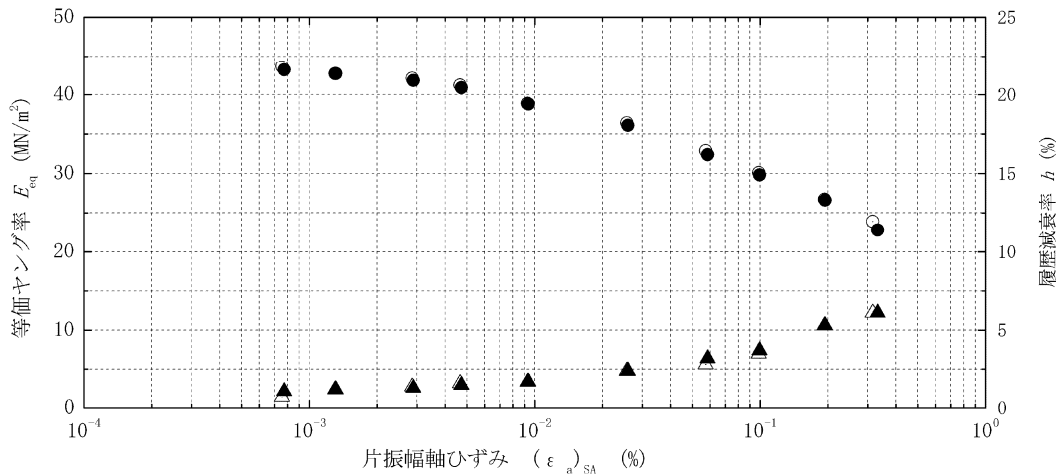
| | | |
|-----|-------------------------|--|
| JGS | 0542 0543 | 地盤材料の変形特性を求めるための繰返し三軸試験($E_{eq}, h \sim (\epsilon_a)_{SA}$ 関係) 主の変形特性を有する中空円筒供試体による繰返し三軸試験($E_{eq}, h \sim (\epsilon_a)_{SA}$ 関係) |
|-----|-------------------------|--|

調査件名 試験年月日 令和3年2月3日

試料番号(深さ) SMR 試験者 清水 裕之

| | | | |
|------------------------|--|---|---------------------|
| 試料の状態 ¹⁾ | 乱さない | 土粒子の密度 ρ_s ³⁾ g/cm ³ | 2.725 |
| 供試体の作製方法 ²⁾ | トリミング | 最小乾燥密度 ρ_{min} ⁴⁾ g/cm ³ | |
| 土質名称 | | 最大乾燥密度 ρ_{max} ⁴⁾ g/cm ³ | |
| 供試体 No. | 1 | 飽和方法 | 二重負圧法 |
| 試験条件 | 軸方向応力 σ_{ac} kN/m ² | 300 | 載荷条件 |
| | 側方向応力(=外圧,内圧) σ_{rc} kN/m ² | 300 | |
| | 背圧 u_b kN/m ² | 200 | |
| | 軸方向圧密応力 σ'_{ac} kN/m ² | 100 | |
| | 側方向圧密応力 σ'_{rc} kN/m ² | 100 | |
| | 異方圧密応力比 $\sigma'_{rc}/\sigma'_{ac}$ (=K) ⁵⁾ | 1 | |
| | | 圧密条件 | 等方, 異方 |
| | | 載荷波形 | 正弦波, 三角波 |
| | | 載荷周波数 f Hz | 0.1 |
| | | 排水条件 | 排水 , 非排水 |
| | | 1サイクルデータポイント数 | 100 |
| | | 載荷段階数 | 10 |

| 載荷段階 | 5サイクル目 ○ △ | | | 10サイクル目 ● ▲ | | |
|------|-------------------------------|-----------------------------------|-------------|-------------------------------|-----------------------------------|-------------|
| | 片振幅軸ひずみ $(\epsilon_a)_{SA}$ % | 等価ヤング率 E_{eq} MN/m ² | 履歴減衰率 h % | 片振幅軸ひずみ $(\epsilon_a)_{SA}$ % | 等価ヤング率 E_{eq} MN/m ² | 履歴減衰率 h % |
| 1 | 7.57E-04 | 43.6 | 0.7 | 7.73E-04 | 43.2 | 1.1 |
| 2 | 1.30E-03 | 42.7 | 1.2 | 1.31E-03 | 42.7 | 1.2 |
| 3 | 2.86E-03 | 42.1 | 1.4 | 2.89E-03 | 41.8 | 1.3 |
| 4 | 4.67E-03 | 41.2 | 1.6 | 4.73E-03 | 40.9 | 1.5 |
| 5 | 9.28E-03 | 38.9 | 1.7 | 9.38E-03 | 38.8 | 1.7 |
| 6 | 2.56E-02 | 36.4 | 2.4 | 2.59E-02 | 36.1 | 2.4 |
| 7 | 5.73E-02 | 32.9 | 2.8 | 5.84E-02 | 32.4 | 3.2 |
| 8 | 9.85E-02 | 30.1 | 3.5 | 9.93E-02 | 29.8 | 3.7 |
| 9 | 1.93E-01 | 26.7 | 5.3 | 1.94E-01 | 26.6 | 5.3 |
| 10 | 3.16E-01 | 23.9 | 6.1 | 3.32E-01 | 22.8 | 6.1 |
| 11 | | | | | | |
| 12 | | | | | | |
| 13 | | | | | | |
| 14 | | | | | | |



特記事項

- 1) 試料の採取方法, 試料の状態(塊状, 凍結, とさほぐされた)等を記載する。
- 2) トリミング法, 負圧法の種別, 凍結試料の場合は解冻方法を記載する。
- 3) 必要に応じて記載する。
- 4) 必要に応じて粘性土の場合は液性限界, 塑性限界, 砂質土の場合は, 最小乾燥密度, 最大乾燥密度等を記載する。
- 5) 異方応力状態で試験するときのみ記入する。

[1kN/m² ≒ 0.1012kgf/cm²]
[1MN/m² ≒ 10.2kgf/cm²]

| | | |
|-----|-------------------------|--|
| JGS | 0542 0543 | 地盤材料の変形特性を求めるための繰返し三軸試験 ($G_{eq}, h \sim \gamma$ 関係) 主の変形特性を求めるための中空円筒供試体による繰返し三軸試験 |
|-----|-------------------------|--|

調査件名 試験年月日 令和3年2月3日

試料番号(深さ) SMR 試験者 清水 裕之

$$1/G_0 = 0.0688 \text{ (MN/m}^2\text{)}^{-1}$$

$$G_0 = 14.5 \text{ (MN/m}^2\text{)}$$

$$1/\tau_f = 51.562$$

$$\tau_f = 0.0194$$

$$\gamma_{rg} = 0.00133$$

$$1/h_0 = 12.908$$

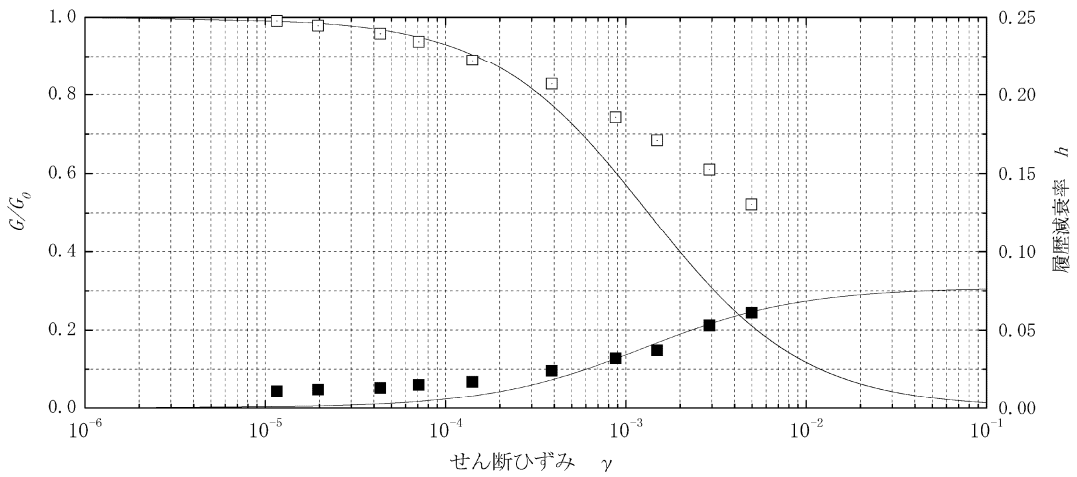
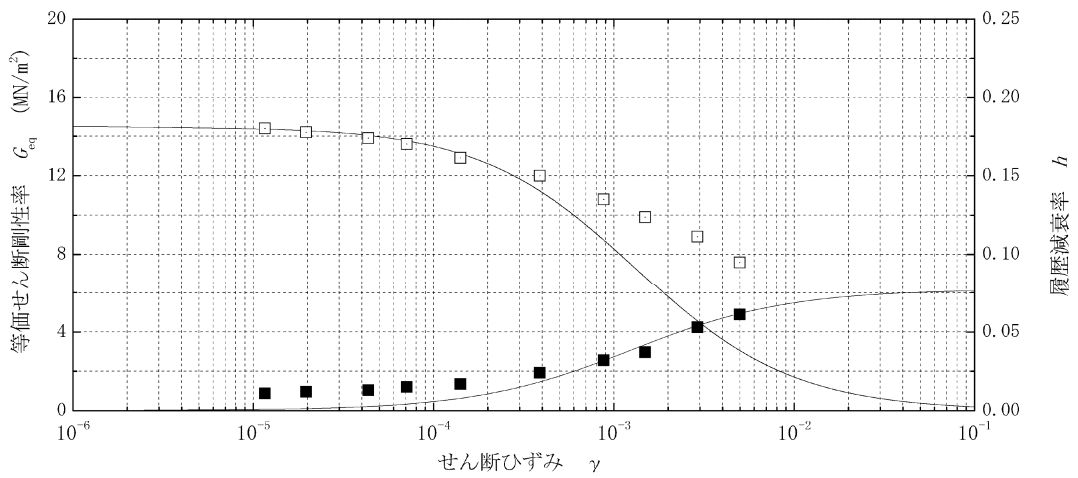
$$\gamma_{rh} = 0.00125$$

ポアソン比 $\nu=0.5$ として計算

$$G = E/(2(1+\nu))$$

$$\gamma = (1+\nu) \varepsilon_a$$

G_0 : 初期せん断剛性率
 τ_f : 動的せん断強度 ($=G_0 \cdot \gamma_{rg}$)
 γ_{rg} : G から求めた基準ひずみ
 γ_{rh} : h から求めた基準ひずみ



特記事項

[1kN/m² ≒ 0.0102kgf/cm²]
 [1MN/m² ≒ 10.2kgf/cm²]

土粒子密度試験

| | | |
|------------------------|-------------------|--|
| JIS A 1202 JGS 0111 | 土粒子の密度試験 (検定, 測定) | |
|------------------------|-------------------|--|

調査件名 _____ 試験年月日 令和3年2月4日

試験者 清水 裕之

| 試料番号 (深さ) | MSL-6 | | | MSL-7 | | |
|---|-----------------|---------|---------|---------|---------|---------|
| ピクノメーター No. | 346 | 347 | 348 | 349 | 135 | 136 |
| ピクノメーターの質量 m_f g | 64.168 | 64.462 | 64.148 | 61.010 | 57.941 | 62.210 |
| (蒸留水+ピクノメーター)質量 $m_{a'}$ g | 166.762 | 168.159 | 167.226 | 166.255 | 181.740 | 181.571 |
| $m_{a'}$ をはかったときの蒸留水の温度 T' °C | 20.0 | 20.0 | 20.0 | 20.0 | 20.0 | 20.0 |
| T' °Cにおける蒸留水の密度 $\rho_w(T)$ g/cm ³ | 0.99820 | 0.99820 | 0.99820 | 0.99820 | 0.99820 | 0.99820 |
| (試料+蒸留水+ピクノメータ) 質量 m_b g | 179.494 | 180.907 | 179.684 | 178.893 | 194.661 | 194.126 |
| m_b をはかったときの内容物の温度 T °C | 20.0 | 20.0 | 20.0 | 20.0 | 20.0 | 20.0 |
| T °Cにおける蒸留水の密度 $\rho_w(T)$ g/cm ³ | 0.99820 | 0.99820 | 0.99820 | 0.99820 | 0.99820 | 0.99820 |
| 温度 T °C の蒸留水を満たしたときの (蒸留水+ピクノメータ) 質量 m_a g | 166.762 | 168.159 | 167.226 | 166.255 | 181.740 | 181.571 |
| 試料の 炉乾燥質量 | 容器 No. | | | | | |
| | (炉乾燥試料+容器) 質量 g | | | | | |
| | 容器 質量 g | | | | | |
| | m_s g | 20.412 | 20.485 | 20.019 | 20.215 | 20.636 |
| 土粒子の密度 ρ_s g/cm ³ | 2.653 | 2.643 | 2.643 | 2.663 | 2.670 | 2.674 |
| 平均値 ρ_s g/cm ³ | 2.646 | | | 2.669 | | |

| 試料番号 (深さ) | MSC-2 | | | MSC-3 | | |
|---|-----------------|---------|---------|---------|---------|---------|
| ピクノメーター No. | 314 | 315 | 322 | 328 | 336 | 337 |
| ピクノメーターの質量 m_f g | 63.800 | 63.428 | 63.540 | 62.910 | 61.766 | 57.362 |
| (蒸留水+ピクノメーター)質量 $m_{a'}$ g | 168.302 | 166.638 | 169.061 | 169.524 | 167.352 | 163.503 |
| $m_{a'}$ をはかったときの蒸留水の温度 T' °C | 20.0 | 20.0 | 20.0 | 20.0 | 20.0 | 20.0 |
| T' °Cにおける蒸留水の密度 $\rho_w(T)$ g/cm ³ | 0.99820 | 0.99820 | 0.99820 | 0.99820 | 0.99820 | 0.99820 |
| (試料+蒸留水+ピクノメータ) 質量 m_b g | 180.805 | 179.350 | 181.914 | 182.223 | 180.111 | 176.165 |
| m_b をはかったときの内容物の温度 T °C | 20.0 | 20.0 | 20.0 | 20.0 | 20.0 | 20.0 |
| T °Cにおける蒸留水の密度 $\rho_w(T)$ g/cm ³ | 0.99820 | 0.99820 | 0.99820 | 0.99820 | 0.99820 | 0.99820 |
| 温度 T °C の蒸留水を満たしたときの (蒸留水+ピクノメータ) 質量 m_a g | 168.302 | 166.638 | 169.061 | 169.524 | 167.352 | 163.503 |
| 試料の 炉乾燥質量 | 容器 No. | | | | | |
| | (炉乾燥試料+容器) 質量 g | | | | | |
| | 容器 質量 g | | | | | |
| | m_s g | 20.032 | 20.353 | 20.551 | 20.438 | 20.549 |
| 土粒子の密度 ρ_s g/cm ³ | 2.656 | 2.659 | 2.665 | 2.636 | 2.633 | 2.630 |
| 平均値 ρ_s g/cm ³ | 2.660 | | | 2.633 | | |

特記事項

$$m_a = \frac{\rho_w(T)}{\rho_w(T')} \times (m_{a'} - m_f) + m_f$$

$$\rho_s = \frac{m_s}{m_s + (m_a - m_b)} \times \rho_w(T)$$

| | | |
|------------------------|-------------------|--|
| JIS A 1202 JGS 0111 | 土粒子の密度試験 (検定, 測定) | |
|------------------------|-------------------|--|

調査件名 _____ 試験年月日 令和3年2月4日

試験者 清水 裕之

| 試料番号 (深さ) | MSC-4 | | | MSC-5 | | |
|---|-----------------|---------|---------|---------|---------|---------|
| ピクノメーター No. | 338 | 339 | 340 | 341 | 342 | 345 |
| ピクノメーターの質量 m_f g | 62.166 | 59.472 | 61.807 | 66.184 | 61.723 | 64.529 |
| (蒸留水+ピクノメーター)質量 $m_{a'}$ g | 168.710 | 165.001 | 164.648 | 173.260 | 168.232 | 171.931 |
| $m_{a'}$ をはかったときの蒸留水の温度 T' °C | 20.0 | 20.0 | 20.0 | 20.0 | 20.0 | 20.0 |
| T' °Cにおける蒸留水の密度 $\rho_w(T)$ g/cm ³ | 0.99820 | 0.99820 | 0.99820 | 0.99820 | 0.99820 | 0.99820 |
| (試料+蒸留水+ピクノメータ) 質量 m_b g | 181.265 | 177.707 | 177.600 | 185.781 | 181.079 | 184.715 |
| m_b をはかったときの内容物の温度 T °C | 20.0 | 20.0 | 20.0 | 20.0 | 20.0 | 20.0 |
| T °Cにおける蒸留水の密度 $\rho_w(T)$ g/cm ³ | 0.99820 | 0.99820 | 0.99820 | 0.99820 | 0.99820 | 0.99820 |
| 温度 T °C の蒸留水を満たしたときの (蒸留水+ピクノメータ) 質量 m_a g | 168.710 | 165.001 | 164.648 | 173.260 | 168.232 | 171.931 |
| 試料の 炉乾燥質量 | 容器 No. | | | | | |
| | (炉乾燥試料+容器) 質量 g | | | | | |
| | 容器 質量 g | | | | | |
| | m_s g | 20.193 | 20.455 | 20.850 | 20.092 | 20.616 |
| 土粒子の密度 ρ_s g/cm ³ | 2.639 | 2.635 | 2.635 | 2.649 | 2.649 | 2.646 |
| 平均 値 ρ_s g/cm ³ | 2.636 | | | 2.648 | | |

| 試料番号 (深さ) | MSR-5 | | | SMR-5 | | |
|---|-----------------|---------|---------|---------|---------|---------|
| ピクノメーター No. | 305 | 306 | 311 | 137 | 138 | 140 |
| ピクノメーターの質量 m_f g | 64.084 | 64.520 | 61.246 | 56.790 | 54.773 | 58.050 |
| (蒸留水+ピクノメーター)質量 $m_{a'}$ g | 169.799 | 169.716 | 166.215 | 177.032 | 169.259 | 178.348 |
| $m_{a'}$ をはかったときの蒸留水の温度 T' °C | 20.0 | 20.0 | 20.0 | 20.0 | 20.0 | 20.0 |
| T' °Cにおける蒸留水の密度 $\rho_w(T)$ g/cm ³ | 0.99820 | 0.99820 | 0.99820 | 0.99820 | 0.99820 | 0.99820 |
| (試料+蒸留水+ピクノメータ) 質量 m_b g | 182.546 | 182.549 | 178.912 | 190.002 | 182.074 | 191.207 |
| m_b をはかったときの内容物の温度 T °C | 20.0 | 20.0 | 20.0 | 20.0 | 20.0 | 20.0 |
| T °Cにおける蒸留水の密度 $\rho_w(T)$ g/cm ³ | 0.99820 | 0.99820 | 0.99820 | 0.99820 | 0.99820 | 0.99820 |
| 温度 T °C の蒸留水を満たしたときの (蒸留水+ピクノメータ) 質量 m_a g | 169.799 | 169.716 | 166.215 | 177.032 | 169.259 | 178.348 |
| 試料の 炉乾燥質量 | 容器 No. | | | | | |
| | (炉乾燥試料+容器) 質量 g | | | | | |
| | 容器 質量 g | | | | | |
| | m_s g | 20.530 | 20.698 | 20.503 | 20.481 | 20.235 |
| 土粒子の密度 ρ_s g/cm ³ | 2.633 | 2.627 | 2.622 | 2.722 | 2.722 | 2.732 |
| 平均 値 ρ_s g/cm ³ | 2.627 | | | 2.725 | | |

特記事項

$$m_a = \frac{\rho_w(T)}{\rho_w(T')} \times (m_{a'} - m_f) + m_f$$

$$\rho_s = \frac{m_s}{m_s + (m_a - m_b)} \times \rho_w(T)$$

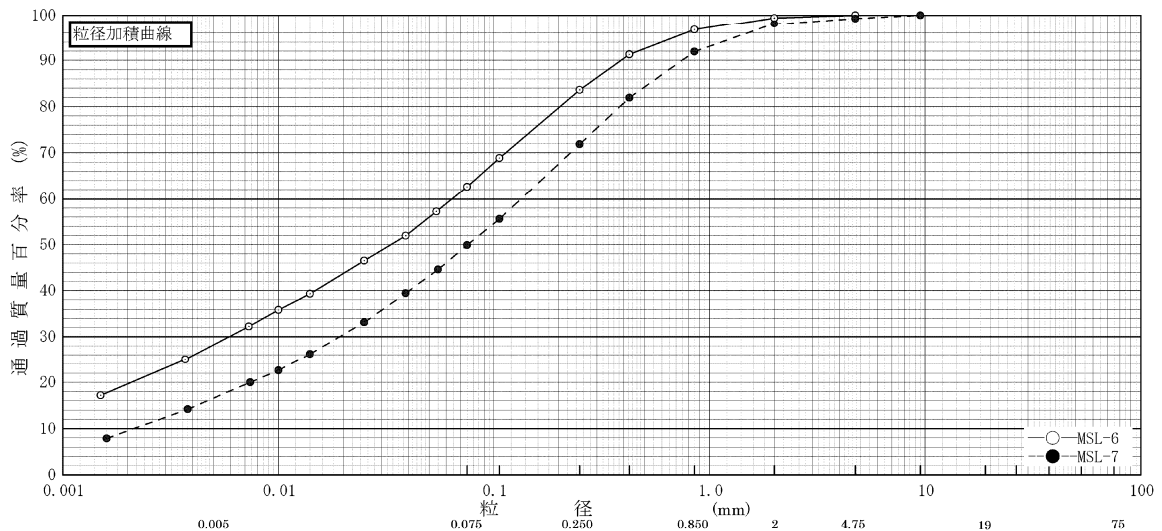
粒度試験

| | | |
|------------------------|-----------------|--|
| JIS A 1204 JGS 0131 | 土の粒度試験 (粒径加積曲線) | |
|------------------------|-----------------|--|

調査件名 試験年月日 令和 3 年 2 月 4 日

試験者 清水 裕之

| 試料番号 (深さ) | MSL-6 | | MSL-7 | | 試料番号 (深さ) | MSL-6 | MSL-7 |
|--------------|--------|----------|--------|----------|-----------------------------------|--------------------------|--------------------------|
| | 粒径 mm | 通過質量百分率% | 粒径 mm | 通過質量百分率% | | | |
| ふるい | | | | | 粗礫分 % | 0.0 | 0.0 |
| | 75 | | 75 | | 中礫分 % | 0.0 | 0.7 |
| | 53 | | 53 | | 細礫分 % | 0.6 | 1.3 |
| | 37.5 | | 37.5 | | 粗砂分 % | 2.7 | 6.1 |
| | 26.5 | | 26.5 | | 中砂分 % | 13.1 | 20.0 |
| | 19 | | 19 | | 細砂分 % | 21.0 | 22.0 |
| | 9.5 | | 9.5 | 100.0 | シルト分 % | 34.4 | 33.3 |
| | 4.75 | 100.0 | 4.75 | 99.3 | 粘土分 % | 28.2 | 16.6 |
| | 2 | 99.4 | 2 | 98.0 | 2 mm ふるい通過質量百分率 % | 99.4 | 98.0 |
| | 0.85 | 96.7 | 0.85 | 91.9 | 425 μm ふるい通過質量百分率 % | 91.3 | 81.9 |
| | 0.425 | 91.3 | 0.425 | 81.9 | 75 μm ふるい通過質量百分率 % | 62.6 | 49.9 |
| | 0.250 | 83.6 | 0.250 | 71.9 | 最大粒径 mm | 4.75 | 9.50 |
| | 0.106 | 68.9 | 0.106 | 55.6 | 60 % 粒径 D_{60} mm | 0.064 | 0.13 |
| 沈降 | 0.075 | 62.6 | 0.075 | 49.9 | 50 % 粒径 D_{50} mm | 0.033 | 0.075 |
| | 0.054 | 57.2 | 0.055 | 44.6 | 30 % 粒径 D_{30} mm | 0.006 | 0.019 |
| | 0.039 | 51.9 | 0.039 | 39.4 | 10 % 粒径 D_{10} mm | --- | 0.002 |
| | 0.025 | 46.5 | 0.025 | 33.1 | 均等係数 U_c | --- | 65.0 |
| | 0.014 | 39.3 | 0.014 | 26.2 | 曲率係数 U_c' | --- | 1.388 |
| | 0.010 | 35.8 | 0.010 | 22.6 | 土粒子の密度 ρ_s g/cm ³ | 2.646 | 2.669 |
| | 0.0073 | 32.2 | 0.0074 | 20.0 | 使用した分散剤 溶液濃度, 溶液添加量 | ヘキサメタリン酸 ナトリウム溶液 10ml | ヘキサメタリン酸 ナトリウム溶液 10ml |
| 析 | 0.0037 | 25.0 | 0.0038 | 14.2 | | | |
| | 0.0015 | 17.2 | 0.0016 | 7.9 | | | |



| | | | | | | | |
|----|-----|----|----|----|----|----|----|
| 粘土 | シルト | 細砂 | 中砂 | 粗砂 | 細礫 | 中礫 | 粗礫 |
|----|-----|----|----|----|----|----|----|

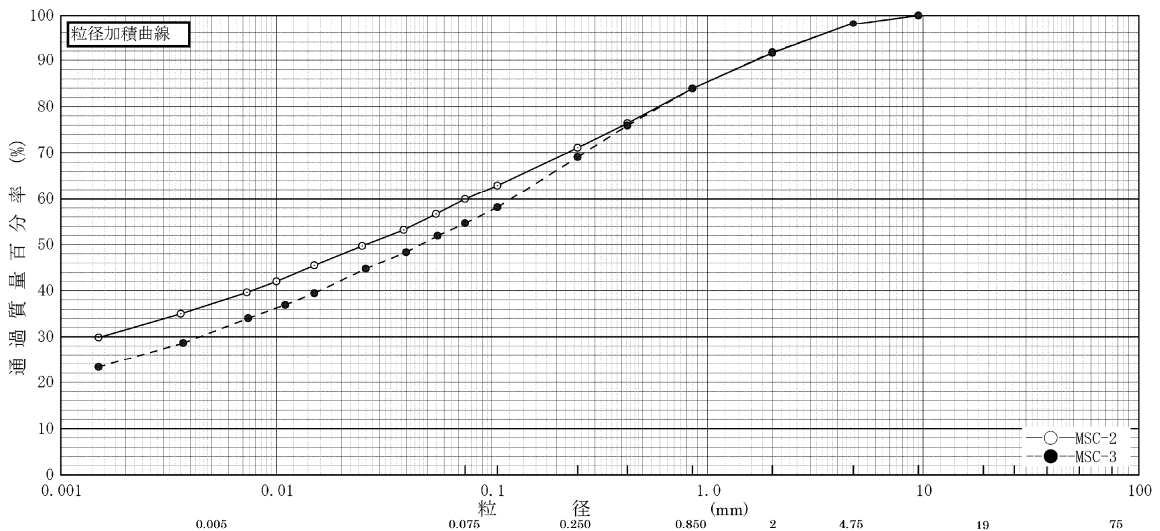
特記事項

| | | |
|------------------------|-----------------|--|
| JIS A 1204 JGS 0131 | 土の粒度試験 (粒径加積曲線) | |
|------------------------|-----------------|--|

調査件名 試験年月日 令和 3 年 2 月 4 日

試験者 清水 裕之

| 試料番号 (深さ) | MSC-2 | | MSC-3 | | 試料番号 (深さ) | MSC-2 | MSC-3 |
|--------------|--------|----------|--------|----------|-----------------------------------|--------------------------|--------------------------|
| | 粒径 mm | 通過質量百分率% | 粒径 mm | 通過質量百分率% | | | |
| ふるい 分析 | | | | | 粗礫分 % | 0.0 | 0.0 |
| | 75 | | 75 | | 中礫分 % | 1.9 | 1.9 |
| | 53 | | 53 | | 細礫分 % | 6.5 | 6.4 |
| | 37.5 | | 37.5 | | 粗砂分 % | 7.7 | 7.8 |
| | 26.5 | | 26.5 | | 中砂分 % | 12.8 | 14.8 |
| | 19 | | 19 | | 細砂分 % | 11.2 | 14.5 |
| | 9.5 | 100.0 | 9.5 | 100.0 | シルト分 % | 22.8 | 23.7 |
| | 4.75 | 98.1 | 4.75 | 98.1 | 粘土分 % | 37.1 | 30.9 |
| | 2 | 91.6 | 2 | 91.7 | 2 mm ふるい通過質量百分率 % | 91.6 | 91.7 |
| | 0.85 | 83.9 | 0.85 | 83.9 | 425 μm ふるい通過質量百分率 % | 76.4 | 75.9 |
| | 0.425 | 76.4 | 0.425 | 75.9 | 75 μm ふるい通過質量百分率 % | 59.9 | 54.6 |
| | 0.250 | 71.1 | 0.250 | 69.1 | 最大粒径 mm | 9.50 | 9.50 |
| | 0.106 | 62.9 | 0.106 | 58.1 | 60 % 粒径 D_{60} mm | 0.076 | 0.12 |
| | 0.075 | 59.9 | 0.075 | 54.6 | 50 % 粒径 D_{50} mm | 0.026 | 0.047 |
| 沈降 分析 | 0.055 | 56.7 | 0.056 | 51.9 | 30 % 粒径 D_{30} mm | 0.002 | 0.004 |
| | 0.039 | 53.2 | 0.040 | 48.3 | 10 % 粒径 D_{10} mm | --- | --- |
| | 0.025 | 49.7 | 0.026 | 44.8 | 均等係数 U_c | --- | --- |
| | 0.015 | 45.5 | 0.015 | 39.4 | 曲率係数 U_c' | --- | --- |
| | 0.010 | 42.0 | 0.011 | 36.9 | 土粒子の密度 ρ_s g/cm ³ | 2.660 | 2.633 |
| | 0.0073 | 39.6 | 0.0074 | 34.0 | 使用した分散剤 溶液濃度, 溶液添加量 | ヘキサメタリン酸 ナトリウム溶液 10ml | ヘキサメタリン酸 ナトリウム溶液 10ml |
| | 0.0036 | 35.0 | 0.0037 | 28.6 | | | |
| 0.0015 | 29.8 | 0.0015 | 23.3 | | | | |



| | | | | | | | |
|-----|-------|-----|-----|-----|-----|-----|-----|
| 粘 土 | シ ル ト | 細 砂 | 中 砂 | 粗 砂 | 細 礫 | 中 礫 | 粗 礫 |
|-----|-------|-----|-----|-----|-----|-----|-----|

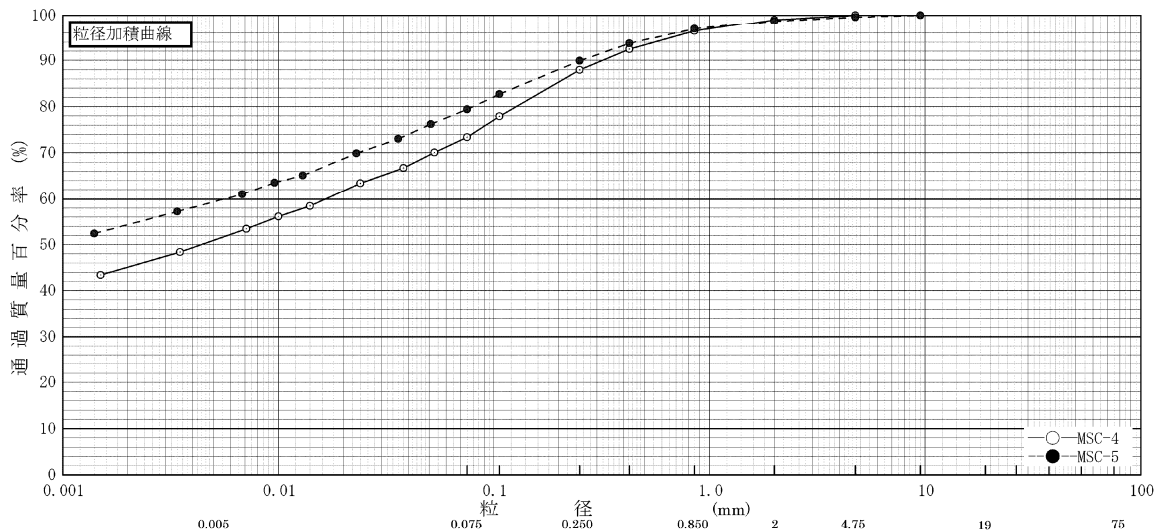
特記事項

| | | |
|------------------------|-----------------|--|
| JIS A 1204 JGS 0131 | 土の粒度試験 (粒径加積曲線) | |
|------------------------|-----------------|--|

調査件名 試験年月日 令和 3 年 2 月 4 日

試験者 清水 裕之

| 試料番号 (深さ) | MSC-4 | | MSC-5 | | 試料番号 (深さ) | MSC-4 | MSC-5 |
|--------------|--------|----------|--------|---------------------|-----------------------------------|--------------------------|--------------------------|
| | 粒径 mm | 通過質量百分率% | 粒径 mm | 通過質量百分率% | | | |
| ふるい 分析 | | | | | 粗礫分 % | 0.0 | 0.0 |
| | 75 | | 75 | | 中礫分 % | 0.0 | 0.4 |
| | 53 | | 53 | | 細礫分 % | 1.0 | 0.9 |
| | 37.5 | | 37.5 | | 粗砂分 % | 2.6 | 1.8 |
| | 26.5 | | 26.5 | | 中砂分 % | 8.5 | 7.0 |
| | 19 | | 19 | | 細砂分 % | 14.5 | 10.5 |
| | 9.5 | | 9.5 | 100.0 | シルト分 % | 22.5 | 20.1 |
| | 4.75 | 100.0 | 4.75 | 99.6 | 粘土分 % | 50.9 | 59.3 |
| | 2 | 99.0 | 2 | 98.7 | 2 mm ふるい通過質量百分率 % | 99.0 | 98.7 |
| | 0.85 | 96.4 | 0.85 | 96.9 | 425 μm ふるい通過質量百分率 % | 92.4 | 93.7 |
| | 0.425 | 92.4 | 0.425 | 93.7 | 75 μm ふるい通過質量百分率 % | 73.4 | 79.4 |
| | 0.250 | 87.9 | 0.250 | 89.9 | 最大粒径 mm | 4.75 | 9.50 |
| | 0.106 | 77.9 | 0.106 | 82.7 | 60 % 粒径 D_{60} mm | 0.017 | 0.006 |
| 0.075 | 73.4 | 0.075 | 79.4 | 50 % 粒径 D_{50} mm | 0.004 | --- | |
| 沈降 分析 | 0.053 | 70.1 | 0.051 | 76.2 | 30 % 粒径 D_{30} mm | --- | --- |
| | 0.038 | 66.7 | 0.036 | 73.0 | 10 % 粒径 D_{10} mm | --- | --- |
| | 0.024 | 63.4 | 0.023 | 69.9 | 均等係数 U_c | --- | --- |
| | 0.014 | 58.4 | 0.013 | 65.1 | 曲率係数 U_c' | --- | --- |
| | 0.010 | 56.1 | 0.0096 | 63.5 | 土粒子の密度 ρ_s g/cm ³ | 2.636 | 2.648 |
| | 0.0071 | 53.4 | 0.0068 | 61.0 | 使用した分散剤 溶液濃度, 溶液添加量 | ヘキサメタリン酸 ナトリウム溶液 10ml | ヘキサメタリン酸 ナトリウム溶液 10ml |
| | 0.0035 | 48.4 | 0.0034 | 57.2 | | | |
| 0.0015 | 43.4 | 0.0014 | 52.4 | | | | |



| | | | | | | | |
|----|-----|----|----|----|----|----|----|
| 粘土 | シルト | 細砂 | 中砂 | 粗砂 | 細礫 | 中礫 | 粗礫 |
|----|-----|----|----|----|----|----|----|

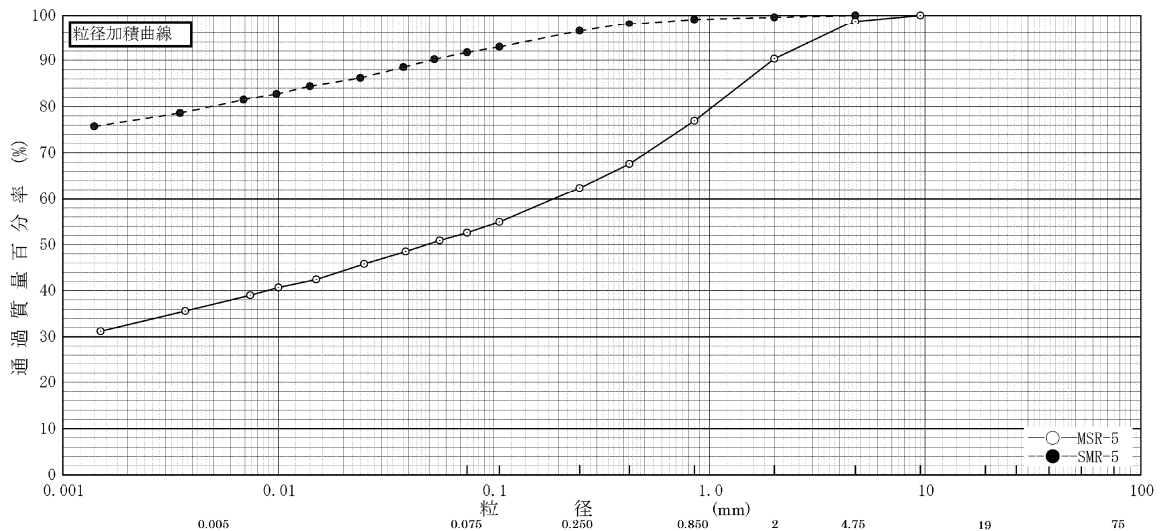
特記事項

| | | |
|------------------------|-----------------|--|
| JIS A 1204 JGS 0131 | 土の粒度試験 (粒径加積曲線) | |
|------------------------|-----------------|--|

調査件名 試験年月日 令和3年2月4日

試験者 清水 裕之

| 試料番号 (深さ) | MSR-5 | | SMR-5 | | 試料番号 (深さ) | MSR-5 | SMR-5 |
|--------------|--------|----------|--------|-------------------|-----------------------------------|--------------------------|--------------------------|
| | 粒径 mm | 通過質量百分率% | 粒径 mm | 通過質量百分率% | | | |
| ふるい | | | | | 粗礫分 % | 0.0 | 0.0 |
| | 75 | | 75 | | 中礫分 % | 1.3 | 0.0 |
| | 53 | | 53 | | 細礫分 % | 8.4 | 0.4 |
| | 37.5 | | 37.5 | | 粗砂分 % | 13.4 | 0.5 |
| | 26.5 | | 26.5 | | 中砂分 % | 14.5 | 2.7 |
| | 19 | | 19 | | 細砂分 % | 9.8 | 4.7 |
| | 9.5 | 100.0 | 9.5 | | シルト分 % | 15.5 | 11.6 |
| | 4.75 | 98.7 | 4.75 | 100.0 | 粘土分 % | 37.1 | 80.1 |
| | 2 | 90.3 | 2 | 99.6 | 2mmふるい通過質量百分率 % | 90.3 | 99.6 |
| | 0.85 | 76.9 | 0.85 | 99.1 | 425μmふるい通過質量百分率 % | 67.6 | 98.1 |
| | 0.425 | 67.6 | 0.425 | 98.1 | 75μmふるい通過質量百分率 % | 52.6 | 91.7 |
| | 0.250 | 62.4 | 0.250 | 96.4 | 最大粒径 mm | 9.50 | 4.75 |
| | 0.106 | 54.9 | 0.106 | 92.9 | 60%粒径 D_{60} mm | 0.19 | --- |
| 0.075 | 52.6 | 0.075 | 91.7 | 50%粒径 D_{50} mm | 0.049 | --- | |
| 沈降 | 0.056 | 50.9 | 0.053 | 90.2 | 30%粒径 D_{30} mm | --- | --- |
| | 0.039 | 48.5 | 0.038 | 88.5 | 10%粒径 D_{10} mm | --- | --- |
| | 0.025 | 45.8 | 0.024 | 86.2 | 均等係数 U_c | --- | --- |
| | 0.015 | 42.4 | 0.014 | 84.4 | 曲率係数 U_c' | --- | --- |
| | 0.010 | 40.7 | 0.0098 | 82.7 | 土粒子の密度 ρ_s g/cm ³ | 2.627 | 2.725 |
| 析 | 0.0074 | 39.0 | 0.0069 | 81.5 | 使用した分散剤 溶液濃度, 溶液添加量 | ヘキサメタリン酸 ナトリウム溶液 10ml | ヘキサメタリン酸 ナトリウム溶液 10ml |
| | 0.0037 | 35.6 | 0.0035 | 78.6 | | | |
| | 0.0015 | 31.2 | 0.0014 | 75.7 | | | |



| | | | | | | | |
|----|-----|----|----|----|----|----|----|
| 粘土 | シルト | 細砂 | 中砂 | 粗砂 | 細礫 | 中礫 | 粗礫 |
|----|-----|----|----|----|----|----|----|

特記事項

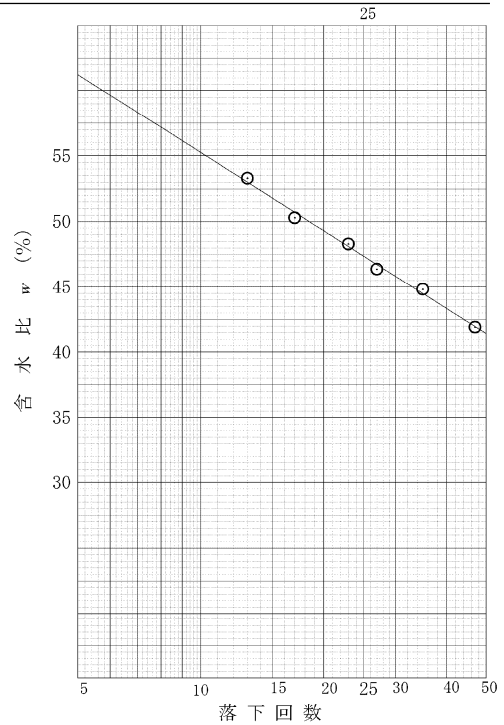
液性限界・塑性限界試験

調査件名

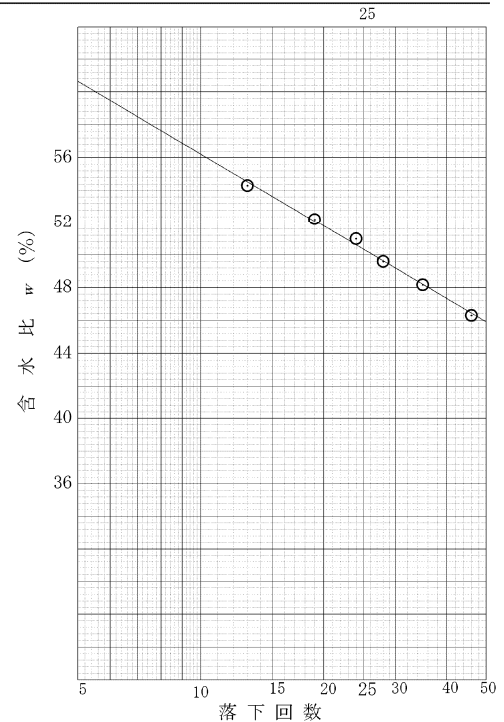
試験年月日 令和 3 年 3 月 2 日

試験者 清水 裕之

| 試料番号(深 さ) | | MSL-6 | | |
|--------------|---------|--------------|-------|------------|
| 液 性 限 界 試 験 | | | | |
| 落 下 回 数 | | 47 | 35 | 27 |
| 含 水 比 | 容 器 No. | 110 | 898 | 761 |
| | m_a g | 39.88 | 40.47 | 39.97 |
| | m_b g | 36.64 | 36.90 | 36.49 |
| | m_c g | 28.91 | 28.93 | 28.98 |
| w % | 41.89 | 44.82 | 46.36 | |
| 落 下 回 数 | | 23 | 17 | 13 |
| 含 水 比 | 容 器 No. | 228 | 889 | 978 |
| | m_a g | 40.39 | 39.15 | 38.32 |
| | m_b g | 36.65 | 35.72 | 35.05 |
| | m_c g | 28.91 | 28.90 | 28.91 |
| w % | 48.30 | 50.28 | 53.29 | |
| 塑 性 限 界 試 験 | | | | |
| 含 水 比 | 容 器 No. | 70 | 68 | 752 |
| | m_a g | 33.56 | 34.31 | 34.34 |
| | m_b g | 32.90 | 33.54 | 33.59 |
| | m_c g | 28.89 | 28.93 | 28.97 |
| w % | 16.46 | 16.70 | 16.24 | |
| 液性限界 w_L % | | 塑性限界 w_p % | | 塑性指数 I_p |
| 47.38 | | 16.47 | | 30.91 |



| 試料番号(深 さ) | | MSL-7 | | |
|--------------|---------|--------------|-------|------------|
| 液 性 限 界 試 験 | | | | |
| 落 下 回 数 | | 46 | 35 | 28 |
| 含 水 比 | 容 器 No. | 391 | 415 | 755 |
| | m_a g | 40.83 | 40.32 | 41.18 |
| | m_b g | 37.07 | 36.61 | 37.14 |
| | m_c g | 28.95 | 28.91 | 28.99 |
| w % | 46.29 | 48.16 | 49.59 | |
| 落 下 回 数 | | 24 | 19 | 13 |
| 含 水 比 | 容 器 No. | 182 | 78 | 384 |
| | m_a g | 39.66 | 38.86 | 39.85 |
| | m_b g | 36.02 | 35.45 | 36.03 |
| | m_c g | 28.88 | 28.92 | 28.99 |
| w % | 50.97 | 52.20 | 54.29 | |
| 塑 性 限 界 試 験 | | | | |
| 含 水 比 | 容 器 No. | 519 | 230 | 989 |
| | m_a g | 34.45 | 33.81 | 34.10 |
| | m_b g | 33.45 | 32.89 | 33.14 |
| | m_c g | 29.02 | 28.85 | 28.95 |
| w % | 22.57 | 22.75 | 22.89 | |
| 液性限界 w_L % | | 塑性限界 w_p % | | 塑性指数 I_p |
| 50.35 | | 22.74 | | 27.61 |



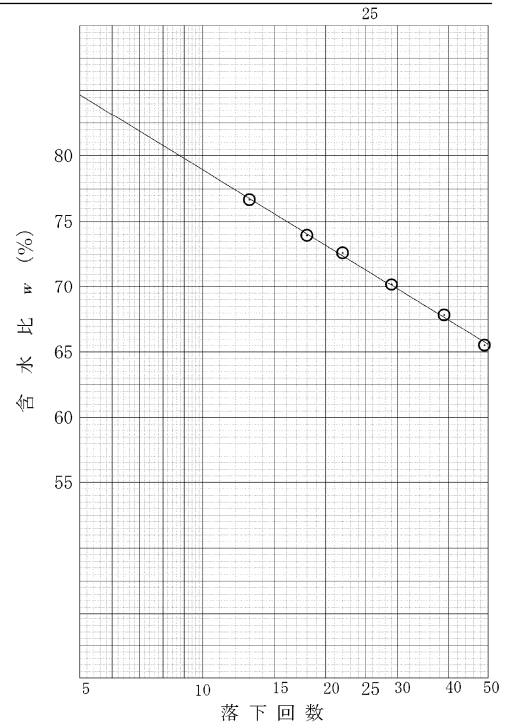
特記事項

調査件名

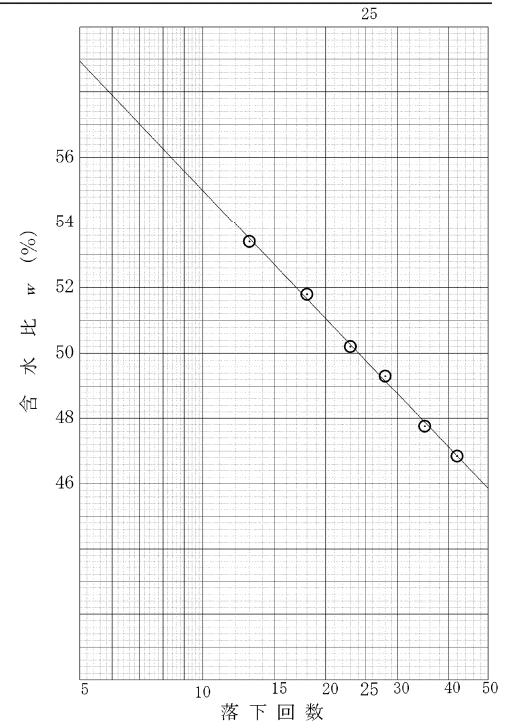
試験年月日 令和3年3月2日

試験者 清水裕之

| 試料番号(深さ) | | MSC-2 | | |
|--------------|---------|--------------|-------|------------|
| 液性限界試験 | | | | |
| 落下回数 | | 49 | 39 | 29 |
| 含水比 | 容器 No. | 591 | 205 | 782 |
| | m_a g | 39.75 | 38.94 | 38.77 |
| | m_b g | 35.50 | 34.91 | 34.74 |
| | m_c g | 29.01 | 28.97 | 29.00 |
| w % | 65.53 | 67.82 | 70.17 | |
| 落下回数 | | 22 | 18 | 13 |
| 含水比 | 容器 No. | 604 | 91 | 214 |
| | m_a g | 38.39 | 39.94 | 37.85 |
| | m_b g | 34.44 | 35.24 | 33.98 |
| | m_c g | 29.00 | 28.88 | 28.93 |
| w % | 72.61 | 73.95 | 76.66 | |
| 塑性限界試験 | | | | |
| 含水比 | 容器 No. | 311 | 841 | 438 |
| | m_a g | 33.66 | 34.04 | 34.73 |
| | m_b g | 32.96 | 33.29 | 33.95 |
| | m_c g | 28.92 | 28.95 | 29.50 |
| w % | 17.31 | 17.29 | 17.53 | |
| 液性限界 w_L % | | 塑性限界 w_p % | | 塑性指数 I_p |
| 71.34 | | 17.38 | | 53.96 |



| 試料番号(深さ) | | MSC-3 | | |
|--------------|---------|--------------|-------|------------|
| 液性限界試験 | | | | |
| 落下回数 | | 42 | 35 | 28 |
| 含水比 | 容器 No. | 307 | 836 | 436 |
| | m_a g | 38.39 | 38.07 | 40.27 |
| | m_b g | 35.39 | 35.12 | 36.53 |
| | m_c g | 28.99 | 28.94 | 28.94 |
| w % | 46.84 | 47.75 | 49.30 | |
| 落下回数 | | 23 | 18 | 13 |
| 含水比 | 容器 No. | 131 | 64 | 93 |
| | m_a g | 38.28 | 40.39 | 39.98 |
| | m_b g | 35.15 | 36.48 | 36.13 |
| | m_c g | 28.92 | 28.93 | 28.92 |
| w % | 50.20 | 51.79 | 53.40 | |
| 塑性限界試験 | | | | |
| 含水比 | 容器 No. | 88 | 559 | 914 |
| | m_a g | 33.96 | 33.36 | 33.47 |
| | m_b g | 33.40 | 32.88 | 32.98 |
| | m_c g | 28.87 | 28.97 | 28.94 |
| w % | 12.35 | 12.29 | 12.13 | |
| 液性限界 w_L % | | 塑性限界 w_p % | | 塑性指数 I_p |
| 49.79 | | 12.26 | | 37.53 |



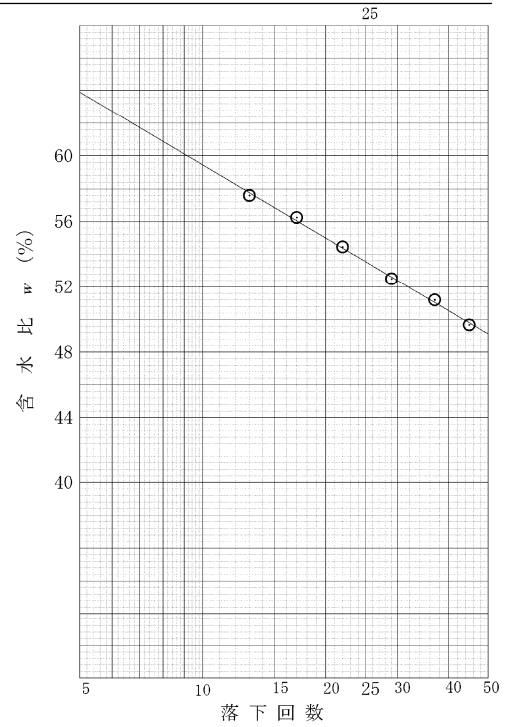
特記事項

調査件名

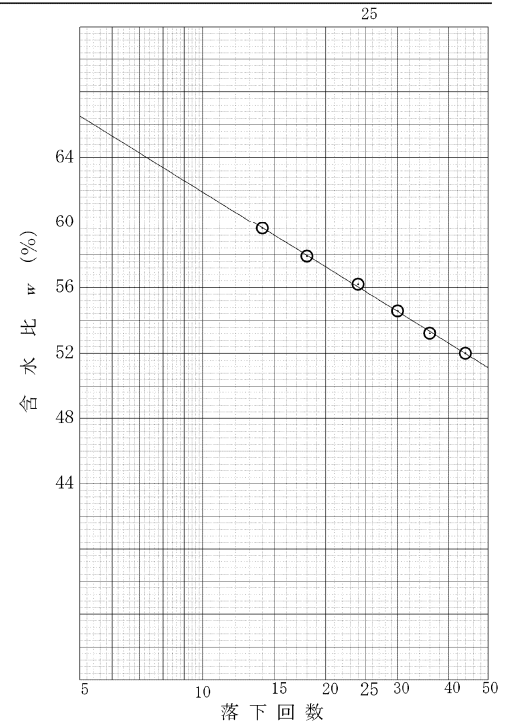
試験年月日 令和 3 年 3 月 2 日

試験者 清水 裕之

| 試料番号(深 さ) | | MSC-4 | | |
|--------------|---------|--------------|-------|------------|
| 液 性 限 界 試 験 | | | | |
| 落 下 回 数 | | 45 | 37 | 29 |
| 含 水 比 | 容 器 No. | 45 | 378 | 645 |
| | m_a g | 38.38 | 38.98 | 41.41 |
| | m_b g | 35.22 | 35.59 | 37.13 |
| | m_c g | 28.86 | 28.97 | 28.98 |
| w % | | 49.65 | 51.19 | 52.50 |
| 落 下 回 数 | | 22 | 17 | 13 |
| 含 水 比 | 容 器 No. | 620 | 206 | 217 |
| | m_a g | 40.02 | 39.85 | 40.58 |
| | m_b g | 36.11 | 35.95 | 36.36 |
| | m_c g | 28.93 | 29.02 | 29.03 |
| w % | | 54.45 | 56.24 | 57.57 |
| 塑 性 限 界 試 験 | | | | |
| 含 水 比 | 容 器 No. | 953 | 595 | 265 |
| | m_a g | 33.99 | 34.15 | 34.27 |
| | m_b g | 33.46 | 33.60 | 33.71 |
| | m_c g | 28.90 | 28.99 | 28.92 |
| w % | | 11.62 | 11.93 | 11.68 |
| 液性限界 w_L % | | 塑性限界 w_p % | | 塑性指数 I_p |
| 53.56 | | 11.74 | | 41.82 |



| 試料番号(深 さ) | | MSC-5 | | |
|--------------|---------|--------------|-------|------------|
| 液 性 限 界 試 験 | | | | |
| 落 下 回 数 | | 44 | 36 | 30 |
| 含 水 比 | 容 器 No. | 189 | 879 | 576 |
| | m_a g | 40.36 | 39.87 | 39.66 |
| | m_b g | 36.44 | 36.07 | 35.87 |
| | m_c g | 28.90 | 28.93 | 28.92 |
| w % | | 52.00 | 53.21 | 54.56 |
| 落 下 回 数 | | 24 | 18 | 14 |
| 含 水 比 | 容 器 No. | 201 | 299 | 977 |
| | m_a g | 39.74 | 40.63 | 40.71 |
| | m_b g | 35.82 | 36.31 | 36.32 |
| | m_c g | 28.84 | 28.85 | 28.96 |
| w % | | 56.19 | 57.91 | 59.61 |
| 塑 性 限 界 試 験 | | | | |
| 含 水 比 | 容 器 No. | 970 | 272 | 503 |
| | m_a g | 35.46 | 34.18 | 34.60 |
| | m_b g | 34.71 | 33.58 | 33.98 |
| | m_c g | 28.89 | 28.81 | 28.93 |
| w % | | 12.88 | 12.57 | 12.28 |
| 液性限界 w_L % | | 塑性限界 w_p % | | 塑性指数 I_p |
| 55.76 | | 12.58 | | 43.18 |



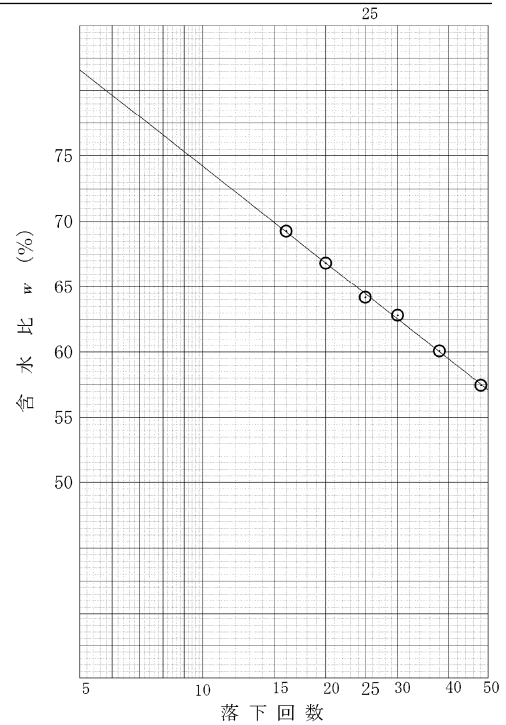
特記事項

調査件名

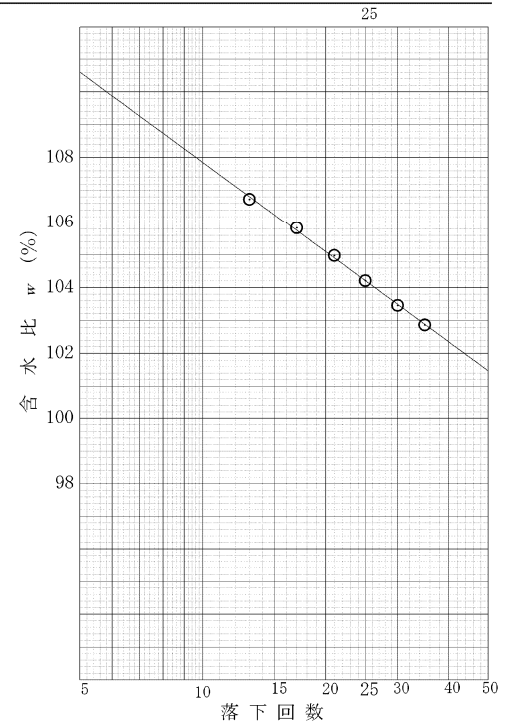
試験年月日 令和 3 年 3 月 2 日

試験者 清水 裕之

| 試料番号(深さ) | | MSR-5 | | |
|--------------|---------|--------------|-------|------------|
| 液性限界試験 | | | | |
| 落下回数 | | 48 | 38 | 30 |
| 含水比 | 容器 No. | 17 | 952 | 662 |
| | m_a g | 37.39 | 37.90 | 37.65 |
| | m_b g | 34.28 | 34.54 | 34.29 |
| | m_c g | 28.87 | 28.95 | 28.94 |
| w % | 57.46 | 60.08 | 62.80 | |
| 落下回数 | | 25 | 20 | 16 |
| 含水比 | 容器 No. | 96 | 342 | 643 |
| | m_a g | 38.45 | 38.73 | 37.07 |
| | m_b g | 34.72 | 34.82 | 33.74 |
| | m_c g | 28.91 | 28.97 | 28.93 |
| w % | 64.18 | 66.83 | 69.27 | |
| 塑性限界試験 | | | | |
| 含水比 | 容器 No. | 169 | 193 | 151 |
| | m_a g | 34.25 | 35.66 | 34.12 |
| | m_b g | 33.32 | 34.46 | 33.21 |
| | m_c g | 28.93 | 28.90 | 28.93 |
| w % | 21.16 | 21.59 | 21.24 | |
| 液性限界 w_L % | | 塑性限界 w_p % | | 塑性指数 I_p |
| 64.47 | | 21.33 | | 43.14 |



| 試料番号(深さ) | | SMR-5 | | |
|--------------|---------|--------------|--------|------------|
| 液性限界試験 | | | | |
| 落下回数 | | 35 | 30 | 25 |
| 含水比 | 容器 No. | 68 | 96 | 64 |
| | m_a g | 37.45 | 36.46 | 36.20 |
| | m_b g | 33.13 | 32.62 | 32.49 |
| | m_c g | 28.93 | 28.91 | 28.93 |
| w % | 102.86 | 103.45 | 104.21 | |
| 落下回数 | | 21 | 17 | 13 |
| 含水比 | 容器 No. | 635 | 914 | 201 |
| | m_a g | 36.14 | 36.72 | 36.96 |
| | m_b g | 32.49 | 32.72 | 32.77 |
| | m_c g | 29.01 | 28.94 | 28.84 |
| w % | 104.98 | 105.82 | 106.72 | |
| 塑性限界試験 | | | | |
| 含水比 | 容器 No. | 856 | 888 | 635 |
| | m_a g | 33.70 | 34.09 | 32.91 |
| | m_b g | 32.34 | 32.65 | 31.80 |
| | m_c g | 28.95 | 29.05 | 29.01 |
| w % | 40.08 | 39.96 | 39.83 | |
| 液性限界 w_L % | | 塑性限界 w_p % | | 塑性指数 I_p |
| 104.21 | | 39.96 | | 64.25 |



特記事項

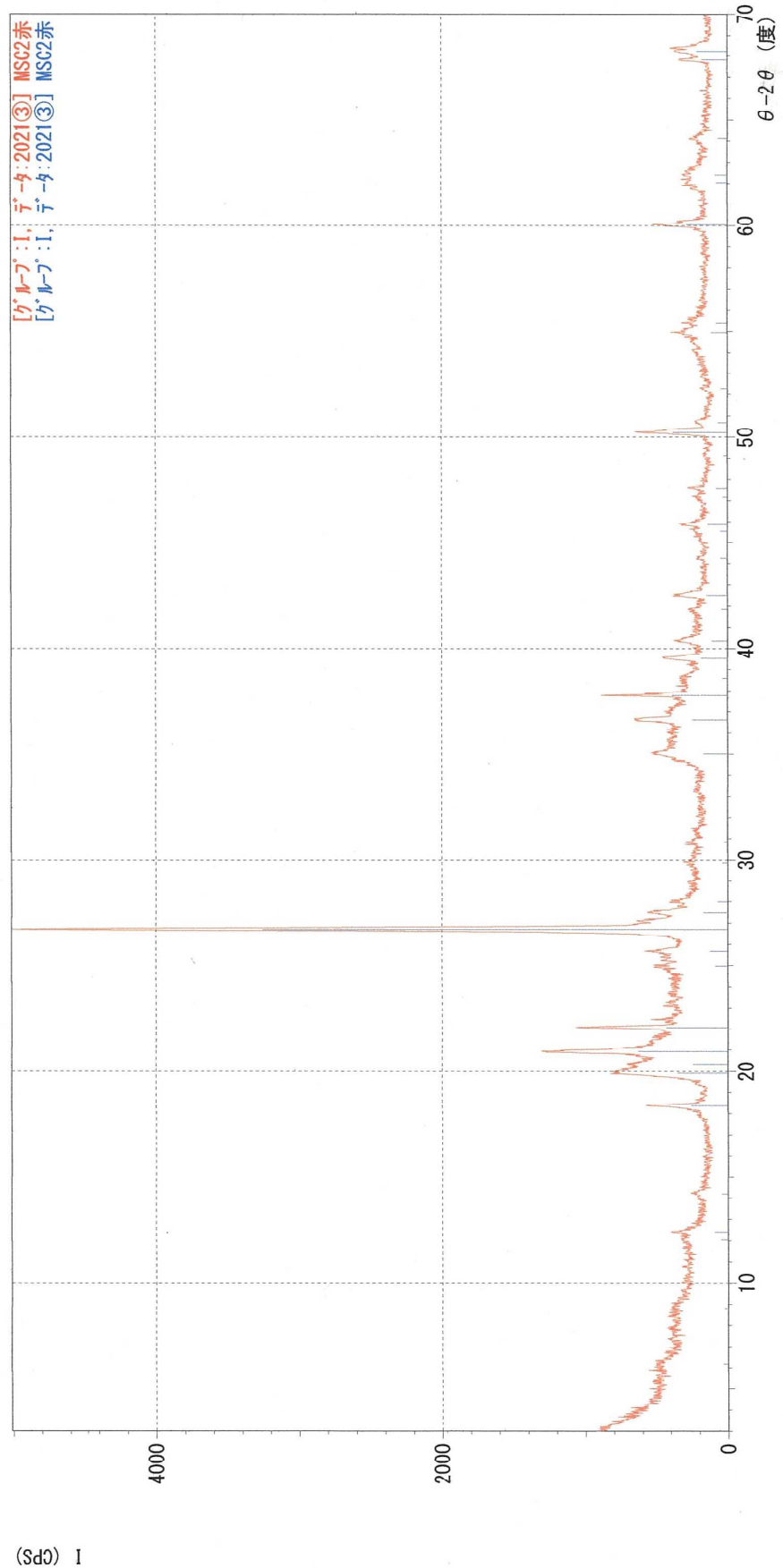
XRD 分析

MSC2-1

*** マルチプロット ***

ファイル名 : IY2021③
 サンプル名 : MSC2赤
 分析日時 : 21-02-20 13:24:28
 分析条件
 X線管球 : Cu(1.54060 Å) 管電圧 : 40.0 kV 管電流 : 30.0 mA
 測定範囲 : 3.0000 ~ 70.0000 度 ステップ幅 : 0.0200 度
 計数時間 : 0.60 秒 スリット DS : 1.00 度 SS : 1.00 度 RS : 0.30 mm

コメント :

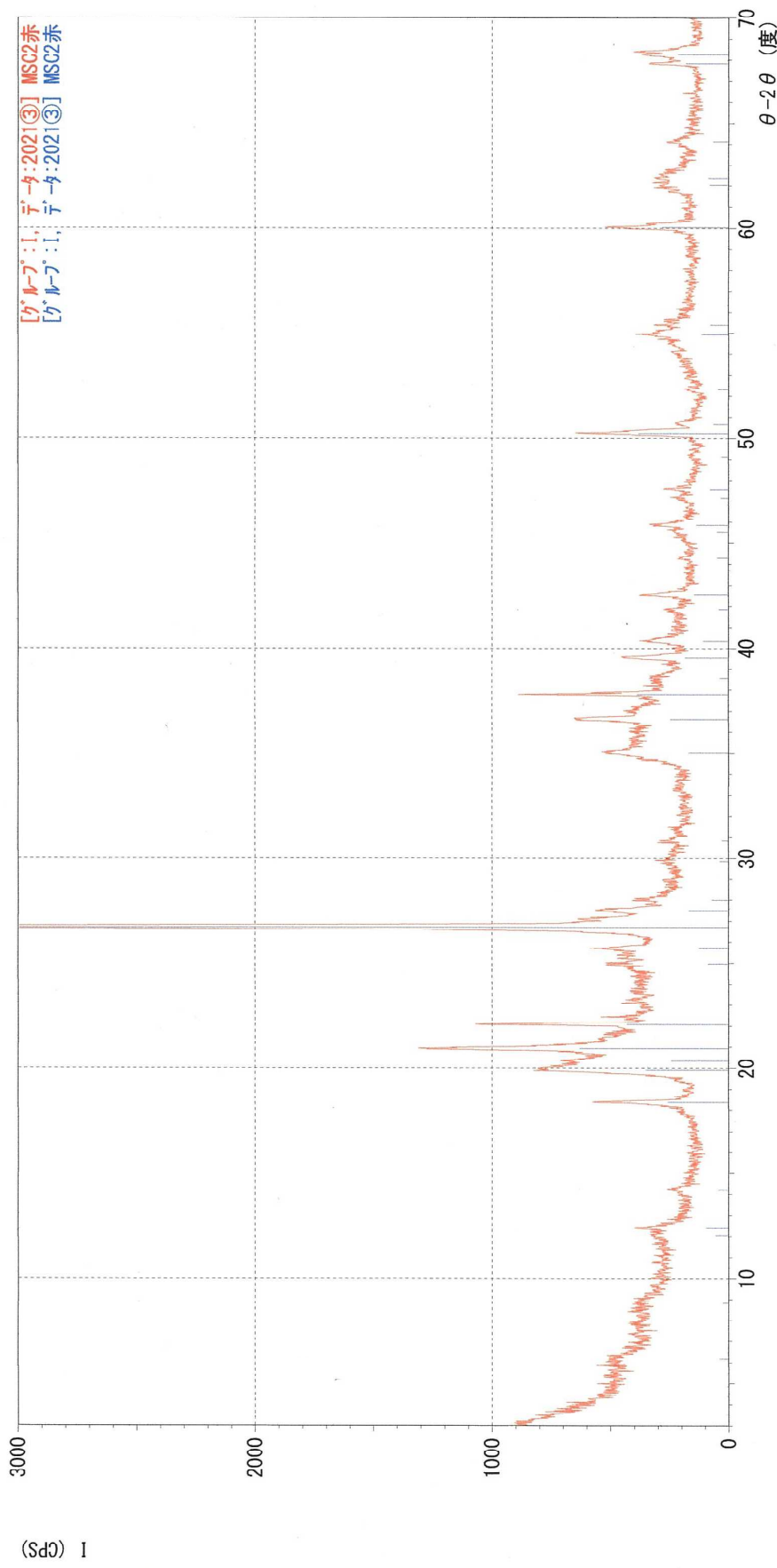


IY2021③ MSC2赤
 IY2021③ MSC2赤
 連続スキャン 2.0 度/分 0.60 秒 0.020 度 21-02-20 13:24:28
 連続スキャン 2.0 度/分 0.60 秒 0.020 度 21-02-20 13:24:28

*** マルチプロット ***

ファイル名 : IY2021③
 サンプル名 : MSC2赤
 分析日時 : 21-02-20 13:24:28
 分析条件
 X線管球 : Cu(1.54060 Å) 管電圧 : 40.0 kV 管電流 : 30.0 mA
 測定範囲 : 3.0000 ~ 70.0000 度 ステップ幅 : 0.0200 度
 計数時間 : 0.60 秒 スリット DS : 1.00 度 SS : 1.00 度 RS : 0.30 mm

コメント :

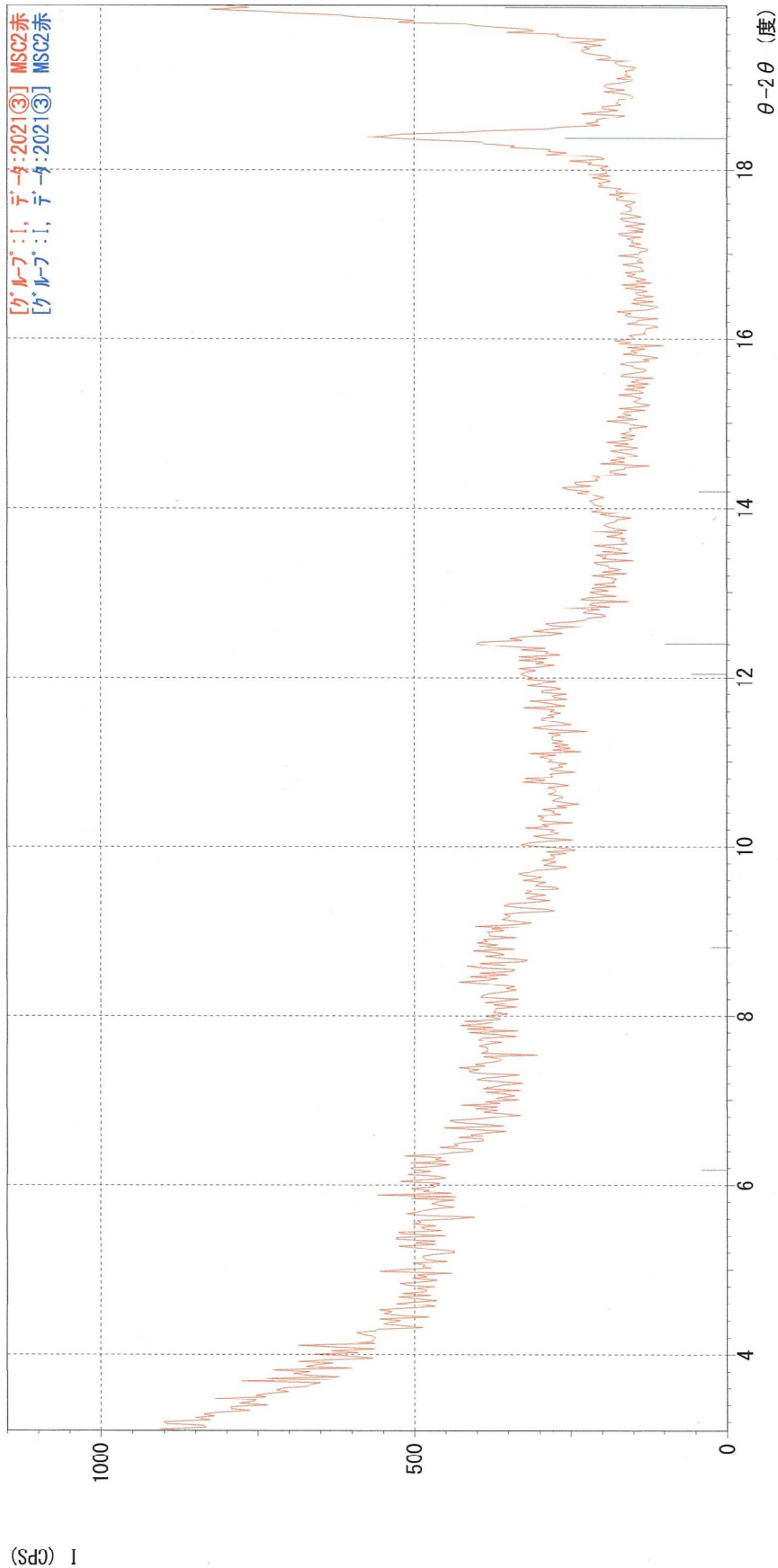


IY2021③ MSC2赤
 IY2021③ MSC2赤
 連続スキャン 2.0 度/分 0.60 秒 0.020 度 21-02-20 13:24:28
 連続スキャン 2.0 度/分 0.60 秒 0.020 度 21-02-20 13:24:28

*** マルチプロット ***

ファイル名 : IY2021③
 サンプル名 : MSC2赤
 分析日時 : 21-02-20 13:24:28
 分析条件
 X線管球 : Cu (1.54060 Å) 管電圧 : 40.0 kV 管電流 : 30.0 mA
 測定範囲 : 3.0000 ~ 70.0000 度 ステップ幅 : 0.0200 度
 計数時間 : 0.60 秒 スリット DS : 1.00 度 SS : 1.00 度 RS : 0.30 mm

コメント:



(88) 1

IY2021③ MSC2赤 連続スキャン 2.0 度/分 0.60 秒 0.020 度 21-02-20 13:24:28
 IY2021③ MSC2赤 連続スキャン 2.0 度/分 0.60 秒 0.020 度 21-02-20 13:24:28

*** 基本データ処理 ***

グループ : I
データ : 2021③

| # | 3強線 番号 | ピーク 番号 | 2θ (度) | d (Å) | I/I1 | 半価幅 (度) | 強度 (Counts) | 積分強度 (Counts) |
|---|-----------|-----------|-----------|----------|------|------------|----------------|------------------|
| 1 | 13 | | 26.7021 | 3.33583 | 100 | 0.16570 | 1956 | 16903 |
| 2 | 9 | | 20.9245 | 4.24203 | 19 | 0.20690 | 378 | 5486 |
| 3 | 10 | | 22.0687 | 4.02461 | 13 | 0.12880 | 259 | 1810 |

| # | ピーク 番号 | データ リスト | 2θ (度) | d (Å) | I/I1 | 半価幅 (度) | 強度 (Counts) | 積分強度 (Counts) |
|----|-----------|------------|-----------|----------|------|------------|----------------|------------------|
| 1 | | | 6.1800 | 14.29008 | 1 | 0.13740 | 24 | 156 |
| 2 | | | 8.8000 | 10.04053 | 1 | 0.29640 | 15 | 220 |
| 3 | | | 12.0405 | 7.34459 | 2 | 0.11420 | 34 | 180 |
| 4 | | | 12.4030 | 7.13073 | 3 | 0.17800 | 59 | 1124 |
| 5 | | | 14.2000 | 6.23213 | 1 | 0.11800 | 27 | 151 |
| 6 | | | 18.3631 | 4.82755 | 8 | 0.17500 | 156 | 2061 |
| 7 | | | 19.9000 | 4.45805 | 11 | 0.30880 | 213 | 5621 |
| 8 | | | 20.3400 | 4.36259 | 8 | 0.00000 | 147 | 0 |
| 9 | | | 20.9245 | 4.24203 | 19 | 0.20690 | 378 | 5486 |
| 10 | | | 22.0687 | 4.02461 | 13 | 0.12880 | 259 | 1810 |
| 11 | | | 24.9654 | 3.56381 | 3 | 0.11900 | 54 | 305 |
| 12 | | | 25.6831 | 3.46583 | 4 | 0.17770 | 77 | 1243 |
| 13 | | | 26.7021 | 3.33583 | 100 | 0.16570 | 1956 | 16903 |
| 14 | | | 27.4900 | 3.24199 | 5 | 0.22000 | 102 | 1595 |
| 15 | | | 27.9828 | 3.18600 | 2 | 0.12700 | 43 | 259 |
| 16 | | | 29.8400 | 2.99180 | 1 | 0.07520 | 23 | 83 |
| 17 | | | 30.8400 | 2.89703 | 1 | 0.11780 | 18 | 112 |
| 18 | | | 35.0096 | 2.56096 | 5 | 0.35420 | 102 | 3324 |
| 19 | | | 36.6208 | 2.45190 | 8 | 0.20160 | 149 | 2390 |
| 20 | | | 37.7763 | 2.37951 | 12 | 0.11630 | 233 | 1538 |
| 21 | | | 38.5740 | 2.33212 | 1 | 0.16740 | 23 | 198 |
| 22 | | | 39.5246 | 2.27819 | 6 | 0.17160 | 112 | 1150 |
| 23 | | | 40.3375 | 2.23414 | 3 | 0.22160 | 66 | 822 |
| 24 | | | 41.8600 | 2.15633 | 1 | 0.13440 | 25 | 162 |
| 25 | | | 42.5180 | 2.12447 | 5 | 0.18980 | 89 | 1045 |
| 26 | | | 44.2859 | 2.04368 | 2 | 0.11560 | 30 | 168 |
| 27 | | | 45.5400 | 1.99027 | 1 | 0.12080 | 29 | 179 |
| 28 | | | 45.8530 | 1.97741 | 4 | 0.15400 | 82 | 1052 |
| 29 | | | 47.1600 | 1.92561 | 1 | 0.34760 | 21 | 349 |
| 30 | | | 47.5468 | 1.91084 | 3 | 0.10420 | 49 | 245 |
| 31 | | | 49.1270 | 1.85301 | 1 | 0.10600 | 19 | 99 |
| 32 | | | 50.1992 | 1.81592 | 12 | 0.17310 | 230 | 2588 |
| 33 | | | 50.6800 | 1.79981 | 2 | 0.21000 | 40 | 394 |
| 34 | | | 52.2931 | 1.74803 | 1 | 0.22500 | 27 | 286 |
| 35 | | | 54.9423 | 1.66984 | 4 | 0.21260 | 70 | 1718 |
| 36 | | | 55.3833 | 1.65758 | 3 | 0.13420 | 49 | 307 |
| 37 | | | 60.0345 | 1.53980 | 9 | 0.17350 | 171 | 1753 |
| 38 | | | 62.0409 | 1.49473 | 3 | 0.14240 | 50 | 336 |
| 39 | | | 62.3824 | 1.48737 | 3 | 0.19210 | 53 | 475 |
| 40 | | | 64.1173 | 1.45124 | 2 | 0.29810 | 40 | 570 |
| 41 | | | 67.8288 | 1.38058 | 6 | 0.15960 | 110 | 952 |
| 42 | | | 68.2400 | 1.37326 | 7 | 0.22260 | 131 | 1329 |

*** 基本データ処理 ***

データ情報

グループ : I
データ : 2021③
サンプル名 : MSC2赤
コメント :
日付 & 時刻 : 21-02-20 13:24:28

測定条件

X線

ターゲット : Cu
管電圧 : 40.0 (kV)
管電流 : 30.0 (mA)

スリット

Auto Slit : not Used
ダイバージェンス : 1.00 (度)
スキャタリング : 1.00 (度)
レシービング : 0.30 (mm)

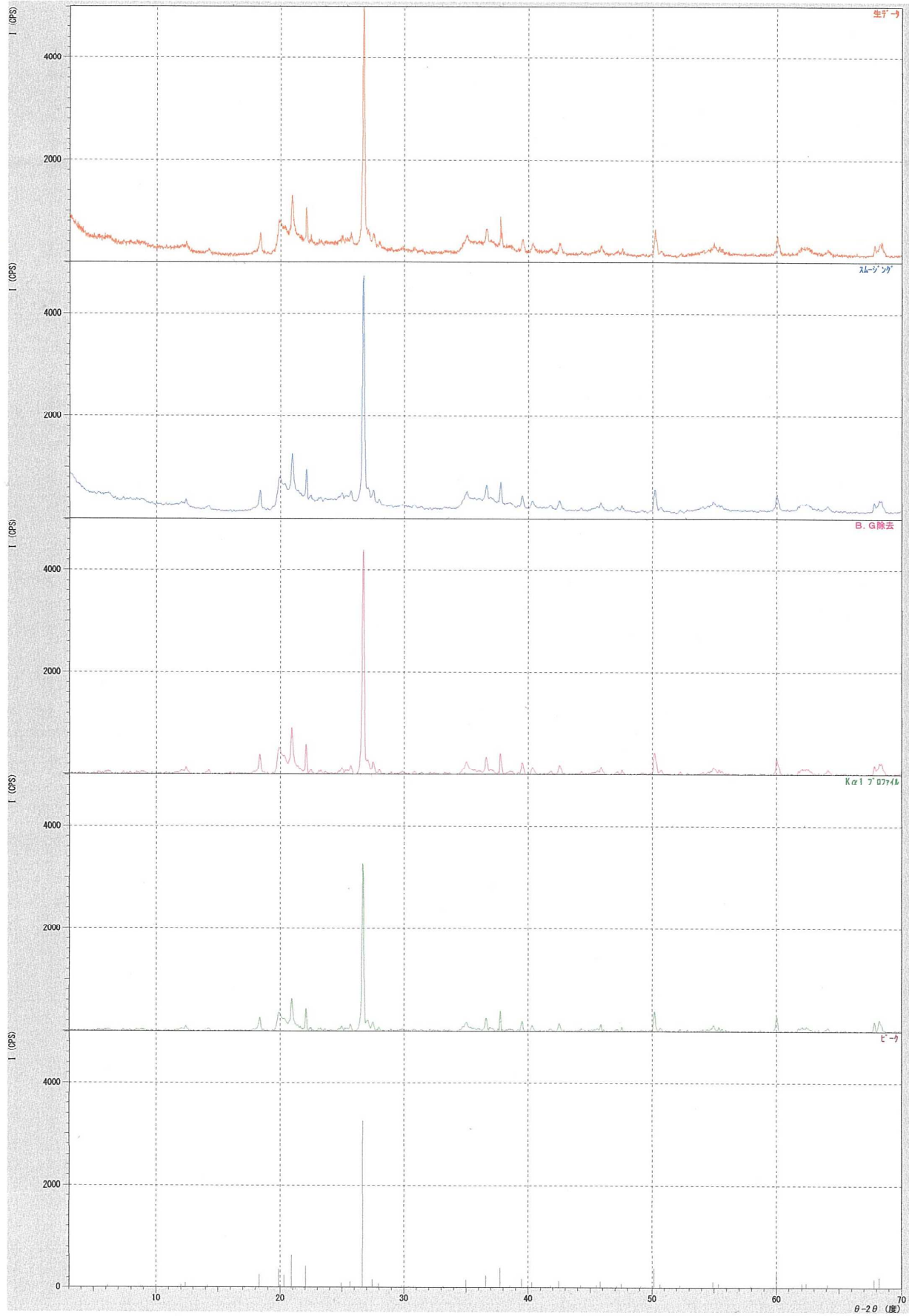
走査

駆動軸 : $\theta - 2\theta$
範囲 : 3.0200 - 70.0000 (度)
モード : 連続 スキャン
速度 : 2.0000 (度/分)
ステップ : 0.0200 (度)
計数時間 : 0.60 (秒)

データ処理条件

スムージング : [自動]
平滑化点数 : 11
バックグラウンド除去 : [自動]
サンプリング間隔 : 11
繰り返し回数 : 30
Ka1-a2 分離 : [手動]
Ka1-a2 比 : 50 (%)
ピークサーチ : [自動]
微分点数 : 11
半価幅しきい値 : 0.0500 (度)
強度しきい値 : 30 (par mil)
半価幅比 (n-1)/n : 2
系統誤差補正 : [NO]
内/外標準法補正 : [NO]

< グループ : I テーマ : 2021③ >

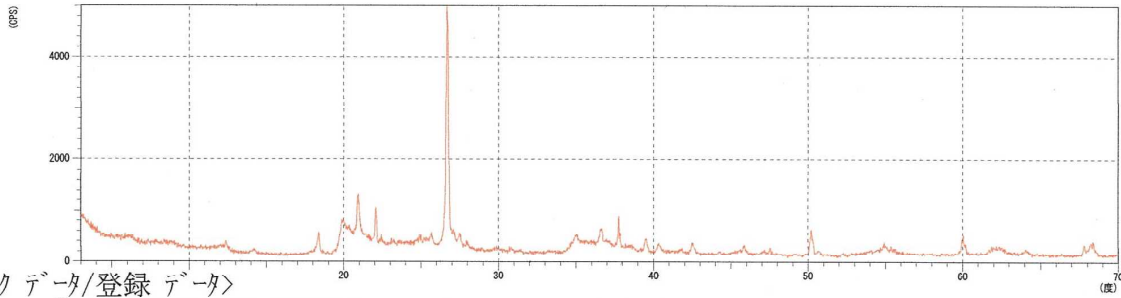


検索結果

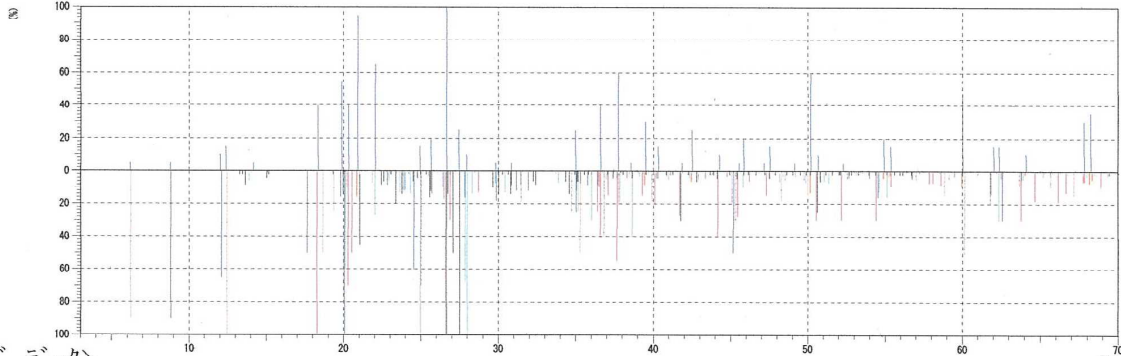
<未知データ>

グループ : I
データ : 2021③
ファイル : 2021③.PKR
サンプル : MSC2赤
コメント :
日付 & 時刻 : 21-02-20 13:24:28

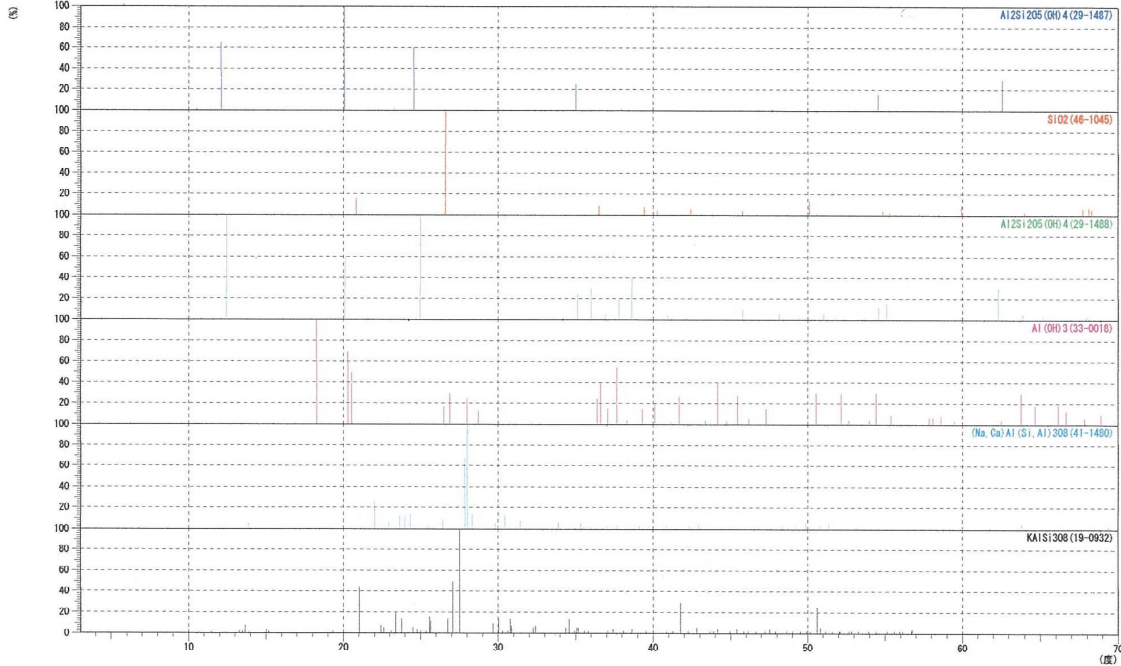
<プロフィール>

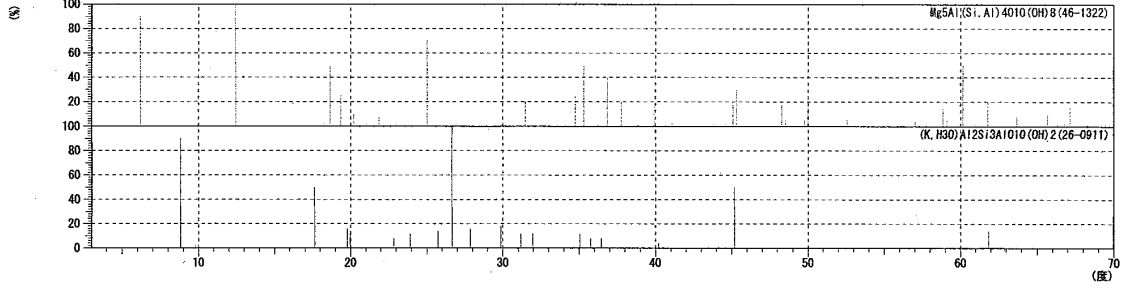


<ピークデータ/登録データ>



<カードデータ>





***** 検索結果 *****

グループ : I
 テーマ : 2021③
 ファイル : 2021③.PKR
 サンプル : MSC2赤
 コメント :

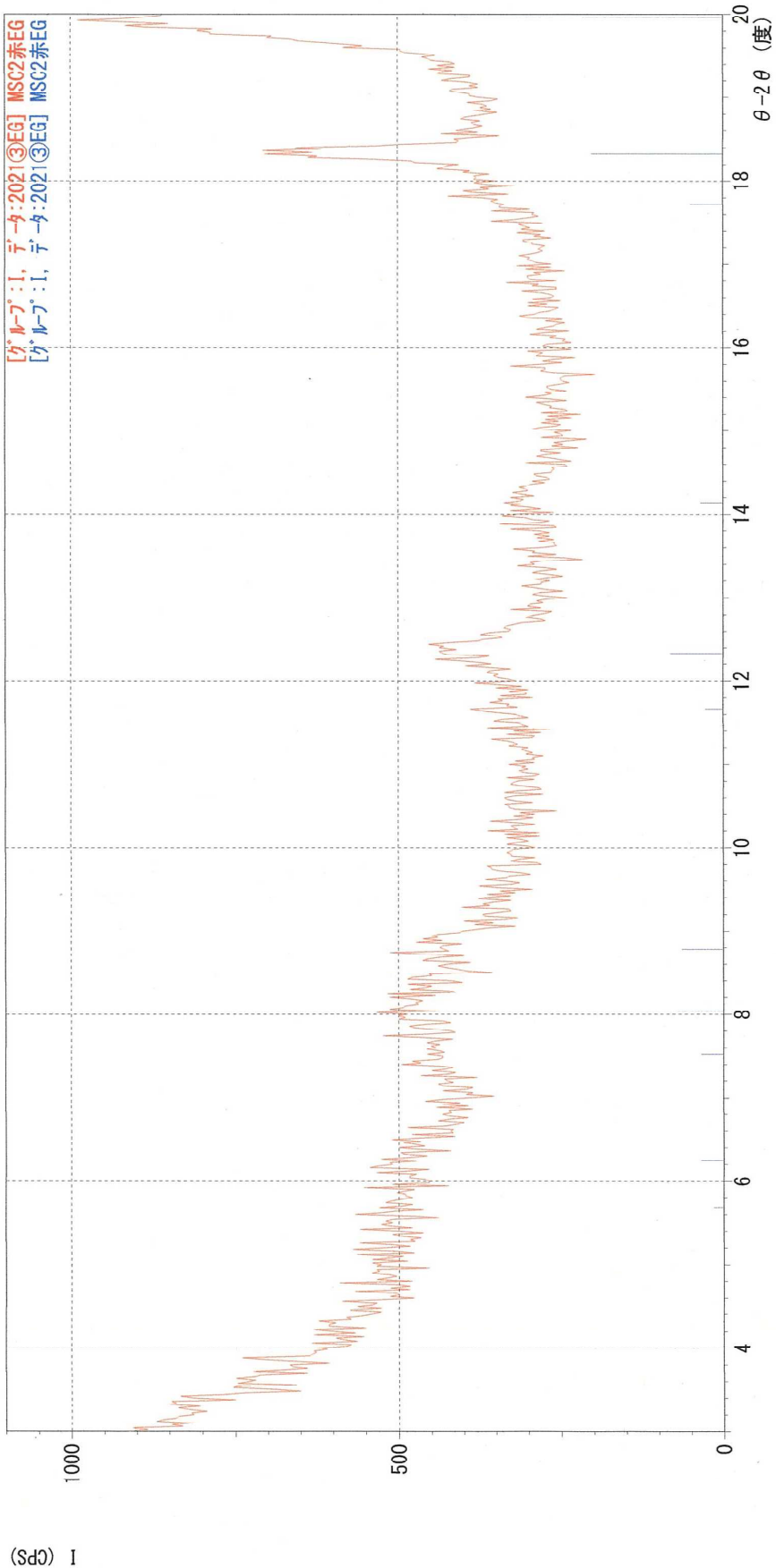
<登録カード>

| 番号 | カード | 化学式 化合物名 (鉱物名) | S | L | d | I | R |
|----|---------|--|-------|---------------|-------|-------|-------|
| | | | 密度 | | WT% | 空間群 | |
| 1 | 29-1487 | Al ₂ Si ₂ O ₅ (OH) ₄ Aluminum Silicate Hydroxide (Halloysite-7 | 0.461 | 1.000 (7/ 7) | 0.597 | 0.448 | 0.268 |
| | | | | 2.62 | | P | |
| 2 | 46-1045 | SiO ₂ Silicon Oxide (Quartz, syn) | 1.000 | 0.833 (15/58) | 0.868 | 0.344 | 0.249 |
| | | | | 2.65 | | P3221 | |
| 3 | 29-1488 | Al ₂ Si ₂ O ₅ (OH) ₄ Aluminum Silicate Hydroxide (Kaolinite-1¥ | 0.468 | 0.737 (14/21) | 0.723 | 0.273 | 0.145 |
| | | | | 2.60 | | A*/* | |
| 4 | 33-0018 | Al(OH) ₃ Aluminum Hydroxide (Gibbsite, syn) | 0.545 | 0.455 (20/56) | 0.729 | 0.428 | 0.142 |
| | | | | 2.44 | | P21/n | |
| 5 | 41-1480 | (Na, Ca)Al(Si, Al) ₃ O ₈ Sodium Calcium Aluminum Silicate (Albite, | 0.515 | 0.413 (26/71) | 0.678 | 0.091 | 0.025 |
| | | | | 2.64 | | P-1 | |
| 6 | 19-0932 | KAlSi ₃ O ₈ Potassium Aluminum Silicate (Microcline, | 0.579 | 0.329 (26/79) | 0.750 | 0.164 | 0.041 |
| | | | | 2.57 | | P-1 | |
| 7 | 46-1322 | Mg ₅ Al(Si, Al) ₄ O ₁₀ (OH) ₈ Magnesium Aluminum Silicate Hydroxide (Cl | 0.526 | 0.287 (23/84) | 0.614 | 0.221 | 0.039 |
| | | | | 2.65 | | P1 | |
| 8 | 26-0911 | (K, H ₃ O)Al ₂ Si ₃ AlO ₁₀ (OH) ₂ Potassium Aluminum Silicate Hydroxide (Il | 0.557 | 0.667 (12/18) | 0.736 | 0.324 | 0.159 |
| | | | | 2.82 | | A2/a | |

*** マルチプロット ***

ファイル名 : IY2021③EG
 サンプル名 : MSC2赤EG
 分析日時 : 21-02-20 14:03:54
 分析条件
 X線管球 : Cu(1.54060 Å) 管電圧 : 40.0 kV 管電流 : 30.0 mA
 測定範囲 : 3.0000 ~ 20.0000 度 ステップ幅 : 0.0200 度
 計数時間 : 0.60 秒 スリット DS : 1.00 度 SS : 1.00 度 RS : 0.30 mm

コメント :



IY2021③EG
 IY2021③EG
 MSC2赤EG
 MSC2赤EG
 連続スキャン 2.0 度/分 0.60 秒 0.020 度 21-02-20 14:03:54
 連続スキャン 2.0 度/分 0.60 秒 0.020 度 21-02-20 14:03:54

*** 基本データ処理 ***

グループ : I
データ : 2021③EG

| # 3 強線 | | 2θ | d | I/I1 | 半価幅 | 強度 | 積分強度 |
|--------|-------|---------|---------|------|---------|----------|----------|
| 番号 | ピーク番号 | (度) | (Å) | | (度) | (Counts) | (Counts) |
| 1 | 11 | 19.9600 | 4.44478 | 100 | 0.69600 | 250 | 6173 |
| 2 | 10 | 18.3228 | 4.83808 | 49 | 0.41440 | 122 | 3190 |
| 3 | 7 | 12.3335 | 7.17076 | 20 | 0.48710 | 49 | 1224 |

| # ピークデータリスト | | 2θ | d | I/I1 | 半価幅 | 強度 | 積分強度 |
|-------------|-------|---------|----------|------|---------|----------|----------|
| 番号 | ピーク番号 | (度) | (Å) | | (度) | (Counts) | (Counts) |
| 1 | | 5.6833 | 15.53782 | 4 | 0.36670 | 10 | 201 |
| 2 | | 6.2450 | 14.14149 | 8 | 0.39000 | 21 | 445 |
| 3 | | 7.5200 | 11.74645 | 8 | 0.52800 | 21 | 492 |
| 4 | | 8.0400 | 10.98785 | 17 | 0.66000 | 43 | 1258 |
| 5 | | 8.7800 | 10.06336 | 16 | 0.40000 | 39 | 891 |
| 6 | | 11.6600 | 7.58339 | 7 | 0.30000 | 17 | 329 |
| 7 | | 12.3335 | 7.17076 | 20 | 0.48710 | 49 | 1224 |
| 8 | | 14.1400 | 6.25844 | 8 | 0.46000 | 21 | 504 |
| 9 | | 17.7200 | 5.00128 | 12 | 0.32000 | 31 | 768 |
| 10 | | 18.3228 | 4.83808 | 49 | 0.41440 | 122 | 3190 |
| 11 | | 19.9600 | 4.44478 | 100 | 0.69600 | 250 | 6173 |

*** 基本データ処理 ***

データ情報

グループ : I
データ : 2021③EG
サンプル名 : MSC2赤EG
コメント :
日付 & 時刻 : 21-02-20 14:03:54

測定条件

X線

ターゲット : Cu
管電圧 : 40.0 (kV)
管電流 : 30.0 (mA)

スリット

Auto Slit : not Used
ダイバージェンス : 1.00 (度)
スキャタリング : 1.00 (度)
レシービング : 0.30 (mm)

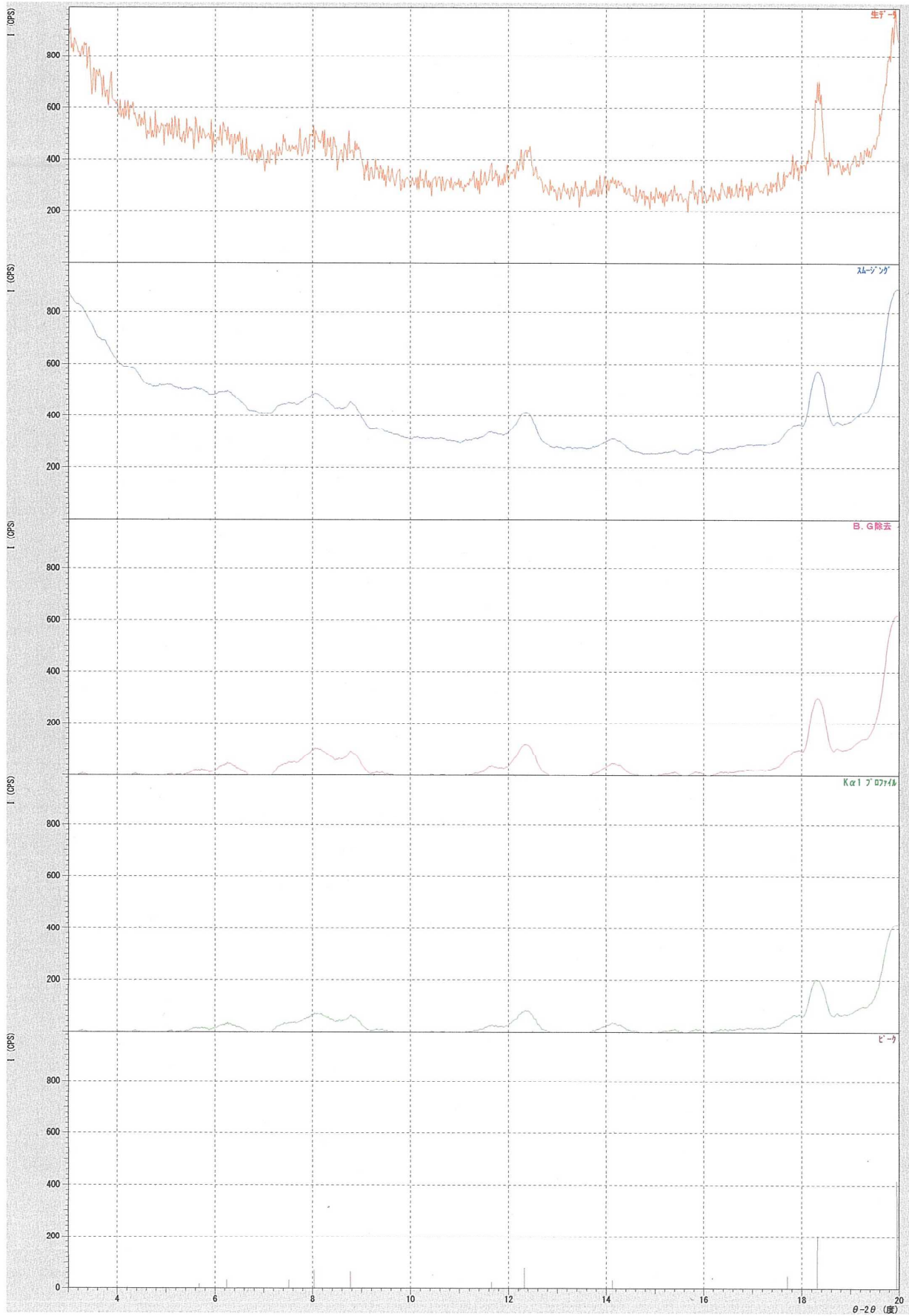
走査

駆動軸 : $\theta - 2\theta$
範囲 : 3.0200 - 20.0000 (度)
モード : 連続 スキャン
速度 : 2.0000 (度/分)
ステップ : 0.0200 (度)
計数時間 : 0.60 (秒)

データ処理条件

スムージング : [自動]
平滑化点数 : 29
バックグラウンド除去 : [自動]
サンプル間隔 : 37
繰り返し回数 : 30
Ka1-a2 分離 : [手動]
Ka1-a2 比 : 50 (%)
ピークサーチ : [自動]
微分点数 : 37
半価幅しきい値 : 0.0500 (度)
強度しきい値 : 30 (par mil)
半価幅比 (n-1)/n : 2
系統誤差補正 : [NO]
内/外標準法補正 : [NO]

< グループ : I データ : 2021③EG >



XRD 分析

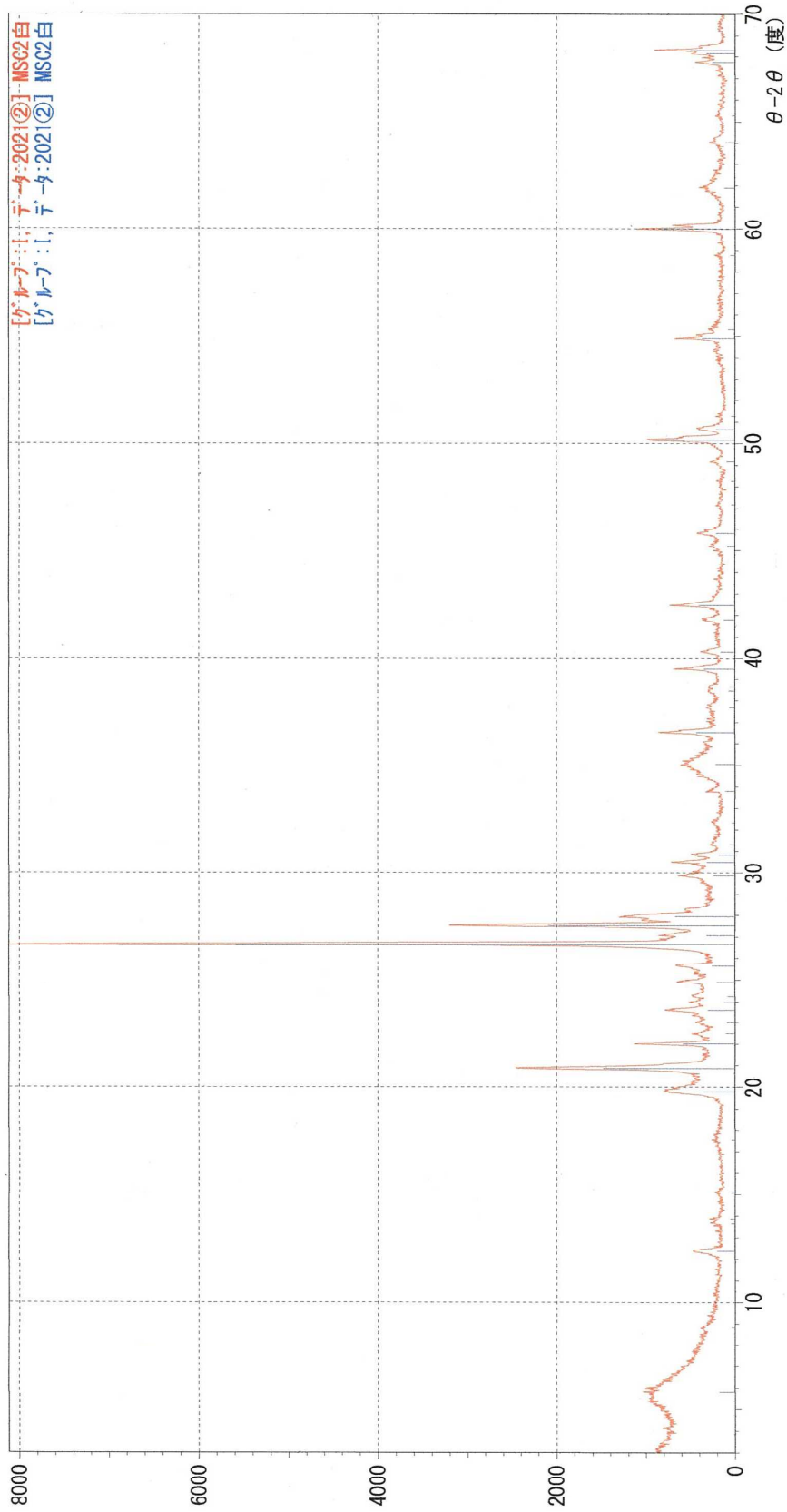
MSC2-2

*** マルチプロット ***

ファイル名 : IY2021②
サンプル名 : MSC2白
分析日時 : 21-02-20 12:35:55

コメント :

分析条件
X線管球 : Cu (1.54060 Å) 管電圧 : 40.0 kV 管電流 : 30.0 mA
測定範囲 : 3.0000 ~ 70.0000 度 ステップ幅 : 0.0200 度
計数時間 : 0.60 秒 スリット DS : 1.00 度 SS : 1.00 度 RS : 0.30 mm



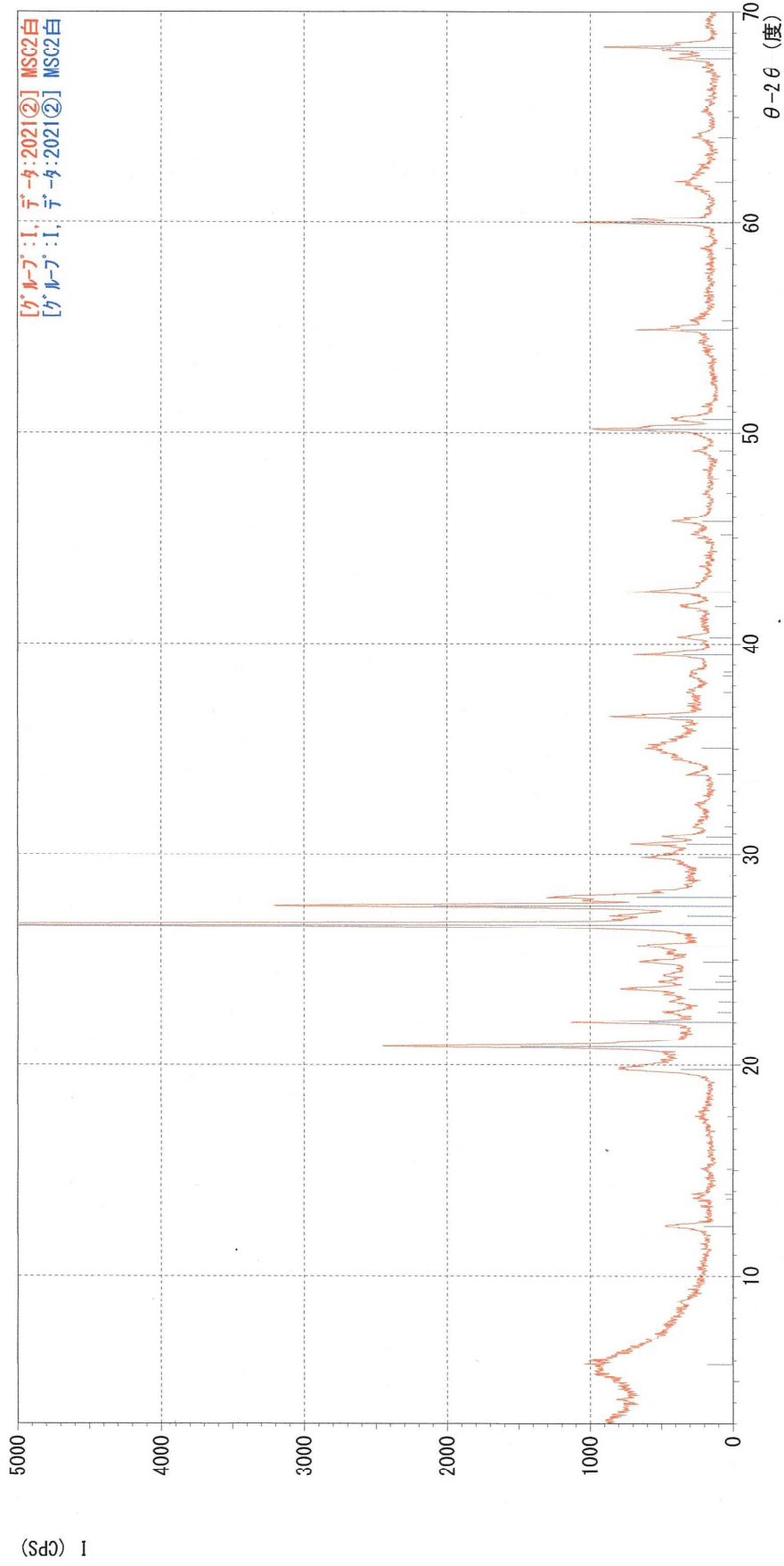
(S) 1

IY2021② MSC2白
IY2021② MSC2白
連続スキャン 2.0 度/分 0.60 秒 0.020 度 21-02-20 12:35:55
連続スキャン 2.0 度/分 0.60 秒 0.020 度 21-02-20 12:35:55

*** マルチプロット ***

ファイル名 : IY2021②
サンプル名 : MSC2白
分析日時 : 21-02-20 12:35:55
分析条件
X線管球 : Cu(1.54060 Å) 管電圧 : 40.0 kV 管電流 : 30.0 mA
測定範囲 : 3.0000 ~ 70.0000 度 スリット幅 : 0.0200 度
計数時間 : 0.60 秒 DS : 1.00 度 SS : 1.00 度 RS : 0.30 mm

コメント :



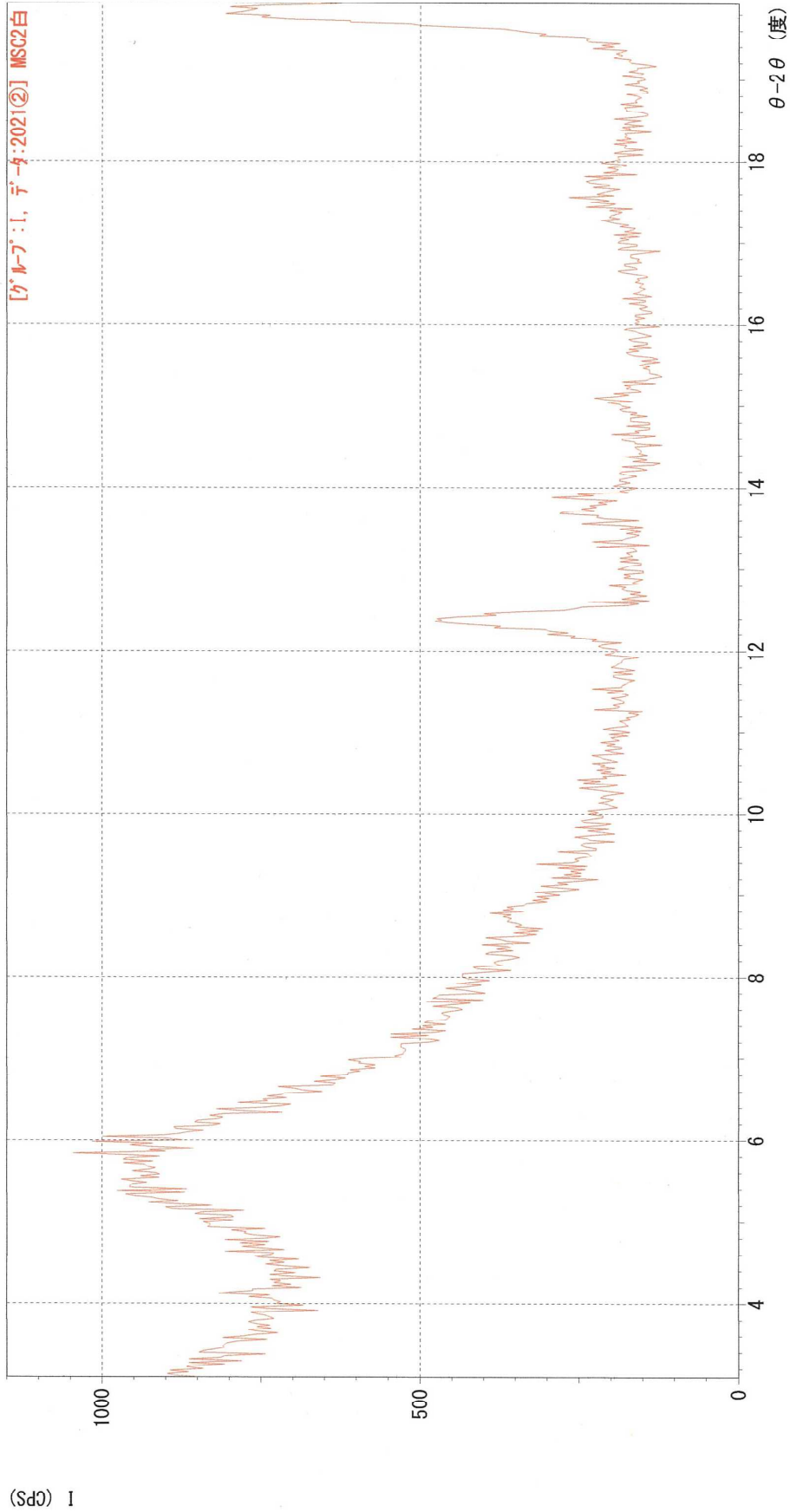
IY2021②
IY2021②

MSC2白
MSC2白

連続スキャン 2.0 度/分 0.60 秒 0.020 度 21-02-20 12:35:55
連続スキャン 2.0 度/分 0.60 秒 0.020 度 21-02-20 12:35:55

*** マルチプロット ***

ファイル名 : IY2021②
サンプル名 : MSC2白
分析日時 : 21-02-20 12:35:55
分析条件
X線管球 : Cu(1.54060 Å) 管電圧 : 40.0 kV 管電流 : 30.0 mA
測定範囲 : 3.0000 ~ 70.0000 度 ステップ幅 : 0.0200 度
計数時間 : 0.60 秒 スリット DS : 1.00 度 SS : 1.00 度 RS : 0.30 mm



*** 基本データ処理 ***

グループ : I
データ : 2021②

| # | 3 強線 番号 | ピーク 番号 | 2θ (度) | d (Å) | I/I1 | 半価幅 (度) | 強度 (Counts) | 積分強度 (Counts) |
|---|------------|-----------|-----------|----------|------|------------|----------------|------------------|
| 1 | 18 | | 26.6507 | 3.34215 | 100 | 0.13490 | 3357 | 24195 |
| 2 | 20 | | 27.5389 | 3.23634 | 37 | 0.13990 | 1258 | 9597 |
| 3 | 9 | | 20.8747 | 4.25204 | 27 | 0.14750 | 893 | 7110 |

| # | ピーク 番号 | データ リスト ピーク 番号 | 2θ (度) | d (Å) | I/I1 | 半価幅 (度) | 強度 (Counts) | 積分強度 (Counts) |
|----|-----------|-------------------------|-----------|----------|------|------------|----------------|------------------|
| 1 | | 1 | 5.8200 | 15.17317 | 3 | 1.27420 | 108 | 4273 |
| 2 | | 2 | 8.8109 | 10.02814 | 1 | 0.12810 | 24 | 150 |
| 3 | | 3 | 12.3644 | 7.15291 | 4 | 0.22490 | 123 | 1684 |
| 4 | | 4 | 13.6600 | 6.47725 | 1 | 0.08340 | 30 | 114 |
| 5 | | 5 | 13.8719 | 6.37878 | 1 | 0.12180 | 36 | 205 |
| 6 | | 6 | 15.0718 | 5.87354 | 1 | 0.10410 | 25 | 123 |
| 7 | | 7 | 17.5507 | 5.04914 | 1 | 0.12030 | 23 | 131 |
| 8 | | 8 | 19.7800 | 4.48482 | 7 | 0.25260 | 219 | 2419 |
| 9 | | 9 | 20.8747 | 4.25204 | 27 | 0.14750 | 893 | 7110 |
| 10 | | 10 | 22.0054 | 4.03604 | 11 | 0.12990 | 353 | 2569 |
| 11 | | 11 | 22.4962 | 3.94909 | 2 | 0.11520 | 64 | 353 |
| 12 | | 12 | 23.0228 | 3.85994 | 2 | 0.11440 | 58 | 313 |
| 13 | | 13 | 23.5792 | 3.77010 | 6 | 0.15540 | 186 | 2396 |
| 14 | | 14 | 23.9588 | 3.71122 | 2 | 0.11700 | 75 | 417 |
| 15 | | 15 | 24.2200 | 3.67178 | 2 | 0.08720 | 57 | 231 |
| 16 | | 16 | 24.9007 | 3.57293 | 4 | 0.17090 | 126 | 1402 |
| 17 | | 17 | 25.6219 | 3.47397 | 5 | 0.21720 | 157 | 2203 |
| 18 | | 18 | 26.6507 | 3.34215 | 100 | 0.13490 | 3357 | 24195 |
| 19 | | 19 | 27.0800 | 3.29013 | 6 | 0.20000 | 191 | 2193 |
| 20 | | 20 | 27.5389 | 3.23634 | 37 | 0.13990 | 1258 | 9597 |
| 21 | | 21 | 27.9400 | 3.19079 | 12 | 0.20000 | 402 | 3477 |
| 22 | | 22 | 29.8518 | 2.99065 | 4 | 0.17420 | 144 | 2359 |
| 23 | | 23 | 30.4873 | 2.92971 | 6 | 0.13170 | 193 | 1749 |
| 24 | | 24 | 30.8213 | 2.89875 | 3 | 0.15740 | 112 | 978 |
| 25 | | 25 | 31.3142 | 2.85424 | 1 | 0.09030 | 37 | 158 |
| 26 | | 26 | 32.3200 | 2.76767 | 1 | 0.12960 | 24 | 150 |
| 27 | | 27 | 33.8120 | 2.64888 | 2 | 0.09350 | 67 | 300 |
| 28 | | 28 | 35.0400 | 2.55881 | 4 | 0.58860 | 130 | 3744 |
| 29 | | 29 | 36.5513 | 2.45640 | 8 | 0.13530 | 264 | 2055 |
| 30 | | 30 | 37.6840 | 2.38513 | 1 | 0.12450 | 39 | 228 |
| 31 | | 31 | 38.4800 | 2.33760 | 1 | 0.15720 | 42 | 326 |
| 32 | | 32 | 38.6600 | 2.32713 | 1 | 0.09200 | 38 | 164 |
| 33 | | 33 | 39.4815 | 2.28058 | 6 | 0.13490 | 209 | 1895 |
| 34 | | 34 | 40.2908 | 2.23662 | 3 | 0.13020 | 98 | 603 |
| 35 | | 35 | 41.7914 | 2.15971 | 2 | 0.20080 | 75 | 714 |
| 36 | | 36 | 42.4619 | 2.12715 | 7 | 0.13580 | 247 | 2202 |
| 37 | | 37 | 45.2074 | 2.00414 | 2 | 0.13940 | 52 | 345 |
| 38 | | 38 | 45.8000 | 1.97957 | 4 | 0.14660 | 128 | 1422 |
| 39 | | 39 | 47.1614 | 1.92556 | 1 | 0.09790 | 26 | 123 |
| 40 | | 40 | 48.2340 | 1.88521 | 1 | 0.10950 | 26 | 139 |
| 41 | | 41 | 49.1744 | 1.85134 | 2 | 0.12390 | 59 | 344 |
| 42 | | 42 | 50.1526 | 1.81750 | 13 | 0.14170 | 425 | 3704 |
| 43 | | 43 | 50.6647 | 1.80032 | 4 | 0.23050 | 130 | 1606 |
| 44 | | 44 | 51.2822 | 1.78008 | 1 | 0.10790 | 27 | 136 |
| 45 | | 45 | 54.9080 | 1.67080 | 7 | 0.13140 | 221 | 1979 |
| 46 | | 46 | 55.3466 | 1.65859 | 1 | 0.12470 | 49 | 288 |
| 47 | | 47 | 58.7693 | 1.56989 | 1 | 0.17500 | 32 | 273 |
| 48 | | 48 | 59.9874 | 1.54089 | 15 | 0.12810 | 495 | 3825 |
| 49 | | 49 | 61.8990 | 1.49782 | 2 | 0.25310 | 75 | 918 |
| 50 | | 50 | 64.0421 | 1.45276 | 2 | 0.15610 | 63 | 465 |
| 51 | | 51 | 65.2600 | 1.42857 | 1 | 0.12460 | 22 | 132 |
| 52 | | 52 | 67.7549 | 1.38191 | 5 | 0.14680 | 158 | 1300 |
| 53 | | 53 | 68.1600 | 1.37468 | 6 | 0.17060 | 193 | 1650 |
| 54 | | 54 | 68.3200 | 1.37185 | 9 | 0.14440 | 303 | 2218 |

*** 基本データ処理 ***

データ情報

グループ : I
データ : 2021②
サンプル名 : MSC2白
コメント :
日付 & 時刻 : 21-02-20 12:35:55

測定条件

X線

ターゲット : Cu
管電圧 : 40.0 (kV)
管電流 : 30.0 (mA)

スリット

Auto Slit : not Used
ダイバージェンス : 1.00 (度)
スキャタリング : 1.00 (度)
レシービング : 0.30 (mm)

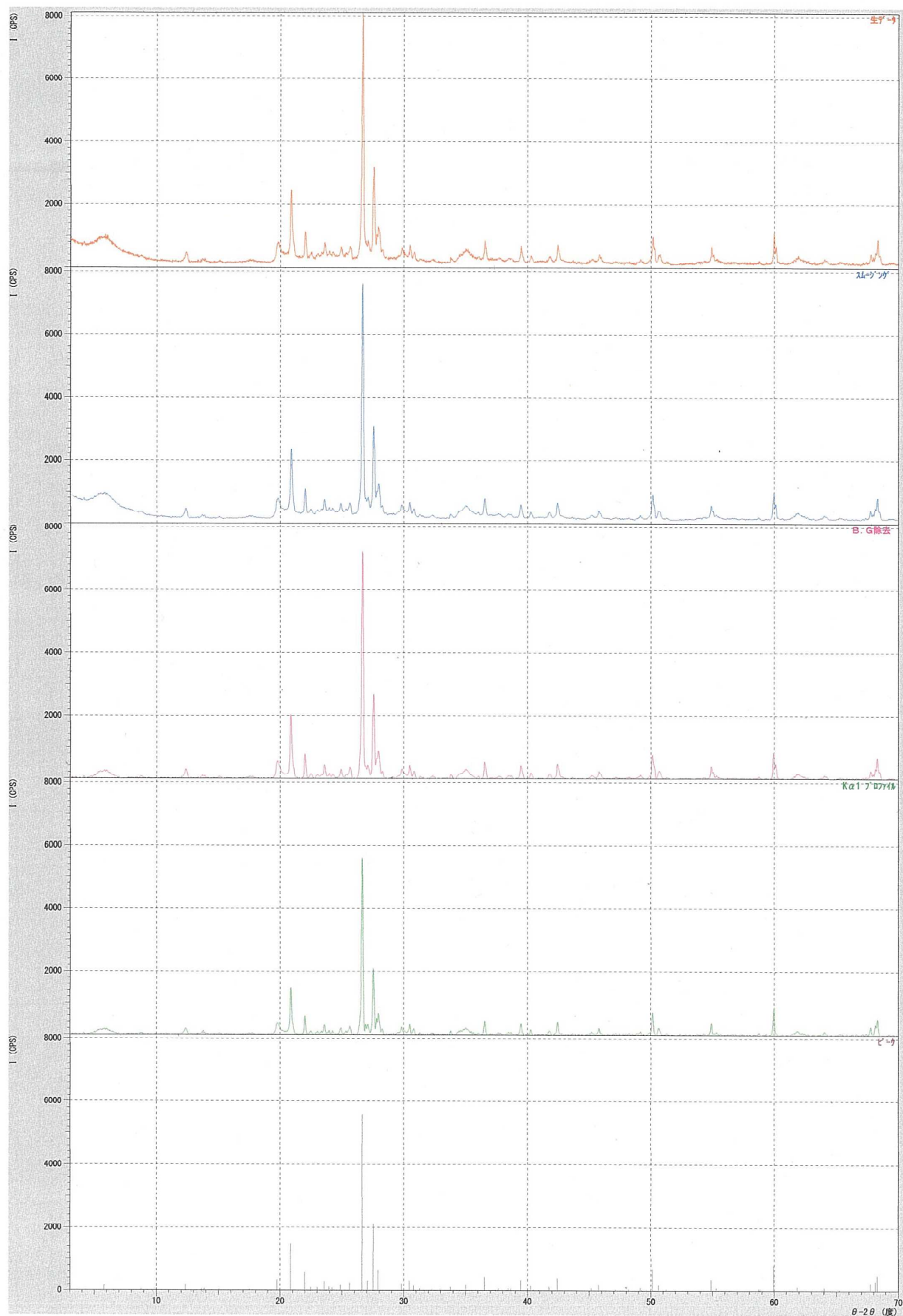
走査

駆動軸 : $\theta - 2\theta$
範囲 : 3.0200 - 70.0000 (度)
モード : 連続 スキャン
速度 : 2.0000 (度/分)
ステップ : 0.0200 (度)
計数時間 : 0.60 (秒)

データ処理条件

スムージング : [自動]
平滑化点数 : 9
バックグラウンド除去 : [自動]
サンプル間隔 : 9
繰り返し回数 : 30
Ka1-a2 分離 : [手動]
Ka1-a2 比 : 50 (%)
ピークサーチ : [自動]
微分点数 : 7
半価幅しきい値 : 0.0500 (度)
強度しきい値 : 30 (par mil)
半価幅比 (n-1)/n : 2
系統誤差補正 : [NO]
内/外標準法補正 : [NO]

< グループ : I データ : 2021② >

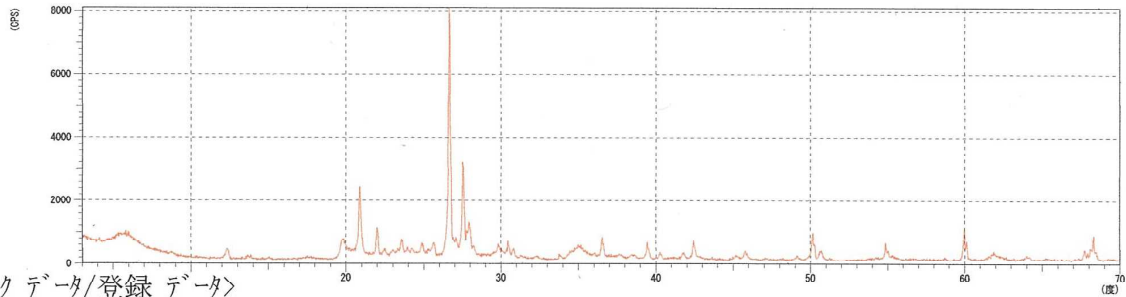


***** 検索結果 *****

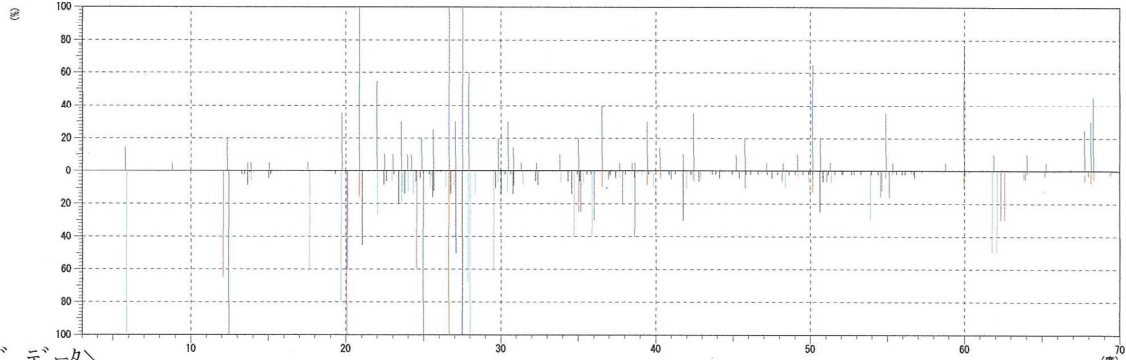
<未知データ>

グループ : I
データ : 2021②
ファイル : 2021②.PKR
サンプル : MSC2白
コメント :
日付 & 時刻 : 21-02-20 12:35:55

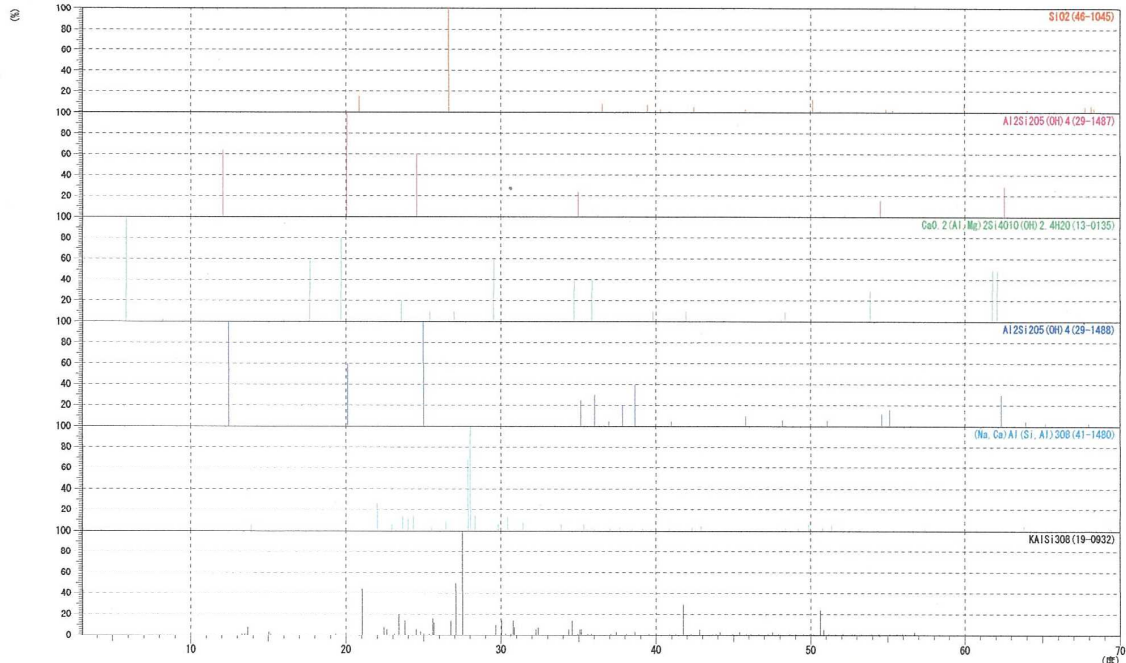
<プロフィール>



<ピークデータ/登録データ>



<カードデータ>



***** 検索結果 *****

グループ : I
 データ : 2021②
 ファイル : 2021②.PKR
 サンプル : MSC2白
 コメント :

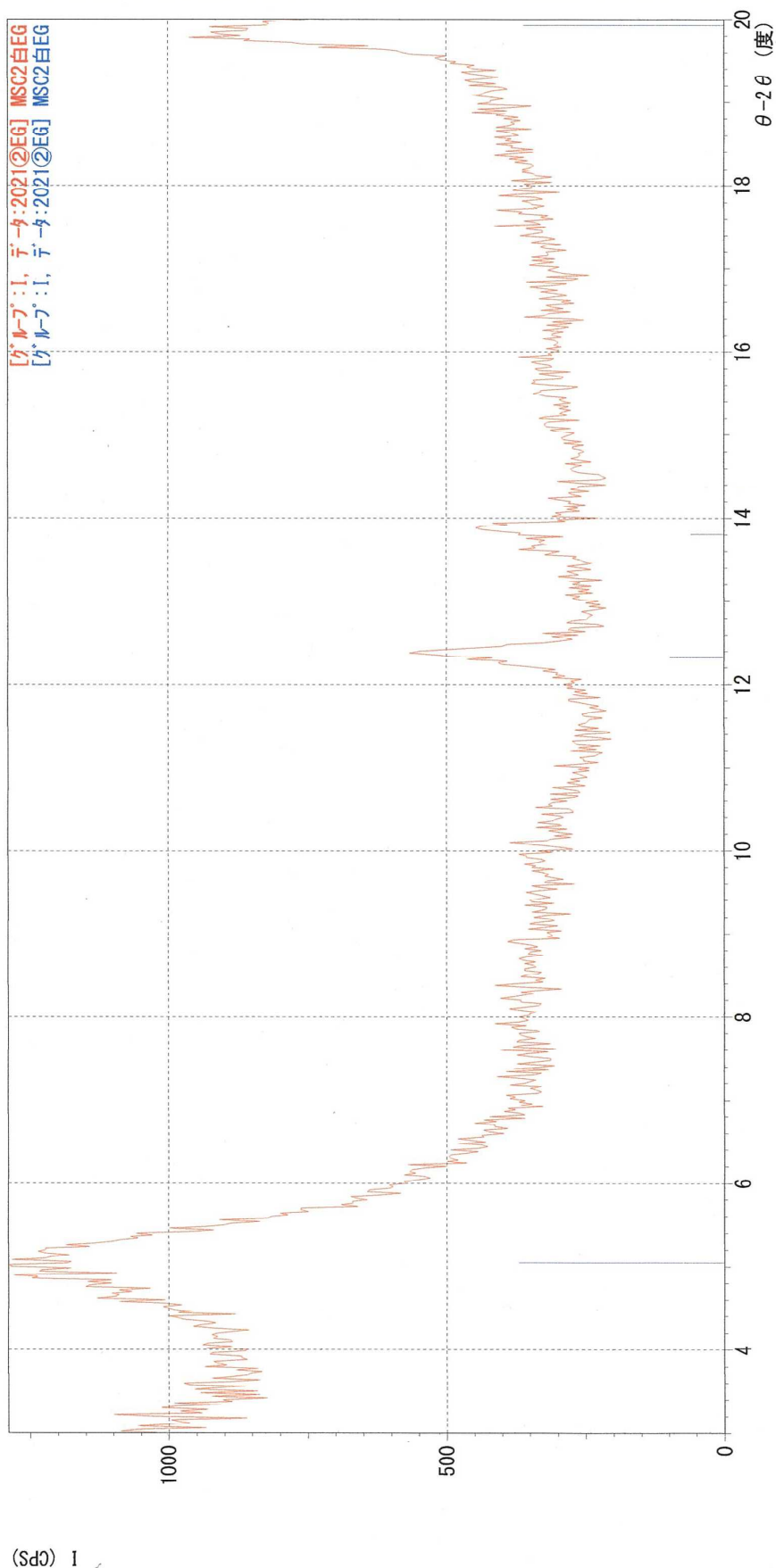
<登録カード>

| 番号 | カード | 化学式 化合物名 (鉱物名) | S | L | d | I | R |
|----|---------|--|-------|--------------|-------|-------|-------|
| | | | 密度 | | WT% | 空間群 | |
| 1 | 46-1045 | SiO ₂ Silicon Oxide (Quartz, syn) | 1.000 | 0.889(16/58) | 0.969 | 0.302 | 0.260 |
| | | | | 2.65 | | P3221 | |
| 2 | 29-1487 | Al ₂ Si ₂ O ₅ (OH) ₄ Aluminum Silicate Hydroxide (Halloysite-7 | 0.419 | 0.857(6/ 7) | 0.500 | 0.600 | 0.257 |
| | | | | 2.62 | | P | |
| 3 | 13-0135 | Ca _{0.2} (Al, Mg) ₂ Si ₄ O ₁₀ (OH) ₂ ·4H ₂ O Calcium Magnesium Aluminum Silicate Hydrox | 0.370 | 0.800(12/17) | 0.674 | 0.422 | 0.227 |
| | | | | 2.10 | | P | |
| 4 | 29-1488 | Al ₂ Si ₂ O ₅ (OH) ₄ Aluminum Silicate Hydroxide (Kaolinite-1¥ | 0.394 | 0.842(16/21) | 0.677 | 0.294 | 0.168 |
| | | | | 2.60 | | A*/* | |
| 5 | 41-1480 | (Na, Ca)Al(Si, Al) ₃ O ₈ Sodium Calcium Aluminum Silicate (Albite, | 0.922 | 0.603(38/71) | 0.795 | 0.263 | 0.126 |
| | | | | 2.64 | | P-1 | |
| 6 | 19-0932 | KAlSi ₃ O ₈ Potassium Aluminum Silicate (Microcline, | 0.871 | 0.443(35/79) | 0.740 | 0.365 | 0.120 |
| | | | | 2.57 | | P-1 | |

*** マルチプロット ***

ファイル名 : IY2021②EG
 サンプル名 : MSC2白EG
 分析日時 : 21-02-20 13:13:08
 分析条件
 X線管球 : Cu(1.54060 Å) 管電圧 : 40.0 kV 管電流 : 30.0 mA
 測定範囲 : 3.0000 ~ 20.0000 度 ステップ幅 : 0.0200 度
 計数時間 : 0.60 秒 スリット DS : 1.00 度 SS : 1.00 度 RS : 0.30 mm

コメント :



IY2021②EG MSC2白EG
 IY2021②EG MSC2白EG
 連続スキャン 2.0 度/分 0.60 秒 0.020 度 21-02-20 13:13:08
 連続スキャン 2.0 度/分 0.60 秒 0.020 度 21-02-20 13:13:08

*** 基本データ処理 ***

グループ : I
データ : 2021②EG

| # | 3強線 番号 | ピーク 番号 | 2θ (度) | d (Å) | I/I1 | 半価幅 (度) | 強度 (Counts) | 積分強度 (Counts) |
|---|-----------|-----------|-----------|----------|------|------------|----------------|------------------|
| 1 | 1 | 1 | 5.0481 | 17.49142 | 100 | 0.98960 | 222 | 12075 |
| 2 | 4 | 4 | 19.9200 | 4.45362 | 98 | 0.88000 | 217 | 6707 |
| 3 | 2 | 2 | 12.3250 | 7.17568 | 27 | 0.55000 | 59 | 1588 |

| # | ピーク 番号 | データ リスト | 2θ (度) | d (Å) | I/I1 | 半価幅 (度) | 強度 (Counts) | 積分強度 (Counts) |
|---|-----------|------------|-----------|----------|------|------------|----------------|------------------|
| 1 | 1 | 1 | 5.0481 | 17.49142 | 100 | 0.98960 | 222 | 12075 |
| 2 | 2 | 2 | 12.3250 | 7.17568 | 27 | 0.55000 | 59 | 1588 |
| 3 | 3 | 3 | 13.8050 | 6.40954 | 16 | 0.57000 | 36 | 1050 |
| 4 | 4 | 4 | 19.9200 | 4.45362 | 98 | 0.88000 | 217 | 6707 |

*** 基本データ処理 ***

データ情報

グループ : I
 データ : 2021②EG
 サンプル名 : MSC2白EG
 コメント :
 日付 & 時刻 : 21-02-20 13:13:08

測定条件

X線

ターゲット : Cu
 管電圧 : 40.0 (kV)
 管電流 : 30.0 (mA)

スリット

Auto Slit : not Used
 ダイバージェンス : 1.00 (度)
 スキャタリング : 1.00 (度)
 レジビング : 0.30 (mm)

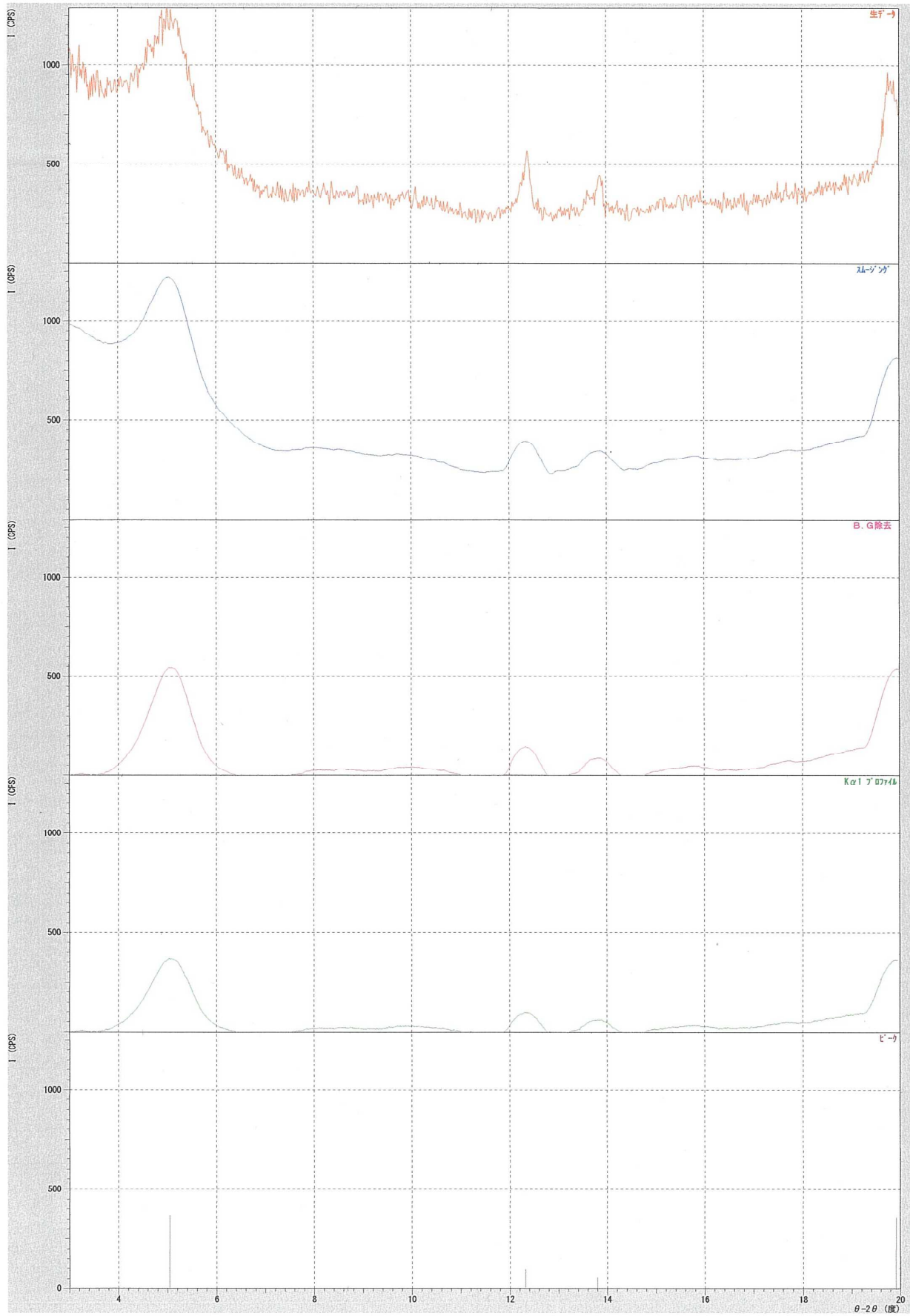
走査

駆動軸 : $\theta - 2\theta$
 範囲 : 3.0200 - 20.0000 (度)
 モード : 連続 スキャン
 速度 : 2.0000 (度/分)
 ステップ : 0.0200 (度)
 計数時間 : 0.60 (秒)

データ処理条件

スムージング : [自動]
 平滑化点数 : 51
 バックグラウンド除去 : [自動]
 サンプル間隔 : 51
 繰り返し回数 : 30
 Ka1-a2 分離 : [手動]
 Ka1-a2 比 : 50 (%)
 ピークサーチ : [自動]
 微分点数 : 51
 半価幅しきい値 : 0.0500 (度)
 強度しきい値 : 30 (par mil)
 半価幅比 (n-1)/n : 2
 系統誤差補正 : [NO]
 内/外標準法補正 : [NO]

< グループ : I データ : 2021②EG >

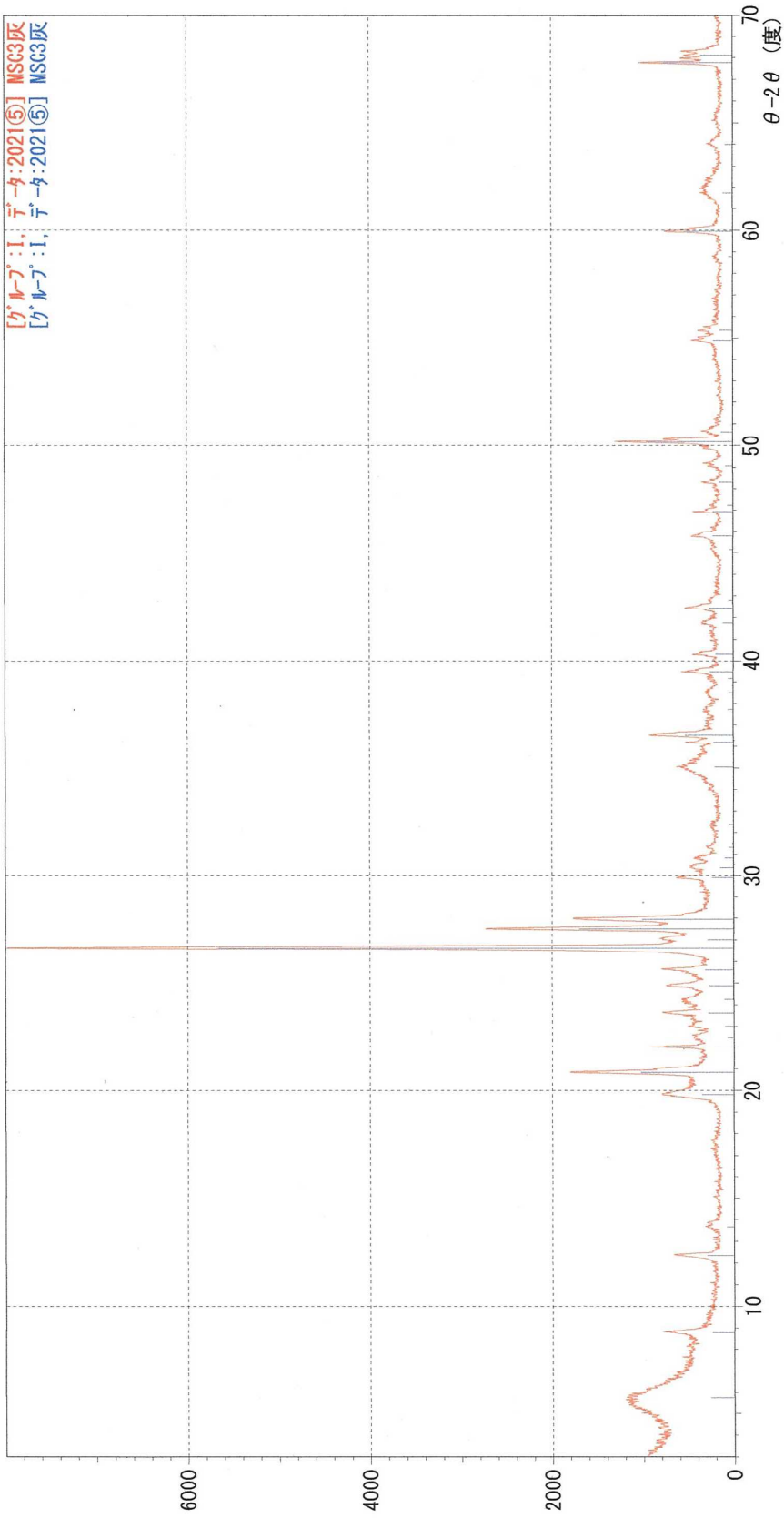


XRD 分析

MSC3-1

*** マルチプロット ***

ファイル名 : IY2021⑤
サンプル名 : MSC3灰
分析日時 : 21-02-21 08:28:35
分析条件
X線管球 : Cu(1.54060 Å) 管電圧 : 40.0 kV 管電流 : 30.0 mA
測定範囲 : 3.0000 ~ 70.0000 度 ステップ幅 : 0.0200 度
計数時間 : 0.60 秒 スリット DS : 1.00 度 SS : 1.00 度 RS : 0.30 mm



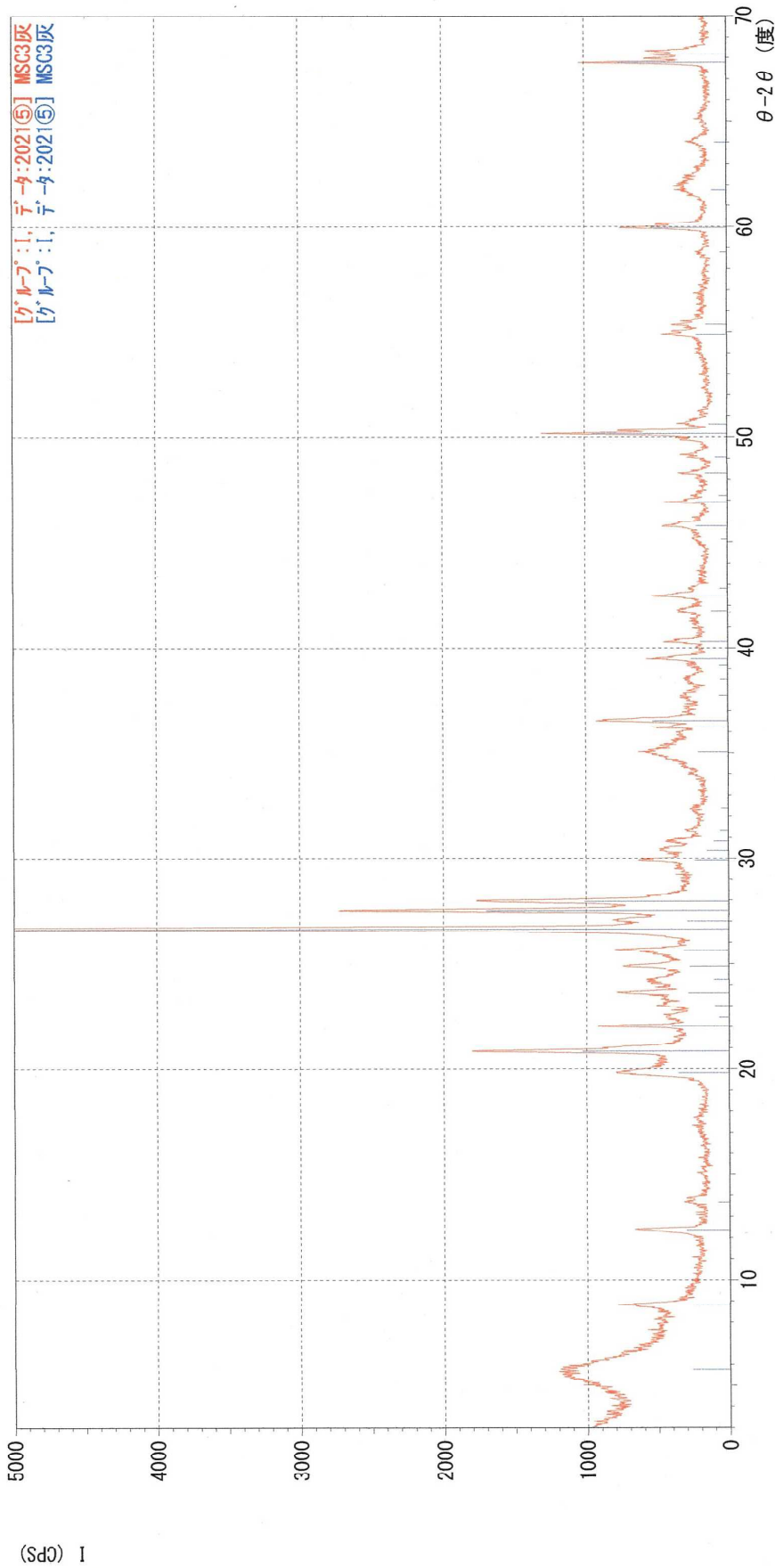
(95) 1

IY2021⑤ MSC3灰 連続スキャン 2.0 度/分 0.60 秒 0.020 度 21-02-21 08:28:35
IY2021⑤ MSC3灰 連続スキャン 2.0 度/分 0.60 秒 0.020 度 21-02-21 08:28:35

*** マルチプロット ***

ファイル名 : IY2021⑤
 サンプル名 : MSC3灰
 分析日時 : 21-02-21 08:28:35
 分析条件
 X線管球 : Cu (1.54060 Å) 管電圧 : 40.0 kV 管電流 : 30.0 mA
 測定範囲 : 3.0000 ~ 70.0000 度 ステップ幅 : 0.0200 度
 計数時間 : 0.60 秒 スリット DS : 1.00 度 SS : 1.00 度 RS : 0.30 mm

コメント :



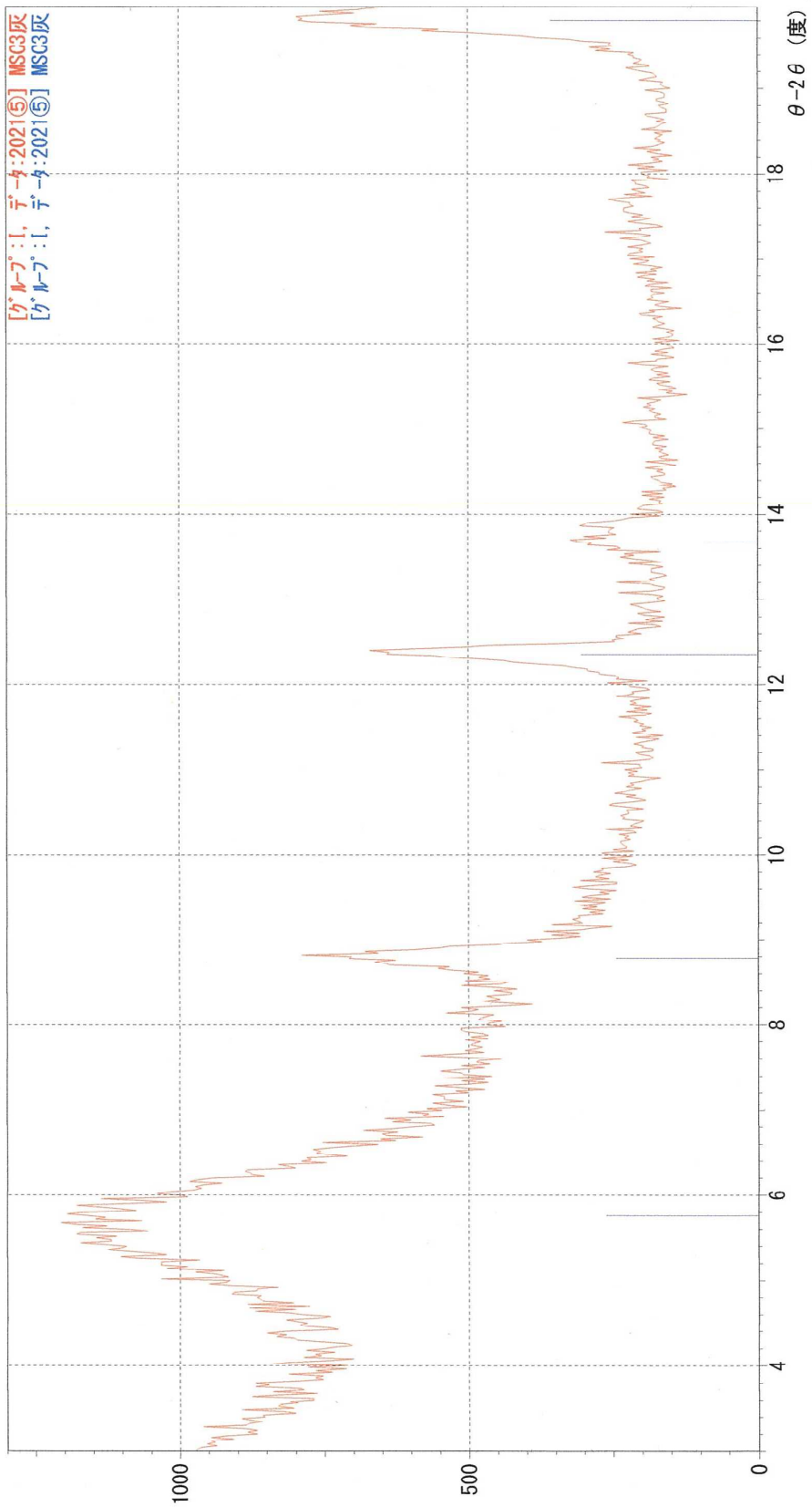
(5) 1

IY2021⑤ MSC3灰
 IY2021⑤ MSC3灰
 連続スキャン 2.0 度/分 0.020 度 21-02-21 08:28:35
 連続スキャン 2.0 度/分 0.020 度 21-02-21 08:28:35

*** マルチプロット ***

ファイル名 : IY2021⑤
 サンプル名 : MSC3灰
 分析日時 : 21-02-21 08:28:35
 分析条件
 X線管球 : Cu(1.54060 Å) 管電圧 : 40.0 kV 管電流 : 30.0 mA
 測定範囲 : 3.0000 ~ 70.0000 度 ステップ幅 : 0.0200 度
 計数時間 : 0.60 秒 スリット DS : 1.00 度 SS : 1.00 度 RS : 0.30 mm

コメント :



(Sd) 1

[グループ:1, データ:2021⑤] MSC3灰
 [グループ:1, データ:2021⑤] MSC3灰

IY2021⑤ MSC3灰 連続スキャン 2.0 度/分 0.60 秒 0.020 度 21-02-21 08:28:35
 IY2021⑤ MSC3灰 連続スキャン 2.0 度/分 0.60 秒 0.020 度 21-02-21 08:28:35

*** 基本データ処理 ***

グループ : I
データ : 2021⑤

| # | 3強線 番号 | 2θ (度) | d (Å) | I/I1 | 半価幅 (度) | 強度 (Counts) | 積分強度 (Counts) |
|---|-----------|-----------|----------|------|------------|----------------|------------------|
| 1 | 15 | 26.6332 | 3.34431 | 100 | 0.13050 | 3405 | 25360 |
| 2 | 17 | 27.5147 | 3.23913 | 30 | 0.14450 | 1021 | 8120 |
| 3 | 7 | 20.8445 | 4.25813 | 18 | 0.15190 | 619 | 5416 |

| # | ピーク 番号 | 2θ (度) | d (Å) | I/I1 | 半価幅 (度) | 強度 (Counts) | 積分強度 (Counts) |
|----|-----------|-----------|----------|---------|------------|----------------|------------------|
| 1 | 5.7630 | 15.32311 | 5 | 0.27870 | 158 | 2090 | |
| 2 | 5.7630 | 15.32311 | 5 | 0.27870 | 158 | 2090 | |
| 3 | 8.7822 | 10.06084 | 4 | 0.24170 | 147 | 2264 | |
| 4 | 12.3550 | 7.15833 | 5 | 0.19510 | 183 | 2175 | |
| 5 | 13.6689 | 6.47306 | 2 | 0.17970 | 52 | 463 | |
| 6 | 19.8000 | 4.48034 | 6 | 0.29780 | 215 | 2275 | |
| 7 | 20.8445 | 4.25813 | 18 | 0.15190 | 619 | 5416 | |
| 8 | 22.0193 | 4.03353 | 7 | 0.12010 | 242 | 1598 | |
| 9 | 22.4515 | 3.95685 | 1 | 0.14710 | 42 | 295 | |
| 10 | 22.9996 | 3.86378 | 2 | 0.13100 | 60 | 371 | |
| 11 | 23.5945 | 3.76769 | 5 | 0.14490 | 171 | 1959 | |
| 12 | 24.2400 | 3.66880 | 2 | 0.15180 | 66 | 472 | |
| 13 | 24.8884 | 3.57467 | 5 | 0.14500 | 165 | 1622 | |
| 14 | 25.6278 | 3.47318 | 6 | 0.16560 | 191 | 2237 | |
| 15 | 26.6332 | 3.34431 | 100 | 0.13050 | 3405 | 25360 | |
| 16 | 27.0169 | 3.29768 | 5 | 0.32030 | 175 | 4047 | |
| 17 | 27.5147 | 3.23913 | 30 | 0.14450 | 1021 | 8120 | |
| 18 | 27.9383 | 3.19098 | 18 | 0.17840 | 606 | 6779 | |
| 19 | 29.9049 | 2.98546 | 4 | 0.16020 | 142 | 1877 | |
| 20 | 30.3730 | 2.94051 | 3 | 0.15240 | 91 | 654 | |
| 21 | 30.8200 | 2.89887 | 2 | 0.18700 | 62 | 554 | |
| 22 | 31.3212 | 2.85361 | 1 | 0.10080 | 37 | 179 | |
| 23 | 32.3678 | 2.76369 | 1 | 0.10550 | 31 | 158 | |
| 24 | 35.0400 | 2.55881 | 4 | 0.39340 | 127 | 2619 | |
| 25 | 36.2258 | 2.47772 | 4 | 0.09960 | 134 | 868 | |
| 26 | 36.5464 | 2.45672 | 9 | 0.14900 | 320 | 2733 | |
| 27 | 37.7184 | 2.38303 | 1 | 0.16880 | 38 | 301 | |
| 28 | 38.5084 | 2.33594 | 1 | 0.14000 | 34 | 234 | |
| 29 | 39.1546 | 2.29887 | 1 | 0.10850 | 37 | 195 | |
| 30 | 39.4604 | 2.28175 | 5 | 0.14670 | 156 | 1636 | |
| 31 | 40.2868 | 2.23683 | 3 | 0.14410 | 116 | 1000 | |
| 32 | 41.7572 | 2.16140 | 2 | 0.17660 | 69 | 576 | |
| 33 | 42.4528 | 2.12758 | 5 | 0.13330 | 160 | 1351 | |
| 34 | 42.8244 | 2.10998 | 1 | 0.11140 | 35 | 186 | |
| 35 | 45.1800 | 2.00529 | 1 | 0.14660 | 27 | 187 | |
| 36 | 45.7800 | 1.98039 | 4 | 0.16000 | 134 | 1701 | |
| 37 | 46.9111 | 1.93524 | 4 | 0.11310 | 133 | 936 | |
| 38 | 47.2137 | 1.92354 | 1 | 0.13450 | 36 | 225 | |
| 39 | 48.2768 | 1.88364 | 3 | 0.11040 | 93 | 479 | |
| 40 | 49.0670 | 1.85514 | 2 | 0.11550 | 52 | 287 | |
| 41 | 50.1516 | 1.81753 | 17 | 0.12400 | 571 | 4564 | |
| 42 | 50.6247 | 1.80165 | 2 | 0.16150 | 77 | 586 | |
| 43 | 54.8770 | 1.67167 | 4 | 0.14300 | 130 | 1485 | |
| 44 | 55.3486 | 1.65854 | 3 | 0.12130 | 90 | 524 | |
| 45 | 58.7811 | 1.56961 | 1 | 0.15740 | 28 | 209 | |
| 46 | 59.9556 | 1.54163 | 9 | 0.13900 | 319 | 2708 | |
| 47 | 61.7241 | 1.50164 | 2 | 0.20660 | 65 | 631 | |
| 48 | 64.0000 | 1.45362 | 1 | 0.09740 | 51 | 237 | |
| 49 | 67.7723 | 1.38159 | 13 | 0.12410 | 456 | 3155 | |
| 50 | 68.1633 | 1.37462 | 6 | 0.16670 | 216 | 1522 | |

*** 基本データ処理 ***

データ情報

グループ : I
データ : 2021⑤
サンプル名 : MSC3灰
コメント :
日付 & 時刻 : 21-02-21 08:28:35

測定条件

X線
ターゲット : Cu
管電圧 : 40.0 (kV)
管電流 : 30.0 (mA)
スリット
Auto Slit : not Used
ダイバージェンス : 1.00 (度)
スキャタリング : 1.00 (度)
レシービング : 0.30 (mm)
走査
駆動軸 : $\theta - 2\theta$
範囲 : 3.0200 - 70.0000 (度)
モード : 連続 スキャン
速度 : 2.0000 (度/分)
ステップ : 0.0200 (度)
計数時間 : 0.60 (秒)

データ処理条件

スムージング : [自動]
平滑化点数 : 9
バックグラウンド除去 : [自動]
サンプル間隔 : 9
繰り返し回数 : 30
Ka1-a2 分離 : [手動]
Ka1-a2 比 : 50 (%)
ピークサーチ : [自動]
微分点数 : 7
半価幅しきい値 : 0.0500 (度)
強度しきい値 : 30 (par mil)
半価幅比 (n-1)/n : 2
系統誤差補正 : [NO]
内/外標準法補正 : [NO]

< グループ : I データ : 2021⑤ >

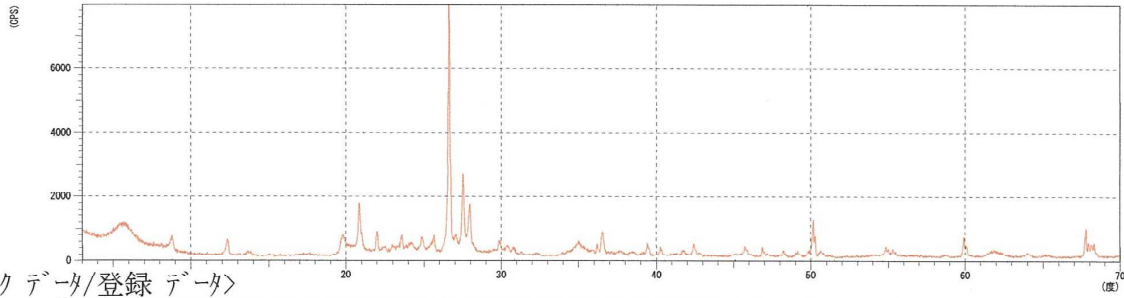


検索結果

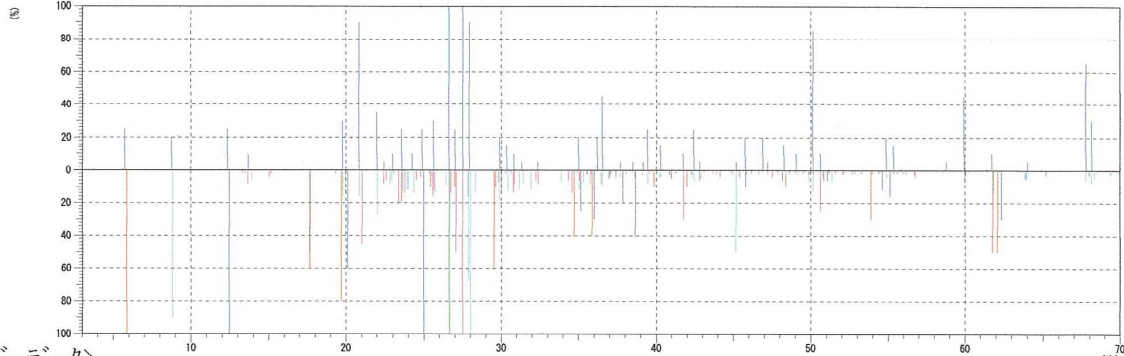
<未知データ>

グループ : T
データ : 2021⑤
ファイル : 2021⑤.PSE
サンプル : MSC3灰
コメント :
日付 & 時刻 : 21-02-21 08:28:35

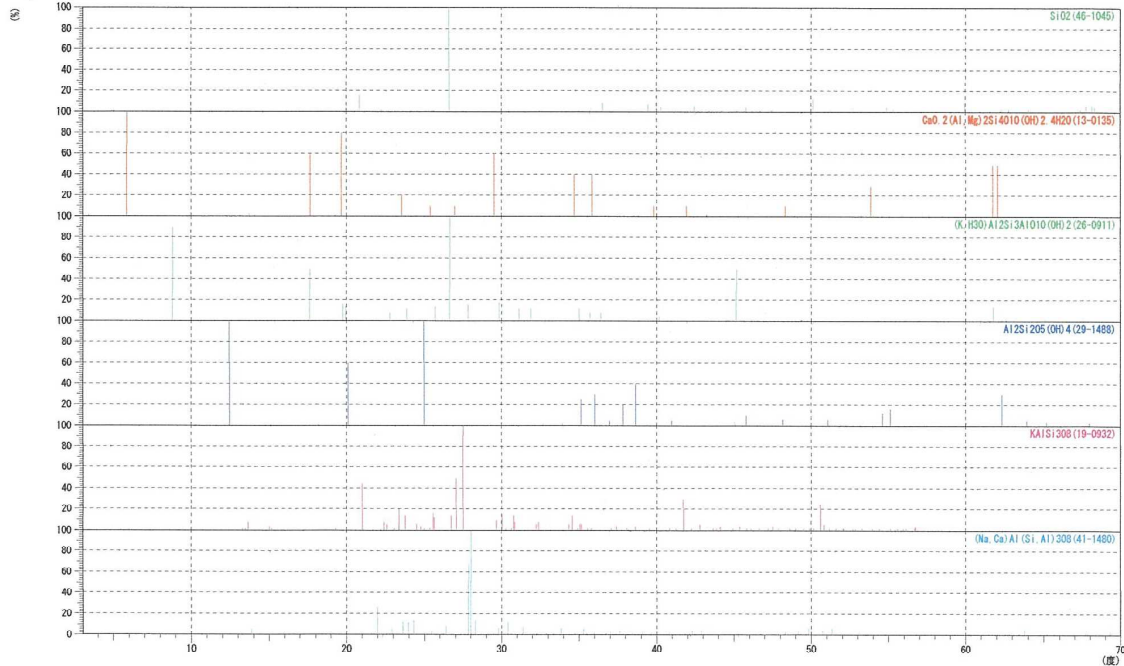
<プロフィール>



<ピークデータ/登録データ>



<カードデータ>



***** 検索結果 *****

グループ : I
 データ : 2021⑤
 ファイル : 2021⑤.PKR
 サンプル : MSC3灰
 コメント :

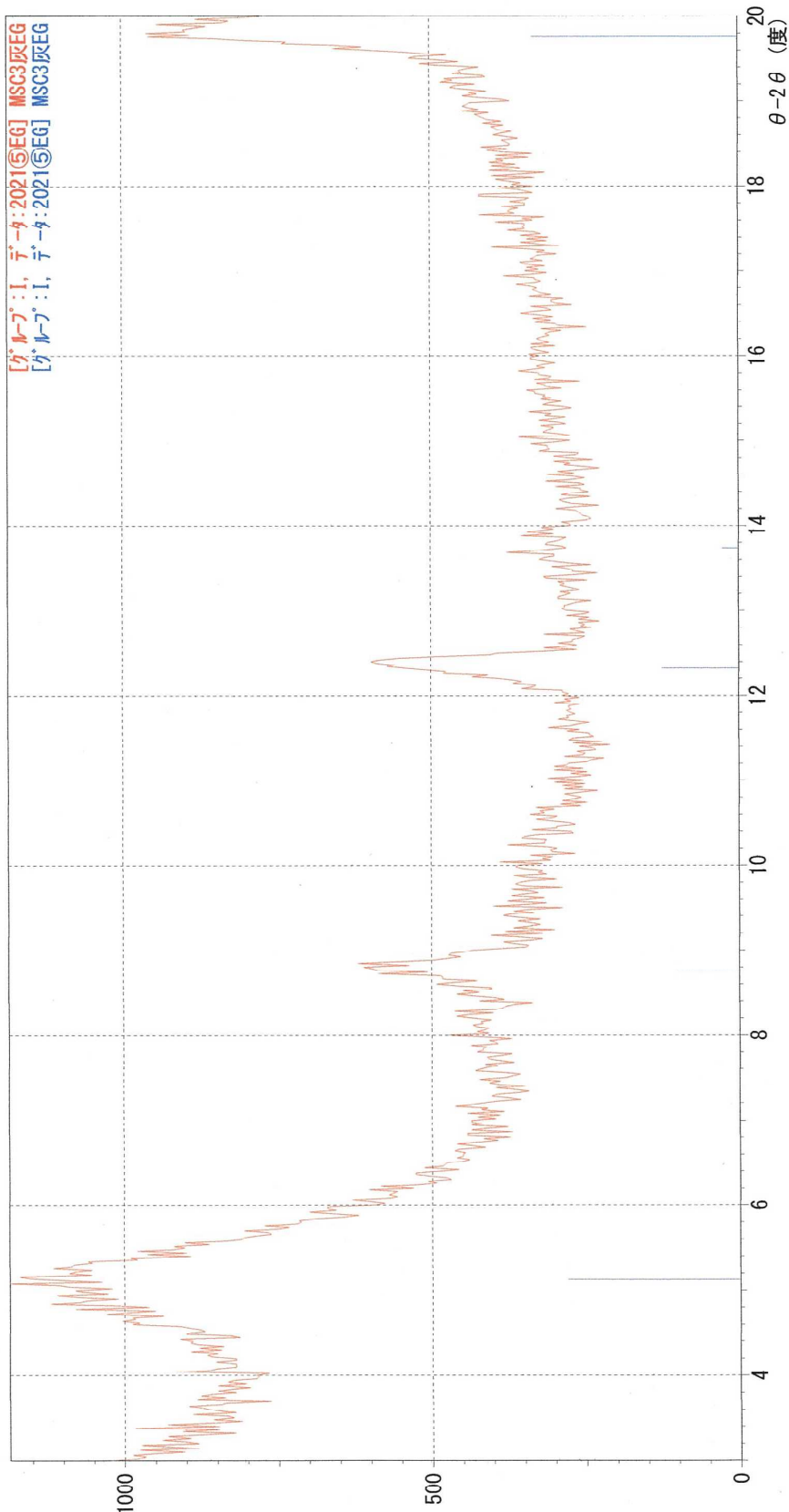
<登録カード>

| 番号 | カード | 化学式 化合物名 (鉱物名) | S | L | d | I | R |
|----|---------|--|-------|---------------|-------|-------|-------|
| | | | 密度 | | WT% | 空間群 | |
| 1 | 46-1045 | SiO ₂ Silicon Oxide (Quartz, syn) | 1.000 | 0.833 (15/58) | 0.975 | 0.321 | 0.261 |
| | | | | 2.65 | | P3221 | |
| 2 | 13-0135 | Ca _{0.2} (Al, Mg) ₂ Si ₄ O ₁₀ (OH) ₂ ·4H ₂ O Calcium Magnesium Aluminum Silicate Hydrox | 0.443 | 0.800 (12/17) | 0.629 | 0.507 | 0.255 |
| | | | | 2.10 | | P | |
| 3 | 26-0911 | (K, H ₃ O)Al ₂ Si ₃ AlO ₁₀ (OH) ₂ Potassium Aluminum Silicate Hydroxide (Il | 0.662 | 0.889 (16/18) | 0.736 | 0.358 | 0.234 |
| | | | | 2.82 | | A2/a | |
| 4 | 29-1488 | Al ₂ Si ₂ O ₅ (OH) ₄ Aluminum Silicate Hydroxide (Kaolinite-1¥ | 0.442 | 0.842 (16/21) | 0.633 | 0.359 | 0.192 |
| | | | | 2.60 | | A*/* | |
| 5 | 19-0932 | KAlSi ₃ O ₈ Potassium Aluminum Silicate (Microcline, | 0.831 | 0.430 (34/79) | 0.724 | 0.324 | 0.101 |
| | | | | 2.57 | | P-1 | |
| 6 | 41-1480 | (Na, Ca)Al(Si, Al) ₃ O ₈ Sodium Calcium Aluminum Silicate (Albite, | 0.970 | 0.556 (35/71) | 0.761 | 0.260 | 0.110 |
| | | | | 2.64 | | P-1 | |

*** マルチプロット ***

ファイル名 : IY2021⑤EG
サンプル名 : MSC3灰EG
分析日時 : 21-02-21 09:06:10
分析条件 :
X線管球 : Cu(1.54060 Å) 管電圧 : 40.0 kV 管電流 : 30.0 mA
測定範囲 : 3.0000 ~ 20.0000 度 ステップ幅 : 0.0200 度
計数時間 : 0.60 秒 スリット DS : 1.00 度 SS : 1.00 度 RS : 0.30 mm

コメント:



(55) 1

IY2021⑤EG MSC3灰EG
IY2021⑤EG MSC3灰EG
連続スキャン 2.0 度/分 0.60 秒 0.020 度 21-02-21 09:06:10
連続スキャン 2.0 度/分 0.60 秒 0.020 度 21-02-21 09:06:10

*** 基本データ処理 ***

データ情報

グループ : I
データ : 2021⑤EG
サンプル名 : MSC3灰EG
コメント :
日付 & 時刻 : 21-02-21 09:06:10

測定条件

X線

ターゲット : Cu
管電圧 : 40.0 (kV)
管電流 : 30.0 (mA)

スリット

Auto Slit : not Used
ダイバージェンス : 1.00 (度)
スキャリング : 1.00 (度)
ビーミング : 0.30 (mm)

走査

駆動軸 : $\theta - 2\theta$
範囲 : 3.0200 - 20.0000 (度)
モード : 連続 スキャン
速度 : 2.0000 (度/分)
ステップ : 0.0200 (度)
計数時間 : 0.60 (秒)

データ処理条件

スムージング : [自動]
平滑化点数 : 51
バックグラウンド除去 : [自動]
サンプリング間隔 : 51
繰り返し回数 : 30
Kal-a2 分離 : [手動]
Kal-a2 比 : 50 (%)
ピークサーチ : [自動]
微分点数 : 51
半価幅しきい値 : 0.0500 (度)
強度しきい値 : 30 (par mil)
半価幅比 (n-1)/n : 2
系統誤差補正 : [NO]
内/外標準法補正 : [NO]

*** 基本データ処理 ***

グループ : I
データ : 2021⑤EG

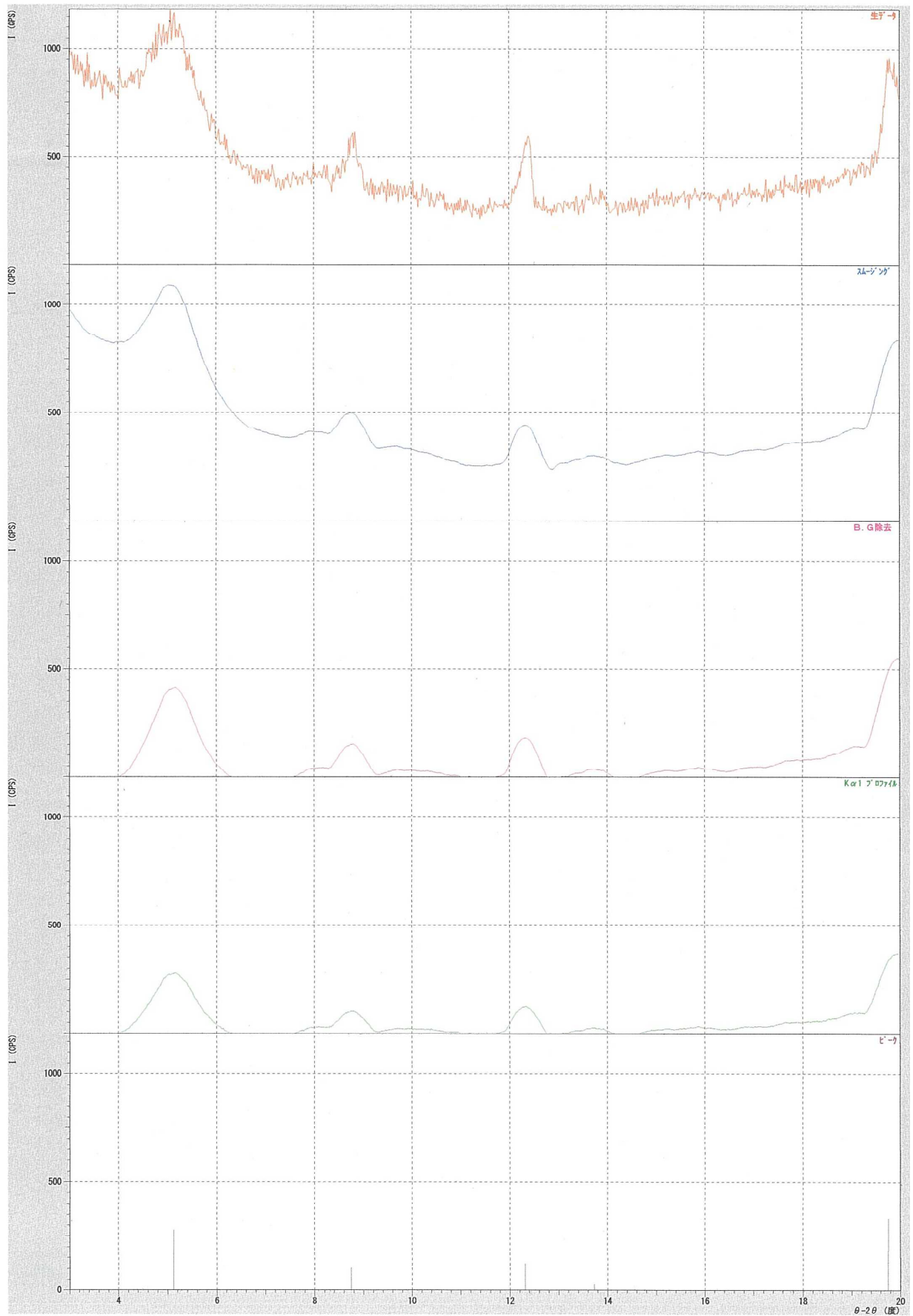
3 強線

| 番号 | ピーク 番号 | 2θ (度) | d (Å) | I/I1 | 半価幅 (度) | 強度 (Counts) | 積分強度 (Counts) |
|----|-----------|-----------|----------|------|------------|----------------|------------------|
| 1 | 5 | 19.7600 | 4.48931 | 100 | 0.60660 | 201 | 6803 |
| 2 | 1 | 5.1280 | 17.21906 | 84 | 0.99200 | 168 | 8874 |
| 3 | 3 | 12.3206 | 7.17824 | 37 | 0.54530 | 75 | 2008 |

ピークデータリスト

| 番号 | ピーク 番号 | 2θ (度) | d (Å) | I/I1 | 半価幅 (度) | 強度 (Counts) | 積分強度 (Counts) |
|----|-----------|-----------|----------|------|------------|----------------|------------------|
| 1 | | 5.1280 | 17.21906 | 84 | 0.99200 | 168 | 8874 |
| 2 | | 8.7540 | 10.09319 | 31 | 0.62800 | 62 | 1751 |
| 3 | | 12.3206 | 7.17824 | 37 | 0.54530 | 75 | 2008 |
| 4 | | 13.7400 | 6.43972 | 8 | 0.48000 | 16 | 444 |
| 5 | | 19.7600 | 4.48931 | 100 | 0.60660 | 201 | 6803 |

< グループ : I データ : 2021⑤EG >



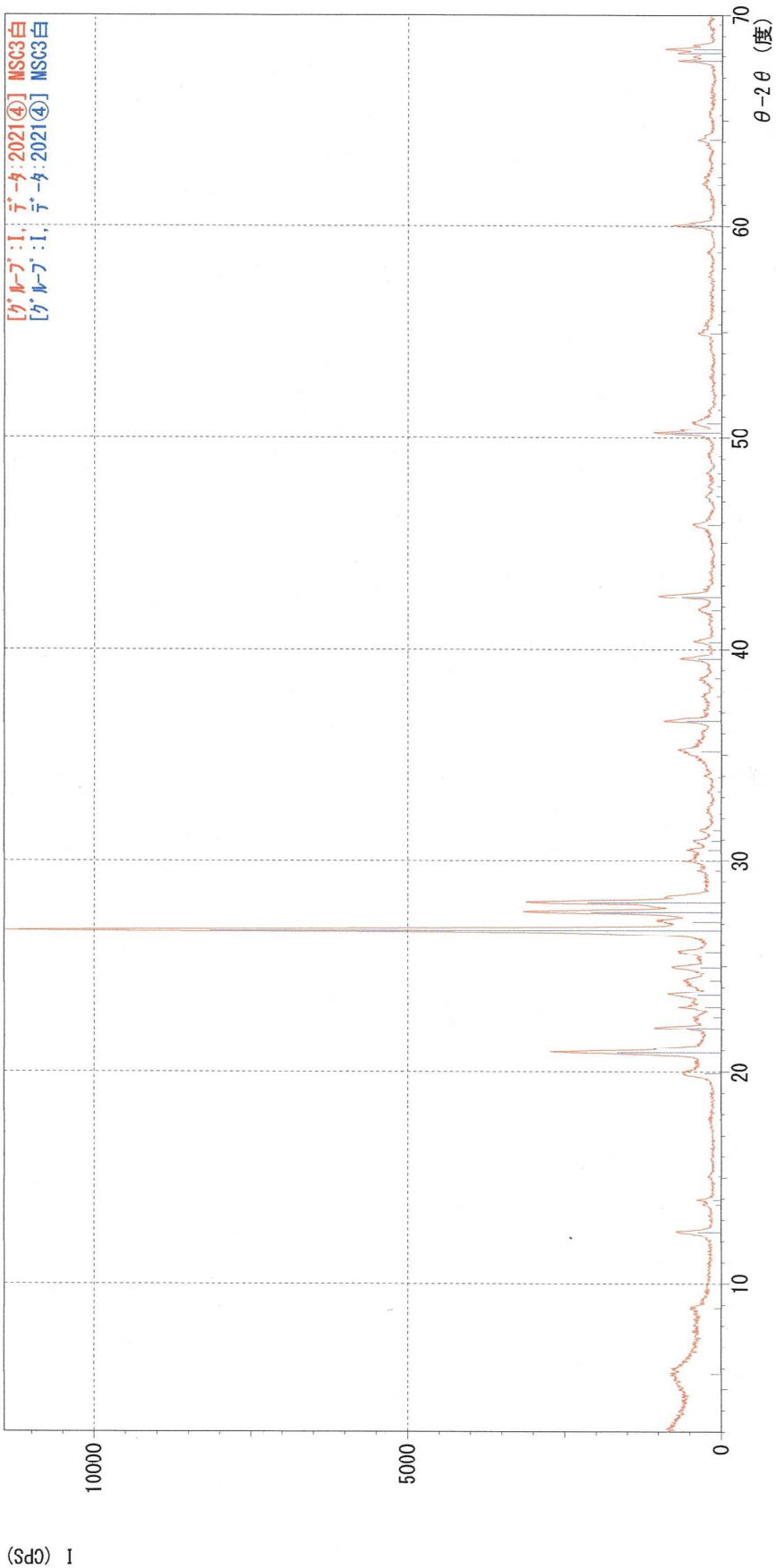
XRD 分析

MSC3-2

*** マルチプロット ***

ファイル名 : IY2021④
 サンプル名 : MSC3白
 分析日時 : 21-02-20 14:15:02
 分析条件
 X線管球 : Cu(1.54060 Å) 管電圧 : 40.0 kV 管電流 : 30.0 mA
 測定範囲 : 3.0000 ~ 70.0000 度 ステップ幅 : 0.0200 度
 計数時間 : 0.60 秒 スリット DS : 1.00 度 SS : 1.00 度 RS : 0.30 mm

コメント :

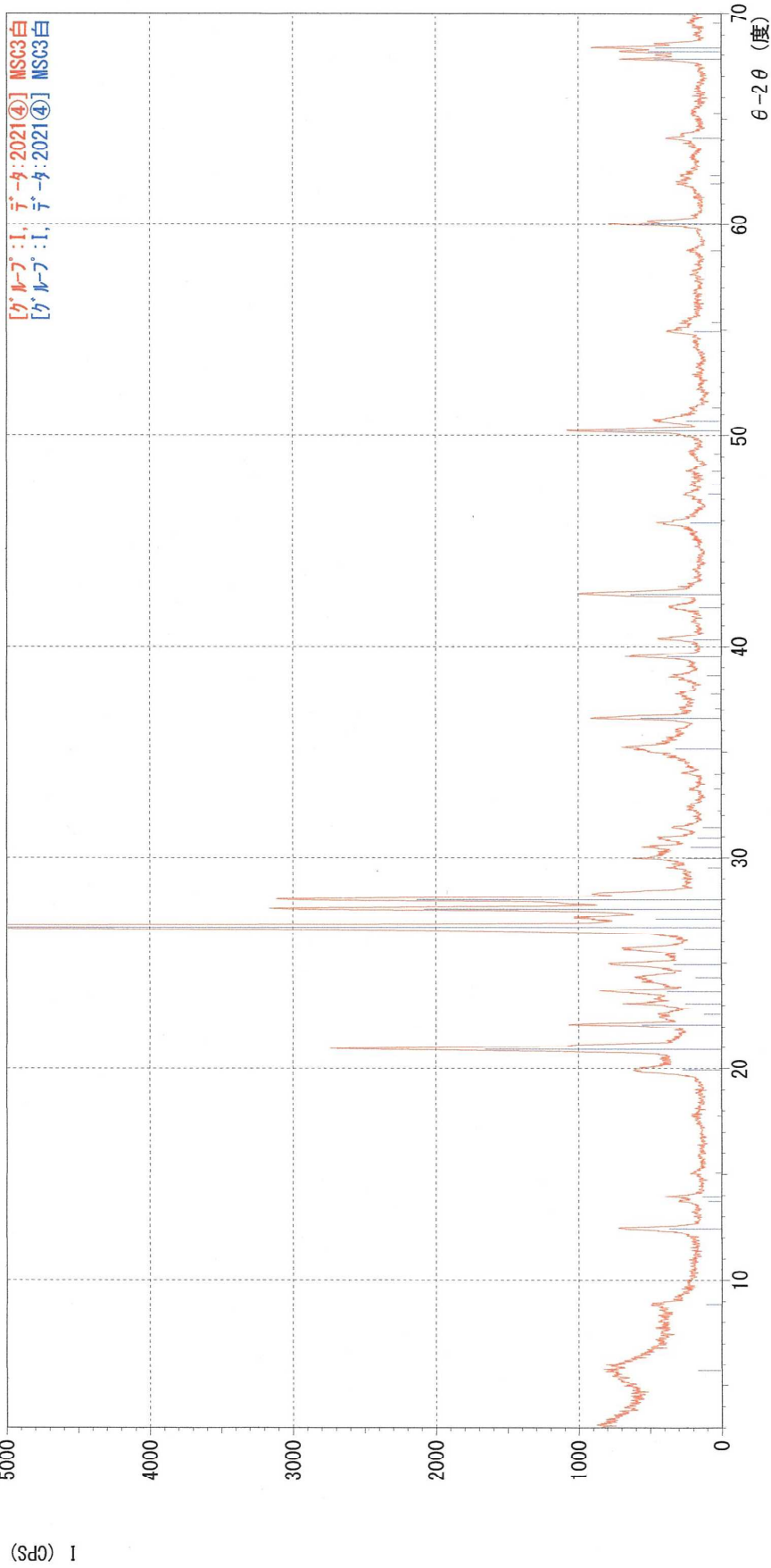


IY2021④ MSC3白
 IY2021④ MSC3白
 連続スキャン 2.0 度/分 0.60 秒 0.020 度 21-02-20 14:15:02
 連続スキャン 2.0 度/分 0.60 秒 0.020 度 21-02-20 14:15:02

*** マルチプロット ***

ファイル名 : IY2021④
サンプル名 : MSC3白
分析日時 : 21-02-20 14:15:02
分析条件
X線管球 : Cu(1.54060 Å) 管電圧 : 40.0 kV 管電流 : 30.0 mA
測定範囲 : 3.0000 ~ 70.0000 度 ステップ幅 : 0.0200 度
計数時間 : 0.60 秒 スリット DS : 1.00 度 SS : 1.00 度 RS : 0.30 mm

コメント :



IY2021④
IY2021④

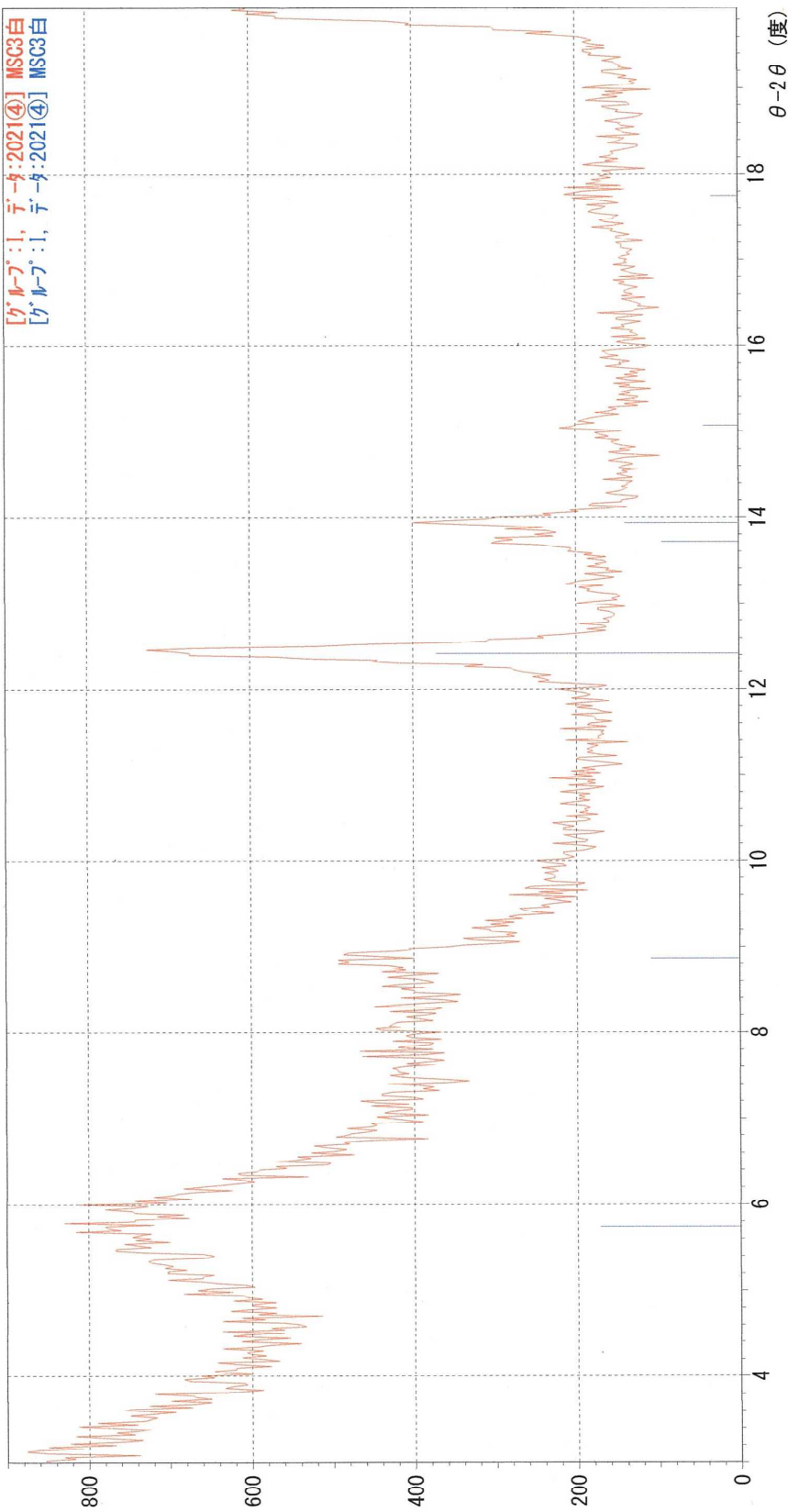
MSC3白
MSC3白

連続スキャン 2.0 度/分 0.60 秒 0.020 度 21-02-20 14:15:02
連続スキャン 2.0 度/分 0.60 秒 0.020 度 21-02-20 14:15:02

*** マルチプロット ***

ファイル名 : IY2021④
サンプル名 : MSC3白
分析日時 : 21-02-20 14:15:02
分析条件
X線管球 : Cu (1.54060 Å) 管電圧 : 40.0 kV 管電流 : 30.0 mA
測定範囲 : 3.0000 ~ 70.0000 度 ステップ幅 : 0.0200 度
計数時間 : 0.60 秒 スリット DS : 1.00 度 SS : 1.00 度 RS : 0.30 mm

コメント :



1 (PS)

IY2021④ MSC3白
IY2021④ MSC3白
連続スキャン 2.0 度/分 0.60 秒 0.020 度 21-02-20 14:15:02
連続スキャン 2.0 度/分 0.60 秒 0.020 度 21-02-20 14:15:02

*** 基本データ処理 ***

グループ : I
データ : 2021④

| # | 3 強線 番号 | ピーク 番号 | 2θ (度) | d (Å) | I/I1 | 半価幅 (度) | 強度 (Counts) | 積分強度 (Counts) |
|---|------------|-----------|-----------|----------|------|------------|----------------|------------------|
| 1 | 17 | | 26.6963 | 3.33655 | 100 | 0.14470 | 4896 | 36906 |
| 2 | 20 | | 27.9780 | 3.18654 | 26 | 0.15820 | 1279 | 11872 |
| 3 | 19 | | 27.5496 | 3.23511 | 25 | 0.15920 | 1247 | 11003 |

| # | ピーク 番号 | データ リスト | 2θ (度) | d (Å) | I/I1 | 半価幅 (度) | 強度 (Counts) | 積分強度 (Counts) |
|----|-----------|------------|-----------|----------|------|------------|----------------|------------------|
| 1 | | | 5.7383 | 15.38901 | 2 | 0.21540 | 104 | 1052 |
| 2 | | | 8.8562 | 9.97694 | 1 | 0.25840 | 66 | 798 |
| 3 | | | 12.4176 | 7.12238 | 5 | 0.18990 | 223 | 2617 |
| 4 | | | 13.7165 | 6.45070 | 1 | 0.13950 | 57 | 375 |
| 5 | | | 13.9373 | 6.34900 | 2 | 0.15080 | 84 | 607 |
| 6 | | | 15.0712 | 5.87378 | 1 | 0.17140 | 26 | 213 |
| 7 | | | 17.7495 | 4.99303 | 1 | 0.09460 | 20 | 89 |
| 8 | | | 19.9256 | 4.45238 | 3 | 0.37540 | 164 | 4468 |
| 9 | | | 20.9107 | 4.24480 | 20 | 0.18060 | 995 | 9922 |
| 10 | | | 22.0861 | 4.02148 | 7 | 0.13300 | 335 | 2854 |
| 11 | | | 22.5716 | 3.93606 | 1 | 0.12160 | 73 | 416 |
| 12 | | | 23.0724 | 3.85175 | 3 | 0.13300 | 153 | 1466 |
| 13 | | | 23.6235 | 3.76313 | 5 | 0.20060 | 228 | 3499 |
| 14 | | | 24.3016 | 3.65964 | 2 | 0.33550 | 110 | 1745 |
| 15 | | | 24.9343 | 3.56819 | 4 | 0.18870 | 203 | 2244 |
| 16 | | | 25.6589 | 3.46904 | 3 | 0.22910 | 158 | 2138 |
| 17 | | | 26.6963 | 3.33655 | 100 | 0.14470 | 4896 | 36906 |
| 18 | | | 27.0860 | 3.28942 | 6 | 0.32420 | 275 | 5742 |
| 19 | | | 27.5496 | 3.23511 | 25 | 0.15920 | 1247 | 11003 |
| 20 | | | 27.9780 | 3.18654 | 26 | 0.15820 | 1279 | 11872 |
| 21 | | | 29.5227 | 3.02323 | 1 | 0.12250 | 56 | 326 |
| 22 | | | 29.9718 | 2.97895 | 3 | 0.15060 | 151 | 2597 |
| 23 | | | 30.4920 | 2.92930 | 3 | 0.16120 | 129 | 1007 |
| 24 | | | 30.9381 | 2.88807 | 2 | 0.12680 | 101 | 614 |
| 25 | | | 31.4281 | 2.84415 | 2 | 0.11430 | 78 | 429 |
| 26 | | | 32.2200 | 2.77603 | 1 | 0.08220 | 18 | 70 |
| 27 | | | 33.2600 | 2.69157 | 1 | 0.07000 | 30 | 100 |
| 28 | | | 33.9400 | 2.63918 | 1 | 0.08620 | 27 | 107 |
| 29 | | | 35.1352 | 2.55209 | 4 | 0.35040 | 193 | 5233 |
| 30 | | | 36.6124 | 2.45244 | 7 | 0.12780 | 339 | 2425 |
| 31 | | | 37.0600 | 2.42384 | 1 | 0.11440 | 27 | 150 |
| 32 | | | 37.7553 | 2.38079 | 1 | 0.15110 | 45 | 319 |
| 33 | | | 38.6200 | 2.32945 | 1 | 0.11680 | 61 | 333 |
| 34 | | | 39.5179 | 2.27856 | 5 | 0.14770 | 228 | 2033 |
| 35 | | | 40.3200 | 2.23507 | 2 | 0.09560 | 118 | 538 |
| 36 | | | 41.8452 | 2.15706 | 2 | 0.23540 | 93 | 1032 |
| 37 | | | 42.4883 | 2.12589 | 8 | 0.20070 | 381 | 4560 |
| 38 | | | 45.8400 | 1.97794 | 3 | 0.23720 | 130 | 1462 |
| 39 | | | 47.2284 | 1.92298 | 1 | 0.14290 | 55 | 372 |
| 40 | | | 47.6705 | 1.90617 | 1 | 0.13830 | 39 | 255 |
| 41 | | | 48.3000 | 1.88279 | 1 | 0.11720 | 39 | 225 |
| 42 | | | 49.1400 | 1.85255 | 1 | 0.12420 | 30 | 178 |
| 43 | | | 50.1976 | 1.81597 | 10 | 0.13920 | 489 | 4211 |
| 44 | | | 50.6930 | 1.79938 | 3 | 0.26600 | 148 | 2831 |
| 45 | | | 51.3263 | 1.77866 | 1 | 0.14110 | 39 | 265 |
| 46 | | | 54.9298 | 1.67019 | 2 | 0.13930 | 114 | 754 |
| 47 | | | 55.3541 | 1.65839 | 1 | 0.26260 | 41 | 535 |
| 48 | | | 58.7540 | 1.57027 | 1 | 0.19160 | 43 | 383 |
| 49 | | | 60.0122 | 1.54032 | 7 | 0.14710 | 338 | 3143 |
| 50 | | | 61.9600 | 1.49649 | 1 | 0.22860 | 46 | 488 |
| 51 | | | 62.3226 | 1.48865 | 1 | 0.13870 | 48 | 311 |
| 52 | | | 64.0921 | 1.45175 | 2 | 0.12030 | 121 | 700 |
| 53 | | | 65.2344 | 1.42907 | 1 | 0.27210 | 31 | 410 |
| 54 | | | 67.8028 | 1.38105 | 6 | 0.14170 | 283 | 2372 |
| 55 | | | 68.2000 | 1.37397 | 6 | 0.13600 | 308 | 2258 |
| 56 | | | 68.3800 | 1.37079 | 6 | 0.15180 | 278 | 2492 |
| 57 | | | 69.5205 | 1.35106 | 1 | 0.12250 | 36 | 210 |

*** 基本データ処理 ***

グループ : I
データ : 2021④EG

| # | 3 強線 番号 | ピーク 番号 | 2θ (度) | d (Å) | I/I1 | 半価幅 (度) | 強度 (Counts) | 積分強度 (Counts) |
|---|------------|-----------|-----------|----------|------|------------|----------------|------------------|
| 1 | 6 | | 19.7600 | 4.48931 | 100 | 0.50860 | 139 | 4843 |
| 2 | 1 | | 5.1995 | 16.98244 | 76 | 0.91100 | 106 | 5269 |
| 3 | 4 | | 12.3893 | 7.13859 | 71 | 0.55860 | 98 | 2625 |

| # | ピーク 番号 | データ リスト | 2θ (度) | d (Å) | I/I1 | 半価幅 (度) | 強度 (Counts) | 積分強度 (Counts) |
|---|-----------|------------|-----------|----------|------|------------|----------------|------------------|
| 1 | | | 5.1995 | 16.98244 | 76 | 0.91100 | 106 | 5269 |
| 2 | | | 8.1800 | 10.80011 | 19 | 0.76000 | 26 | 949 |
| 3 | | | 8.8200 | 10.01781 | 28 | 0.68000 | 39 | 1209 |
| 4 | | | 12.3893 | 7.13859 | 71 | 0.55860 | 98 | 2625 |
| 5 | | | 13.8000 | 6.41186 | 19 | 0.52000 | 26 | 684 |
| 6 | | | 19.7600 | 4.48931 | 100 | 0.50860 | 139 | 4843 |

*** 基本データ処理 ***

データ情報

グループ : I
データ : 2021④
サンプル名 : MSC3白
コメント :
日付 & 時刻 : 21-02-20 14:15:02

測定条件

X線

ターゲット : Cu
管電圧 : 40.0 (kV)
管電流 : 30.0 (mA)

スリット

Auto Slit : not Used
ダイバージェンス : 1.00 (度)
スキャタリング : 1.00 (度)
レシービング : 0.30 (mm)

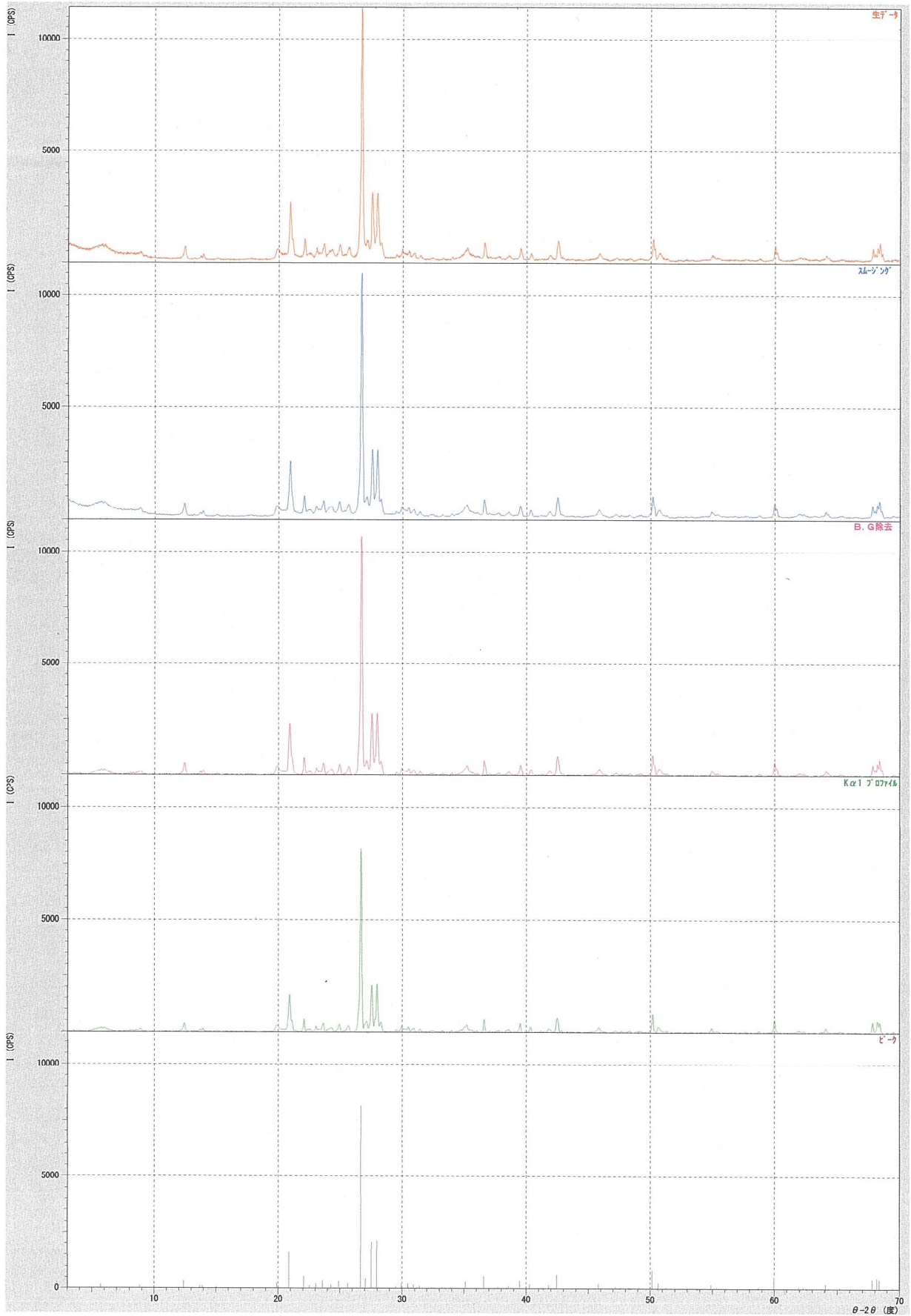
走査

駆動軸 : $\theta - 2\theta$
範囲 : 3.0200 - 70.0000 (度)
モード : 連続 スキャン
速度 : 2.0000 (度/分)
ステップ : 0.0200 (度)
計数時間 : 0.60 (秒)

データ処理条件

スムージング : [自動]
平滑化点数 : 9
バックグラウンド除去 : [自動]
サンプル間隔 : 11
繰り返し回数 : 30
Ka1-a2 分離 : [手動]
Ka1-a2 比 : 50 (%)
ピークサーチ : [自動]
微分点数 : 9
半価幅しきい値 : 0.0500 (度)
強度しきい値 : 30 (par mil)
半価幅比 (n-1)/n : 2
系統誤差補正 : [NO]
内/外標準法補正 : [NO]

< グループ : I データ : 2021④ >

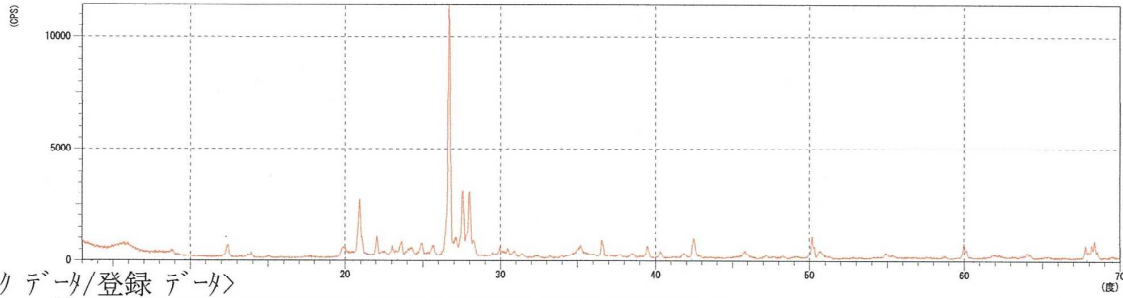


検索結果

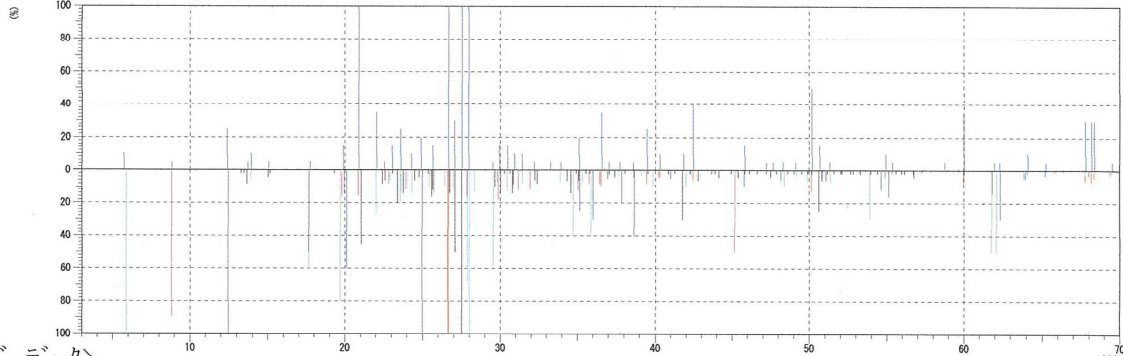
<未知データ>

グループ : I
データ : 2021④
ファイル : 2021④.PKR
サンプル : MSC3白
コメント :
日付 & 時刻 : 21-02-20 14:15:02

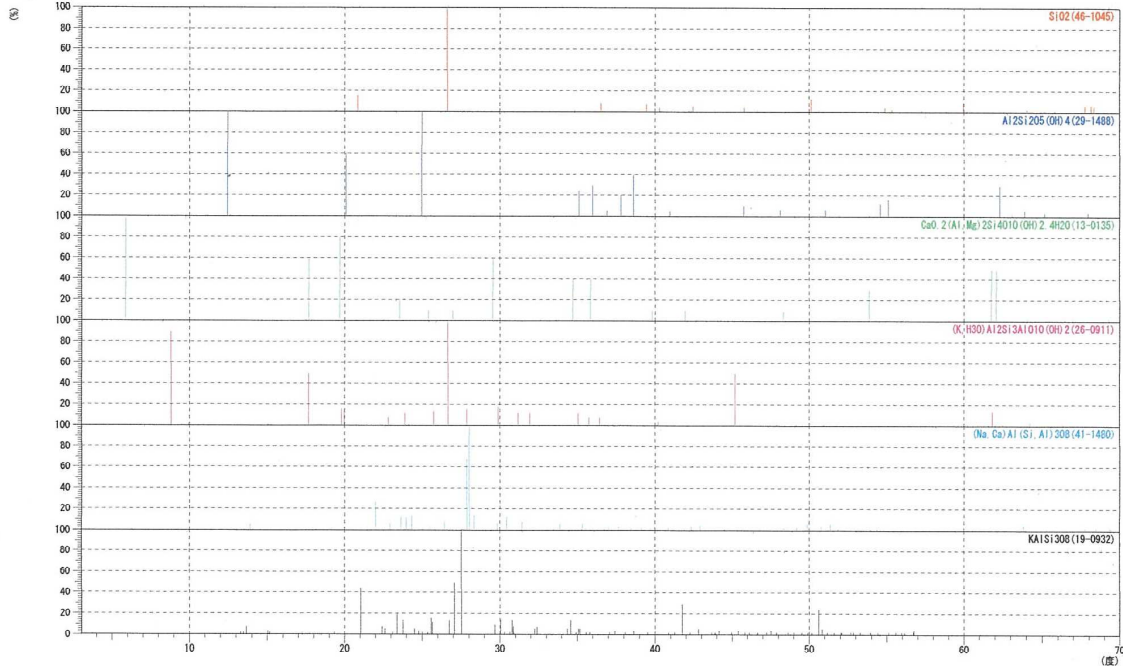
<プロフィール>



<ピークデータ/登録データ>



<カードデータ>



***** 検索結果 *****

グループ : I
 データ : 2021④
 ファイル : 2021④.PKR
 サンプル : MSC3白
 コメント :

<登録カード>

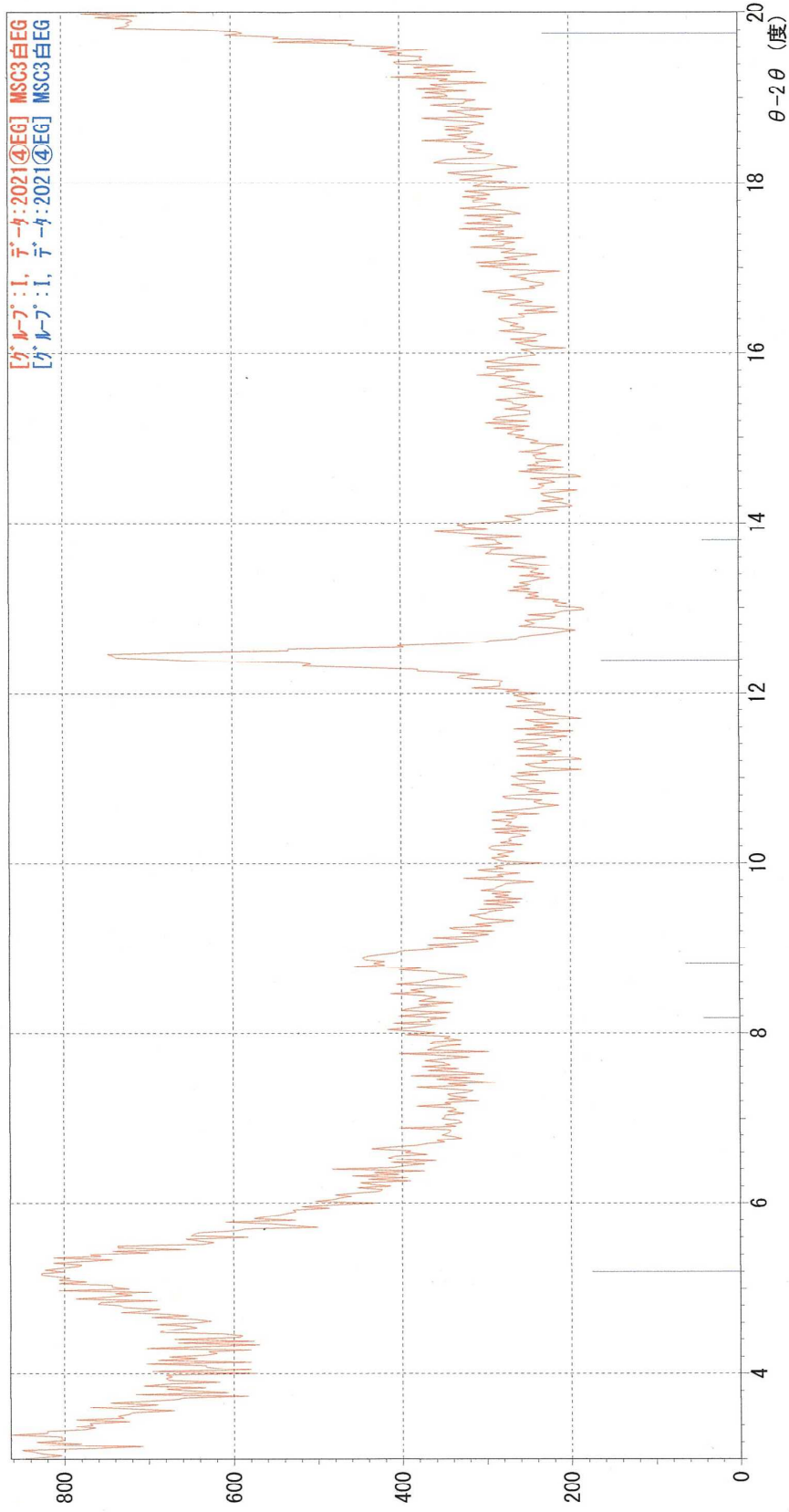
| 番号 | カード | 化学式 化合物名 (鉱物名) | S | L | d | I | R |
|----|---------|--|-------|--------------|-------|-------|-------|
| | | | 密度 | | WT% | 空間群 | |
| 1 | 46-1045 | SiO ₂ Silicon Oxide (Quartz, syn) | 1.000 | 0.889(16/58) | 0.896 | 0.363 | 0.289 |
| | | | | 2.65 | | P321 | |
| 2 | 29-1488 | Al ₂ Si ₂ O ₅ (OH) ₄ Aluminum Silicate Hydroxide (Kaolinite-1¥ | 0.333 | 0.842(16/21) | 0.800 | 0.399 | 0.269 |
| | | | | 2.60 | | A*/* | |
| 3 | 13-0135 | Ca _{0.2} (Al, Mg) ₂ Si ₄ O ₁₀ (OH) ₂ ·4H ₂ O Calcium Magnesium Aluminum Silicate Hydrox | 0.272 | 0.800(12/17) | 0.678 | 0.310 | 0.168 |
| | | | | 2.10 | | P | |
| 4 | 26-0911 | (K, H ₃ O)Al ₂ Si ₃ AlO ₁₀ (OH) ₂ Potassium Aluminum Silicate Hydroxide (Il | 0.607 | 0.833(15/18) | 0.738 | 0.331 | 0.203 |
| | | | | 2.82 | | A2/a | |
| 5 | 41-1480 | (Na, Ca)Al(Si, Al) ₃ O ₈ Sodium Calcium Aluminum Silicate (Albite, | 0.971 | 0.603(38/71) | 0.787 | 0.353 | 0.168 |
| | | | | 2.64 | | P-1 | |
| 6 | 19-0932 | KAlSi ₃ O ₈ Potassium Aluminum Silicate (Microcline, | 0.848 | 0.443(35/79) | 0.789 | 0.399 | 0.140 |
| | | | | 2.57 | | P-1 | |

*** マルチプロット ***

ファイル名 : I¥2021④EG
サンプル名 : MSC3白EG
分析日時 : 21-02-20 14:52:20

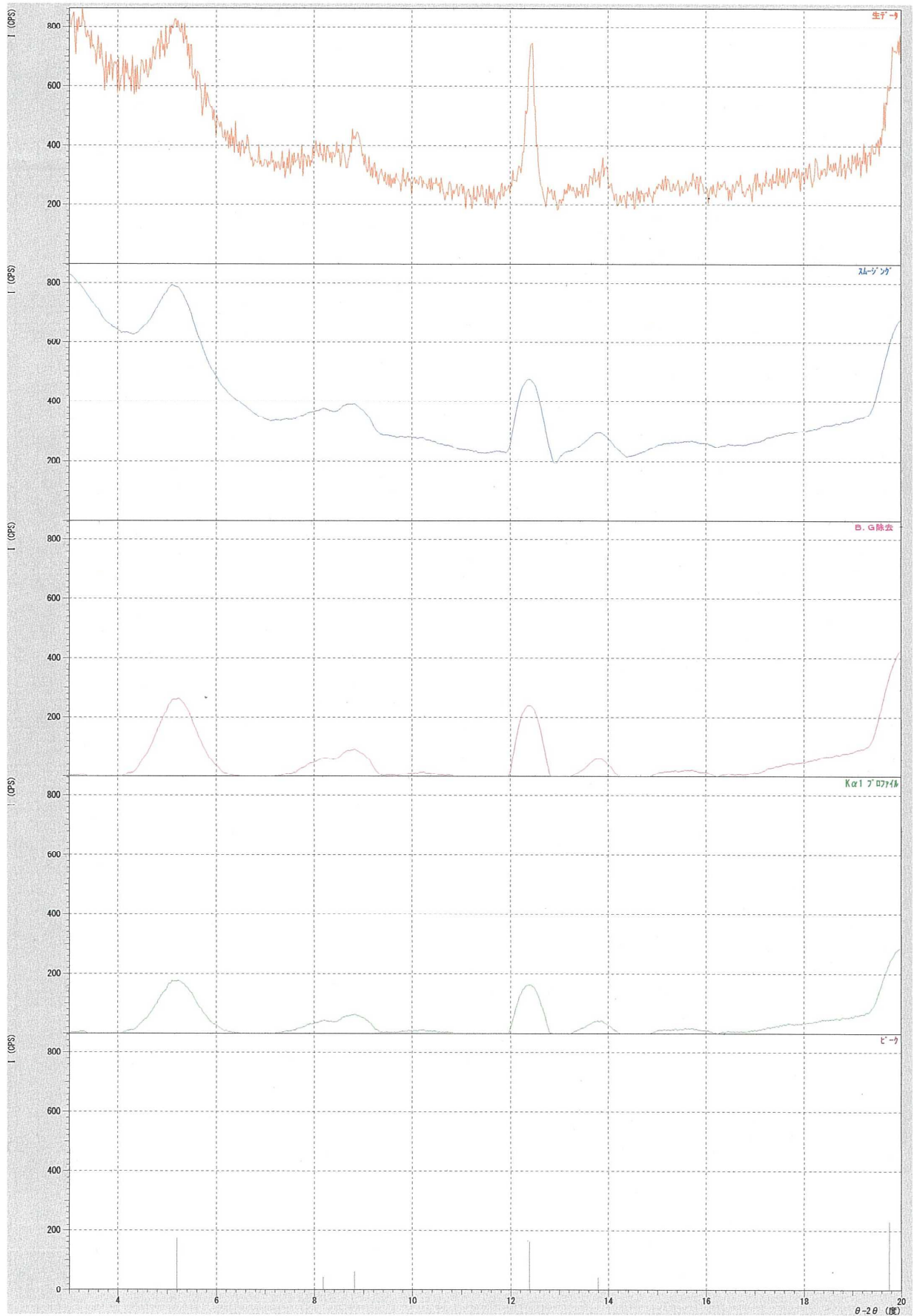
コメント :

分析条件
X線管球 : Cu (1.54060 Å) 管電圧 : 40.0 kV 管電流 : 30.0 mA
測定範囲 : 3.0000 ~ 20.0000 度 ステップ幅 : 0.0200 度
計数時間 : 0.60 秒 スリット DS : 1.00 度 SS : 1.00 度 RS : 0.30 mm



I¥2021④EG
I¥2021④EG
MSC3白EG
MSC3白EG
連続スキャン 2.0 度/分 0.60 秒 0.020 度 21-02-20 14:52:20
連続スキャン 2.0 度/分 0.60 秒 0.020 度 21-02-20 14:52:20

< グループ : I データ : 2021④EG >



*** 基本データ処理 ***

データ情報

グループ : I
データ : 2021④EG
サンプル名 : MSC3白EG
コメント :
日付 & 時刻 : 21-02-20 14:52:20

測定条件

X線
ターゲット : Cu
管電圧 : 40.0 (kV)
管電流 : 30.0 (mA)
スリット
Auto Slit : not Used
ダイバージェンス : 1.00 (度)
スキャタリング : 1.00 (度)
レシービング : 0.30 (mm)
走査
駆動軸 : $\theta - 2\theta$
範囲 : 3.0200 - 20.0000 (度)
モード : 連続 スキャン
速度 : 2.0000 (度/分)
ステップ : 0.0200 (度)
計数時間 : 0.60 (秒)

データ処理条件

スムージング : [自動]
平滑化点数 : 51
バックグラウンド除去 : [自動]
サンプル間隔 : 51
繰り返し回数 : 30
Ka1-a2 分離 : [手動]
Ka1-a2 比 : 50 (%)
ピークサーチ : [自動]
微分点数 : 43
半価幅しきい値 : 0.0500 (度)
強度しきい値 : 30 (par mil)
半価幅比 (n-1)/n : 2
系統誤差補正 : [NO]
内/外標準法補正 : [NO]

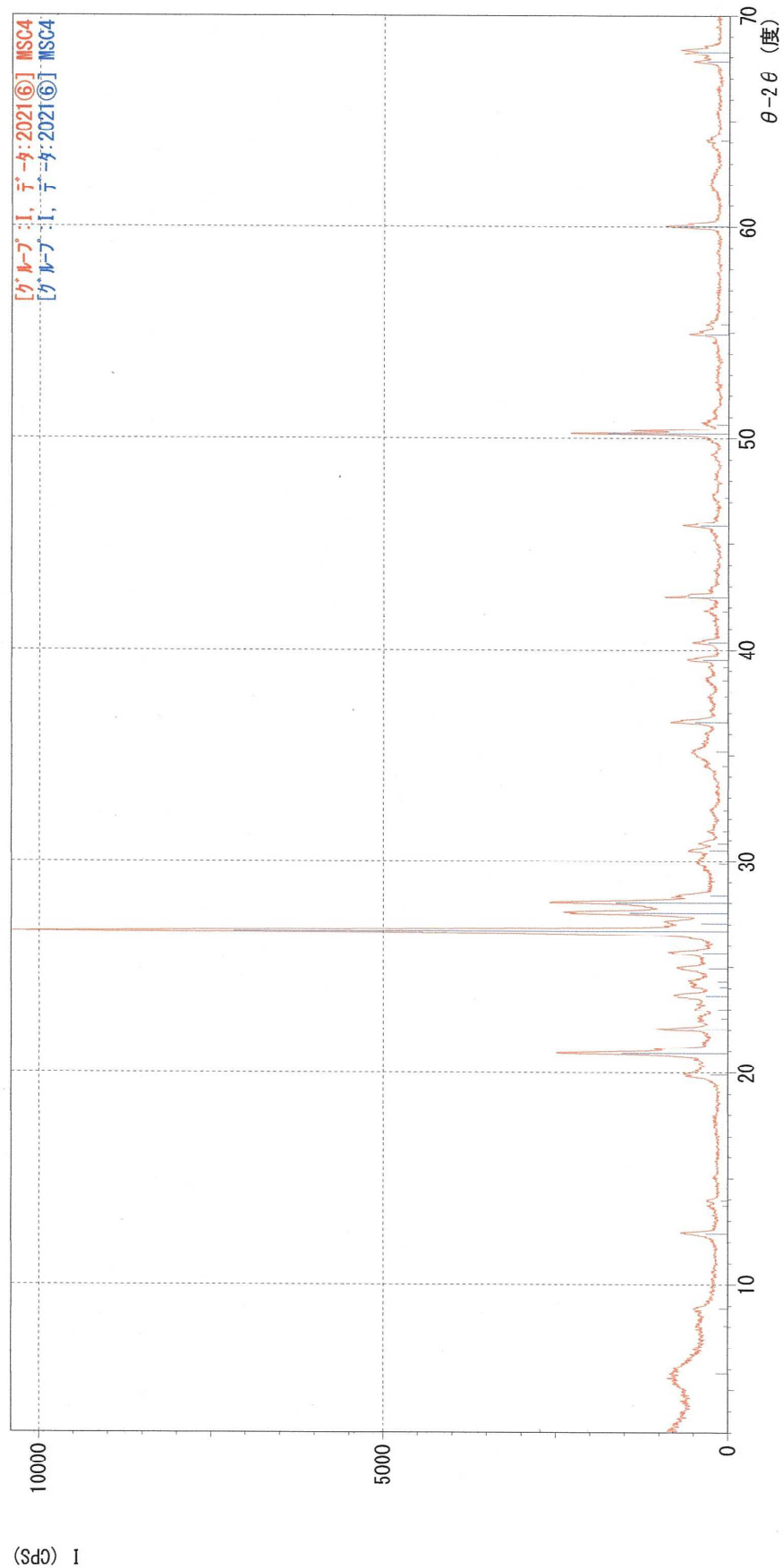
XRD 分析

MSC4

*** マルチプロット ***

ファイル名 : IY2021⑥
サンプル名 : MSC4
分析日時 : 21-02-21 09:19:47
分析条件
X線管球 : Cu(1.54060 Å) 管電圧 : 40.0 kV 管電流 : 30.0 mA
測定範囲 : 3.0000 ~ 70.0000 度 ステップ幅 : 0.0200 度
計数時間 : 0.60 秒 スリット DS : 1.00 度 SS : 1.00 度 RS : 0.30 mm

コメント :



IY2021⑤
IY2021⑥

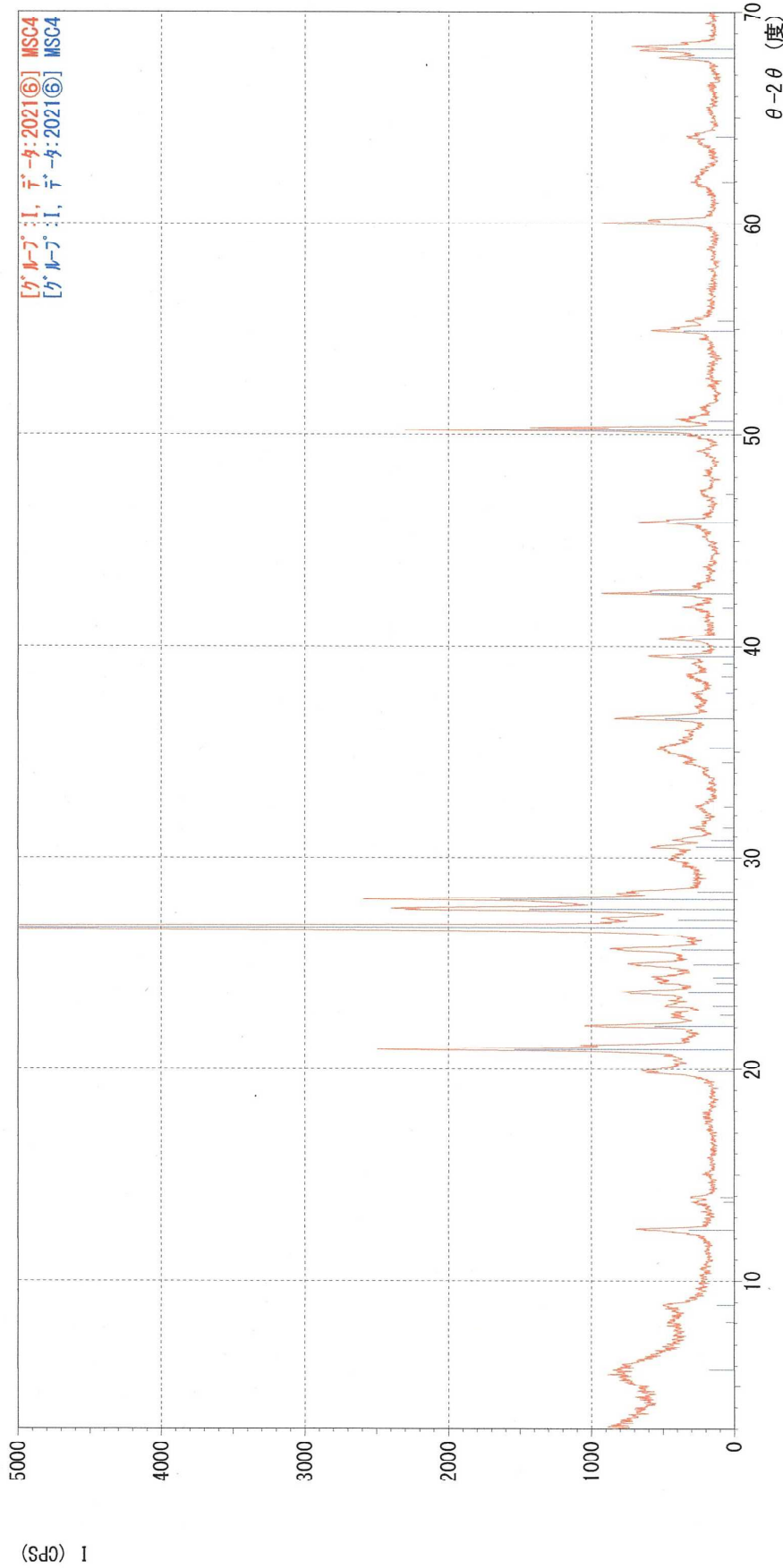
MSC4
MSC4

連続スキャン 2.0 度/分 0.60 秒 0.020 度 21-02-21 09:19:47
連続スキャン 2.0 度/分 0.60 秒 0.020 度 21-02-21 09:19:47

*** マルチプロット ***

ファイル名 : I¥2021⑥
サンプル名 : MSC4
分析日時 : 21-02-21 09:19:47
分析条件
X線管球 : Cu (1.54060 Å) 管電圧 : 40.0 kV 管電流 : 30.0 mA
測定範囲 : 3.0000 ~ 70.0000 度 ステップ幅 : 0.0200 度
計数時間 : 0.60 秒 スリット DS : 1.00 度 SS : 1.00 度 RS : 0.30 mm

コメント :



I¥2021⑥
I¥2021⑥

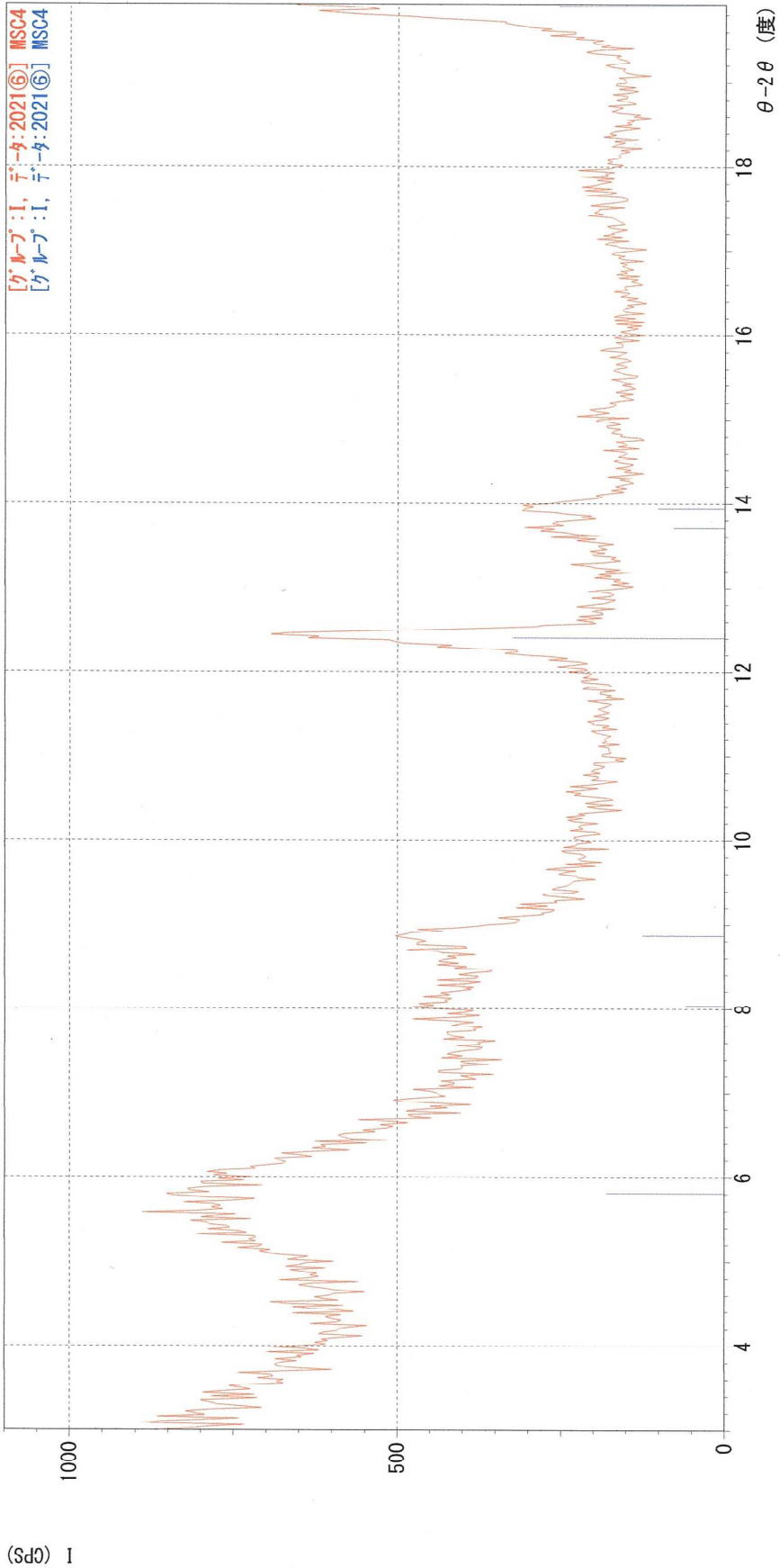
MSC4
MSC4

連続スキャン 2.0 度/分 0.60 秒 0.020 度 21-02-21 09:19:47
連続スキャン 2.0 度/分 0.60 秒 0.020 度 21-02-21 09:19:47

*** マルチプロット ***

ファイル名 : IY2021⑥
 サンプル名 : MSC4
 分析日時 : 21-02-21 09:19:47
 分析条件
 X線管球 : Cu(1.54060 Å) 管電圧 : 40.0 kV 管電流 : 30.0 mA
 測定範囲 : 3.0000 ~ 70.0000 度 ステップ幅 : 0.0200 度
 計数時間 : 0.60 秒 スリット DS : 1.00 度 SS : 1.00 度 RS : 0.30 mm

コメント :



IY2021⑥ MSC4
 IY2021⑥ MSC4
 連続スキャン 2.0 度/分 0.60 秒 0.020 度 21-02-21 09:19:47
 連続スキャン 2.0 度/分 0.60 秒 0.020 度 21-02-21 09:19:47

*** 基本データ処理 ***

グループ : I
データ : 2021⑥

| # | 3強線 番号 | ピーク 番号 | 2θ (度) | d (Å) | I/I1 | 半価幅 (度) | 強度 (Counts) | 積分強度 (Counts) |
|---|-----------|-----------|-----------|----------|------|------------|----------------|------------------|
| 1 | 17 | | 26.6886 | 3.33749 | 100 | 0.14170 | 4309 | 34467 |
| 2 | 39 | | 50.2016 | 1.81584 | 24 | 0.11460 | 1055 | 7467 |
| 3 | 20 | | 27.9987 | 3.18423 | 23 | 0.15610 | 983 | 9145 |

| # | ピーク 番号 | データ 番号 | リスト | 2θ (度) | d (Å) | I/I1 | 半価幅 (度) | 強度 (Counts) | 積分強度 (Counts) |
|----|-----------|-----------|-----|-----------|----------|------|------------|----------------|------------------|
| 1 | | | | 5.8077 | 15.20528 | 3 | 0.15700 | 108 | 796 |
| 2 | | | | 8.0372 | 10.99168 | 1 | 0.14220 | 36 | 241 |
| 3 | | | | 8.8618 | 9.97065 | 2 | 0.20740 | 75 | 754 |
| 4 | | | | 12.4034 | 7.13050 | 5 | 0.19970 | 195 | 2431 |
| 5 | | | | 13.7124 | 6.45262 | 1 | 0.17110 | 47 | 381 |
| 6 | | | | 13.9438 | 6.34605 | 1 | 0.13230 | 61 | 382 |
| 7 | | | | 19.9009 | 4.45785 | 4 | 0.31820 | 153 | 3558 |
| 8 | | | | 20.9112 | 4.24470 | 21 | 0.14830 | 923 | 10223 |
| 9 | | | | 22.0427 | 4.02930 | 8 | 0.14420 | 337 | 2756 |
| 10 | | | | 22.5527 | 3.93932 | 1 | 0.18030 | 61 | 517 |
| 11 | | | | 22.9940 | 3.86471 | 2 | 0.13140 | 89 | 554 |
| 12 | | | | 23.6023 | 3.76646 | 5 | 0.22030 | 194 | 3552 |
| 13 | | | | 24.0400 | 3.69886 | 2 | 0.08220 | 75 | 285 |
| 14 | | | | 24.2984 | 3.66011 | 2 | 0.15470 | 89 | 673 |
| 15 | | | | 24.9336 | 3.56829 | 4 | 0.20150 | 172 | 2173 |
| 16 | | | | 25.6567 | 3.46934 | 5 | 0.21290 | 223 | 2932 |
| 17 | | | | 26.6886 | 3.33749 | 100 | 0.14170 | 4309 | 34467 |
| 18 | | | | 27.0518 | 3.29350 | 5 | 0.31420 | 235 | 6285 |
| 19 | | | | 27.5484 | 3.23525 | 20 | 0.19670 | 861 | 10320 |
| 20 | | | | 27.9987 | 3.18423 | 23 | 0.15610 | 983 | 9145 |
| 21 | | | | 28.3800 | 3.14231 | 4 | 0.19180 | 154 | 2771 |
| 22 | | | | 29.8771 | 2.98817 | 2 | 0.18190 | 80 | 686 |
| 23 | | | | 30.4980 | 2.92874 | 4 | 0.15050 | 162 | 2391 |
| 24 | | | | 30.8256 | 2.89835 | 2 | 0.13580 | 97 | 624 |
| 25 | | | | 31.4192 | 2.84494 | 1 | 0.10160 | 49 | 236 |
| 26 | | | | 32.3907 | 2.76179 | 1 | 0.16620 | 44 | 349 |
| 27 | | | | 34.5000 | 2.59761 | 1 | 0.10680 | 51 | 257 |
| 28 | | | | 35.1800 | 2.54894 | 2 | 0.17000 | 103 | 823 |
| 29 | | | | 36.5923 | 2.45374 | 7 | 0.14200 | 294 | 2419 |
| 30 | | | | 37.7740 | 2.37965 | 1 | 0.19200 | 36 | 328 |
| 31 | | | | 38.5570 | 2.33311 | 1 | 0.16070 | 53 | 402 |
| 32 | | | | 39.1696 | 2.29802 | 1 | 0.10780 | 47 | 243 |
| 33 | | | | 39.5032 | 2.27938 | 5 | 0.14010 | 220 | 2134 |
| 34 | | | | 40.3395 | 2.23403 | 4 | 0.13000 | 176 | 1472 |
| 35 | | | | 41.8200 | 2.15830 | 1 | 0.10900 | 49 | 247 |
| 36 | | | | 42.5096 | 2.12487 | 8 | 0.12550 | 354 | 2836 |
| 37 | | | | 45.8573 | 1.97723 | 6 | 0.14540 | 244 | 2395 |
| 38 | | | | 47.1939 | 1.92431 | 1 | 0.14770 | 35 | 247 |
| 39 | | | | 50.2016 | 1.81584 | 24 | 0.11460 | 1055 | 7467 |
| 40 | | | | 50.6681 | 1.80021 | 3 | 0.14530 | 110 | 763 |
| 41 | | | | 54.9258 | 1.67030 | 5 | 0.14750 | 214 | 2144 |
| 42 | | | | 55.3933 | 1.65731 | 2 | 0.12140 | 72 | 408 |
| 43 | | | | 60.0120 | 1.54032 | 10 | 0.14340 | 430 | 3707 |
| 44 | | | | 61.9706 | 1.49626 | 1 | 0.31370 | 53 | 777 |
| 45 | | | | 64.0905 | 1.45178 | 2 | 0.13560 | 79 | 521 |
| 46 | | | | 67.7955 | 1.38118 | 5 | 0.15250 | 199 | 1721 |
| 47 | | | | 68.2648 | 1.37282 | 6 | 0.29150 | 278 | 3841 |

*** 基本データ処理 ***

データ情報

グループ : I
データ : 2021⑥
サンプル名 : MSC4
コメント :
日付 & 時刻 : 21-02-21 09:19:47

測定条件

X線

ターゲット : Cu
管電圧 : 40.0 (kV)
管電流 : 30.0 (mA)

スリット

Auto Slit : not Used
ダイバージェンス : 1.00 (度)
スキャリング : 1.00 (度)
レシービング : 0.30 (mm)

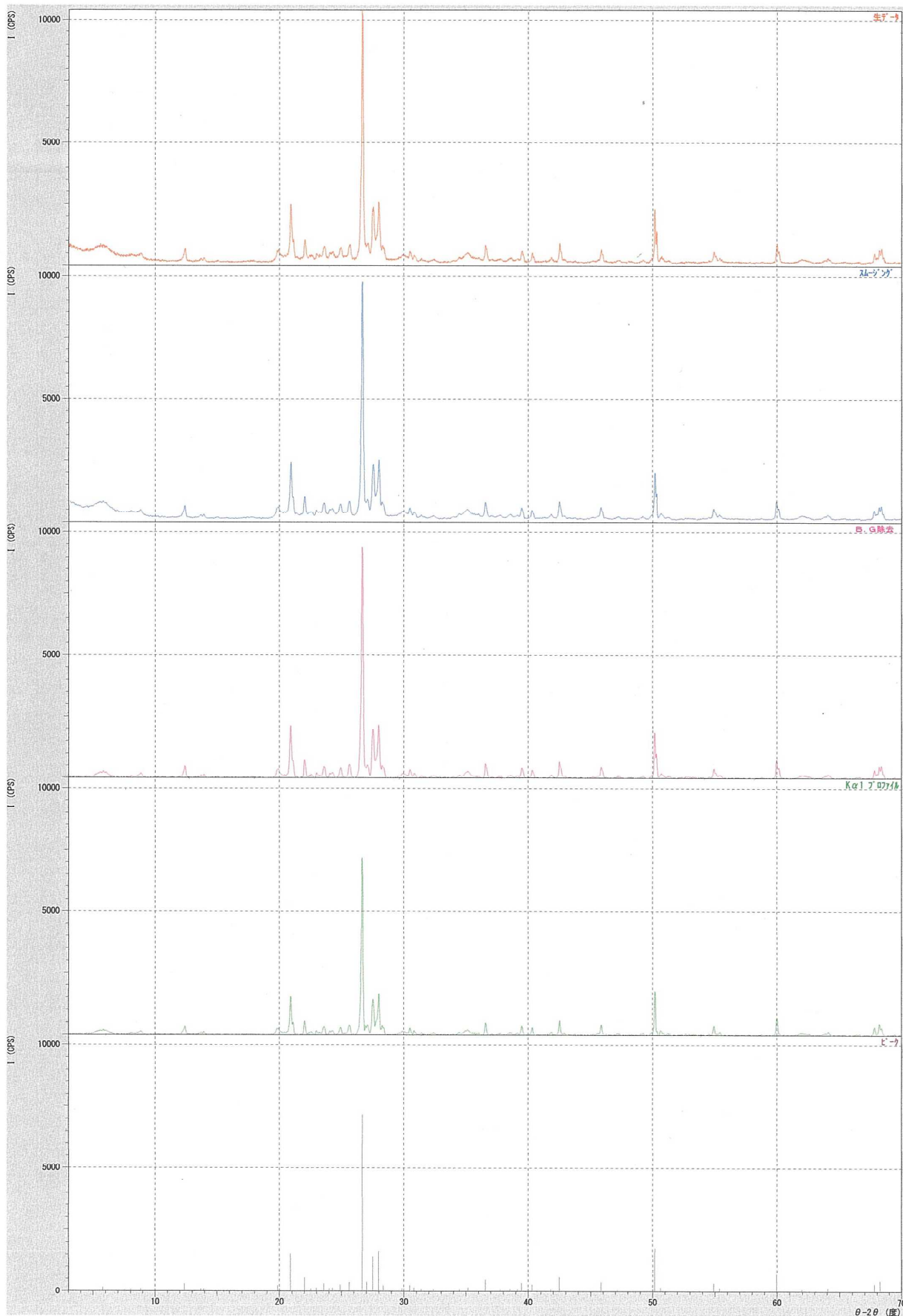
走査

駆動軸 : $\theta - 2\theta$
範囲 : 3.0200 - 70.0000 (度)
モード : 連続 スキャン
速度 : 2.0000 (度/分)
ステップ : 0.0200 (度)
計数時間 : 0.60 (秒)

データ処理条件

スムージング : [自動]
平滑化点数 : 9
バックグラウンド除去 : [自動]
サンプル間隔 : 9
繰り返し回数 : 30
Ka1-a2 分離 : [手動]
Ka1-a2 比 : 50 (%)
ピークサーチ : [手動]
微分点数 : 21
半価幅しきい値 : 0.0500 (度)
強度しきい値 : 30 (par mil)
半価幅比 (n-1)/n : 2
系統誤差補正 : [NO]
内/外標準法補正 : [NO]

< グループ : I データ : 2021⑥ >

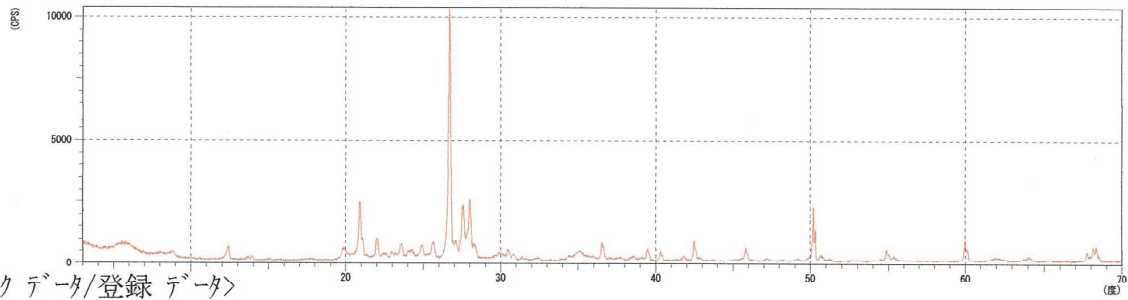


***** 検索結果 *****

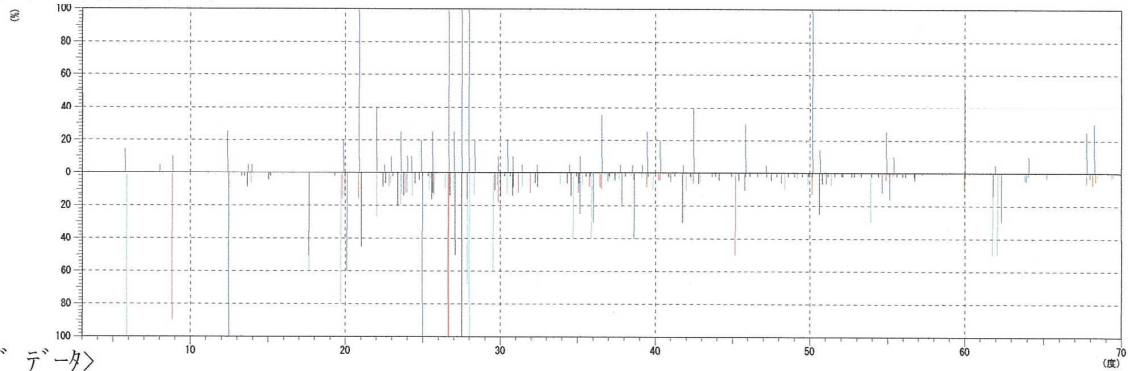
<未知データ>

グループ : I
データ : 2021⑥
ファイル : 2021⑥.PKR
サンプル : MSC4
コメント :
日付 & 時刻 : 21-02-21 09:19:47

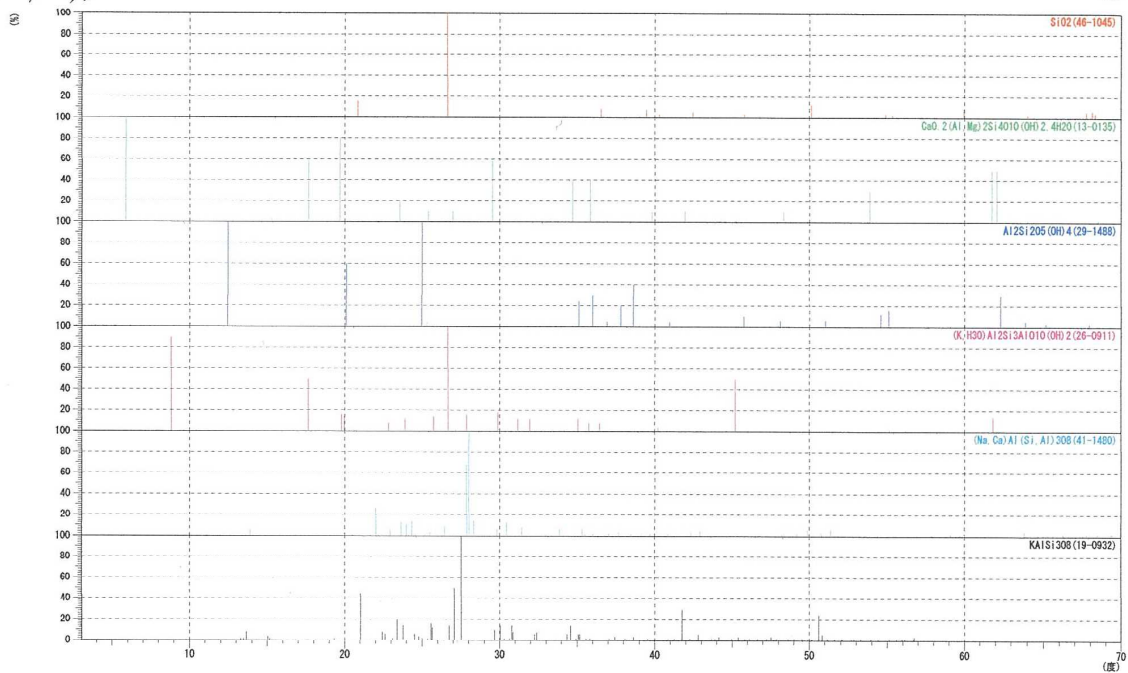
<プロファイル>



<ピークデータ/登録データ>



<カードデータ>



***** 検索結果 *****

グループ : I
 データ : 2021⑥
 ファイル : 2021⑥.PKR
 サンプル : MSC4
 コメント :

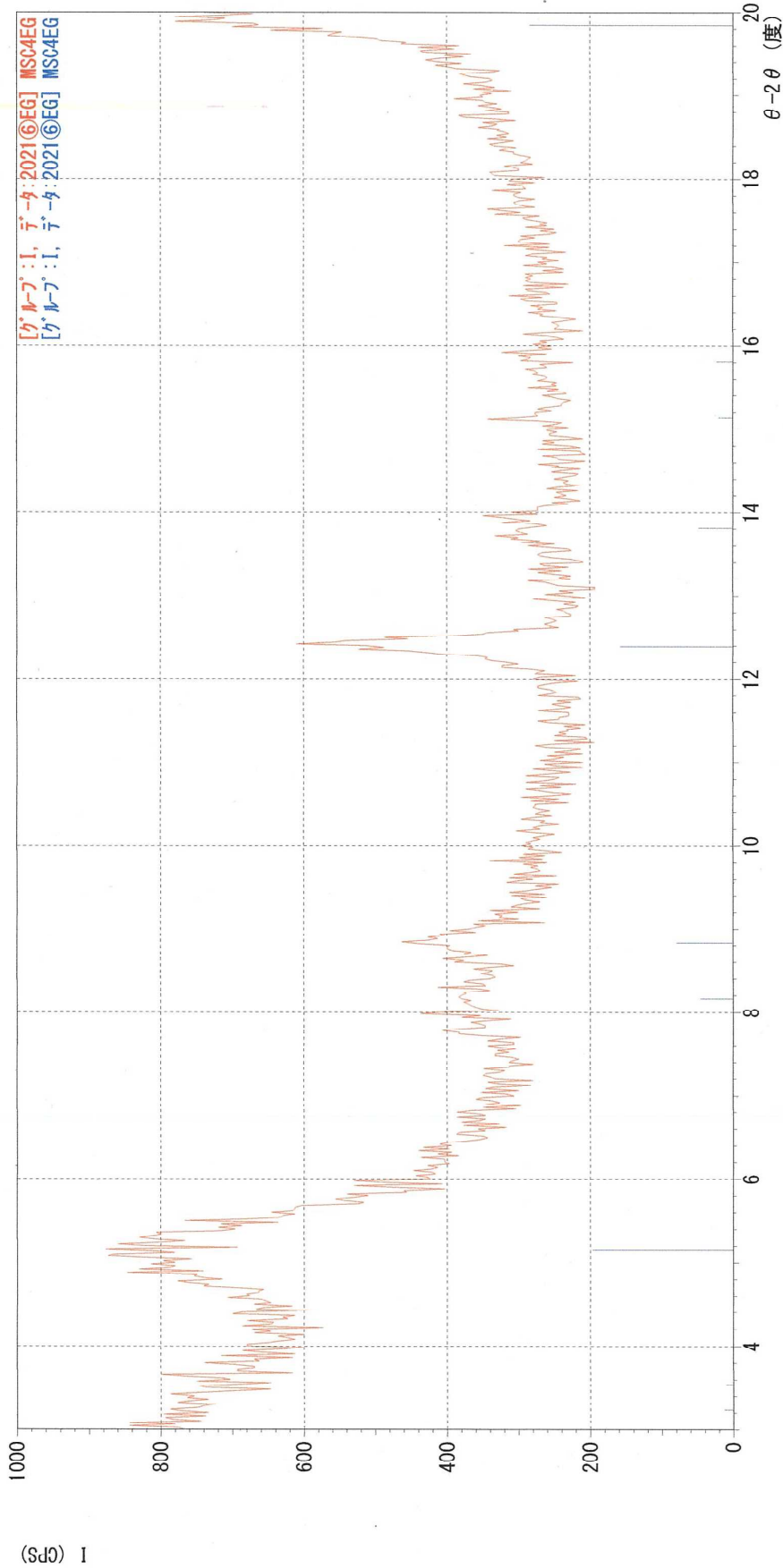
<登録カード>

| 番号 | カード | 化学式 化合物名 (鉱物名) | S | L | d | I | R |
|----|---------|--|-------|--------------|-------|-------|-------|
| | | | 密度 | | WT% | 空間群 | |
| 1 | 46-1045 | SiO ₂ Silicon Oxide (Quartz, syn) | 1.000 | 0.833(15/58) | 0.895 | 0.307 | 0.229 |
| | | | 2.65 | | | P3221 | |
| 2 | 13-0135 | Ca _{0.2} (Al, Mg) ₂ Si ₄ O ₁₀ (OH) ₂ ·4H ₂ O Calcium Magnesium Aluminum Silicate Hydrox | 0.282 | 0.667(10/17) | 0.638 | 0.363 | 0.154 |
| | | | 2.10 | | | P | |
| 3 | 29-1488 | Al ₂ Si ₂ O ₅ (OH) ₄ Aluminum Silicate Hydroxide (Kaolinite-1¥ | 0.326 | 0.737(14/21) | 0.671 | 0.329 | 0.162 |
| | | | 2.60 | | | A*/* | |
| 4 | 26-0911 | (K, H ₃ O)Al ₂ Si ₃ AlO ₁₀ (OH) ₂ Potassium Aluminum Silicate Hydroxide (Il | 0.656 | 0.778(14/18) | 0.736 | 0.372 | 0.213 |
| | | | 2.82 | | | A2/a | |
| 5 | 41-1480 | (Na, Ca)Al(Si, Al) ₃ O ₈ Sodium Calcium Aluminum Silicate (Albite, | 0.964 | 0.492(31/71) | 0.759 | 0.327 | 0.122 |
| | | | 2.64 | | | P-1 | |
| 6 | 19-0932 | KAlSi ₃ O ₈ Potassium Aluminum Silicate (Microcline, | 0.794 | 0.367(29/79) | 0.788 | 0.312 | 0.090 |
| | | | 2.57 | | | P-1 | |

*** マルチプロット ***

ファイル名 : I¥2021⑥EG
 サンプル名 : MSC4EG
 分析日時 : 21-02-21 09:57:59
 分析条件
 X線管球 : Cu (1.54060 Å) 管電圧 : 40.0 kV 管電流 : 30.0 mA
 測定範囲 : 3.0000 ~ 20.0000 度 ステップ幅 : 0.0200 度
 計数時間 : 0.60 秒 スリット DS : 1.00 度 SS : 1.00 度 RS : 0.30 mm

コメント :



I¥2021⑥EG MSC4EG
 I¥2021⑥EG MSC4EG
 連続スキャン 2.0 度/分 0.60 秒 0.020 度 21-02-21 09:57:59
 連続スキャン 2.0 度/分 0.60 秒 0.020 度 21-02-21 09:57:59

*** 基本データ処理 ***

グループ : I
データ : 2021⑥EG

| # | 3 強線 番号 | ピーク 番号 | 2θ (度) | d (Å) | I/I1 | 半価幅 (度) | 強度 (Counts) | 積分強度 (Counts) |
|---|------------|-----------|-----------|----------|------|------------|----------------|------------------|
| 1 | 10 | | 19.8400 | 4.47139 | 100 | 0.45000 | 171 | 2889 |
| 2 | 3 | | 5.1550 | 17.12893 | 69 | 0.87000 | 118 | 5339 |
| 3 | 6 | | 12.3930 | 7.13646 | 56 | 0.36890 | 95 | 1872 |

| # | ピーク 番号 | データ リスト | 2θ (度) | d (Å) | I/I1 | 半価幅 (度) | 強度 (Counts) | 積分強度 (Counts) |
|----|-----------|------------|-----------|----------|------|------------|----------------|------------------|
| 1 | | | 3.2366 | 27.27604 | 5 | 0.19330 | 8 | 68 |
| 2 | | | 3.5400 | 24.93896 | 4 | 0.52000 | 6 | 146 |
| 3 | | | 5.1550 | 17.12893 | 69 | 0.87000 | 118 | 5339 |
| 4 | | | 8.1600 | 10.82653 | 16 | 0.84000 | 28 | 1028 |
| 5 | | | 8.8300 | 10.00649 | 28 | 0.46000 | 48 | 1128 |
| 6 | | | 12.3930 | 7.13646 | 56 | 0.36890 | 95 | 1872 |
| 7 | | | 13.8100 | 6.40723 | 17 | 0.42000 | 29 | 622 |
| 8 | | | 15.1400 | 5.84724 | 7 | 0.36000 | 12 | 206 |
| 9 | | | 15.8100 | 5.60092 | 8 | 0.50000 | 14 | 337 |
| 10 | | | 19.8400 | 4.47139 | 100 | 0.45000 | 171 | 2889 |

*** 基本データ処理 ***

データ情報

グループ : I
 データ : 2021⑥EG
 サンプル名 : MSC4EG
 コメント :
 日付 & 時刻 : 21-02-21 09:57:59

測定条件

X線

ターゲット : Cu
 管電圧 : 40.0 (kV)
 管電流 : 30.0 (mA)

スリット

Auto Slit : not Used
 ダイバージェンス : 1.00 (度)
 スキャリング : 1.00 (度)
 レジピンング : 0.30 (mm)

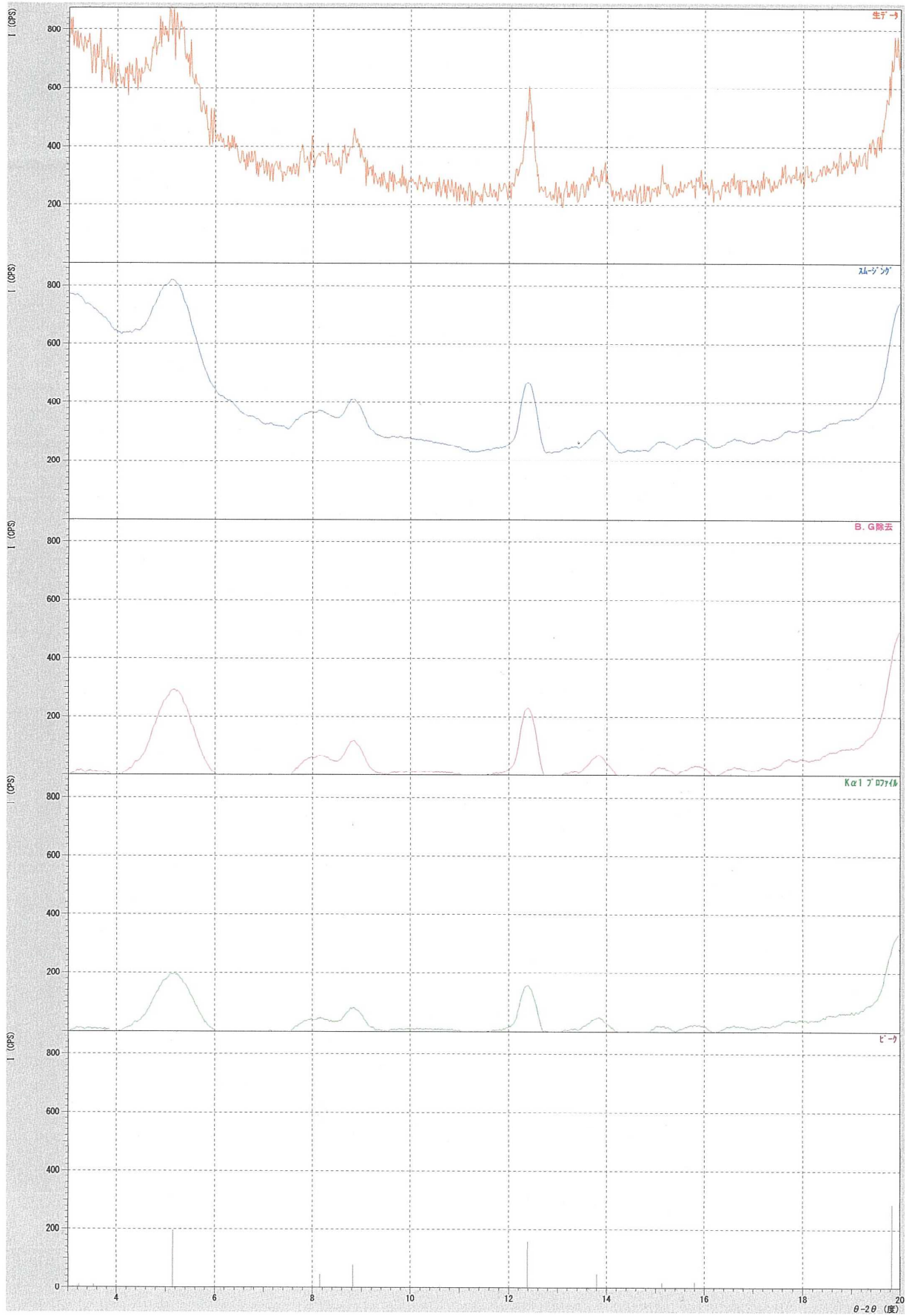
走査

駆動軸 : $\theta - 2\theta$
 範囲 : 3.0200 - 20.0000 (度)
 モード : 連続 スキャン
 速度 : 2.0000 (度/分)
 ステップ : 0.0200 (度)
 計数時間 : 0.60 (秒)

データ処理条件

スムージング : [手動]
 平滑化点数 : 31
 バックグラウンド除去 : [自動]
 サプリング間隔 : 51
 繰り返し回数 : 30
 Kal-a2 分離 : [手動]
 Kal-a2 比 : 50 (%)
 ピークサーチ : [手動]
 微分点数 : 31
 半価幅しきい値 : 0.0500 (度)
 強度しきい値 : 30 (par mil)
 半価幅比 (n-1)/n : 2
 系統誤差補正 : [NO]
 内/外標準法補正 : [NO]

< グループ : I データ : 2021⑥EG >



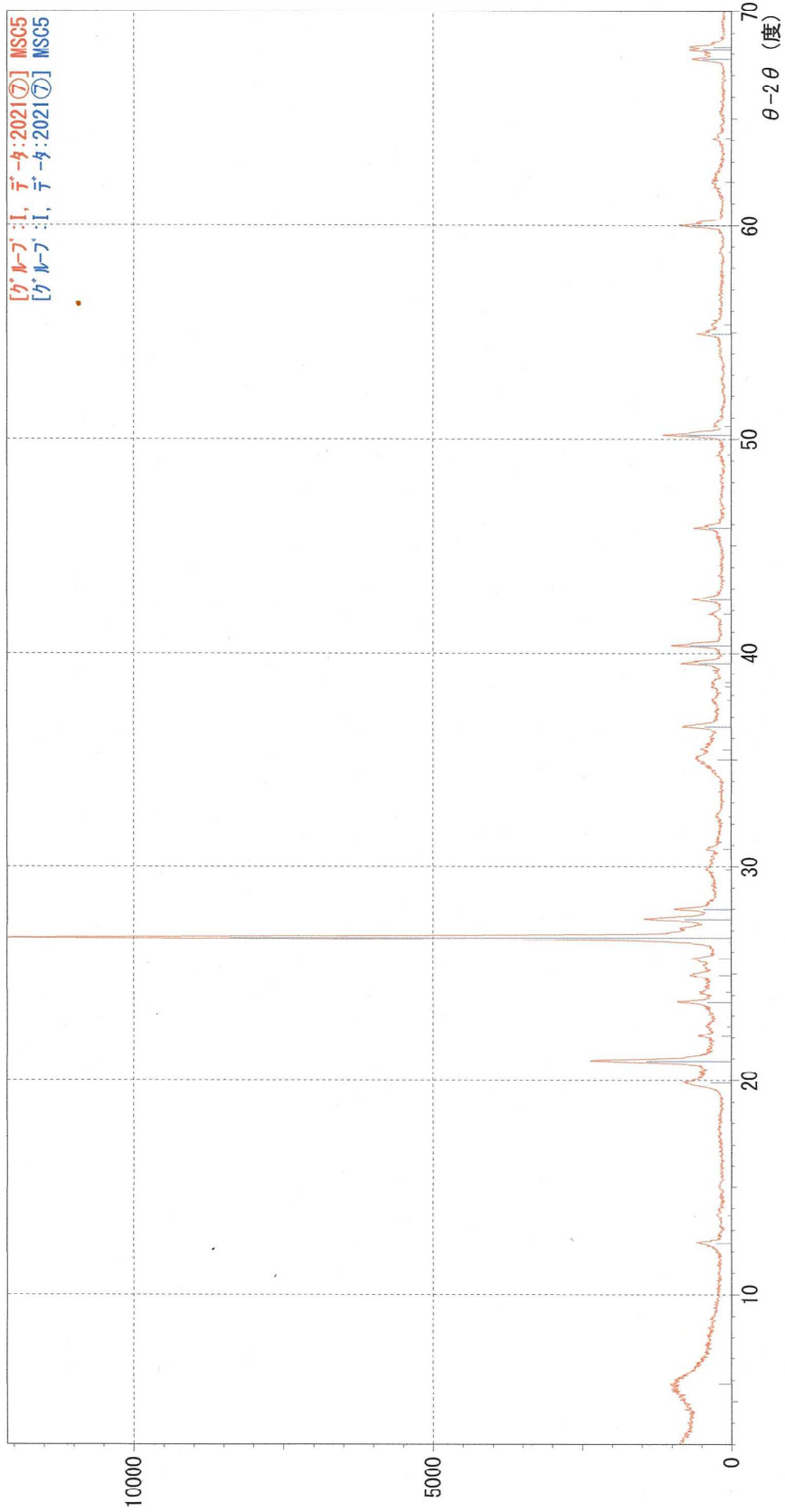
XRD 分析

MSC5

*** マルチプロット ***

ファイル名 : IY2021⑦
 サンプル名 : MSC5
 分析日時 : 21-02-21 10:09:15
 分析条件
 X線管球 : Cu(1.54060 Å) 管電圧 : 40.0 kV 管電流 : 30.0 mA
 測定範囲 : 3.0000 ~ 70.0000 度 ステップ幅 : 0.0200 度
 計数時間 : 0.60 秒 スリット DS : 1.00 度 SS : 1.00 度 RS : 0.30 mm

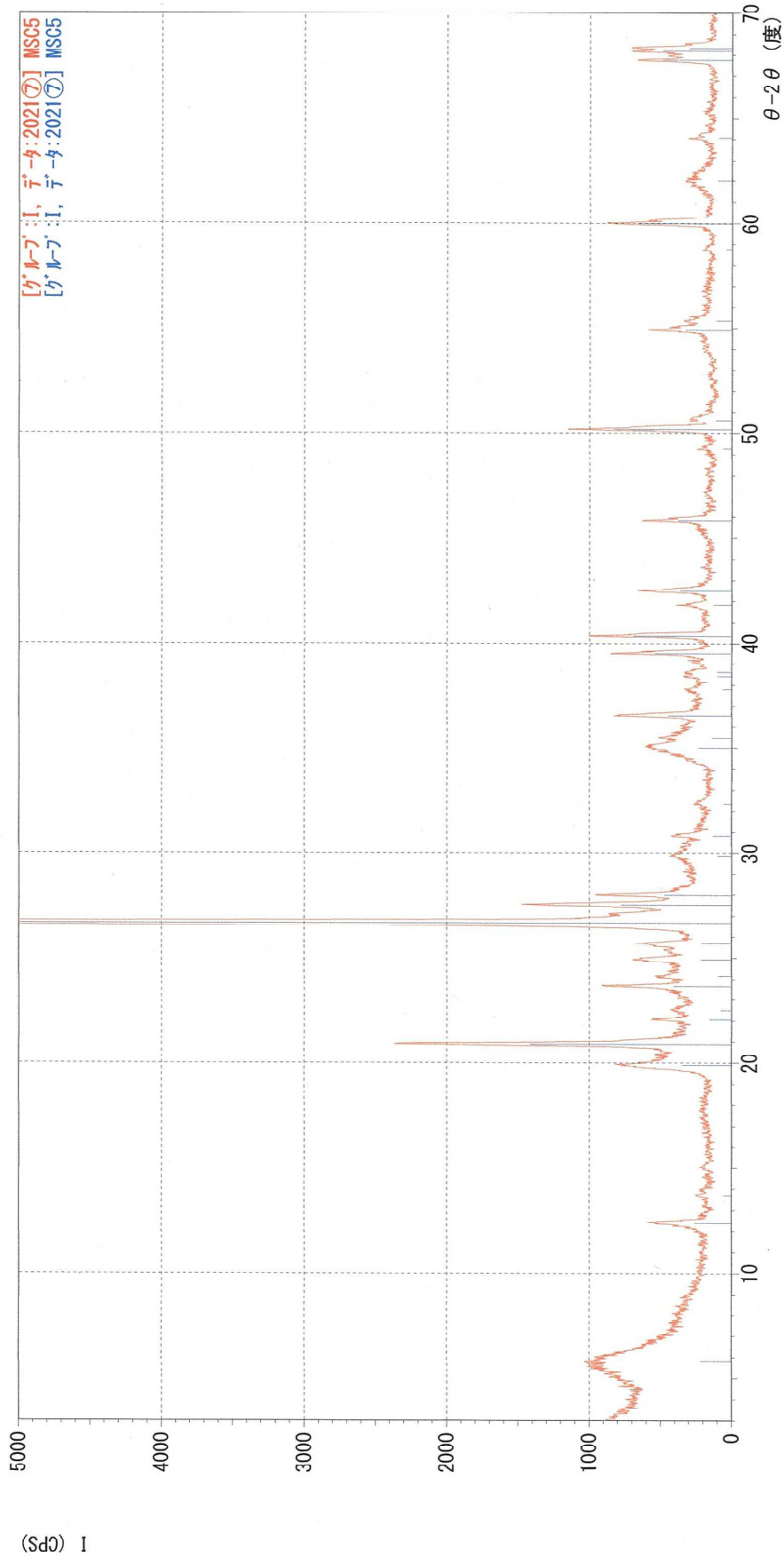
コメント :



IY2021⑦ MSC5
 IY2021⑦ MSC5
 連続スキャン 2.0 度/分 0.60 秒 0.020 度 21-02-21 10:09:15
 連続スキャン 2.0 度/分 0.60 秒 0.020 度 21-02-21 10:09:15

*** マルチプロット ***

ファイル名 : IY2021⑦
サンプル名 : MSC5
分析日時 : 21-02-21 10:09:15
分析条件
X線管球 : Cu(1.54060 Å) 管電圧 : 40.0 kV 管電流 : 30.0 mA
測定範囲 : 3.0000 ~ 70.0000 度 ステップ幅 : 0.0200 度
計数時間 : 0.60 秒 スリット DS : 1.00 度 SS : 1.00 度 RS : 0.30 mm

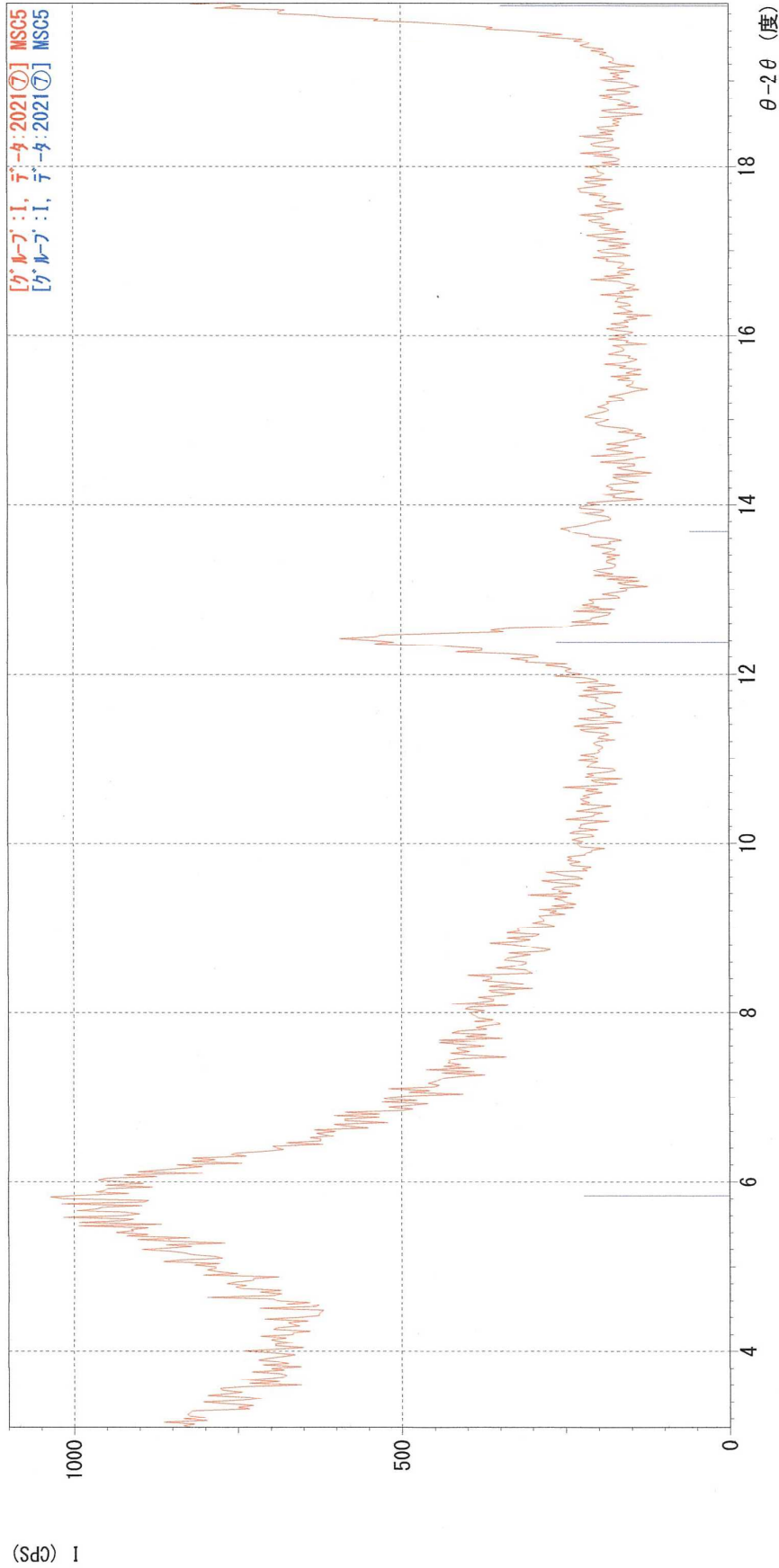


IY2021⑦ MSC5
IY2021⑦ MSC5
連続スキャン 2.0 度/分 0.60 秒 0.020 度 21-02-21 10:09:15
連続スキャン 2.0 度/分 0.60 秒 0.020 度 21-02-21 10:09:15

*** マルチプロット ***

ファイル名 : IY2021⑦
サンプル名 : MSC5
分析日時 : 21-02-21 10:09:15
分析条件
X線管球 : Cu(1.54060 Å) 管電圧 : 40.0 kV 管電流 : 30.0 mA
測定範囲 : 3.0000 ~ 70.0000 度 ステップ幅 : 0.0200 度
計数時間 : 0.60 秒 スリット DS : 1.00 度 SS : 1.00 度 RS : 0.30 mm

コメント :



IY2021⑦ MSC5
IY2021⑦ MSC5
連続スキャン 2.0 度/分 0.60 秒 0.020 度 21-02-21 10:09:15
連続スキャン 2.0 度/分 0.60 秒 0.020 度 21-02-21 10:09:15

*** 基本データ処理 ***

グループ : I
データ : 2021⑦

| # | 3 強線 番号 | ピーク 番号 | 2θ (度) | d (Å) | I/I1 | 半価幅 (度) | 強度 (Counts) | 積分強度 (Counts) |
|---|------------|-----------|-----------|----------|------|------------|----------------|------------------|
| 1 | 12 | | 26.6697 | 3.33981 | 100 | 0.15170 | 5038 | 44011 |
| 2 | 5 | | 20.8855 | 4.24986 | 17 | 0.16520 | 851 | 9048 |
| 3 | 30 | | 50.1641 | 1.81711 | 10 | 0.14450 | 498 | 4163 |

| # | ピーク 番号 | データ リスト | 2θ (度) | d (Å) | I/I1 | 半価幅 (度) | 強度 (Counts) | 積分強度 (Counts) |
|----|-----------|------------|-----------|----------|------|------------|----------------|------------------|
| 1 | | | 5.8339 | 15.13705 | 3 | 0.19700 | 134 | 1257 |
| 2 | | | 12.3819 | 7.14284 | 3 | 0.22890 | 158 | 2525 |
| 3 | | | 13.6905 | 6.46289 | 1 | 0.16040 | 36 | 279 |
| 4 | | | 19.8858 | 4.46120 | 4 | 0.36040 | 209 | 5168 |
| 5 | | | 20.8855 | 4.24986 | 17 | 0.16520 | 851 | 9048 |
| 6 | | | 22.0610 | 4.02600 | 2 | 0.11430 | 93 | 497 |
| 7 | | | 22.5148 | 3.94587 | 1 | 0.11960 | 45 | 252 |
| 8 | | | 23.6393 | 3.76065 | 5 | 0.12390 | 245 | 2166 |
| 9 | | | 24.1400 | 3.68377 | 1 | 0.12740 | 58 | 348 |
| 10 | | | 24.9165 | 3.57070 | 3 | 0.21460 | 130 | 1330 |
| 11 | | | 25.6787 | 3.46641 | 3 | 0.16280 | 128 | 979 |
| 12 | | | 26.6697 | 3.33981 | 100 | 0.15170 | 5038 | 44011 |
| 13 | | | 27.5347 | 3.23683 | 9 | 0.16900 | 467 | 4567 |
| 14 | | | 27.9806 | 3.18625 | 6 | 0.12310 | 283 | 2402 |
| 15 | | | 29.8514 | 2.99069 | 1 | 0.16140 | 59 | 461 |
| 16 | | | 30.8096 | 2.89982 | 2 | 0.10950 | 81 | 423 |
| 17 | | | 32.3400 | 2.76601 | 1 | 0.17680 | 33 | 282 |
| 18 | | | 34.9974 | 2.56182 | 3 | 0.20510 | 139 | 1345 |
| 19 | | | 35.4800 | 2.52808 | 2 | 0.13380 | 83 | 527 |
| 20 | | | 36.5697 | 2.45521 | 5 | 0.13780 | 271 | 2146 |
| 21 | | | 37.7898 | 2.37869 | 1 | 0.17040 | 41 | 333 |
| 22 | | | 38.4337 | 2.34031 | 1 | 0.10010 | 62 | 303 |
| 23 | | | 38.6238 | 2.32923 | 1 | 0.11910 | 63 | 354 |
| 24 | | | 39.4932 | 2.27993 | 6 | 0.12710 | 325 | 2621 |
| 25 | | | 40.3441 | 2.23379 | 8 | 0.12820 | 414 | 3104 |
| 26 | | | 41.8448 | 2.15708 | 1 | 0.12890 | 75 | 458 |
| 27 | | | 42.4804 | 2.12626 | 4 | 0.14510 | 220 | 2001 |
| 28 | | | 45.8231 | 1.97863 | 5 | 0.12720 | 227 | 2149 |
| 29 | | | 49.2806 | 1.84760 | 1 | 0.13580 | 39 | 258 |
| 30 | | | 50.1641 | 1.81711 | 10 | 0.14450 | 498 | 4163 |
| 31 | | | 50.6167 | 1.80192 | 1 | 0.14140 | 70 | 479 |
| 32 | | | 54.9152 | 1.67060 | 4 | 0.15050 | 196 | 2183 |
| 33 | | | 55.3600 | 1.65822 | 1 | 0.14310 | 70 | 472 |
| 34 | | | 58.7400 | 1.57061 | 1 | 0.12280 | 24 | 142 |
| 35 | | | 59.9877 | 1.54089 | 8 | 0.15650 | 398 | 3668 |
| 36 | | | 61.9974 | 1.49567 | 1 | 0.16390 | 62 | 490 |
| 37 | | | 64.0800 | 1.45200 | 1 | 0.09540 | 58 | 264 |
| 38 | | | 67.7615 | 1.38179 | 6 | 0.15200 | 296 | 2505 |
| 39 | | | 68.1800 | 1.37432 | 6 | 0.19220 | 295 | 2524 |
| 40 | | | 68.3400 | 1.37149 | 4 | 0.19240 | 184 | 1760 |

*** 基本データ処理 ***

データ情報

グループ : I
 データ : 2021⑦
 サンプル名 : MSC5
 コメント :
 日付 & 時刻 : 21-02-21 10:09:15

測定条件

X線

ターゲット : Cu
 管電圧 : 40.0 (kV)
 管電流 : 30.0 (mA)

スリット

Auto Slit : not Used
 ダイバージェンス : 1.00 (度)
 スキャタリング : 1.00 (度)
 レジピンク : 0.30 (mm)

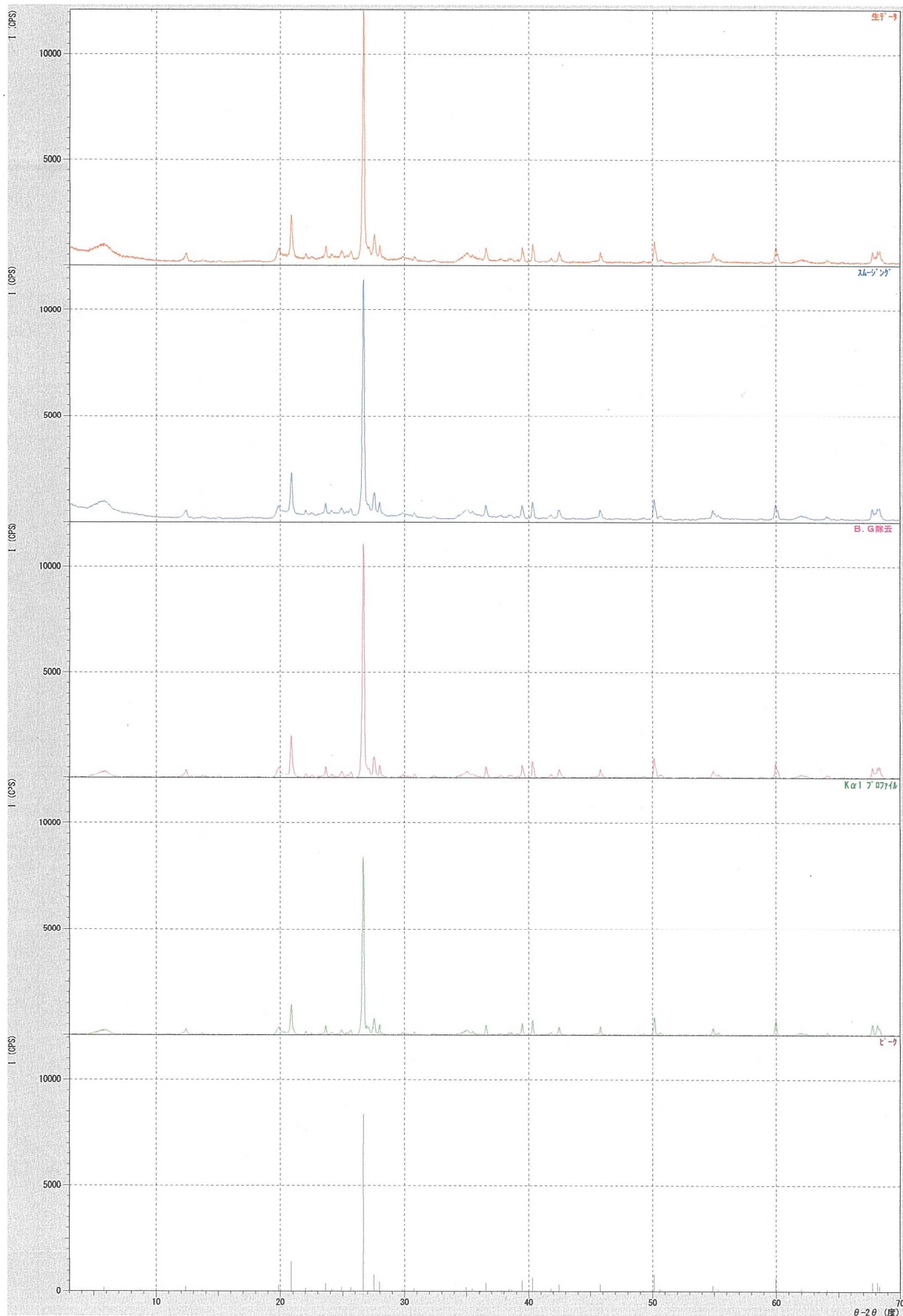
走査

駆動軸 : $\theta - 2\theta$
 範囲 : 3.0200 - 70.0000 (度)
 モード : 連続 スキャン
 速度 : 2.0000 (度/分)
 ステップ : 0.0200 (度)
 計数時間 : 0.60 (秒)

データ処理条件

スムージング : [自動]
 平滑化点数 : 9
 バックグラウンド除去 : [自動]
 サンプル間隔 : 9
 繰り返し回数 : 30
 Ka1-a2 分離 : [手動]
 Ka1-a2 比 : 50 (%)
 ピークサーチ : [自動]
 微分点数 : 9
 半価幅しきい値 : 0.0500 (度)
 強度しきい値 : 30 (par mil)
 半価幅比 (n-1)/n : 2
 系統誤差補正 : [NO]
 内/外標準法補正 : [NO]

< グループ : I テーマ : 2021⑦ >

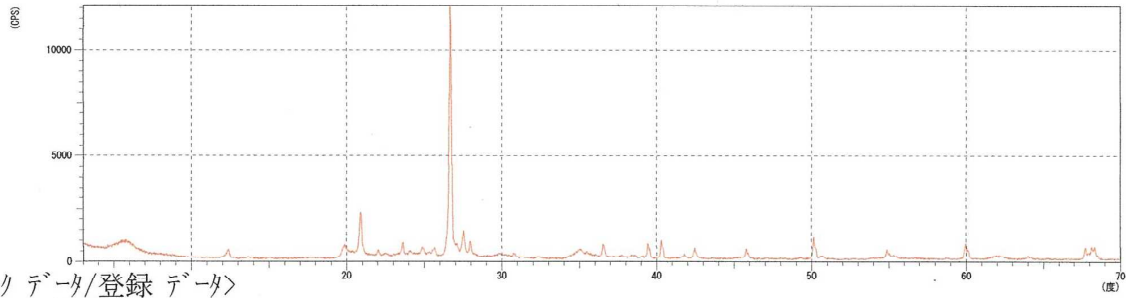


検索結果

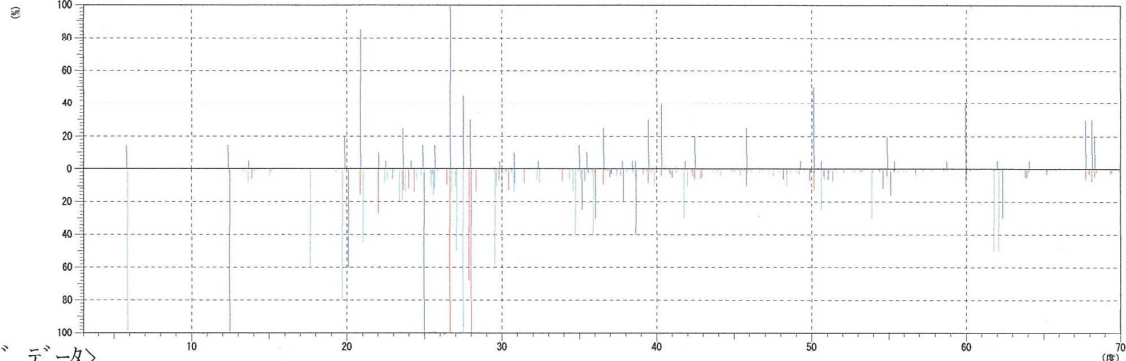
<未知データ>

グループ : I
データ : 2021⑦
ファイル : 2021⑦.PKR
サンプル : MSC5
コメント :
日付 & 時刻 : 21-02-21 10:09:15

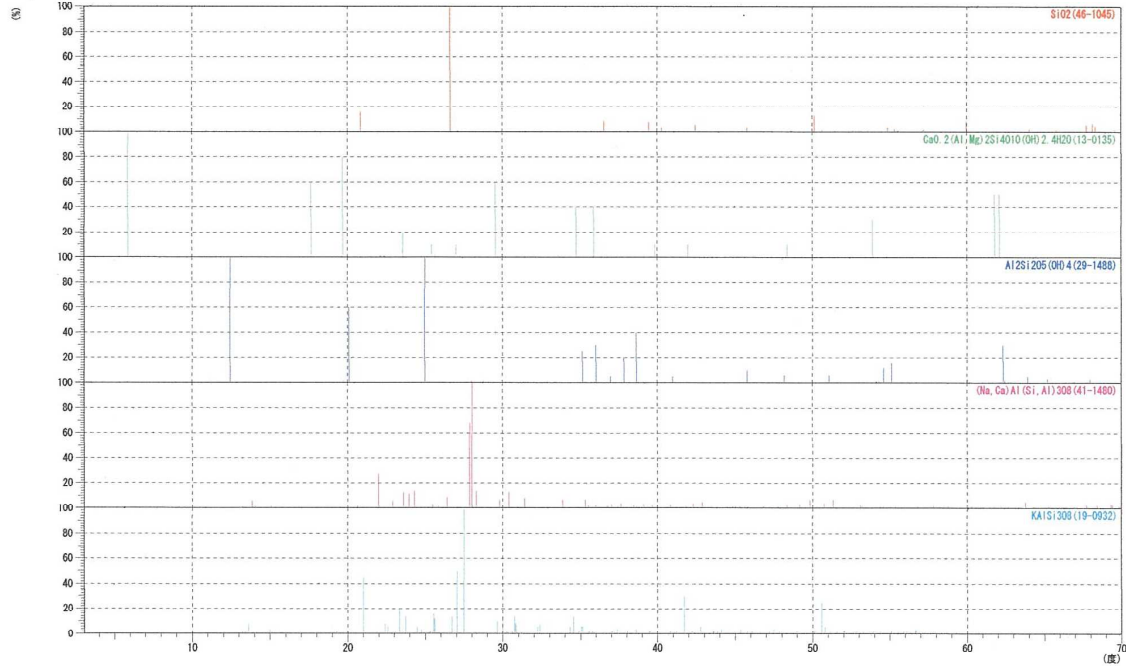
<プロフィール>



<ピークデータ/登録データ>



<カードデータ>



***** 検索結果 *****

グループ : I
 データ : 2021⑦
 ファイル : 2021⑦.PKR
 サンプル : MSC5
 コメント :

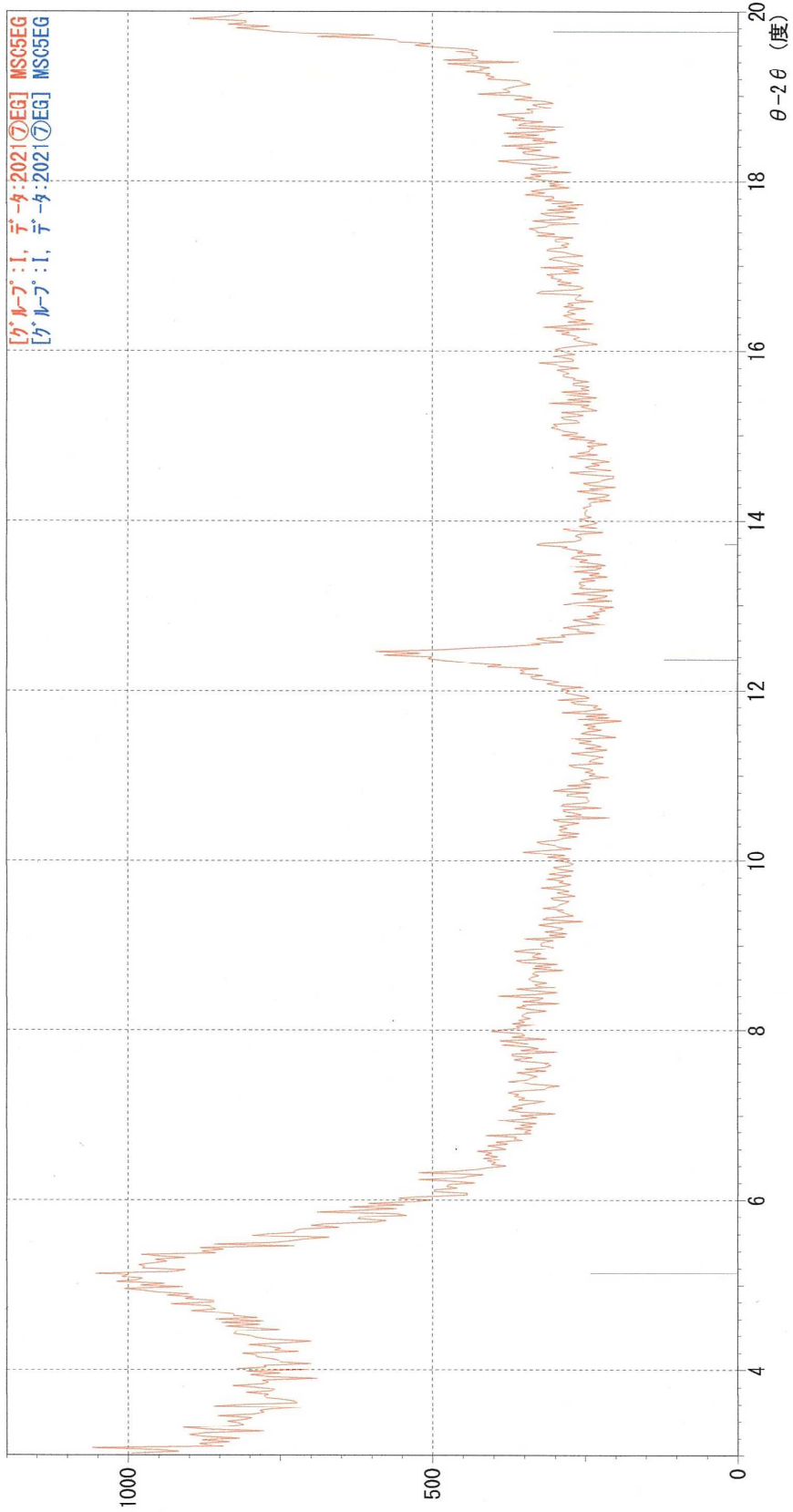
<登録カード>

| 番号 | カード | 化学式 化合物名 (鉱物名) | S | L | d | I | R |
|----|---------|---|-------|---------------|-------|-------|-------|
| | | | 密度 | | WT% | 空間群 | |
| 1 | 46-1045 | SiO ₂ Silicon Oxide (Quartz, syn) | 1.000 | 0.889 (16/58) | 0.942 | 0.370 | 0.310 |
| | | | | 2.65 | | P3221 | |
| 2 | 13-0135 | Ca _{0.2} (Al,Mg) ₂ Si ₄ O ₁₀ (OH) ₂ ·4H ₂ O Calcium Magnesium Aluminum Silicate Hydrox | 0.291 | 0.733 (11/17) | 0.553 | 0.294 | 0.119 |
| | | | | 2.10 | | P | |
| 3 | 29-1488 | Al ₂ Si ₂ O ₅ (OH) ₄ Aluminum Silicate Hydroxide (Kaolinite-1¥ | 0.300 | 0.737 (14/21) | 0.648 | 0.312 | 0.149 |
| | | | | 2.60 | | A*/* | |
| 4 | 41-1480 | (Na,Ca)Al(Si,Al) ₃ O ₈ Sodium Calcium Aluminum Silicate (Albite, | 0.579 | 0.460 (29/71) | 0.718 | 0.190 | 0.063 |
| | | | | 2.64 | | P-1 | |
| 5 | 19-0932 | KA1Si3O8 Potassium Aluminum Silicate (Microcline, | 0.620 | 0.316 (25/79) | 0.781 | 0.276 | 0.068 |
| | | | | 2.57 | | P-1 | |

*** マルチプロット ***

ファイル名 : IY2021⑦EG
サンプル名 : MSC5EG
分析日時 : 21-02-21 10:47:05
分析条件
X線管球 : Cu(1.54060 Å) 管電圧 : 40.0 kV 管電流 : 30.0 mA
測定範囲 : 3.0000 ~ 20.0000 度 ステップ幅 : 0.0200 度
計数時間 : 0.60 秒 スリット DS : 1.00 度 SS : 1.00 度 RS : 0.30 mm

コメント :



(Sd) 1

IY2021⑦EG MSC5EG
IY2021⑦EG MSC5EG
連続スキャン 2.0 度/分 0.60 秒 0.020 度 21-02-21 10:47:05
連続スキャン 2.0 度/分 0.60 秒 0.020 度 21-02-21 10:47:05

*** 基本データ処理 ***

グループ : I
データ : 2021⑦EG

| # | 3強線 番号 | ピーク 番号 | 2θ (度) | d (Å) | I/I1 | 半価幅 (度) | 強度 (Counts) | 積分強度 (Counts) |
|---|-----------|-----------|-----------|----------|------|------------|----------------|------------------|
| 1 | 4 | | 19.7600 | 4.48931 | 100 | 0.58660 | 182 | 6902 |
| 2 | 1 | | 5.1425 | 17.17054 | 80 | 0.93090 | 145 | 7128 |
| 3 | 2 | | 12.3700 | 7.14968 | 40 | 0.58000 | 72 | 2014 |

| # | ピーク 番号 | データ リスト | 2θ (度) | d (Å) | I/I1 | 半価幅 (度) | 強度 (Counts) | 積分強度 (Counts) |
|---|-----------|------------|-----------|----------|------|------------|----------------|------------------|
| 1 | | | 5.1425 | 17.17054 | 80 | 0.93090 | 145 | 7128 |
| 2 | | | 12.3700 | 7.14968 | 40 | 0.58000 | 72 | 2014 |
| 3 | | | 13.7300 | 6.44439 | 7 | 0.58000 | 13 | 349 |
| 4 | | | 19.7600 | 4.48931 | 100 | 0.58660 | 182 | 6902 |

*** 基本データ処理 ***

データ情報

グループ : I
データ : 2021⑦EG
サンプル名 : MSC5EG
コメント :
日付 & 時刻 : 21-02-21 10:47:05

測定条件

X線

ターゲット : Cu
管電圧 : 40.0 (kV)
管電流 : 30.0 (mA)

スリット

Auto Slit : not Used
ダイバージェンス : 1.00 (度)
スキャタリング : 1.00 (度)
リバーシング : 0.30 (mm)

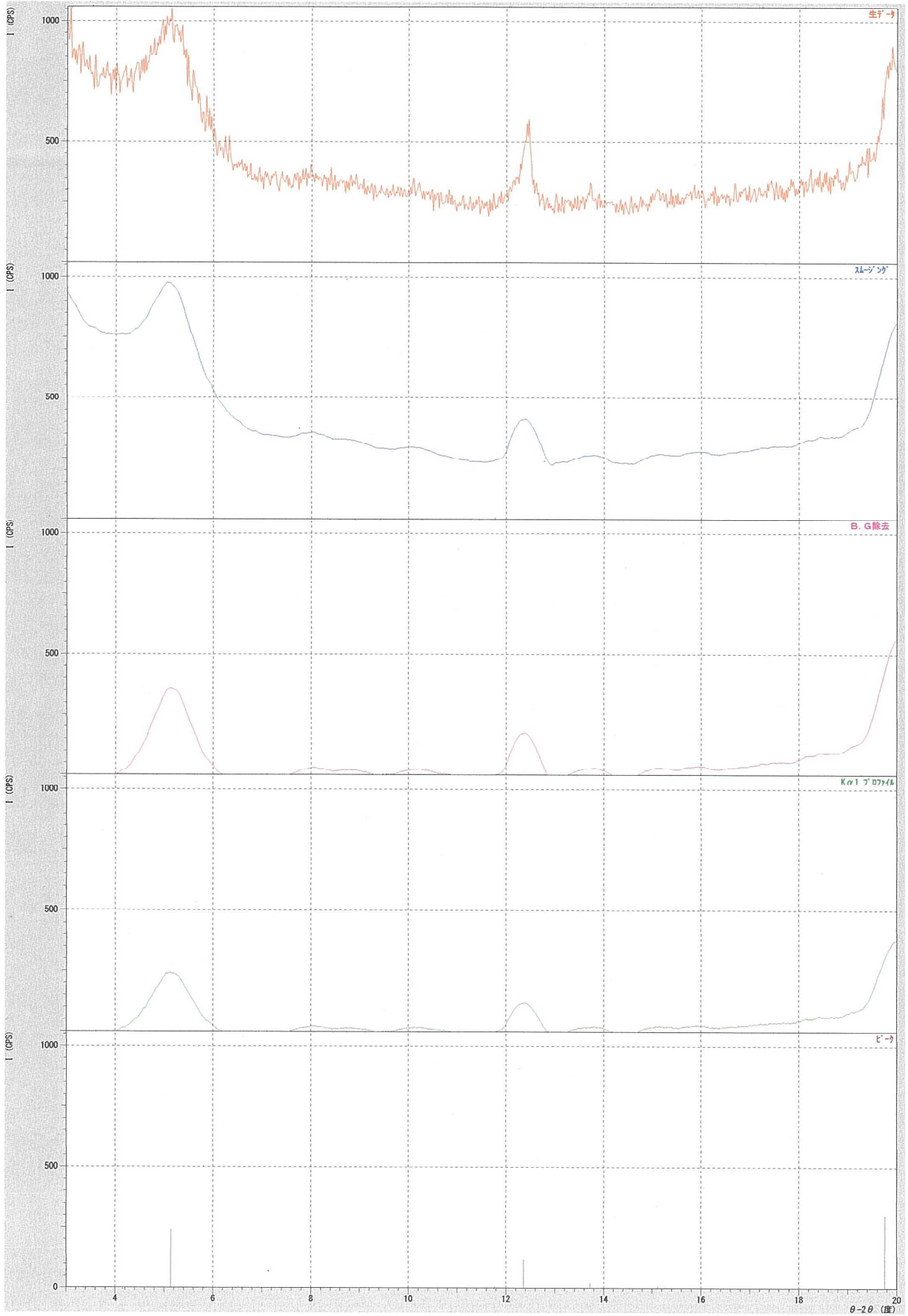
走査

駆動軸 : $\theta - 2\theta$
範囲 : 3.0200 - 20.0000 (度)
モード : 連続 スキャン
速度 : 2.0000 (度/分)
ステップ : 0.0200 (度)
計数時間 : 0.60 (秒)

データ処理条件

スムージング : [自動]
平滑化点数 : 51
バックグラウンド除去 : [自動]
サンプル間隔 : 51
繰り返し回数 : 30
Ka1-a2 分離 : [手動]
Ka1-a2 比 : 50 (%)
ピークサーチ : [自動]
微分点数 : 45
半価幅しきい値 : 0.0500 (度)
強度しきい値 : 30 (par mil)
半価幅比 (n-1)/n : 2
系統誤差補正 : [NO]
内/外標準法補正 : [NO]

< グループ : I データ : 2021⑦EG >



XRD 分析

MSL6

*** マルチプロット ***

ファイル名 : IY2021⑧

サンプル名 : MSL6

分析日時 : 21-02-21 10:58:26

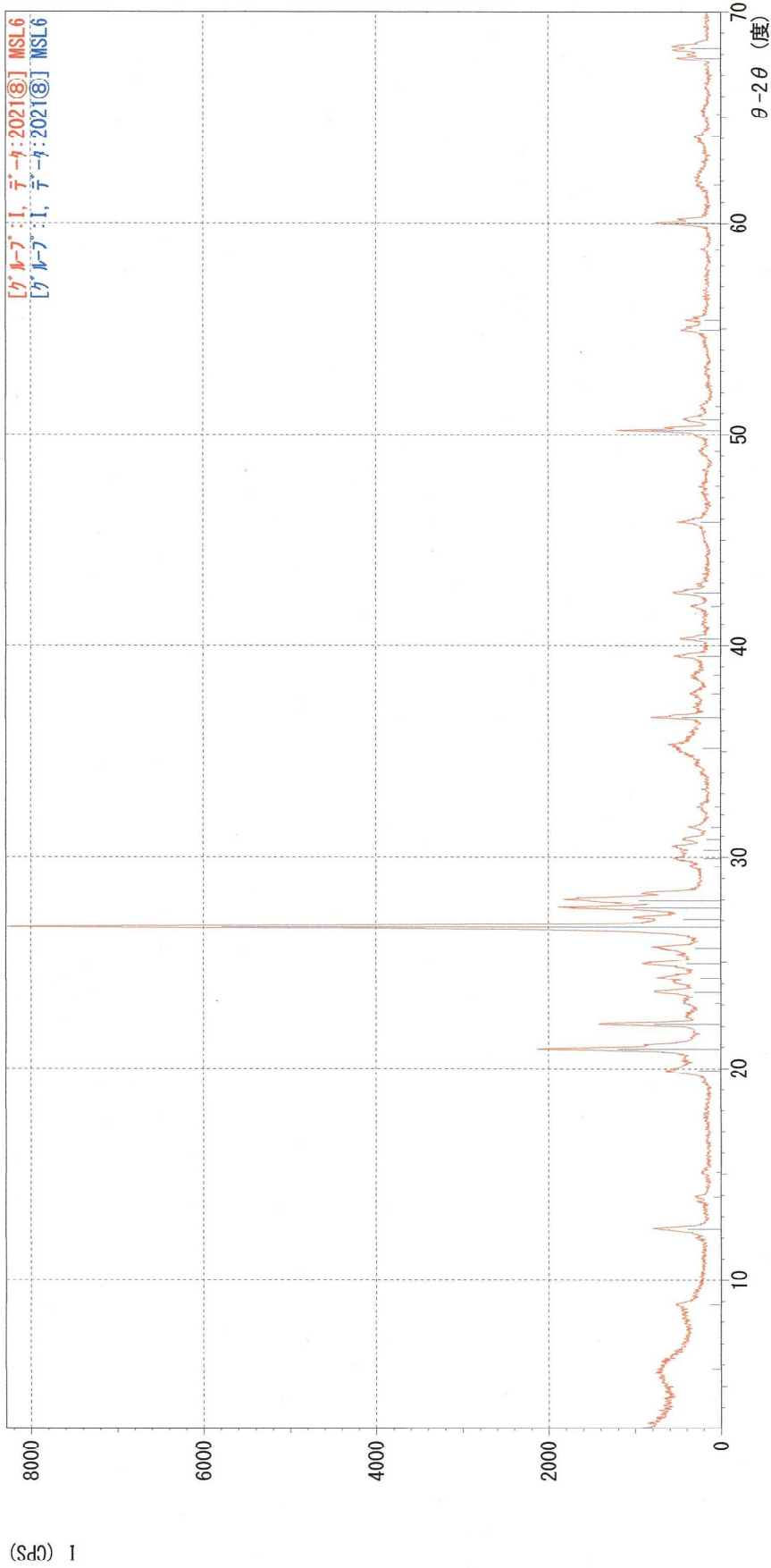
分析条件

X線管球 : Cu (1.54060 Å) 管電圧 : 40.0 kV 管電流 : 30.0 mA

測定範囲 : 3.0000 ~ 70.0000 度 ステップ幅 : 0.0200 度

計数時間 : 0.60 秒 スリット DS : 1.00 度 SS : 1.00 度 RS : 0.30 mm

コメント :



IY2021⑧
IY2021⑧

MSL6
MSL6

連続スキャン 2.0 度/分 0.60 秒 0.020 度 21-02-21 10:58:26
連続スキャン 2.0 度/分 0.60 秒 0.020 度 21-02-21 10:58:26

*** マルチプロット ***

ファイル名 : IY2021⑧

サンプル名 : MSL6

分析日時 : 21-02-21 10:58:26

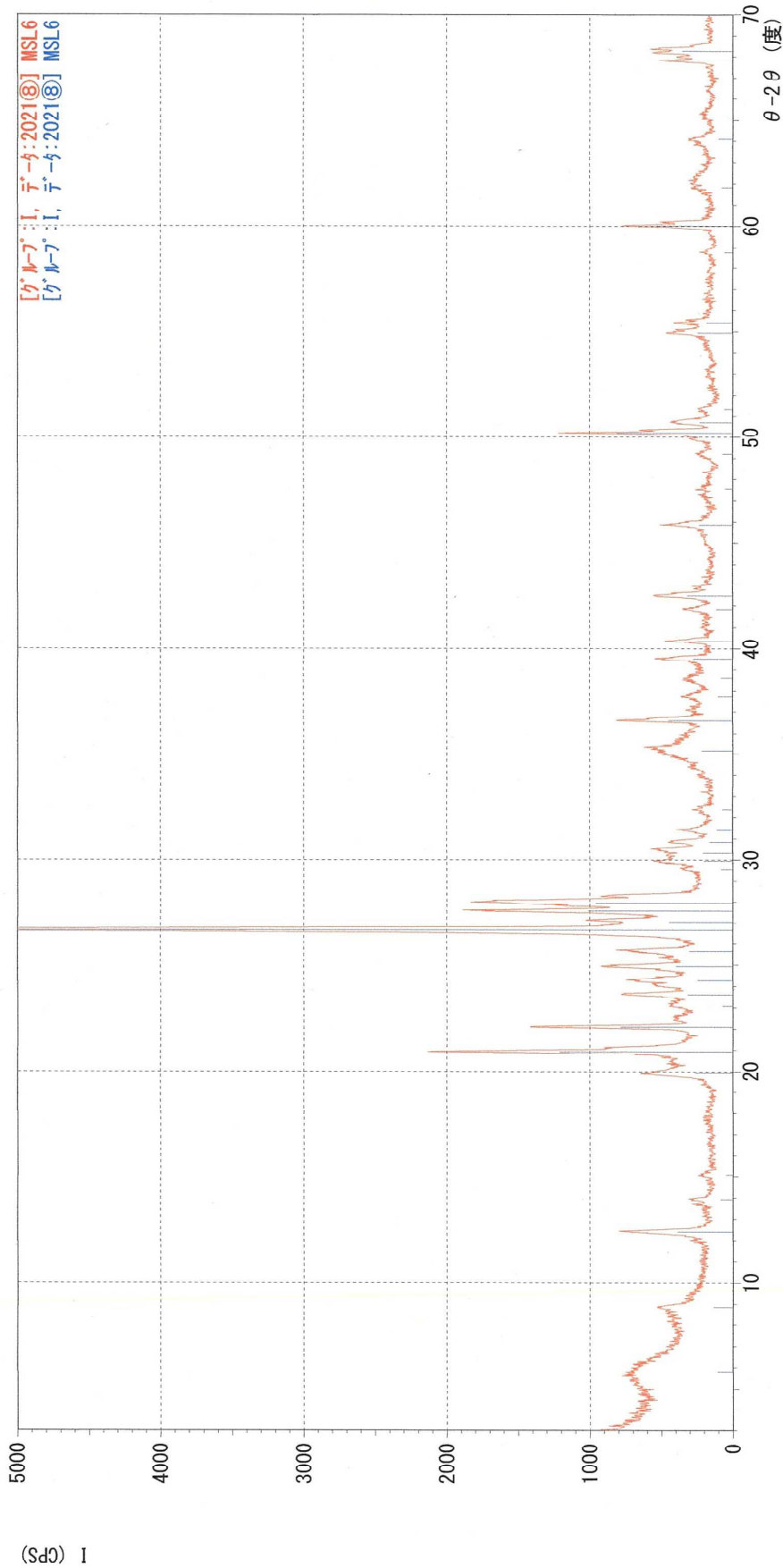
分析条件

X線管球 : Cu (1.54060 Å) 管電圧 : 40.0 kV 管電流 : 30.0 mA

測定範囲 : 3.0000 ~ 70.0000 度 ステップ幅 : 0.0200 度

計数時間 : 0.60 秒 スリット DS : 1.00 度 SS : 1.00 度 RS : 0.30 mm

コメント :



(8) 1

IY2021⑧
IY2021⑧

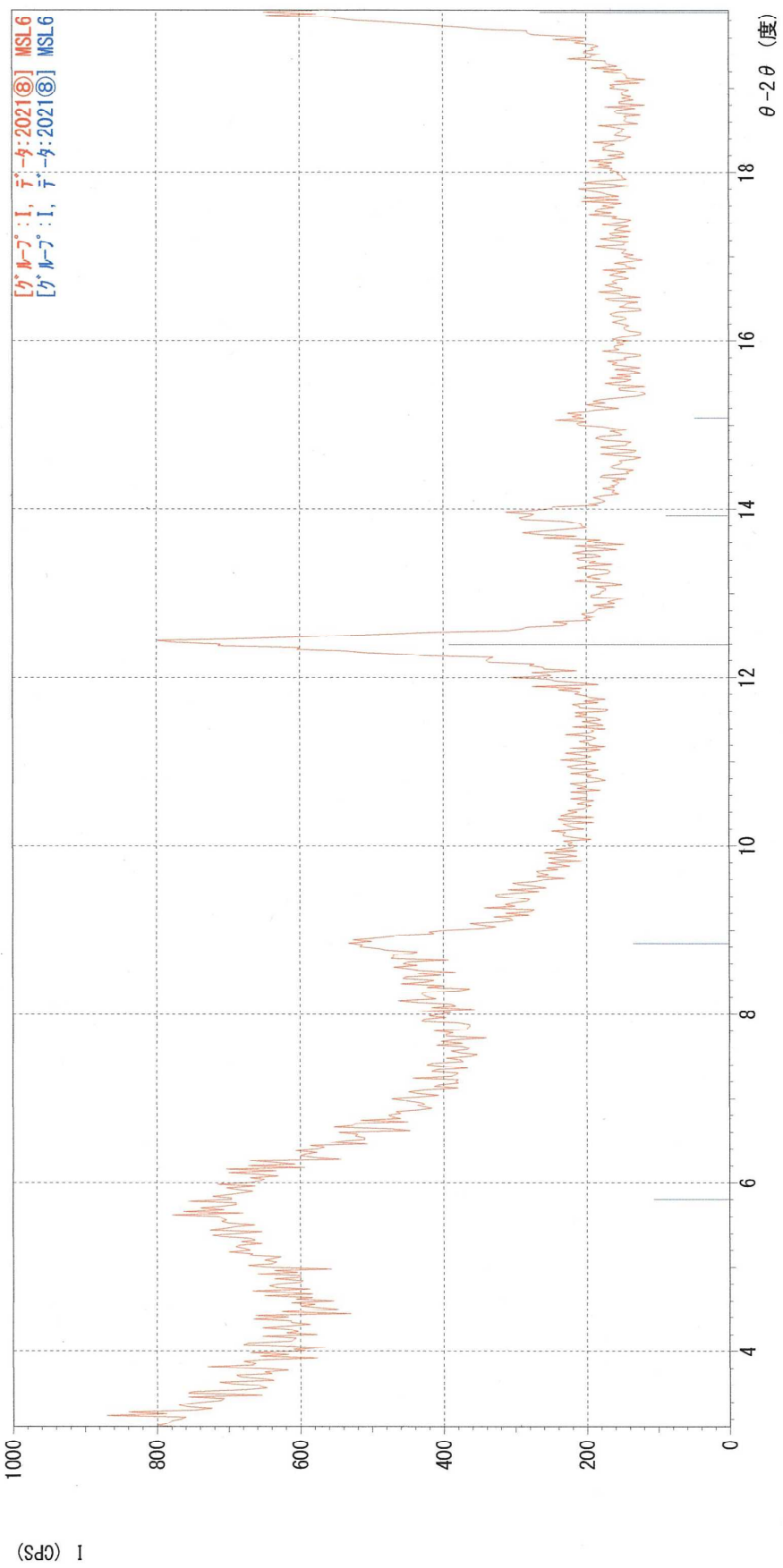
MSL6
MSL6

連続スキャン 2.0 度/分 0.60 秒 0.020 度 21-02-21 10:58:26
連続スキャン 2.0 度/分 0.60 秒 0.020 度 21-02-21 10:58:26

*** マルチプロット ***

ファイル名 : IY2021⑧
サンプル名 : MSL6
分析日時 : 21-02-21 10:58:26
分析条件
X線管球 : Cu(1.54060 Å) 管電圧 : 40.0 kV 管電流 : 30.0 mA
測定範囲 : 3.0000 ~ 70.0000 度 ステップ幅 : 0.0200 度
計数時間 : 0.60 秒 スリット DS : 1.00 度 SS : 1.00 度 RS : 0.30 mm

コメント :



IY2021⑧ MSL6 連続スキャン 2.0 度/分 0.60 秒 0.020 度 21-02-21 10:58:26
IY2021⑧ MSL6 連続スキャン 2.0 度/分 0.60 秒 0.020 度 21-02-21 10:58:26

*** 基本データ処理 ***

グループ : I
データ : 2021⑧

| # | 3強線 番号 | ピーク 番号 | 2θ (度) | d (Å) | I/I1 | 半価幅 (度) | 強度 (Counts) | 積分強度 (Counts) |
|---|-----------|-----------|-----------|----------|------|------------|----------------|------------------|
| 1 | 14 | | 26.6918 | 3.33710 | 100 | 0.13900 | 3475 | 28761 |
| 2 | 7 | | 20.9152 | 4.24389 | 21 | 0.15080 | 728 | 8313 |
| 3 | 16 | | 27.5620 | 3.23368 | 18 | 0.16330 | 609 | 5166 |

| # | ピーク 番号 | データ リスト | 2θ (度) | d (Å) | I/I1 | 半価幅 (度) | 強度 (Counts) | 積分強度 (Counts) |
|----|-----------|------------|-----------|----------|------|------------|----------------|------------------|
| 1 | | | 5.8013 | 15.22204 | 2 | 0.25440 | 64 | 761 |
| 2 | | | 8.8375 | 9.99801 | 2 | 0.23080 | 81 | 879 |
| 3 | | | 12.3942 | 7.13577 | 7 | 0.22630 | 235 | 3413 |
| 4 | | | 13.9236 | 6.35521 | 2 | 0.13000 | 53 | 325 |
| 5 | | | 15.0860 | 5.86805 | 1 | 0.14640 | 29 | 212 |
| 6 | | | 19.9025 | 4.45749 | 5 | 0.33270 | 159 | 3690 |
| 7 | | | 20.9152 | 4.24389 | 21 | 0.15080 | 728 | 8313 |
| 8 | | | 22.0801 | 4.02256 | 14 | 0.13790 | 474 | 3658 |
| 9 | | | 23.0763 | 3.85111 | 1 | 0.16320 | 44 | 346 |
| 10 | | | 23.6183 | 3.76394 | 5 | 0.15340 | 189 | 1679 |
| 11 | | | 24.2772 | 3.66326 | 4 | 0.20320 | 147 | 2287 |
| 12 | | | 24.9329 | 3.56839 | 7 | 0.17320 | 239 | 2511 |
| 13 | | | 25.6644 | 3.46831 | 5 | 0.22230 | 183 | 2614 |
| 14 | | | 26.6918 | 3.33710 | 100 | 0.13900 | 3475 | 28761 |
| 15 | | | 27.0574 | 3.29283 | 8 | 0.29280 | 266 | 4386 |
| 16 | | | 27.5620 | 3.23368 | 18 | 0.16330 | 609 | 5166 |
| 17 | | | 27.9462 | 3.19009 | 17 | 0.35480 | 574 | 9468 |
| 18 | | | 29.5390 | 3.02160 | 1 | 0.14020 | 49 | 323 |
| 19 | | | 29.9400 | 2.98204 | 3 | 0.30220 | 121 | 1926 |
| 20 | | | 30.3235 | 2.94519 | 4 | 0.52710 | 125 | 4040 |
| 21 | | | 30.8390 | 2.89713 | 3 | 0.13930 | 101 | 658 |
| 22 | | | 31.4148 | 2.84533 | 2 | 0.11720 | 68 | 386 |
| 23 | | | 32.3828 | 2.76245 | 1 | 0.10630 | 44 | 222 |
| 24 | | | 35.1489 | 2.55113 | 4 | 0.48990 | 130 | 5012 |
| 25 | | | 36.5937 | 2.45365 | 8 | 0.12740 | 272 | 2106 |
| 26 | | | 37.7558 | 2.38076 | 2 | 0.12030 | 62 | 351 |
| 27 | | | 38.5983 | 2.33071 | 1 | 0.15950 | 50 | 375 |
| 28 | | | 39.5201 | 2.27844 | 5 | 0.15180 | 166 | 1665 |
| 29 | | | 40.3509 | 2.23343 | 4 | 0.12800 | 153 | 1115 |
| 30 | | | 41.8345 | 2.15759 | 2 | 0.14710 | 69 | 494 |
| 31 | | | 42.4911 | 2.12575 | 5 | 0.15640 | 190 | 2005 |
| 32 | | | 45.8495 | 1.97755 | 4 | 0.16450 | 141 | 1704 |
| 33 | | | 47.5600 | 1.91034 | 1 | 0.08800 | 32 | 130 |
| 34 | | | 49.2156 | 1.84988 | 1 | 0.12610 | 44 | 271 |
| 35 | | | 50.1957 | 1.81604 | 14 | 0.13070 | 487 | 3995 |
| 36 | | | 50.7011 | 1.79911 | 4 | 0.19770 | 139 | 1682 |
| 37 | | | 51.3200 | 1.77886 | 1 | 0.25940 | 37 | 449 |
| 38 | | | 54.9379 | 1.66996 | 4 | 0.15920 | 149 | 1699 |
| 39 | | | 55.4126 | 1.65678 | 3 | 0.13180 | 110 | 976 |
| 40 | | | 58.7364 | 1.57069 | 1 | 0.10690 | 35 | 176 |
| 41 | | | 60.0079 | 1.54042 | 9 | 0.14250 | 325 | 2866 |
| 42 | | | 61.8210 | 1.49952 | 1 | 0.14740 | 48 | 332 |
| 43 | | | 64.0979 | 1.45163 | 2 | 0.18360 | 61 | 528 |
| 44 | | | 65.1483 | 1.43075 | 1 | 0.15010 | 27 | 192 |
| 45 | | | 67.8010 | 1.38108 | 5 | 0.14570 | 188 | 1453 |
| 46 | | | 68.2651 | 1.37282 | 6 | 0.28530 | 213 | 2875 |

*** 基本データ処理 ***

データ情報

グループ : I
 データ : 2021⑧
 サンプル名 : MSL6
 コメント :
 日付 & 時刻 : 21-02-21 10:58:26

測定条件

X線

ターゲット : Cu
 管電圧 : 40.0 (kV)
 管電流 : 30.0 (mA)

スリット

Auto Slit : not Used
 ダイバージェンス : 1.00 (度)
 スキャリング : 1.00 (度)
 レジヒング : 0.30 (mm)

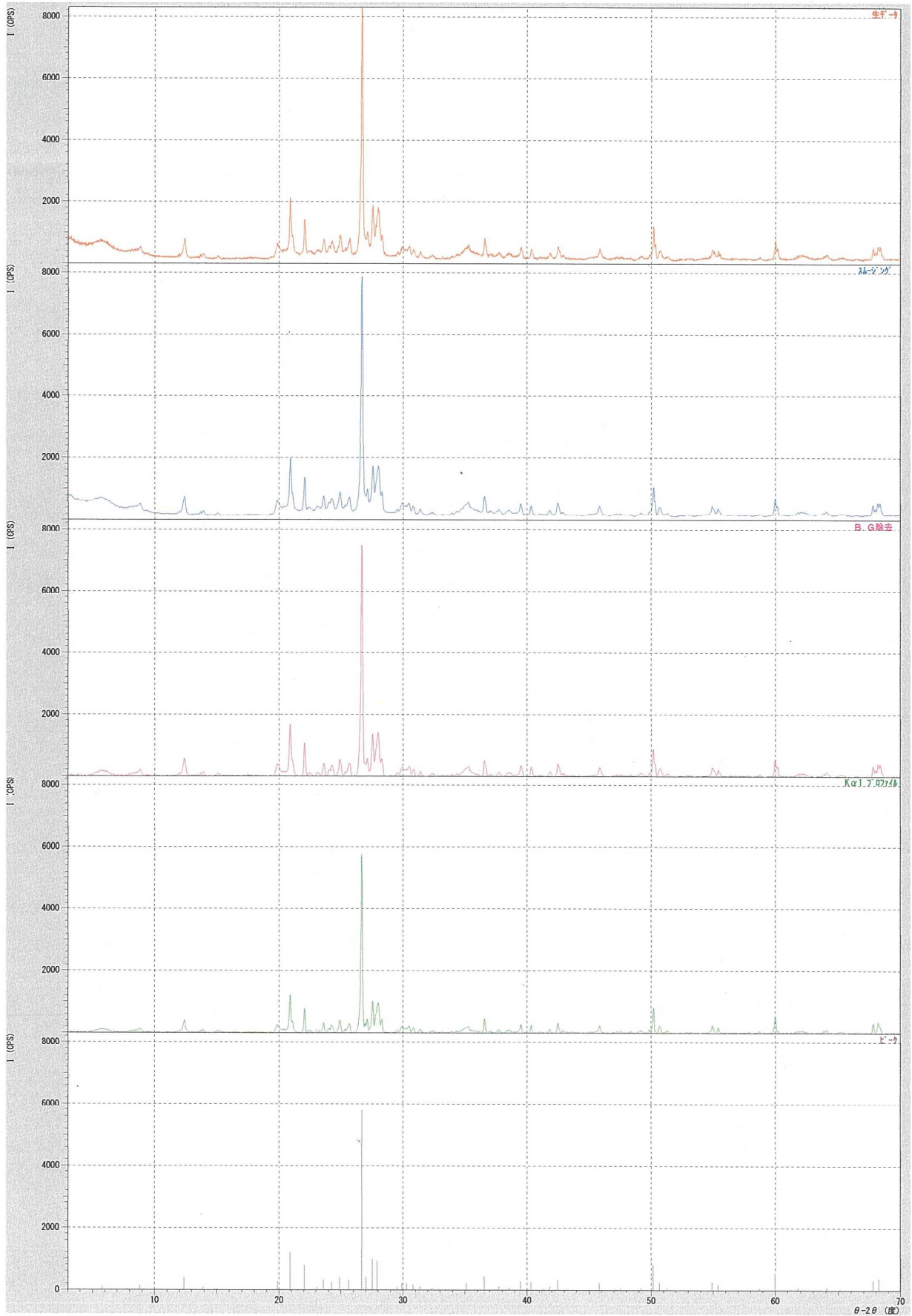
走査

駆動軸 : $\theta - 2\theta$
 範囲 : 3.0200 - 70.0000 (度)
 モード : 連続 スキャン
 速度 : 2.0000 (度/分)
 ステップ : 0.0200 (度)
 計数時間 : 0.60 (秒)

データ処理条件

スムージング : [自動]
 平滑化点数 : 9
 バックグラウンド除去 : [自動]
 サンプル間隔 : 9
 繰り返し回数 : 30
 Ka1-a2 分離 : [手動]
 Ka1-a2 比 : 50 (%)
 ピークサーチ : [手動]
 微分点数 : 21
 半価幅しきい値 : 0.0500 (度)
 強度しきい値 : 30 (par mil)
 半価幅比 (n-1)/n : 2
 系統誤差補正 : [NO]
 内/外標準法補正 : [NO]

< グループ : I データ : 2021⑧ >



<未知データ>

カール7 : I

ア : 2021⑧

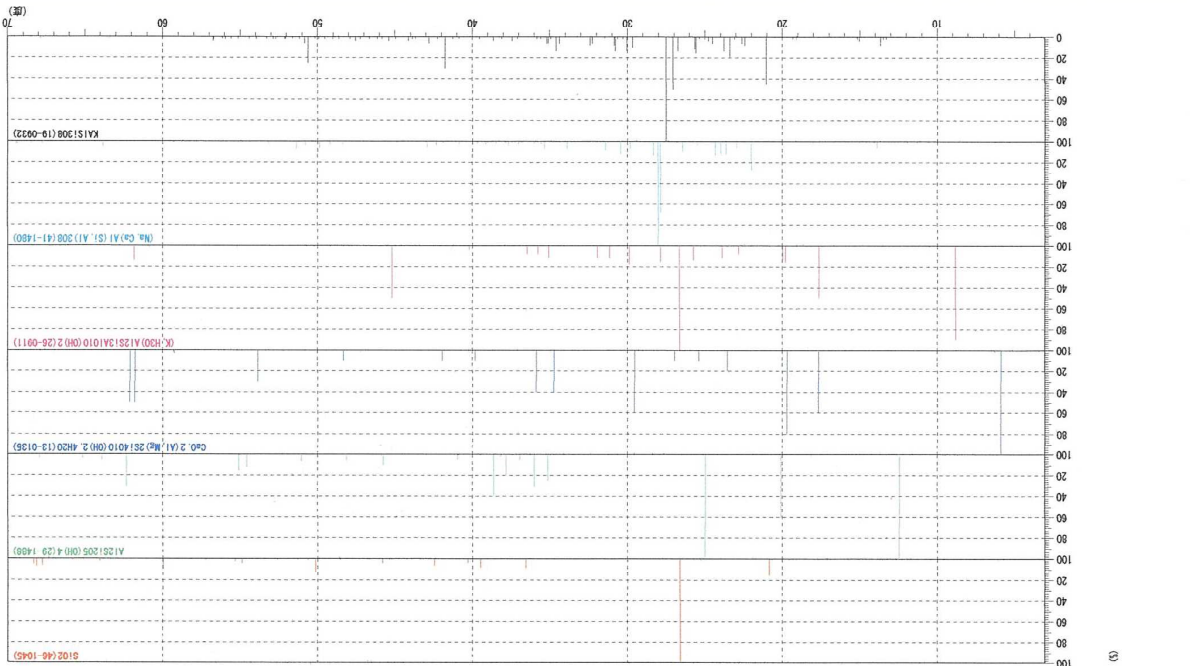
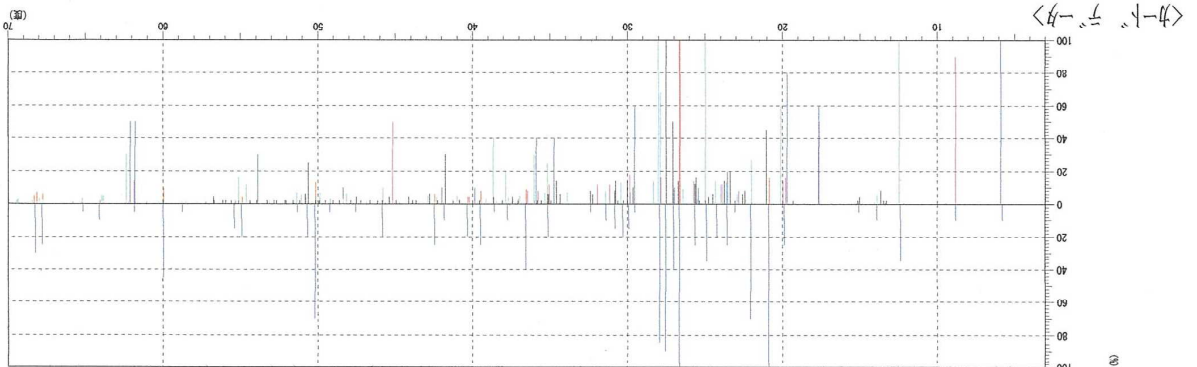
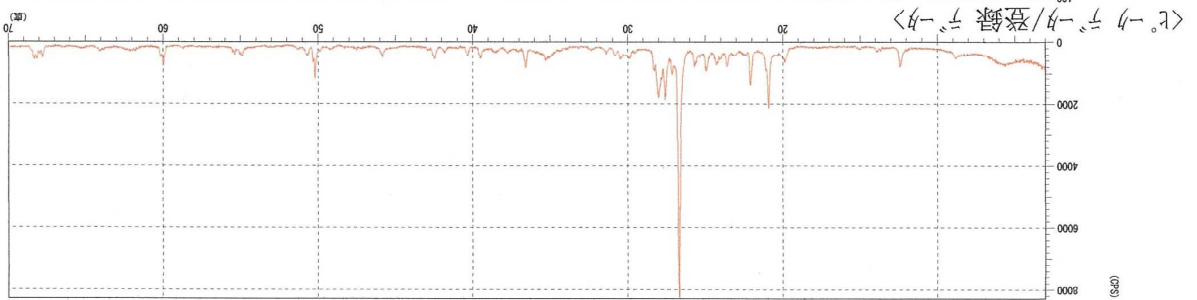
ア : 2021⑧.PKR

ア : MSL6

コクト :

日付 & 時刻 : 21-02-21 10:58:26

<7°ア>



検索結果

***** 検索結果 *****

グループ : I
 データ : 2021⑧
 ファイル : 2021⑧.PKR
 サンプル : MSL6
 コメント :

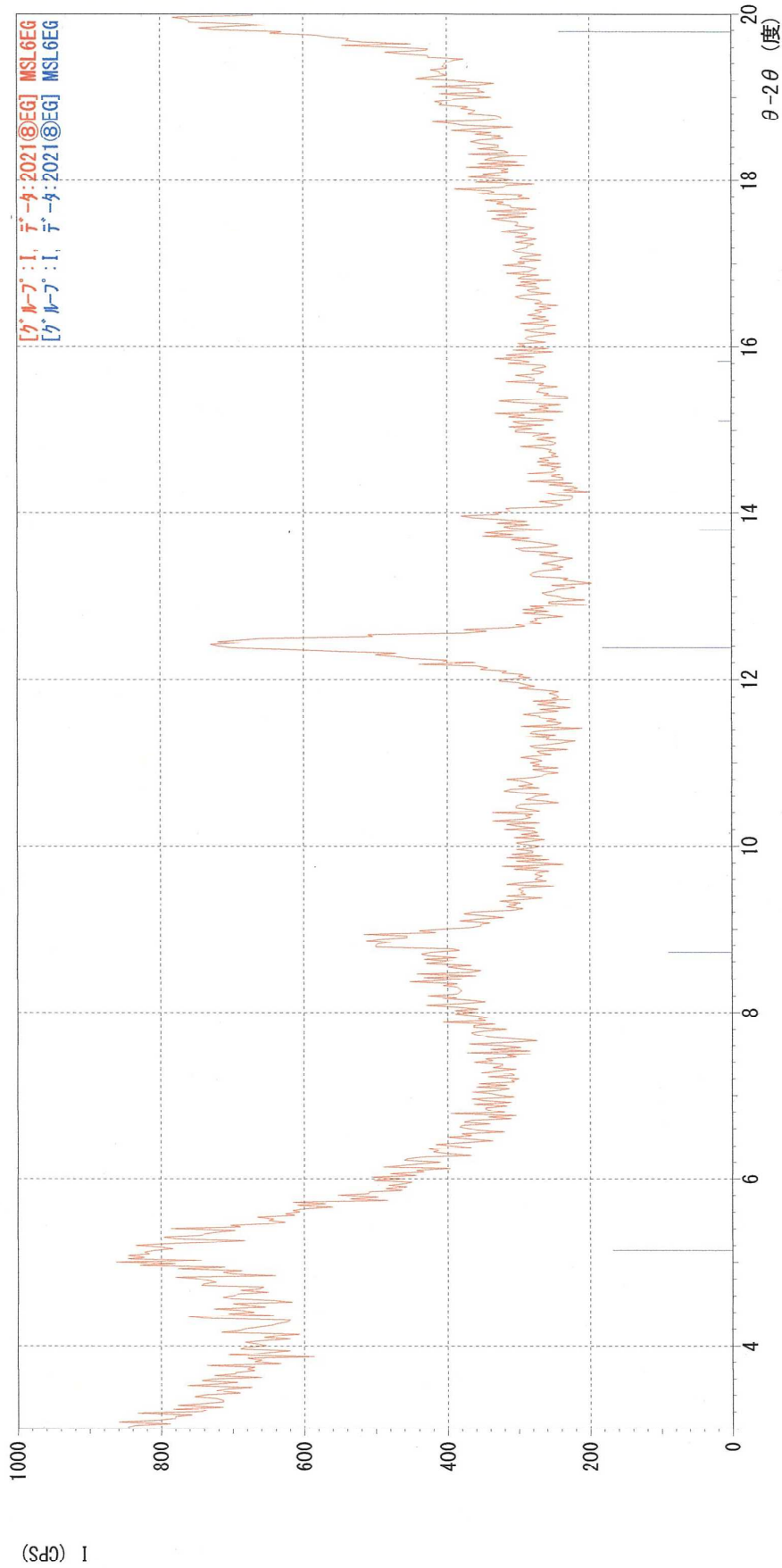
<登録カート>

| 番号 | カート | 化学式 化合物名 (鉱物名) | S | L | d | I | R |
|----|---------|--|-------|--------------|-------|-------|-------|
| | | | 密度 | | WT% | 空間群 | |
| 1 | 46-1045 | SiO ₂ Silicon Oxide (Quartz, syn) | 1.000 | 0.833(15/58) | 0.885 | 0.335 | 0.247 |
| | | | | 2.65 | | | P3221 |
| 2 | 29-1488 | Al ₂ Si ₂ O ₅ (OH) ₄ Aluminum Silicate Hydroxide (Kaolinite-1¥ | 0.455 | 0.737(14/21) | 0.750 | 0.427 | 0.236 |
| | | | | 2.60 | | | A*/* |
| 3 | 13-0135 | Ca _{0.2} (Al, Mg) ₂ Si ₄ O ₁₀ (OH) ₂ ·4H ₂ O Calcium Magnesium Aluminum Silicate Hydrox | 0.321 | 0.667(10/17) | 0.691 | 0.324 | 0.149 |
| | | | | 2.10 | | | P |
| 4 | 26-0911 | (K, H ₃ O)Al ₂ Si ₃ AlO ₁₀ (OH) ₂ Potassium Aluminum Silicate Hydroxide (Il | 0.689 | 0.778(14/18) | 0.726 | 0.377 | 0.213 |
| | | | | 2.82 | | | A2/a |
| 5 | 41-1480 | (Na, Ca)Al(Si, Al) ₃ O ₈ Sodium Calcium Aluminum Silicate (Albite, | 0.987 | 0.508(32/71) | 0.780 | 0.285 | 0.113 |
| | | | | 2.64 | | | P-1 |
| 6 | 19-0932 | KAlSi ₃ O ₈ Potassium Aluminum Silicate (Microcline, | 0.866 | 0.405(32/79) | 0.766 | 0.349 | 0.108 |
| | | | | 2.57 | | | P-1 |

*** マルチプロット ***

ファイル名 : I¥2021⑧EG
 サンプル名 : MSL6EG
 分析日時 : 21-02-21 11:36:14
 分析条件
 X線管球 : Cu (1.54060 Å) 管電圧 : 40.0 kV 管電流 : 30.0 mA
 測定範囲 : 3.0000 ~ 20.0000 度 ステップ幅 : 0.0200 度
 計数時間 : 0.60 秒 スリット DS : 1.00 度 SS : 1.00 度 RS : 0.30 mm

コメント:



I¥2021⑧EG MSL6EG
 I¥2021⑧EG MSL6EG
 連続スキャン 2.0 度/分 0.60 秒 0.020 度 21-02-21 11:36:14
 連続スキャン 2.0 度/分 0.60 秒 0.020 度 21-02-21 11:36:14

*** 基本データ処理 ***

データ情報

グループ : I
 データ : 2021⑧EG
 サンプル名 : MSL6EG
 コメント :
 日付 & 時刻 : 21-02-21 11:36:14

測定条件

X線

ターゲット : Cu
 管電圧 : 40.0 (kV)
 管電流 : 30.0 (mA)

スリット

Auto Slit : not Used
 ダイバージェンス : 1.00 (度)
 スキャリング : 1.00 (度)
 レジヒング : 0.30 (mm)

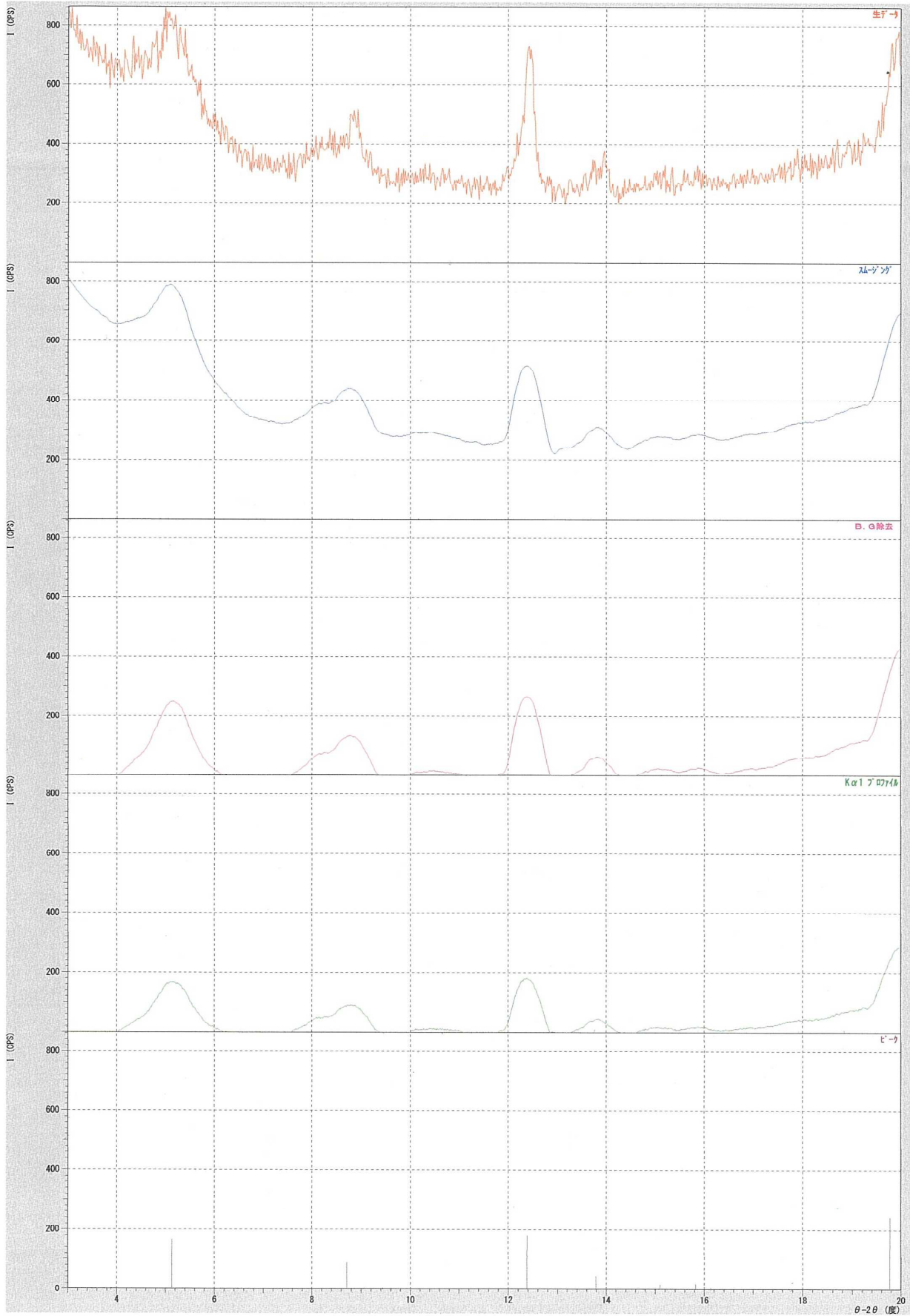
走査

駆動軸 : $\theta - 2\theta$
 範囲 : 3.0200 - 20.0000 (度)
 モード : 連続 スキャン
 速度 : 2.0000 (度/分)
 ステップ : 0.0200 (度)
 計数時間 : 0.60 (秒)

データ処理条件

スムージング : [自動]
 平滑化点数 : 51
 バックグラウンド除去 : [自動]
 サプリング間隔 : 51
 繰り返し回数 : 30
 Ka1-a2 分離 : [手動]
 Ka1-a2 比 : 50 (%)
 ピークサーチ : [自動]
 微分点数 : 47
 半価幅しきい値 : 0.0500 (度)
 強度しきい値 : 30 (par mil)
 半価幅比 (n-1)/n : 2
 系統誤差補正 : [NO]
 内/外標準法補正 : [NO]

< グループ : I データ : 2021⑧EG >



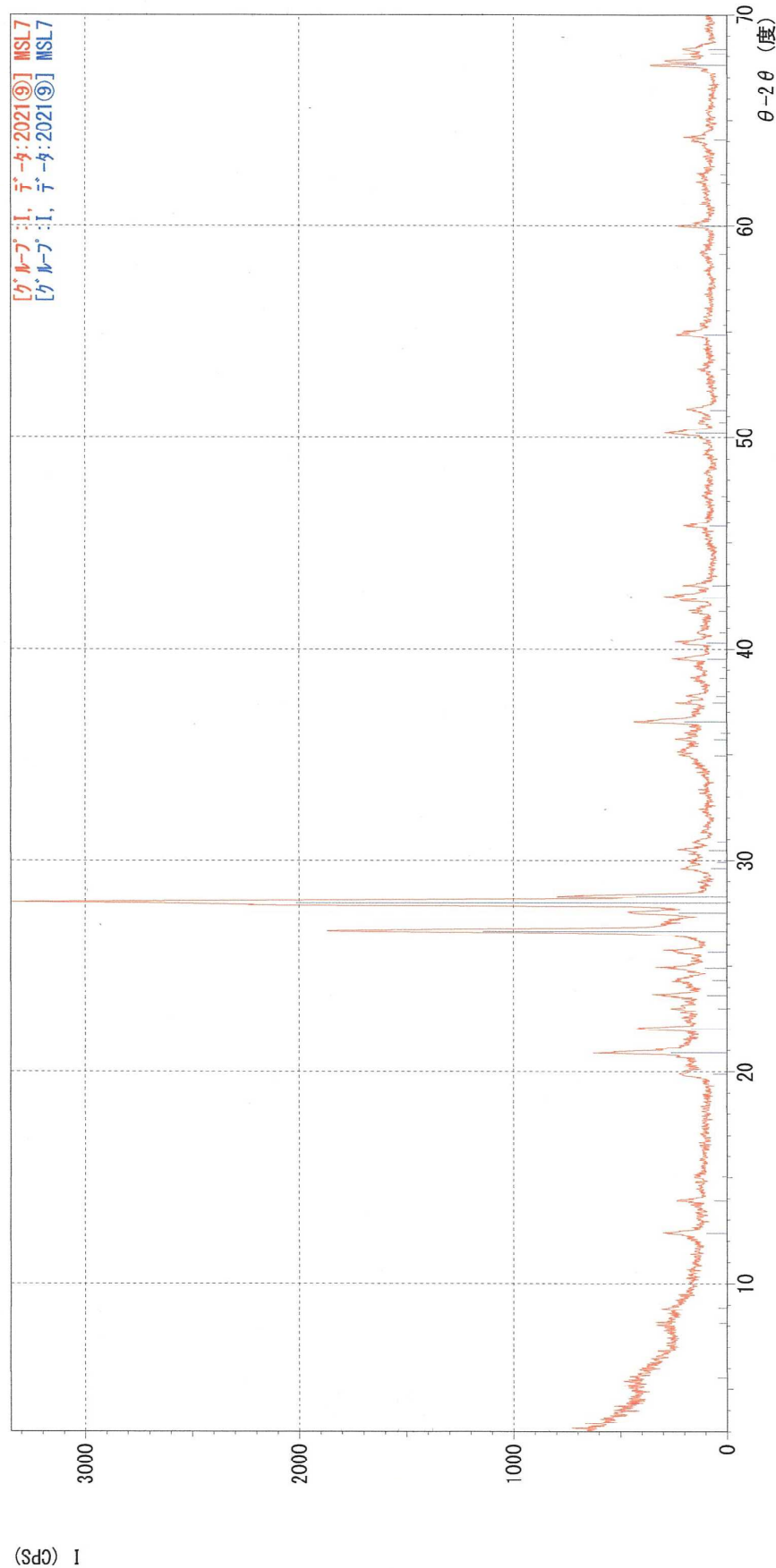
XRD 分析

MSL7

*** マルチプロット ***

ファイル名 : IY2021⑨
サンプル名 : MSL7
分析日時 : 21-02-21 11:47:19
分析条件
X線管球 : Cu(1.54060 Å) 管電圧 : 40.0 kV 管電流 : 30.0 mA
測定範囲 : 3.0000 ~ 70.0000 度 ステップ幅 : 0.0200 度
計数時間 : 0.60 秒 スリット DS : 1.00 度 SS : 1.00 度 RS : 0.30 mm

コメント :

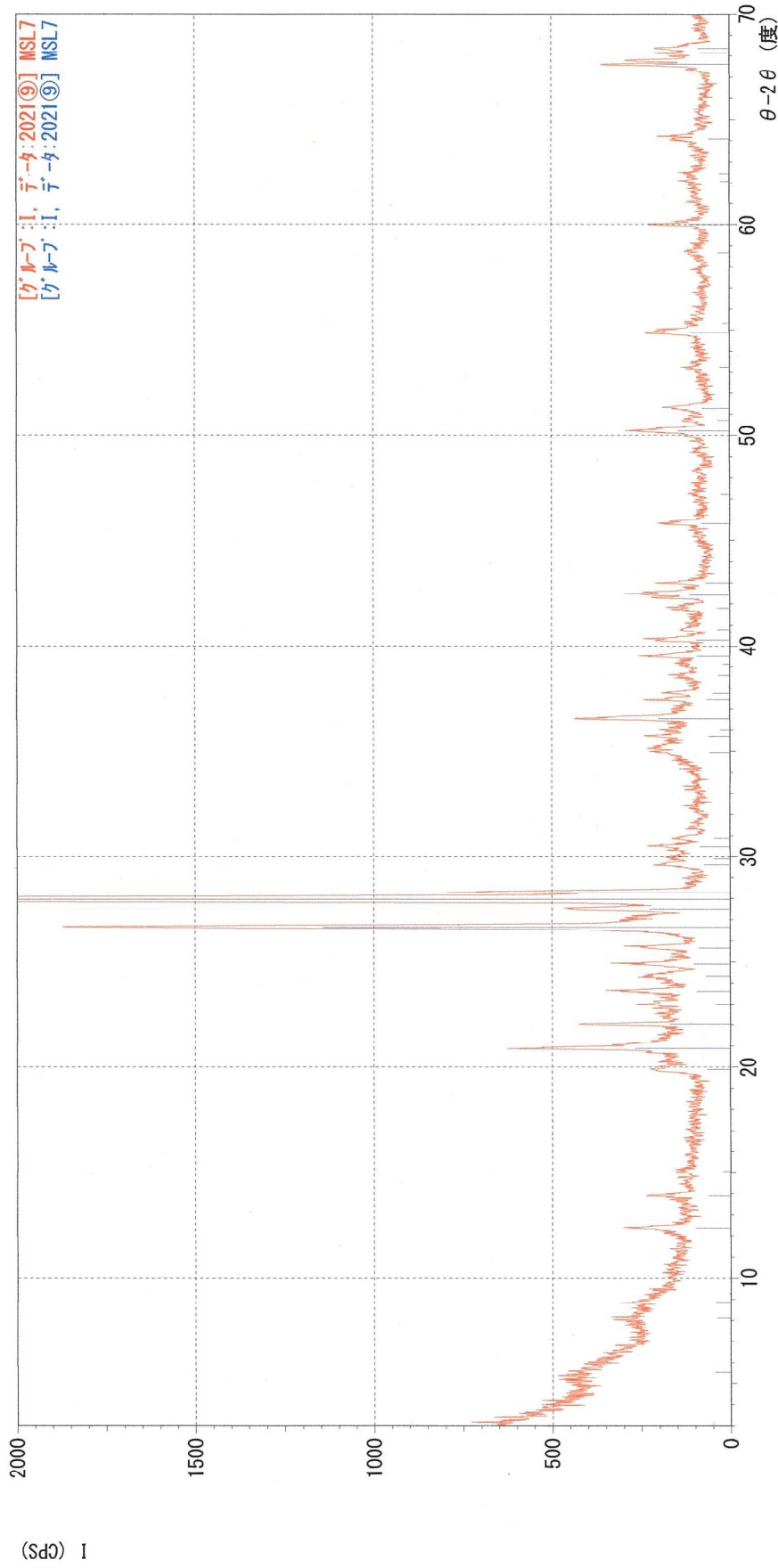


IY2021⑨ MSL7
IY2021⑨ MSL7
連続スキャン 2.0 度/分 0.60 秒 0.020 度 21-02-21 11:47:19
連続スキャン 2.0 度/分 0.60 秒 0.020 度 21-02-21 11:47:19

*** マルチプロット ***

ファイル名 : IY2021⑨
 サンプル名 : MSL7
 分析日時 : 21-02-21 11:47:19
 分析条件
 X線管球 : Cu(1.54060 Å) 管電圧 : 40.0 kV 管電流 : 30.0 mA
 測定範囲 : 3.0000 ~ 70.0000 度 ステップ幅 : 0.0200 度
 計数時間 : 0.60 秒 スリット DS : 1.00 度 SS : 1.00 度 RS : 0.30 mm

コメント :



(S) 1

IY2021⑨ MSL7
 IY2021⑨ MSL7
 連続スキャン 2.0 度/分 0.60 秒 0.020 度 21-02-21 11:47:19
 連続スキャン 2.0 度/分 0.60 秒 0.020 度 21-02-21 11:47:19

*** 基本データ処理 ***

グループ : I
データ : 2021⑨

| # | 3強線 番号 | ピーク 番号 | 2θ (度) | d (Å) | I/I1 | 半価幅 (度) | 強度 (Counts) | 積分強度 (Counts) |
|---|-----------|-----------|-----------|----------|------|------------|----------------|------------------|
| 1 | 17 | | 27.9464 | 3.19007 | 100 | 0.26290 | 1208 | 15258 |
| 2 | 15 | | 26.6478 | 3.34251 | 57 | 0.19840 | 687 | 7499 |
| 3 | 18 | | 28.2855 | 3.15259 | 21 | 0.18820 | 255 | 2571 |

| # | ピーク データ 番号 | リスト 番号 | 2θ (度) | d (Å) | I/I1 | 半価幅 (度) | 強度 (Counts) | 積分強度 (Counts) |
|----|------------------|-----------|-----------|----------|------|------------|----------------|------------------|
| 1 | | | 5.5565 | 15.89210 | 2 | 0.16910 | 28 | 223 |
| 2 | | | 8.1233 | 10.87536 | 2 | 0.29630 | 24 | 330 |
| 3 | | | 8.8485 | 9.98561 | 2 | 0.16530 | 26 | 210 |
| 4 | | | 12.3714 | 7.14887 | 5 | 0.21710 | 59 | 954 |
| 5 | | | 13.9008 | 6.36559 | 3 | 0.19030 | 38 | 439 |
| 6 | | | 15.0440 | 5.88434 | 1 | 0.10520 | 14 | 69 |
| 7 | | | 19.8700 | 4.46471 | 3 | 0.29000 | 40 | 822 |
| 8 | | | 20.8945 | 4.24805 | 13 | 0.20900 | 160 | 2291 |
| 9 | | | 22.0172 | 4.03391 | 8 | 0.16360 | 102 | 880 |
| 10 | | | 22.9940 | 3.86471 | 2 | 0.21540 | 25 | 254 |
| 11 | | | 23.5824 | 3.76959 | 5 | 0.18020 | 57 | 614 |
| 12 | | | 24.3086 | 3.65860 | 3 | 0.28930 | 42 | 679 |
| 13 | | | 24.9071 | 3.57202 | 5 | 0.20080 | 62 | 745 |
| 14 | | | 25.6790 | 3.46637 | 4 | 0.23800 | 54 | 737 |
| 15 | | | 26.6478 | 3.34251 | 57 | 0.19840 | 687 | 7499 |
| 16 | | | 27.5081 | 3.23990 | 11 | 0.21430 | 136 | 1481 |
| 17 | | | 27.9464 | 3.19007 | 100 | 0.26290 | 1208 | 15258 |
| 18 | | | 28.2855 | 3.15259 | 21 | 0.18820 | 255 | 2571 |
| 19 | | | 29.6109 | 3.01443 | 4 | 0.24470 | 44 | 971 |
| 20 | | | 29.9000 | 2.98594 | 2 | 0.19860 | 28 | 264 |
| 21 | | | 30.4720 | 2.93118 | 4 | 0.22400 | 51 | 1145 |
| 22 | | | 30.8647 | 2.89477 | 2 | 0.23000 | 28 | 308 |
| 23 | | | 34.9409 | 2.56584 | 3 | 0.16130 | 34 | 267 |
| 24 | | | 35.6998 | 2.51301 | 3 | 0.16620 | 36 | 670 |
| 25 | | | 36.0000 | 2.49274 | 1 | 0.10740 | 16 | 82 |
| 26 | | | 36.5635 | 2.45561 | 10 | 0.17900 | 121 | 1259 |
| 27 | | | 37.4375 | 2.40026 | 3 | 0.14500 | 40 | 503 |
| 28 | | | 37.7434 | 2.38151 | 2 | 0.17520 | 30 | 247 |
| 29 | | | 38.5972 | 2.33077 | 2 | 0.14840 | 20 | 138 |
| 30 | | | 39.1153 | 2.30108 | 1 | 0.22410 | 13 | 142 |
| 31 | | | 39.5023 | 2.27943 | 5 | 0.17130 | 55 | 661 |
| 32 | | | 40.2861 | 2.23687 | 5 | 0.15220 | 57 | 481 |
| 33 | | | 40.8007 | 2.20984 | 2 | 0.11210 | 21 | 111 |
| 34 | | | 41.8000 | 2.15929 | 2 | 0.11740 | 22 | 122 |
| 35 | | | 42.4172 | 2.12929 | 6 | 0.31450 | 68 | 1242 |
| 36 | | | 42.9809 | 2.10266 | 3 | 0.15190 | 42 | 341 |
| 37 | | | 45.8083 | 1.97924 | 4 | 0.19670 | 48 | 659 |
| 38 | | | 47.2046 | 1.92389 | 1 | 0.16460 | 15 | 114 |
| 39 | | | 50.1863 | 1.81635 | 7 | 0.19730 | 87 | 1117 |
| 40 | | | 50.7200 | 1.79849 | 2 | 0.17380 | 21 | 173 |
| 41 | | | 51.2960 | 1.77964 | 4 | 0.23200 | 47 | 668 |
| 42 | | | 53.2353 | 1.71929 | 1 | 0.14360 | 17 | 112 |
| 43 | | | 54.8666 | 1.67196 | 5 | 0.21330 | 66 | 870 |
| 44 | | | 55.3200 | 1.65933 | 1 | 0.09840 | 12 | 56 |
| 45 | | | 58.6585 | 1.57259 | 2 | 0.15470 | 20 | 144 |
| 46 | | | 59.9847 | 1.54096 | 6 | 0.16600 | 69 | 679 |
| 47 | | | 62.0800 | 1.49388 | 1 | 0.21900 | 16 | 179 |
| 48 | | | 62.4246 | 1.48646 | 1 | 0.15720 | 18 | 132 |
| 49 | | | 64.0789 | 1.45202 | 3 | 0.61980 | 35 | 1024 |
| 50 | | | 67.5933 | 1.38482 | 10 | 0.19210 | 124 | 1336 |
| 51 | | | 68.1400 | 1.37503 | 4 | 0.22860 | 47 | 474 |
| 52 | | | 68.3700 | 1.37097 | 4 | 0.22000 | 53 | 617 |

*** 基本データ処理 ***

データ情報

グループ : I
 データ : 2021⑨
 サンプル名 : MSL7
 コメント :
 日付 & 時刻 : 21-02-21 11:47:19

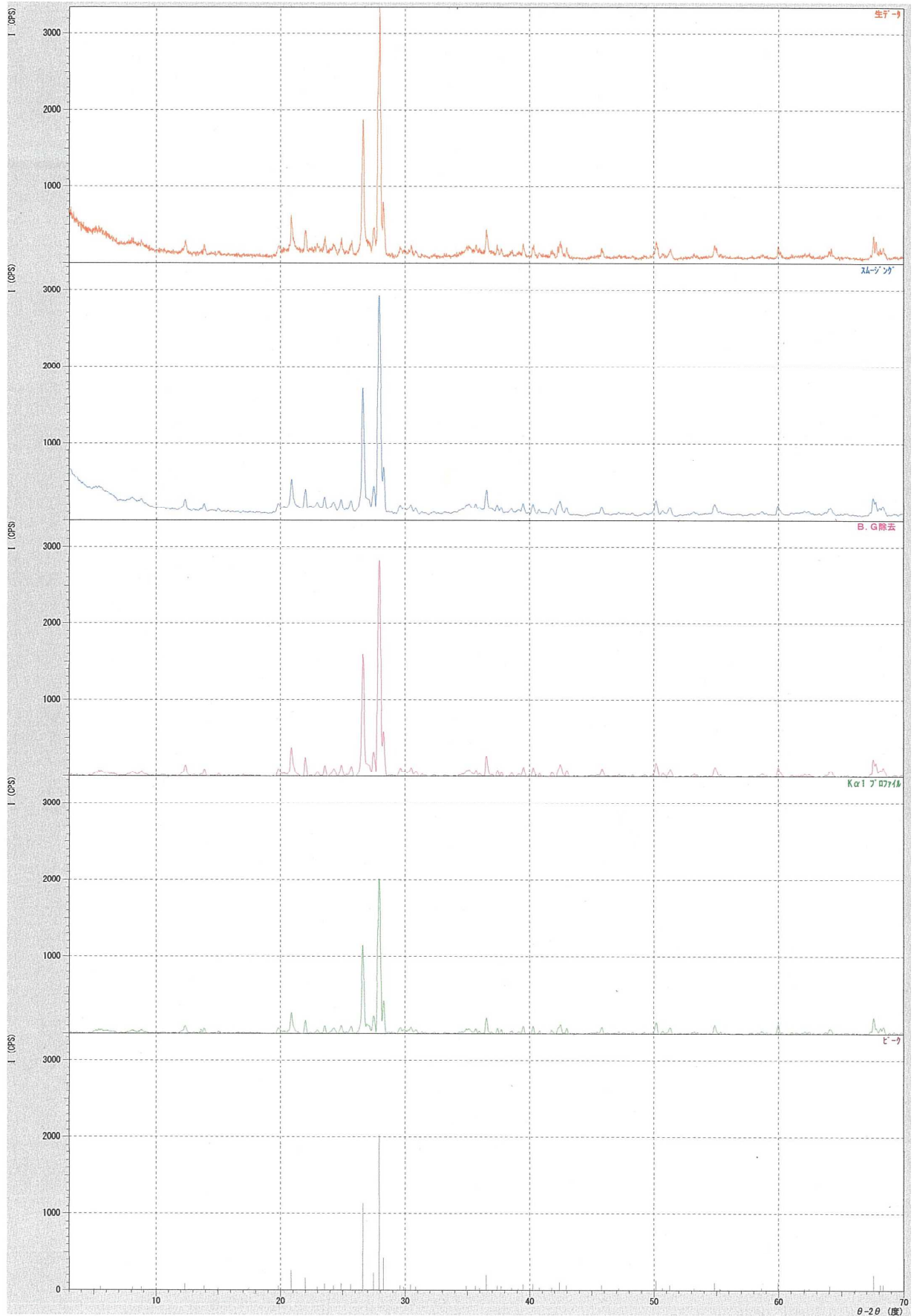
測定条件

X線
 ターゲット : Cu
 管電圧 : 40.0 (kV)
 管電流 : 30.0 (mA)
 スリット
 Auto Slit : not Used
 ダイバージェンス : 1.00 (度)
 スキャタリング : 1.00 (度)
 レジビング : 0.30 (mm)
 走査
 駆動軸 : $\theta - 2\theta$
 範囲 : 3.0200 - 70.0000 (度)
 モード : 連続 スキャン
 速度 : 2.0000 (度/分)
 ステップ : 0.0200 (度)
 計数時間 : 0.60 (秒)

データ処理条件

スムージング : [自動]
 平滑化点数 : 15
 バックグラウンド除去 : [自動]
 サンプリング間隔 : 15
 繰り返し回数 : 30
 Ka1-a2 分離 : [手動]
 Ka1-a2 比 : 50 (%)
 ピークサーチ : [自動]
 微分点数 : 15
 半価幅しきい値 : 0.0500 (度)
 強度しきい値 : 30 (par mil)
 半価幅比 (n-1)/n : 2
 系統誤差補正 : [NO]
 内/外標準法補正 : [NO]

< グループ : I データ : 2021⑨ >

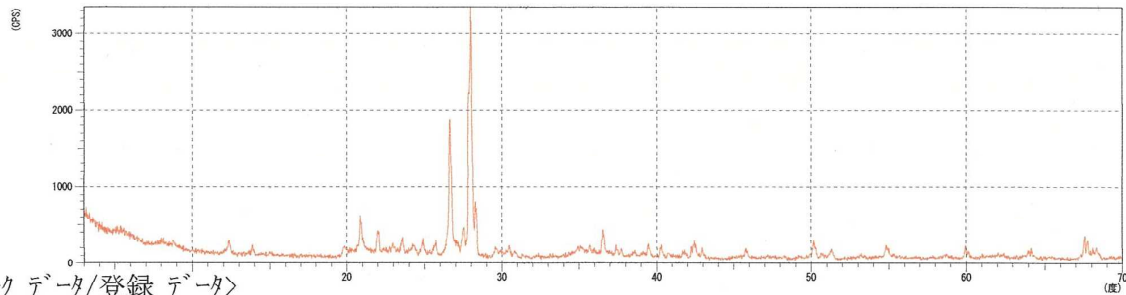


***** 検索結果 *****

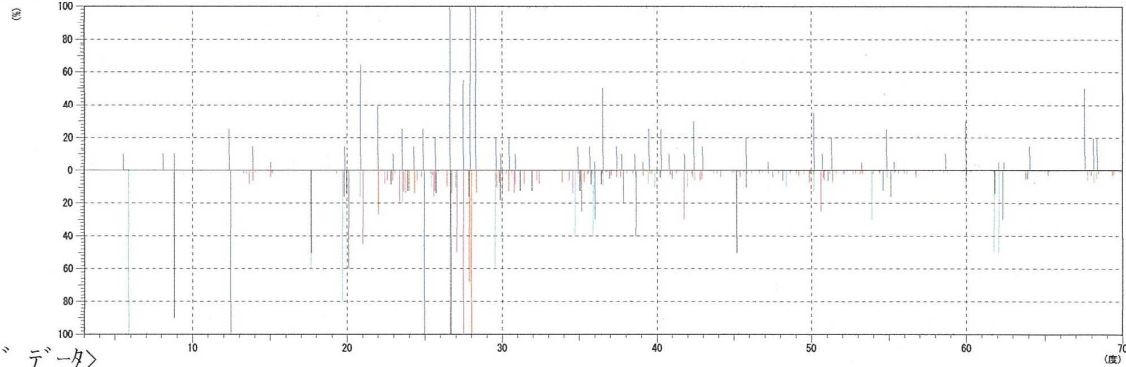
<未知データ>

グループ : I
データ : 2021⑨
ファイル : 2021⑨.PSE
サンプル : MSL7
コメント :
日付 & 時刻 : 21-02-21 11:47:19

<プロフィール>



<ピークデータ/登録データ>



<カードデータ>



***** 検索結果 *****

グループ : I
 データ : 2021⑨
 ファイル : 2021⑨.PSE
 サンプル : MSL7
 コメント :

<登録カード>

| 番号 | カード | 化学式 化合物名 (鉱物名) | S | L | d | I | R |
|----|---------|--|-------|--------------|-------|-------|-------|
| | | | 密度 | | WT% | 空間群 | |
| 1 | 46-1045 | SiO ₂ Silicon Oxide (Quartz, syn) | 1.000 | 0.889(16/58) | 0.926 | 0.373 | 0.307 |
| | | | 2.65 | | | P3221 | |
| 2 | 41-1480 | (Na, Ca)Al(Si, Al) ₃ O ₈ Sodium Calcium Aluminum Silicate (Albite, | 1.000 | 0.603(38/71) | 0.774 | 0.267 | 0.124 |
| | | | 2.64 | | | P-1 | |
| 3 | 29-1488 | Al ₂ Si ₂ O ₅ (OH) ₄ Aluminum Silicate Hydroxide (Kaolinite-1¥ | 0.349 | 0.895(17/21) | 0.701 | 0.355 | 0.222 |
| | | | 2.60 | | | A*/* | |
| 4 | 19-0932 | KAlSi ₃ O ₈ Potassium Aluminum Silicate (Microcline, | 0.788 | 0.418(33/79) | 0.766 | 0.289 | 0.092 |
| | | | 2.57 | | | P-1 | |
| 5 | 13-0135 | Ca _{0.2} (Al, Mg) ₂ Si ₄ O ₁₀ (OH) ₂ ·4H ₂ O Calcium Magnesium Aluminum Silicate Hydrox | 0.302 | 0.733(11/17) | 0.630 | 0.281 | 0.130 |
| | | | 2.10 | | | P | |
| 6 | 26-0911 | (K, H ₃ O)Al ₂ Si ₃ AlO ₁₀ (OH) ₂ Potassium Aluminum Silicate Hydroxide (Il | 0.699 | 0.778(14/18) | 0.767 | 0.365 | 0.218 |
| | | | 2.82 | | | A2/a | |

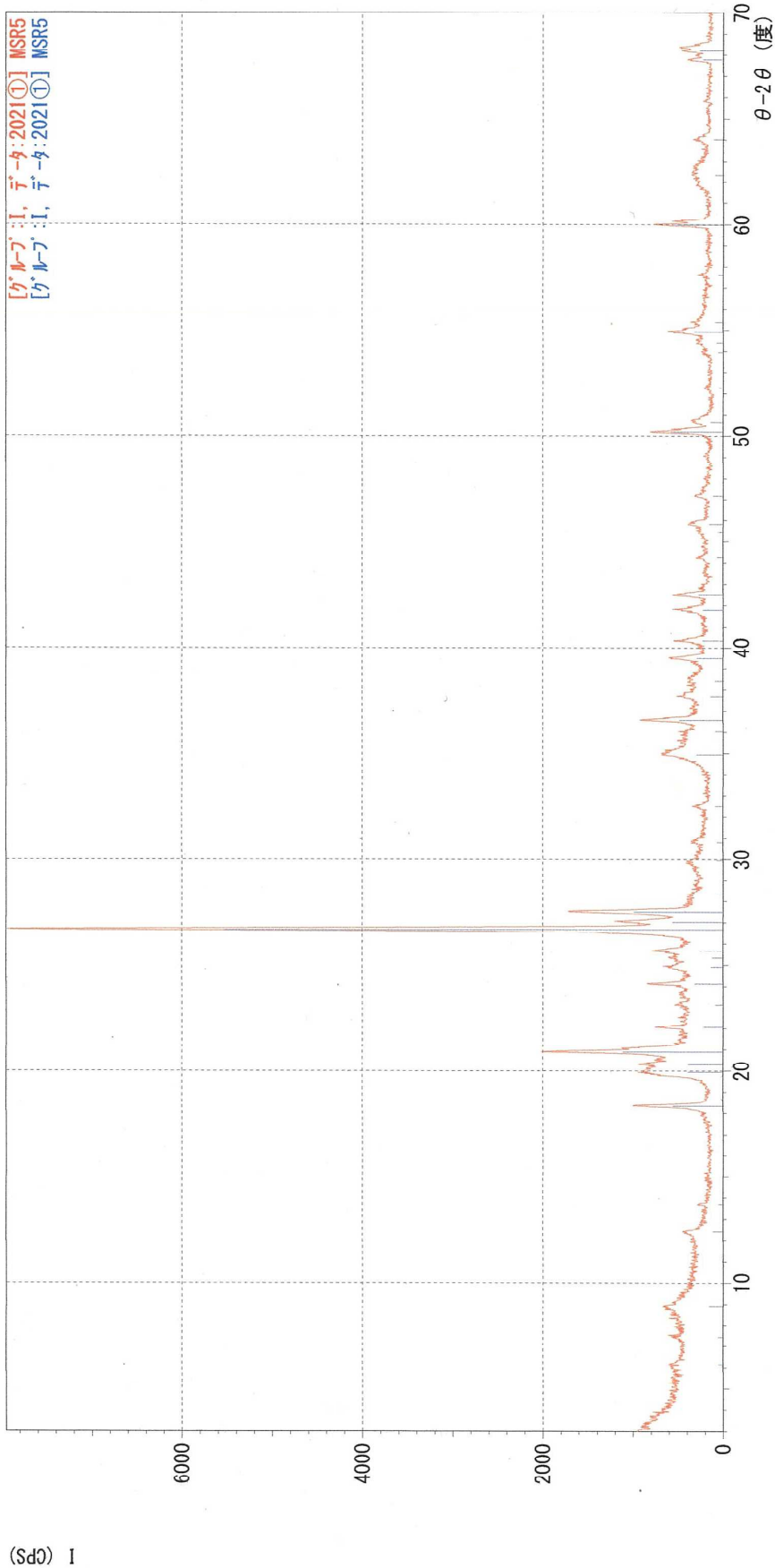
XRD 分析

MSR5

*** マルチプロット ***

ファイル名 : IY2021①
サンプル名 : MSR5
分析日時 : 21-02-20 11:37:06
分析条件
X線管球 : Cu(1.54060 Å) 管電圧 : 40.0 kV 管電流 : 30.0 mA
測定範囲 : 3.0000 ~ 70.0000 度 ステップ幅 : 0.0200 度
計数時間 : 0.60 秒 スリット DS : 1.00 度 SS : 1.00 度 RS : 0.30 mm

コメント :



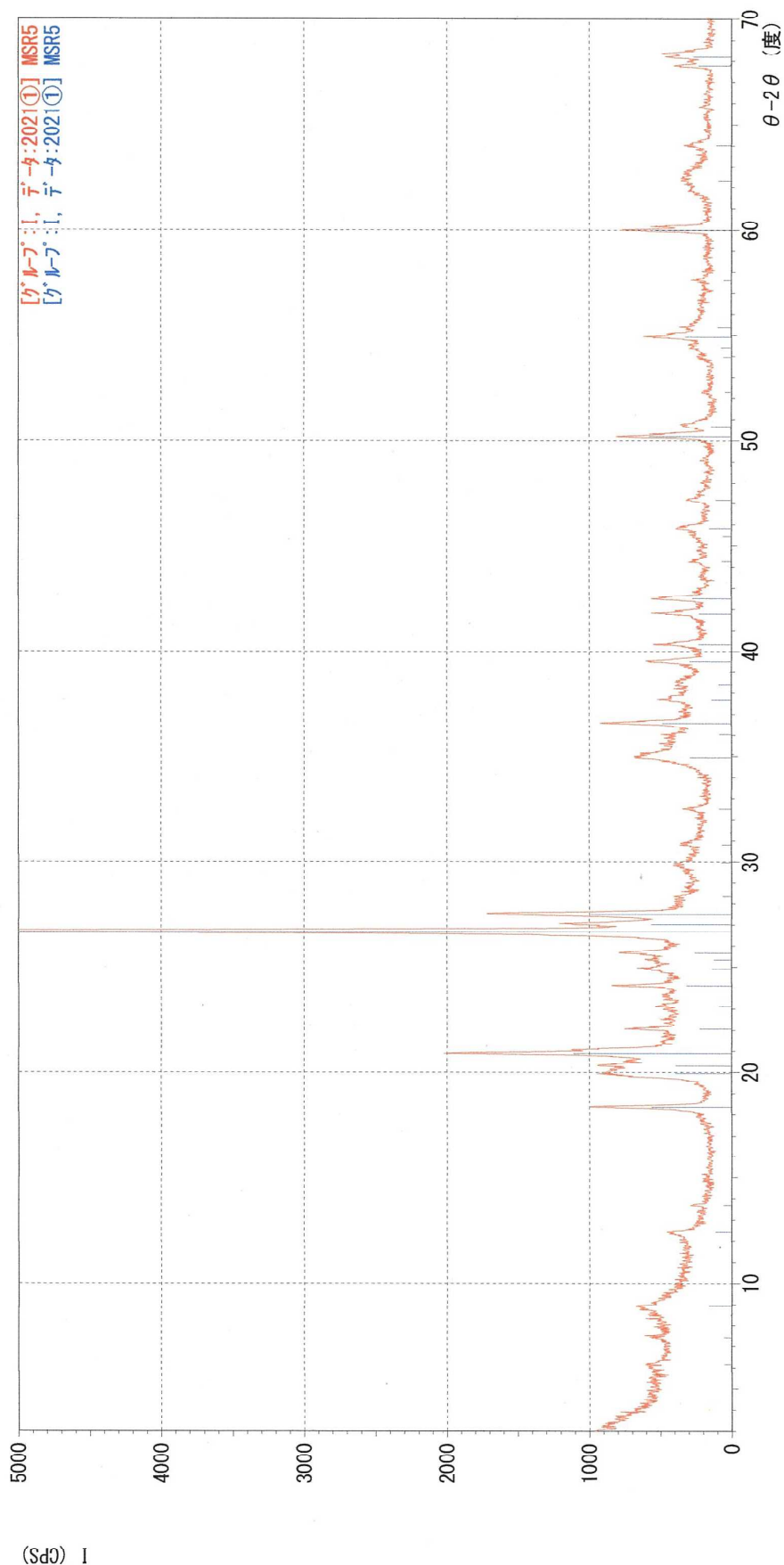
(Sd) 1

IY2021① MSR5
IY2021① MSR5
連続スキャン 2.0 度/分 0.60 秒 0.020 度 21-02-20 11:37:06
連続スキャン 2.0 度/分 0.60 秒 0.020 度 21-02-20 11:37:06

*** マルチプロット ***

ファイル名 : IY2021①
サンプル名 : MSR5
分析日時 : 21-02-20 11:37:06
分析条件
X線管球 : Cu(1.54060 Å) 管電圧 : 40.0 kV 管電流 : 30.0 mA
測定範囲 : 3.0000 ~ 70.0000 度 ステップ幅 : 0.0200 度
計数時間 : 0.60 秒 スリット DS : 1.00 度 SS : 1.00 度 RS : 0.30 mm

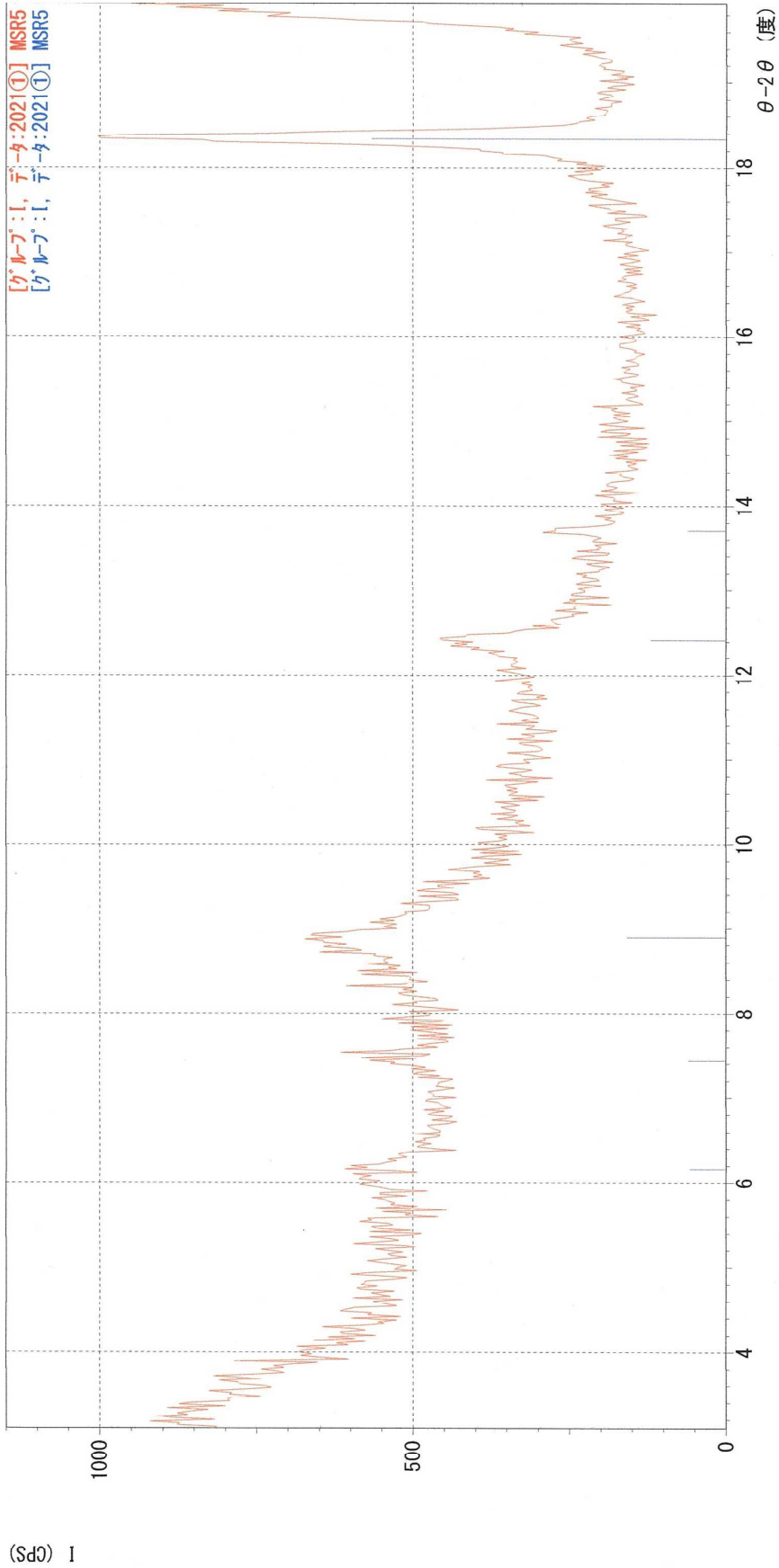
コメント:



IY2021① MSR5
IY2021① MSR5
連続スキャン 2.0 度/分 0.60 秒 0.020 度 21-02-20 11:37:06
連続スキャン 2.0 度/分 0.60 秒 0.020 度 21-02-20 11:37:06

*** マルチプロット ***

ファイル名 : IY2021①
サンプル名 : MSR5
分析日時 : 21-02-20 11:37:06
分析条件
X線管球 : Cu(1.54060 Å) 管電圧 : 40.0 kV 管電流 : 30.0 mA
測定範囲 : 3.0000 ~ 70.0000 度 ステップ幅 : 0.0200 度
計数時間 : 0.60 秒 スリット DS : 1.00 度 SS : 1.00 度 RS : 0.30 mm



IY2021① MSR5 連続スキャン 2.0 度/分 0.60 秒 0.020 度 21-02-20 11:37:06
IY2021① MSR5 連続スキャン 2.0 度/分 0.60 秒 0.020 度 21-02-20 11:37:06

*** 基本データ処理 ***

グループ : I
データ : 2021①

| # | 3 強線 番号 | ピーク 番号 | 2θ (度) | d (Å) | I/I1 | 半価幅 (度) | 強度 (Counts) | 積分強度 (Counts) |
|---|------------|-----------|-----------|----------|------|------------|----------------|------------------|
| 1 | 16 | | 26.6752 | 3.33914 | 100 | 0.14610 | 3323 | 26978 |
| 2 | 9 | | 20.8971 | 4.24753 | 20 | 0.15420 | 669 | 6672 |
| 3 | 18 | | 27.5079 | 3.23992 | 18 | 0.18160 | 596 | 6320 |

| # | ピーク 番号 | データ リスト | 2θ (度) | d (Å) | I/I1 | 半価幅 (度) | 強度 (Counts) | 積分強度 (Counts) |
|----|-----------|------------|-----------|----------|------|------------|----------------|------------------|
| 1 | | | 6.1600 | 14.33643 | 1 | 0.11060 | 35 | 181 |
| 2 | | | 7.4364 | 11.87831 | 1 | 0.12270 | 36 | 211 |
| 3 | | | 8.8967 | 9.93162 | 3 | 0.17720 | 95 | 798 |
| 4 | | | 12.4174 | 7.12249 | 2 | 0.17570 | 72 | 593 |
| 5 | | | 13.6980 | 6.45937 | 1 | 0.08580 | 37 | 147 |
| 6 | | | 18.3344 | 4.83504 | 10 | 0.15510 | 340 | 3440 |
| 7 | | | 19.9400 | 4.44919 | 7 | 0.44000 | 239 | 6622 |
| 8 | | | 20.3000 | 4.37110 | 7 | 0.00000 | 237 | 0 |
| 9 | | | 20.8971 | 4.24753 | 20 | 0.15420 | 669 | 6672 |
| 10 | | | 22.0506 | 4.02787 | 4 | 0.12120 | 134 | 1073 |
| 11 | | | 23.1393 | 3.84076 | 2 | 0.09690 | 53 | 243 |
| 12 | | | 24.1133 | 3.68779 | 6 | 0.10360 | 193 | 1347 |
| 13 | | | 24.9130 | 3.57119 | 2 | 0.18260 | 82 | 715 |
| 14 | | | 25.3327 | 3.51297 | 2 | 0.11560 | 76 | 420 |
| 15 | | | 25.6538 | 3.46972 | 5 | 0.18190 | 156 | 2384 |
| 16 | | | 26.6752 | 3.33914 | 100 | 0.14610 | 3323 | 26978 |
| 17 | | | 27.0273 | 3.29643 | 10 | 0.22460 | 340 | 4551 |
| 18 | | | 27.5079 | 3.23992 | 18 | 0.18160 | 596 | 6320 |
| 19 | | | 28.3270 | 3.14807 | 1 | 0.11020 | 39 | 204 |
| 20 | | | 29.9480 | 2.98126 | 1 | 0.27990 | 42 | 551 |
| 21 | | | 30.7953 | 2.90114 | 1 | 0.13750 | 42 | 295 |
| 22 | | | 32.4991 | 2.75283 | 2 | 0.20290 | 53 | 527 |
| 23 | | | 31.9100 | 2.56590 | 5 | 0.30500 | 175 | 2719 |
| 24 | | | 36.0428 | 2.48988 | 2 | 0.13910 | 52 | 338 |
| 25 | | | 36.5931 | 2.45369 | 9 | 0.13000 | 293 | 2386 |
| 26 | | | 37.6803 | 2.38535 | 3 | 0.13640 | 85 | 545 |
| 27 | | | 38.4307 | 2.34049 | 2 | 0.09180 | 57 | 248 |
| 28 | | | 39.4896 | 2.28013 | 5 | 0.14990 | 176 | 1668 |
| 29 | | | 40.3254 | 2.23478 | 4 | 0.15080 | 138 | 1341 |
| 30 | | | 41.8035 | 2.15912 | 4 | 0.17700 | 136 | 1579 |
| 31 | | | 42.4791 | 2.12633 | 5 | 0.15830 | 165 | 1686 |
| 32 | | | 44.2482 | 2.04533 | 1 | 0.11910 | 43 | 243 |
| 33 | | | 45.4684 | 1.99324 | 1 | 0.16730 | 37 | 295 |
| 34 | | | 45.8182 | 1.97883 | 3 | 0.16270 | 93 | 725 |
| 35 | | | 47.1810 | 1.92480 | 2 | 0.12440 | 67 | 396 |
| 36 | | | 50.1742 | 1.81676 | 10 | 0.13780 | 347 | 3064 |
| 37 | | | 50.6716 | 1.80009 | 3 | 0.15920 | 87 | 656 |
| 38 | | | 52.2600 | 1.74905 | 1 | 0.10660 | 27 | 152 |
| 39 | | | 53.9539 | 1.69807 | 1 | 0.10760 | 33 | 169 |
| 40 | | | 54.4023 | 1.68513 | 1 | 0.20660 | 45 | 442 |
| 41 | | | 54.9179 | 1.67052 | 6 | 0.17070 | 196 | 2804 |
| 42 | | | 55.3780 | 1.65773 | 2 | 0.14830 | 58 | 405 |
| 43 | | | 57.6000 | 1.59895 | 1 | 0.08720 | 34 | 138 |
| 44 | | | 59.9925 | 1.54077 | 10 | 0.14000 | 325 | 2765 |
| 45 | | | 62.3400 | 1.48828 | 2 | 0.18000 | 57 | 481 |
| 46 | | | 64.0264 | 1.45308 | 2 | 0.25360 | 65 | 779 |
| 47 | | | 67.7810 | 1.38144 | 4 | 0.14930 | 140 | 1148 |
| 48 | | | 68.1800 | 1.37432 | 5 | 0.14300 | 161 | 1221 |

*** 基本データ処理 ***

データ情報

グループ : I
データ : 2021①
サンプル名 : MSR5
コメント :
日付 & 時刻 : 21-02-20 11:37:06

測定条件

X線

ターゲット : Cu
管電圧 : 40.0 (kV)
管電流 : 30.0 (mA)

スリット

Auto Slit : not Used
ダイバージェンス : 1.00 (度)
スキャタリング : 1.00 (度)
レシービング : 0.30 (mm)

走査

駆動軸 : $\theta - 2\theta$
範囲 : 3.0200 - 70.0000 (度)
モード : 連続 スキャン
速度 : 2.0000 (度/分)
ステップ : 0.0200 (度)
計数時間 : 0.60 (秒)

データ処理条件

スムージング : [自動]
平滑化点数 : 9
バックグラウンド除去 : [自動]
サンプル間隔 : 11
繰り返し回数 : 30
Ka1-a2 分離 : [手動]
Ka1-a2 比 : 50 (%)
ピークサーチ : [自動]
微分点数 : 9
半価幅しきい値 : 0.0500 (度)
強度しきい値 : 30 (par mil)
半価幅比 (n-1)/n : 2
系統誤差補正 : [NO]
内/外標準法補正 : [NO]

< グループ : I データ : 2021① >

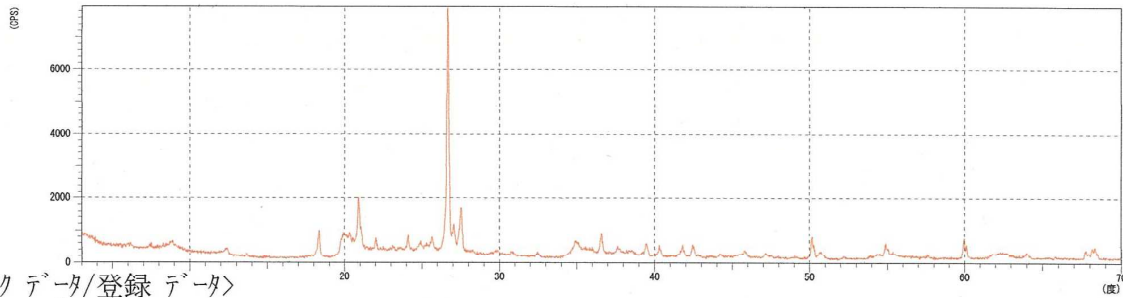


検索結果

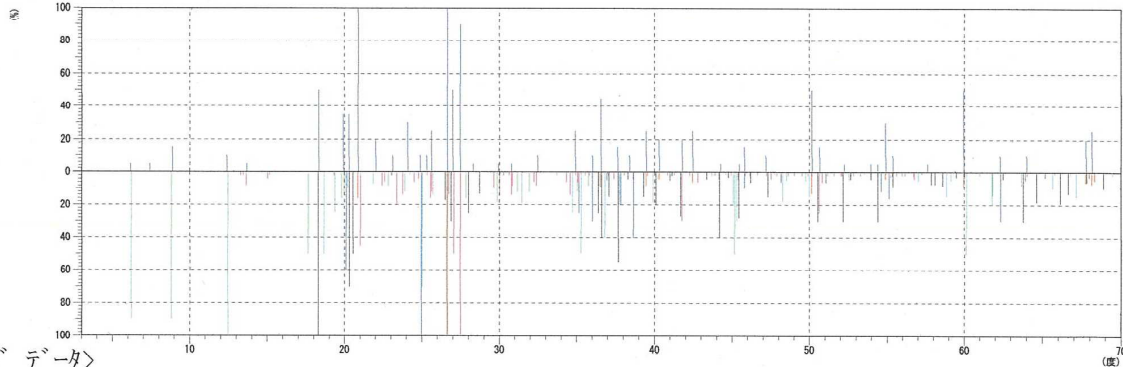
<未知データ>

グループ : I
データ : 2021①
ファイル : 2021①.PSE
サンプル : MSR5
コメント :
日付 & 時刻 : 21-02-20 11:37:06

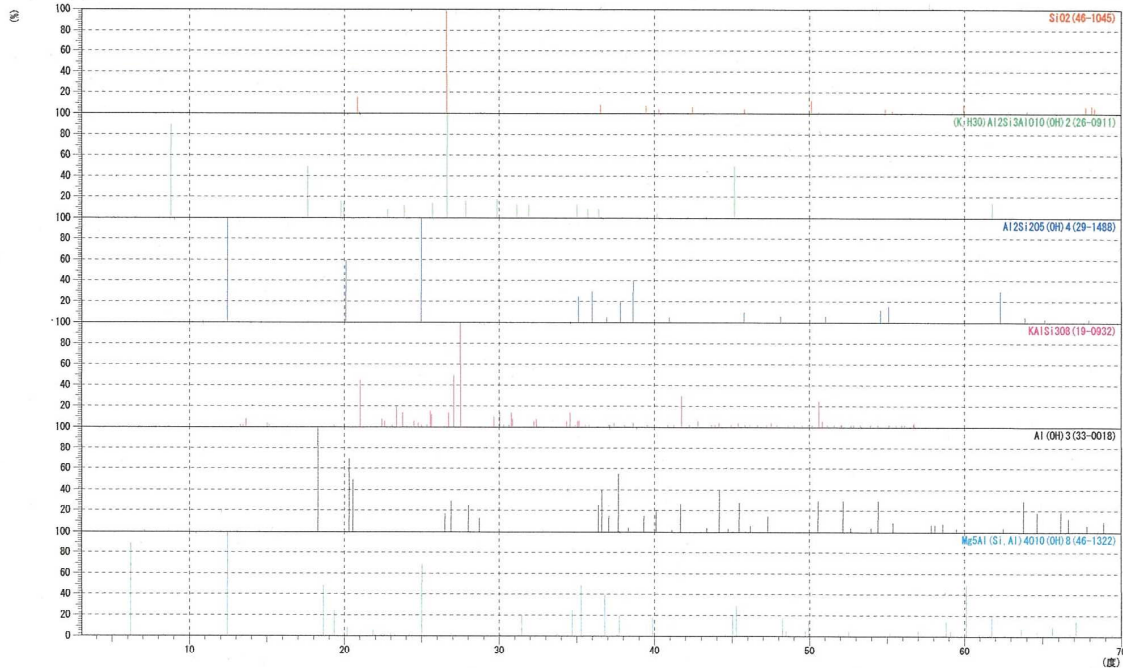
<プロフィール>



<ピークデータ/登録データ>



<カードデータ>



***** 検索結果 *****

グループ : I
 データ : 2021①
 ファイル : 2021①.PSE
 サンプル : MSR5
 コメント :

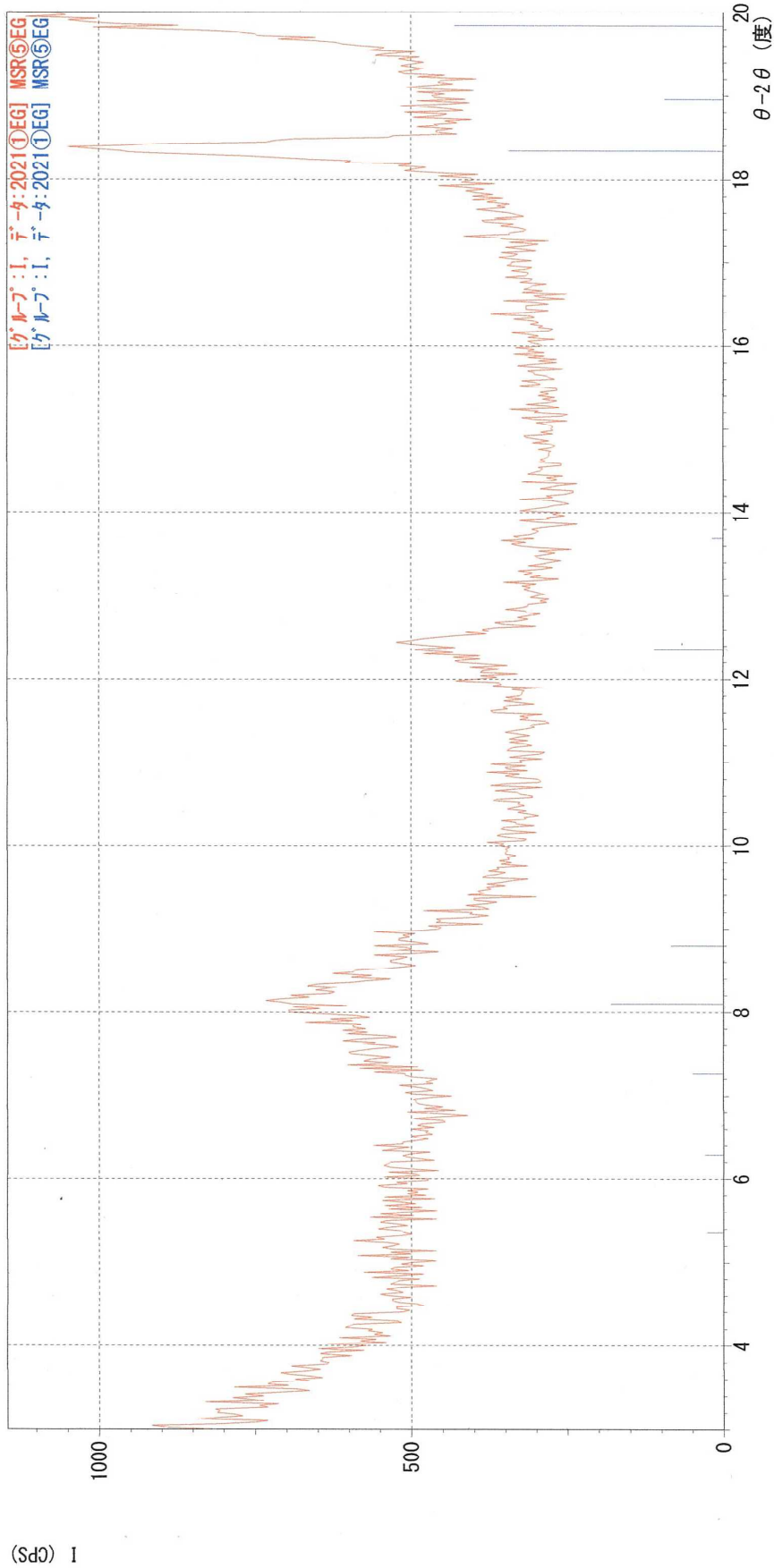
<登録カード>

| 番号 | カード | 化学式 化合物名 (鉱物名) | S | L | d | I | R |
|----|---------|---|-------|--------------|-------|-------|-------|
| | | | 密度 | | WT% | 空間群 | |
| 1 | 46-1045 | SiO ₂ Silicon Oxide (Quartz, syn) | 1.000 | 0.889(16/58) | 0.889 | 0.352 | 0.279 |
| | | | | 2.65 | | P3221 | |
| 2 | 26-0911 | (K, H ₃ O)Al ₂ Si ₃ Al ₁₀ (OH) ₂ Potassium Aluminum Silicate Hydroxide (Il | 0.621 | 0.833(15/18) | 0.611 | 0.317 | 0.162 |
| | | | | 2.82 | | A2/a | |
| 3 | 29-1488 | Al ₂ Si ₂ O ₅ (OH) ₄ Aluminum Silicate Hydroxide (Kaolinite-1# | 0.383 | 0.842(16/21) | 0.691 | 0.298 | 0.173 |
| | | | | 2.60 | | A*/* | |
| 4 | 19-0932 | KAlSi ₃ O ₈ Potassium Aluminum Silicate (Microcline, | 0.869 | 0.418(33/79) | 0.773 | 0.374 | 0.121 |
| | | | | 2.57 | | P-1 | |
| 5 | 33-0018 | Al(OH) ₃ Aluminum Hydroxide (Gibbsite, syn) | 0.532 | 0.568(25/56) | 0.732 | 0.414 | 0.172 |
| | | | | 2.44 | | P21/n | |
| 6 | 46-1322 | Mg ₅ Al(Si, Al) ₄ O ₁₀ (OH) ₈ Magnesium Aluminum Silicate Hydroxide (Cl | 0.523 | 0.325(26/84) | 0.623 | 0.230 | 0.047 |
| | | | | 2.65 | | P1 | |

*** マルチプロット ***

ファイル名 : IY2021①EG
 サンプル名 : MSR⑤EG
 分析日時 : 21-02-20 12:23:58
 分析条件
 X線管球 : Cu(1.54060 Å) 管電圧 : 40.0 kV 管電流 : 30.0 mA
 測定範囲 : 3.0000 ~ 20.0000 度 ステップ幅 : 0.0200 度
 計数時間 : 0.60 秒 スリット DS : 1.00 度 SS : 1.00 度 RS : 0.30 mm

コメント :



IY2021①EG MSR⑤EG 連続スキャン 2.0 度/分 0.60 秒 0.020 度 21-02-20 12:23:58
 IY2021①EG MSR⑤EG 連続スキャン 2.0 度/分 0.60 秒 0.020 度 21-02-20 12:23:58

*** 基本データ処理 ***

グループ : I
データ : 2021①EG

| # | 3 強線 番号 | ピーク 番号 | 2θ (度) | d (Å) | I/I1 | 半価幅 (度) | 強度 (Counts) | 積分強度 (Counts) |
|---|------------|-----------|-----------|----------|------|------------|----------------|------------------|
| 1 | 10 | | 19.8400 | 4.47139 | 100 | 0.43120 | 259 | 6773 |
| 2 | 8 | | 18.3383 | 4.83402 | 80 | 0.40100 | 207 | 5893 |
| 3 | 4 | | 8.1033 | 10.90216 | 42 | 0.96670 | 108 | 4110 |

| # | ピーク 番号 | データ リスト | 2θ (度) | d (Å) | I/I1 | 半価幅 (度) | 強度 (Counts) | 積分強度 (Counts) |
|----|-----------|------------|-----------|----------|------|------------|----------------|------------------|
| 1 | | | 5.3566 | 16.48472 | 6 | 0.32670 | 16 | 314 |
| 2 | | | 6.2900 | 14.04042 | 7 | 0.50000 | 18 | 495 |
| 3 | | | 7.2600 | 12.16652 | 12 | 0.34000 | 30 | 737 |
| 4 | | | 8.1033 | 10.90216 | 42 | 0.96670 | 108 | 4110 |
| 5 | | | 8.8000 | 10.04053 | 20 | 0.58660 | 51 | 1594 |
| 6 | | | 12.3625 | 7.15400 | 26 | 0.46500 | 67 | 1730 |
| 7 | | | 13.6860 | 6.46501 | 4 | 0.16040 | 11 | 87 |
| 8 | | | 18.3383 | 4.83402 | 80 | 0.40100 | 207 | 5893 |
| 9 | | | 18.9600 | 4.67689 | 22 | 0.00000 | 57 | 0 |
| 10 | | | 19.8400 | 4.47139 | 100 | 0.43120 | 259 | 6773 |

*** 基本データ処理 ***

データ情報

グループ : I
データ : 2021①EG
サンプル名 : MSR⑤EG
コメント :
日付 & 時刻 : 21-02-20 12:23:58

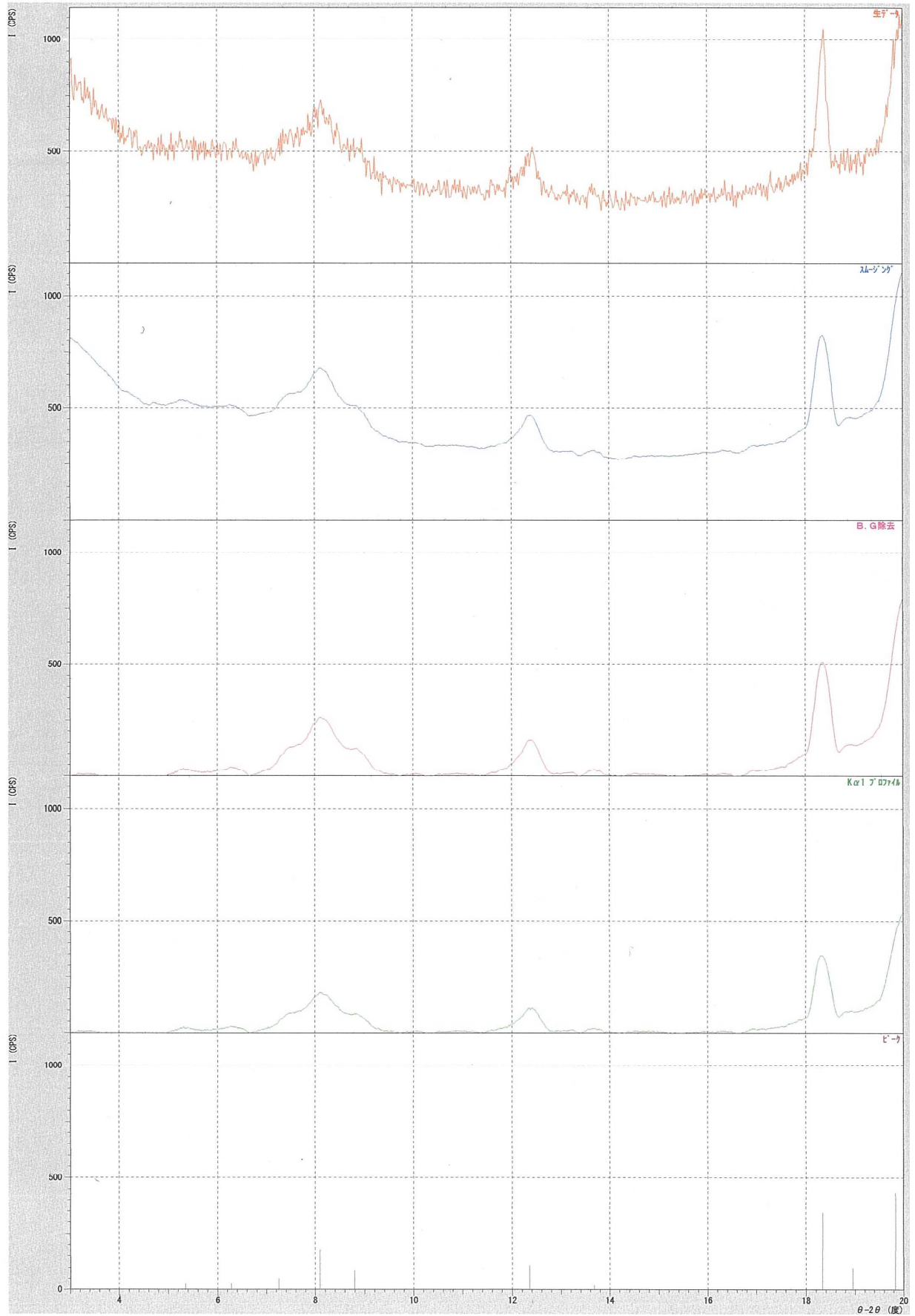
測定条件

X線
ターゲット : Cu
管電圧 : 40.0 (kV)
管電流 : 30.0 (mA)
スリット
Auto Slit : not Used
ダイバージェンス : 1.00 (度)
スキャリング : 1.00 (度)
レーザーリング : 0.30 (mm)
走査
駆動軸 : $\theta - 2\theta$
範囲 : 3.0200 - 20.0000 (度)
モード : 連続 スキャン
速度 : 2.0000 (度/分)
ステップ : 0.0200 (度)
計数時間 : 0.60 (秒)

データ処理条件

スムージング : [自動]
平滑化点数 : 31
バックグラウンド除去 : [自動]
サンプル間隔 : 33
繰り返し回数 : 30
Ka1-a2 分離 : [手動]
Ka1-a2 比 : 50 (%)
ピークサーチ : [自動]
微分点数 : 33
半価幅しきい値 : 0.0500 (度)
強度しきい値 : 30 (par mil)
半価幅比 (n-1)/n : 2
系統誤差補正 : [NO]
内/外標準法補正 : [NO]

< グループ : I データ : 2021①EG >



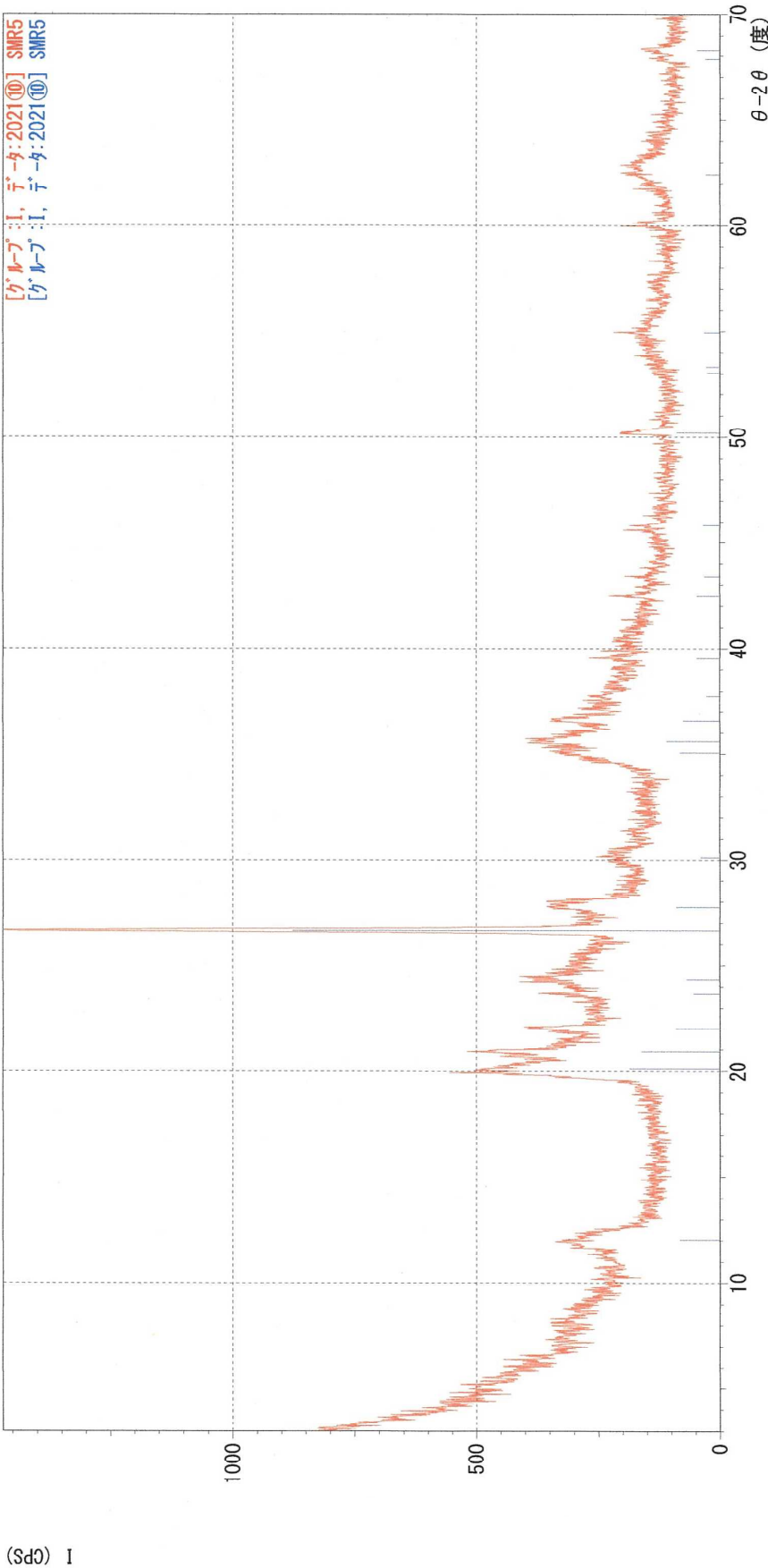
XRD 分析

SMR5

*** マルチプロット ***

ファイル名 : IY2021⑩
サンプル名 : SMR5
分析日時 : 21-02-21 12:23:51
分析条件
X線管球 : Cu(1.54060 Å) 管電圧 : 40.0 kV 管電流 : 30.0 mA
測定範囲 : 3.0000 ~ 70.0000 度 ステップ幅 : 0.0200 度
計数時間 : 0.60 秒 スリット DS : 1.00 度 SS : 1.00 度 RS : 0.30 mm

コメント :



IY2021⑩ SMR5
IY2021⑩ SMR5
連続スキャン 2.0 度/分 0.60 秒 0.020 度 21-02-21 12:23:51
連続スキャン 2.0 度/分 0.60 秒 0.020 度 21-02-21 12:23:51

*** 基本データ処理 ***

グループ : I
データ : 2021⑩

| # | 3強線 番号 | ピーク 番号 | 2θ (度) | d (Å) | I/I1 | 半価幅 (度) | 強度 (Counts) | 積分強度 (Counts) |
|---|-----------|-----------|-----------|----------|------|------------|----------------|------------------|
| 1 | 7 | | 26.6637 | 3.34055 | 100 | 0.16710 | 527 | 5011 |
| 2 | 2 | | 20.1003 | 4.41407 | 21 | 0.70340 | 112 | 3839 |
| 3 | 3 | | 20.9153 | 4.24387 | 18 | 0.20020 | 97 | 911 |

| # | ピーク 番号 | データ リスト | 2θ (度) | d (Å) | I/I1 | 半価幅 (度) | 強度 (Counts) | 積分強度 (Counts) |
|----|-----------|------------|-----------|----------|------|------------|----------------|------------------|
| 1 | | | 12.0242 | 7.35451 | 9 | 0.85430 | 50 | 2731 |
| 2 | | | 20.1003 | 4.41407 | 21 | 0.70340 | 112 | 3839 |
| 3 | | | 20.9153 | 4.24387 | 18 | 0.20020 | 97 | 911 |
| 4 | | | 22.0231 | 4.03284 | 10 | 0.20620 | 55 | 781 |
| 5 | | | 23.6378 | 3.76088 | 6 | 0.14430 | 33 | 290 |
| 6 | | | 24.3205 | 3.65683 | 8 | 0.33240 | 42 | 997 |
| 7 | | | 26.6637 | 3.34055 | 100 | 0.16710 | 527 | 5011 |
| 8 | | | 27.7525 | 3.21192 | 10 | 0.27880 | 54 | 727 |
| 9 | | | 30.1166 | 2.96495 | 5 | 0.63330 | 24 | 1025 |
| 10 | | | 35.0600 | 2.55739 | 9 | 0.69340 | 50 | 1801 |
| 11 | | | 35.6128 | 2.51895 | 13 | 0.34570 | 66 | 1316 |
| 12 | | | 36.5957 | 2.45352 | 9 | 0.20060 | 46 | 575 |
| 13 | | | 37.7285 | 2.38242 | 3 | 0.09710 | 17 | 119 |
| 14 | | | 39.5305 | 2.27787 | 6 | 0.14900 | 29 | 263 |
| 15 | | | 42.5050 | 2.12509 | 6 | 0.11000 | 29 | 186 |
| 16 | | | 43.4250 | 2.08218 | 4 | 0.13000 | 20 | 253 |
| 17 | | | 45.8102 | 1.97916 | 4 | 0.13010 | 21 | 130 |
| 18 | | | 50.1911 | 1.81619 | 10 | 0.14220 | 54 | 443 |
| 19 | | | 53.0271 | 1.72555 | 3 | 0.11920 | 16 | 126 |
| 20 | | | 53.3150 | 1.71690 | 3 | 0.13000 | 17 | 134 |
| 21 | | | 54.9508 | 1.66960 | 4 | 0.12830 | 20 | 226 |
| 22 | | | 60.0125 | 1.54031 | 6 | 0.21500 | 32 | 471 |
| 23 | | | 62.3920 | 1.48716 | 3 | 0.34400 | 18 | 683 |
| 24 | | | 67.8335 | 1.38050 | 4 | 0.23290 | 19 | 253 |
| 25 | | | 68.2883 | 1.37241 | 6 | 0.25000 | 29 | 374 |

*** 基本データ処理 ***

データ情報

グループ : I
データ : 2021⑩
サンプル名 : SMR5
コメント :
日付 & 時刻 : 21-02-21 12:23:51

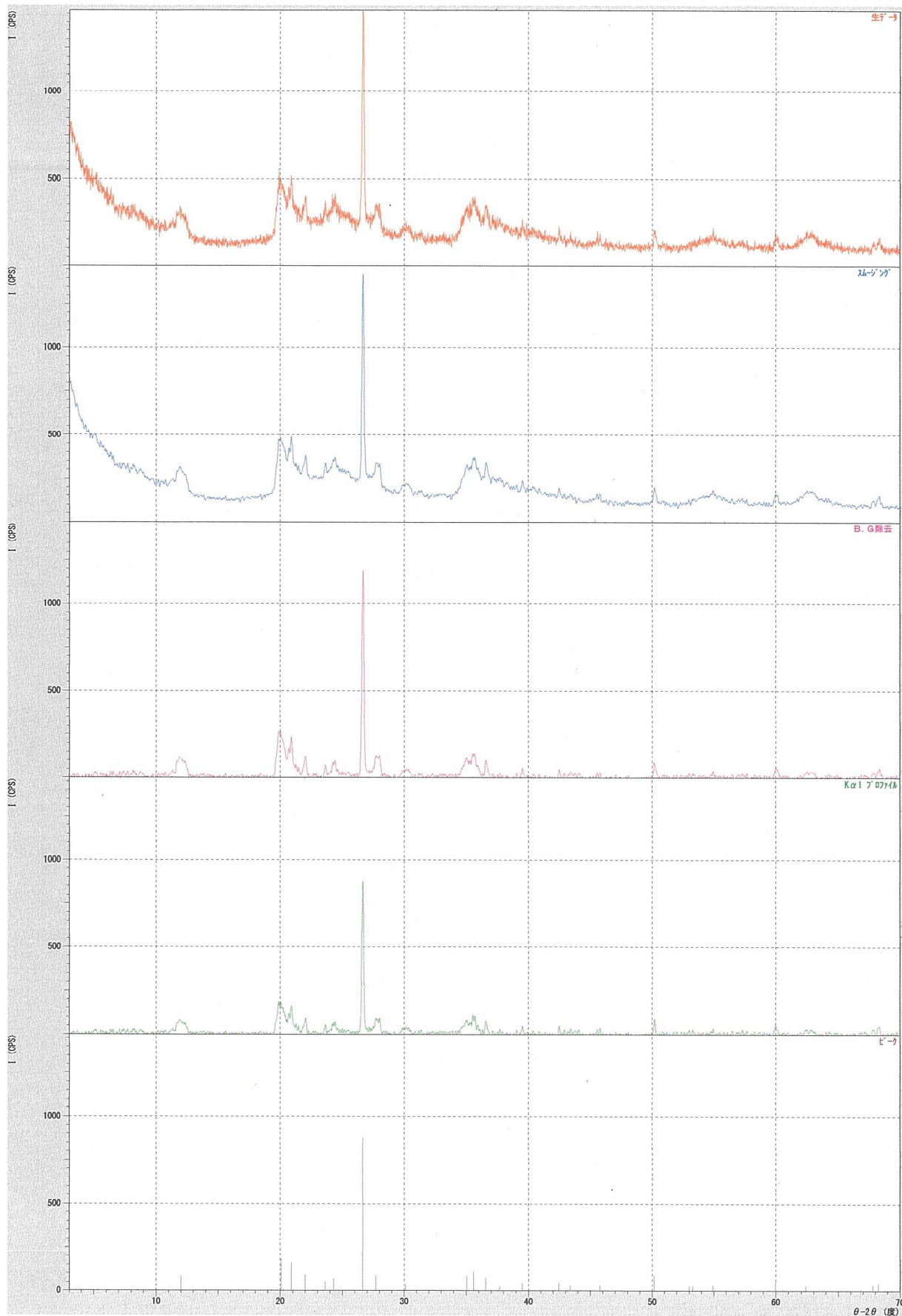
測定条件

X線
ターゲット : Cu
管電圧 : 40.0 (kV)
管電流 : 30.0 (mA)
スリット
Auto Slit : not Used
ダイバージェンス : 1.00 (度)
スキャリング : 1.00 (度)
リゾービング : 0.30 (mm)
走査
駆動軸 : $\theta - 2\theta$
範囲 : 3.0200 - 70.0000 (度)
モード : 連続 スキャン
速度 : 2.0000 (度/分)
ステップ : 0.0200 (度)
計数時間 : 0.60 (秒)

データ処理条件

スムージング : [自動]
平滑化点数 : 11
バックグラウンド除去 : [自動]
サンプル間隔 : 11
繰り返し回数 : 30
Ka1-a2 分離 : [手動]
Ka1-a2 比 : 50 (%)
ピークサーチ : [手動]
微分点数 : 31
半価幅しきい値 : 0.0500 (度)
強度しきい値 : 30 (par mil)
半価幅比 (n-1)/n : 2
系統誤差補正 : [NO]
内/外標準法補正 : [NO]

< グループ : I データ : 2021⑩ >

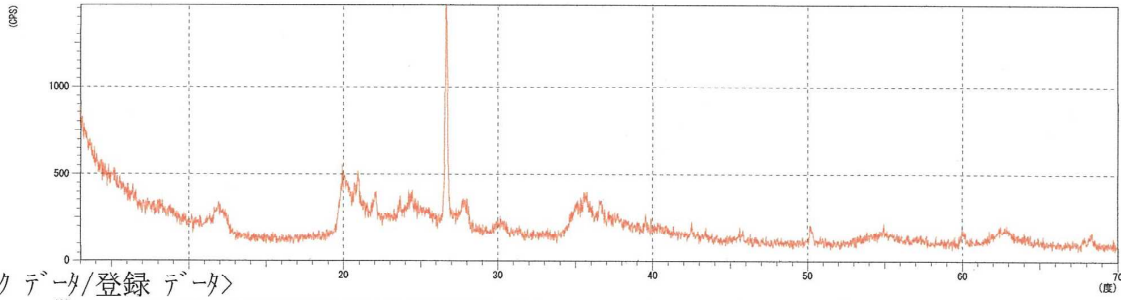


***** 検索結果 *****

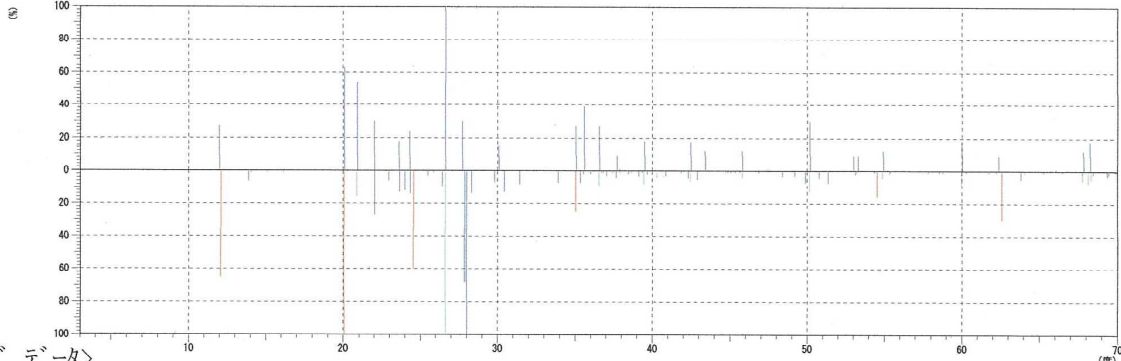
<未知データ>

グループ : I
データ : 2021⑩
ファイル : 2021⑩.PKR
サンプル : SMR5
コメント :
日付 & 時刻 : 21-02-21 12:23:51

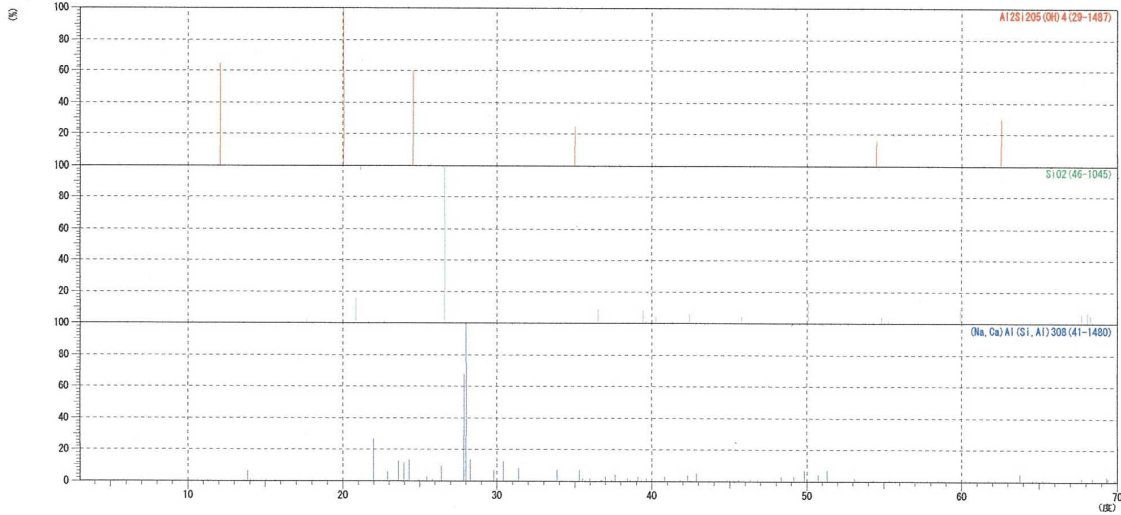
<プロフィール>



<ピークデータ/登録データ>



<カードデータ>



***** 検索結果 *****

グループ : I
 データ : 2021⑩
 ファイル : 2021⑩.PKR
 サンプル : SMR5
 コメント :

<登録カード>

| 番号 | カード | 化学式 | S | L | d | I | R |
|----|---------|--|-------|---------------|-------|-------|-------|
| | | 化合物名 (鉱物名) | 密度 | | WT% | 空間群 | |
| 1 | 29-1487 | Al ₂ Si ₂ O ₅ (OH) ₄ Aluminum Silicate Hydroxide (Halloysite-7 | 0.542 | 1.000 (7/ 7) | 0.654 | 0.702 | 0.460 |
| | | | | 2.62 | | P | |
| 2 | 46-1045 | SiO ₂ Silicon Oxide (Quartz, syn) | 1.000 | 0.611 (11/58) | 0.897 | 0.564 | 0.309 |
| | | | | 2.65 | | P3221 | |
| 3 | 41-1480 | (Na, Ca)Al(Si, Al) ₃ O ₈ Sodium Calcium Aluminum Silicate (Albite, | 0.784 | 0.333 (21/71) | 0.679 | 0.226 | 0.051 |
| | | | | 2.64 | | P-1 | |